



**UNICAMP**

**FERNANDA CREMASCO**

**“VARIABILITY OF PERIPAPILAR NERVE FIBER LAYER  
MEASUREMENTS WITH SPECTRAL DOMAIN OCT”**

***“VARIABILIDADE DE MEDIDAS DE ESPESSURA DA  
CAMADA DE FIBRAS NERVOSAS PERIPAPILAR  
UTILIZANDO SPECTRAL DOMAIN OCT”***

CAMPINAS

2013





**UNICAMP**

**UNIVERSIDADE ESTADUAL DE CAMPINAS**

**FACULDADE DE CIÊNCIAS MÉDICAS**

**FERNANDA CREMASCO**

**“VARIABILITY OF PERIPAPILAR NERVE FIBER LAYER  
MEASUREMENTS WITH SPECTRAL DOMAIN OCT”**

**Orientador: Prof. Dr. Vital Paulino Costa**

***“VARIABILIDADE DE MEDIDAS DE ESPESSURA DA CAMADA DE  
FIBRAS NERVOSAS PERIPAPILAR UTILIZANDO SPECTRAL  
DOMAIN OCT”***

**Tese de Doutorado** apresentada à Pós-graduação da Faculdade de  
Ciência Médicas da Universidade Estadual de Campinas para a obtenção do Título de **Doutora  
em Ciências Médicas**, Área de Concentração Oftalmologia.

*Doctorate thesis presented to the Postgraduation Programme of the  
School of Medical Sciences of the University of Campinas to obtain the **Ph.D (MSc) grade in  
Medical Sciences**, Area of Concentration Ophthalmology.*

**ESTE EXEMPLAR CORRESPONDE À VERSÃO FINAL DA  
TESE DEFENDIDA PELA ALUNA FERNANDA CREMASCO E  
ORIENTADA PELO PROF. DR. VITAL PAULINO COSTA.**

Assinatura do orientador \_\_\_\_\_

**CAMPINAS**

2013

Ficha catalográfica  
Universidade Estadual de Campinas  
Biblioteca da Faculdade de Ciências Médicas  
Maristella Soares dos Santos - CRB 8/8402

C862v Cremasco, Fernanda, 1979-  
Variabilidade de medidas de espessura da camada de fibras nervosas peripapilar utilizando *spectral domain* OCT / Fernanda Cremasco. -- Campinas, SP : [s.n.], 2013.

Orientador : Vital Paulino Costa.  
Tese (Doutorado) - Universidade Estadual de Campinas, Faculdade de Ciências Médicas.

1. Glaucoma. 2. Fibras nervosas. 3. Tomografia de coerência óptica. I. Costa, Vital Paulino. II. Universidade Estadual de Campinas. Faculdade de Ciências Médicas. III. Título.

Informações para Biblioteca Digital

**Título em inglês:** Variability of peripapillary retinal nerve fiber layer measurements with *spectral domain* OCT

**Palavras-chave em inglês:**

Glaucoma

Nerve fibers

Tomography, Optical coherence

**Área de concentração:** Oftalmologia

**Titulação:** Doutora em Ciências Médicas

**Banca examinadora:**

Vital Paulino Costa [Orientador]

Keila Miriam Monteiro de Carvalho

José Paulo Cabral de Vasconcellos

Jayter Silva de Paula

Newton Kara José Júnior

**Data da defesa:** 22-07-2013

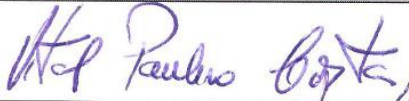
**Programa de Pós-Graduação:** Ciências Médicas

**BANCA EXAMINADORA DA DEFESA DE DOUTORADO**  
**FERNANDA CREMASCO**

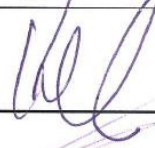
Orientador (a) PROF(A). DR(A). VITAL PAULINO COSTA

**MEMBROS:**

1. PROF(A). DR(A). VITAL PAULINO COSTA



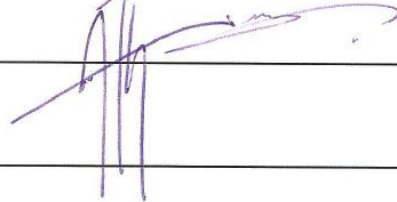
2. PROF(A). DR(A). KEILA MIRIAM MONTEIRO DE CARVALHO



3. PROF(A). DR(A). JOSÉ PAULO CABRAL DE VASCONCELLOS



4. PROF(A).DR(A). JAYTER SILVA DE PAULA



5. PROF(A).DR(A). NEWTON KARA JOSÉ JUNIOR

Programa de Pós-Graduação em Ciências Médicas da Faculdade de Ciências Médicas  
da Universidade Estadual de Campinas

Data: 22 de julho de 2013



## **DEDICATÓRIA**

*Aos meus pais, Ruth e Walter, pelo amor e dedicação à minha formação.*

*Ao meu esposo Marcelo, pelo companheirismo e apoio incessantes.*

*Aos meus irmãos, Leticia e Walter Filho, pelo carinho e amizade inestimáveis.*



## AGRADECIMENTOS

---

À Deus, pelo dom da vida.

Aos meus pais, que carinhosamente me educaram na ética e no trabalho.

Ao meu esposo Marcelo e sua família, pelo amor, apoio e incentivo.

Ao meu orientador, Prof. Dr. Vital Paulino Costa, por seus ensinamentos na área acadêmica e profissional e pelo exemplo de dedicação à ciência.

À Prof. Dra. Keila Miriam Monteiro de Carvalho, pela ajuda na conclusão deste projeto.

A todo o staff do setor de glaucoma da Unicamp, José Paulo Cabral de Vasconcellos, Rui Barroso Schimiti, Luciana Bernardi e Rodrigo Rezende Gomes Avelino, pelo estímulo e ajuda no aprendizado do glaucoma.

Aos meus colegas da pós-graduação, Vanessa Gonçalves Vidotti Pimenta, Graziela Massa Resende, Fabrício da Silva Reis, Alana Mendonça de Santana e Kleyton Barella, pelo companheirismo e cumplicidade em toda esta trajetória.

Ao Dr. Álvaro Pedroso de Carvalho Lupinacci, pelo apoio estatístico.

Aos amigos Karina Peixoto e Lauro Vieira Perdigão Neto, pela ajuda na revisão da tese.

A todos os professores, médicos contratados, funcionários e voluntários da clínica oftalmológica do Hospital das Clínicas da UNICAMP, pelo estímulo profissional ao longo dos anos.

As Sras. Sílvia Alves Ramos F. Silva e Márcia Aparecida D. Silva, técnicas em oftalmologia da Unicamp, pelo auxílio na realização dos exames de campo visual.

Aos pacientes, motivo para a busca de novos horizontes na medicina.

A todos que direta ou indiretamente estiveram ao meu lado na conquista deste objetivo.



---

|   | PÁG.          |
|---|---------------|
| RESUMO .....  | <i>xxix</i>   |
| ABSTRACT .....  | <i>xxxiii</i> |
| 1- INTRODUÇÃO .....   | 37            |
| 1.1- Conceito de Glaucoma .....   | 39            |
| 1.2- Epidemiologia do Glaucoma .....  | 39            |
| 1.3- Diagnóstico de Glaucoma .....  | 40            |
| 1.4- Anatomia do Disco Óptico .....   | 42            |
| 1.4.1- O Disco Óptico normal .....  | 42            |
| 1.4.2- O Disco Óptico glaucomatoso .....  | 44            |
| 1.5- Anatomia da Camada de Fibras Nervosas da Retina Peripapilar<br>(CFNRP) .....     | 47            |
| 1.5.1- A CFNRP em olhos normais .....   | 47            |
| 1.5.2- A CFNRP em olhos glaucomatosos .....   | 48            |
| 1.6- Métodos de análise do Disco Óptico .....   | 50            |
| 1.6.1- Oftalmoscopia .....  | 50            |
| 1.6.1.1- Reprodutibilidade da Oftalmoscopia .....                                     | 51            |
| 1.6.1.2- Acurácia diagnóstica da Oftalmoscopia .....                                  | 52            |
| 1.6.2- Fotografias do Disco Óptico .....  | 52            |
| 1.6.2.1- Reprodutibilidade da análise de Fotografias do Disco Óptico ....             | 53            |
| 1.6.2.2- Acurácia diagnóstica da análise das Fotografias do Disco<br>Óptico .....     | 54            |
| 1.6.3- Oftalmoscopia Confocal de Varredura a Laser .....                              | 55            |
| 1.6.3.1- Reprodutibilidade da Oftalmoscopia Confocal de Varredura a<br>Laser .....    | 58            |
| 1.6.3.2- Acurácia diagnóstica da Oftalmoscopia Confocal de Varredura<br>a Laser ..... | 59            |
| 1.7- Métodos de análise da CFNRP .....  | 60            |



|   |           |
|---|-----------|
| <b>1.7.1- Fotografias da CFNRP .....</b>  | <b>60</b> |
| <b>1.7.1.1- Reprodutibilidade da análise das Fotografias da CFNRP .....</b>     | <b>60</b> |
| <b>1.7.1.2- Acurácia diagnóstica da análise das Fotografias da CFNRP .....</b>  | <b>61</b> |
| <b>1.7.2- Polarimetria de Varredura a Laser .....</b>                           | <b>61</b> |
| <b>1.7.2.1- Reprodutibilidade da Polarimetria de Varredura a Laser .....</b>    | <b>63</b> |
| <b>1.7.2.2- Acurácia diagnóstica da Polarimetria de Varredura a Laser .....</b> | <b>64</b> |
| <b>1.8- Tomografia de Coerência Óptica .....</b>                                | <b>65</b> |
| <b>1.8.1- Histórico .....</b>   | <b>65</b> |
| <b>1.8.2- Técnica .....</b>   | <b>68</b> |
| <b>1.8.2.1- Tomografia de Coerência Óptica de Domínio Temporal .....</b>        | <b>68</b> |
| <b>1.8.2.2- Tomografia de Coerência Óptica de Domínio Espectral .....</b>       | <b>69</b> |
| <b>1.9- Justificativa .....</b>   | <b>70</b> |
| <b>1.10- Objetivos .....</b>  | <b>71</b> |
| <b>2- MATERIAL E MÉTODOS .....</b>  | <b>73</b> |
| <b>2.1- Casuística .....</b>  | <b>75</b> |
| <b>2.1.1- Critérios de inclusão .....</b>                                       | <b>75</b> |
| <b>2.1.1.1- Grupo Glaucoma .....</b>  | <b>75</b> |
| <b>2.1.1.2- Grupo Saudável .....</b>  | <b>76</b> |
| <b>2.1.2- Critérios de exclusão .....</b>                                       | <b>77</b> |
| <b>2.1.3- Dados Demográficos .....</b>  | <b>77</b> |
| <b>2.2- Métodos .....</b>   | <b>77</b> |
| <b>2.2.1- Exame Oftalmológico .....</b>   | <b>77</b> |
| <b>2.2.2- Medidas de Espessura da CFNRP .....</b>                               | <b>78</b> |
| <b>2.3- Análise Estatística .....</b>   | <b>83</b> |
| <b>3- RESULTADOS .....</b>  | <b>85</b> |
| <b>3.1- Dados demográficos .....</b>  | <b>87</b> |
| <b>3.2- Análise da Variabilidade de Medidas de Espessura da CFNRP .....</b>     | <b>89</b> |
| <b>3.2.1- Variabilidade Intrasessão .....</b>                                   | <b>89</b> |
| <b>3.2.2- Variabilidade Intersessão .....</b>                                   | <b>91</b> |
| <b>3.2.3- Variabilidade Interexaminador .....</b>                               | <b>93</b> |
| <b>4- DISCUSSÃO .....</b>   | <b>95</b> |



|                                     |     |
|-------------------------------------|-----|
| 5- CONCLUSÕES .....                 | 105 |
| 6- REFERÊNCIAS BIBLIOGRÁFICAS ..... | 109 |
| 7- ANEXO .....                      | 143 |
| 8- APÊNDICES .....                  | 147 |



## LISTA DE SÍMBOLOS E ABREVIATURAS

---

|              |   |
|--------------|---|
| <b>CCI</b>   | Coeficiente de correlação intraclasse           |
| <b>CFNRP</b> | Camada de fibras nervosas da retina peripapilar |
| <b>CGR</b>   | Célula ganglionar da retina                     |
| <b>CDV</b>   | Coeficiente de variação                         |
| <b>COV</b>   | <i>Coefficient of variation</i>                 |
| <b>CPSD</b>  | <i>Corrected Pattern Standard Deviation</i>     |
| <b>CV</b>    | Campo visual                                    |
| <b>D</b>     | Dioptria  |
| <b>dB</b>    | Decibel   |
| <b>DCA</b>   | Dispositivo de carga acoplada                   |
| <b>DDLS</b>  | <i>Disk Damage Likelihood Scale</i>             |
| <b>DO</b>    | Disco óptico                                    |
| <b>DP</b>    | Desvio padrão                                   |
| <b>ECC</b>   | <i>Enhanced Corneal Compensation</i>            |
| <b>EE</b>    | Equivalente esférico                            |
| <b>EUA</b>   | Estados Unidos da América                       |
| <b>F</b>     | Sexo feminino                                   |
| <b>FCC</b>   | <i>Fixed Corneal Compensation</i>               |
| <b>G</b>     | Grupo com Glaucoma                              |
| <b>Ga</b>    | Grupo com glaucoma avançado                     |
| <b>GHT</b>   | <i>Glaucoma Hemifield Test</i>                  |
| <b>GI</b>    | Grupo com glaucoma leve                         |
| <b>Gm</b>    | Grupo com glaucoma moderado                     |
| <b>GPAA</b>  | Glaucoma primário de ângulo aberto              |
| <b>GPAF</b>  | Glaucoma primário de ângulo fechado             |
| <b>GPS</b>   | <i>Glaucoma progression analysis</i>            |
| <b>HO</b>    | Hipertensão Ocular                              |
| <b>HRT</b>   | <i>Heidelberg Retina Tomograph</i>              |



|                       |   |
|-----------------------|---|
| <b>IC</b>             | Intervalo de confiança  |
| <b>ICC</b>            | <i>Intraclass correlation coefficient</i>                     |
| <b>ISNT</b>           | Inferior – Superior – Nasal – Temporal                        |
| <b>kHz</b>            | Kilohertz   |
| <b>LogMAR</b>         | Logaritmo do mínimo ângulo de resolução                       |
| $l_r$                 | Comprimento do braço de referência                            |
| $l_s$                 | Comprimento do braço de amostra                               |
| <b>M</b>              | Sexo Masculino  |
| <b>máx</b>            | Máximo  |
| <b>MD</b>             | <i>Mean Deviation</i>   |
| <b>min</b>            | Mínimo  |
| <b>mm</b>             | Milímetro   |
| <b>mm<sup>2</sup></b> | Milímetro quadrado  |
| <b>mmHg</b>           | Milímetro de mercúrio   |
| <b>MRA</b>            | <i>Moorfields regression analysis</i>                         |
| <b>n</b>              | Número  |
| <b>N</b>              | Grupo com Neuropatia Óptica Isquêmica Anterior Não-Arterítica |
| <b>NFI</b>            | <i>Nerve fiber indicator</i>                                  |
| <b>nm</b>             | Nanômetro   |
| <b>NO</b>             | Nervo óptico  |
| <b>NOIA NA</b>        | Neurite óptica isquêmica anterior não arterítica              |
| <b>OCVL</b>           | Oftalmoscopia confocal de varredura a laser                   |
| <b>OR</b>             | <i>Odds ratio</i>   |
| <b>p</b>              | Probabilidade estatística                                     |
| <b>PIO</b>            | Pressão intraocular   |
| <b>PRA</b>            | Padrão de retardo atípico                                     |
| <b>PRNFL</b>          | <i>Peripapillary retinal nerve fiber layer</i>                |
| <b>PSD</b>            | <i>Pattern Standard Deviation</i>                             |
| <b>PVL</b>            | Polarimetria de varredura a laser                             |
| <b>ROC</b>            | <i>Receiver operator characteristics</i>                      |
| <b>S</b>              | Grupo de indivíduos saudáveis                                 |



|                |   |
|----------------|---|
| <b>SITA</b>    | <i>Swedish Interactive Threshold Algorithm</i>      |
| <b>TCO</b>     | Tomografia de coerência óptica                      |
| <b>TCO-DE</b>  | Tomografia de coerência óptica de domínio espectral |
| <b>TCO-DT</b>  | Tomografia de coerência óptica de domínio temporal  |
| <b>UNICAMP</b> | Universidade Estadual de Campinas                   |
| <b>VCC</b>     | <i>Variable Corneal Compensation</i>                |
| °              | Grau  |
| ≥              | Maior ou igual a                                    |
| ≤              | Menor ou igual a                                    |
| +              | Mais  |
| ±              | Mais ou menos                                       |
| -              | Menos   |
| >              | Maior que   |
| <              | Menor que   |
| %              | Por cento   |
| x              | Vezes   |



## LISTA DE TABELAS E QUADROS

---

|  | <b>PÁG.</b> |
|--|-------------|
| <b>Quadro 1</b> - Descrição dos sistemas de TCO-DE disponíveis comercialmente .....  | 67          |
| <b>Quadro 2</b> - Principais diferenças entre o Cirrus HD-OCT e o Stratus .....  | 80          |
| <b>Tabela 1</b> - Características demográficas de pacientes com glaucoma e de indivíduos saudáveis incluídos na análise de variabilidade intrasessão.....  | 88          |
| <b>Tabela 2</b> - Média e desvio padrão, CCI e CDV das cinco medidas de espessura da CFNRP obtidas no primeiro dia, dos pacientes com glaucoma e dos indivíduos saudáveis, que participaram da análise de variabilidade intrasessão .....      | 90          |
| <b>Tabela 3</b> - Média e desvio padrão, CCI e CDV das medidas de espessura da CFNRP obtidas em cinco dias diferentes, dos pacientes com glaucoma e dos indivíduos saudáveis, que participaram da análise de variabilidade intersessão .....   | 92          |
| <b>Tabela 4</b> - Média e desvio padrão, CCI e CDV das medidas de espessura da CFNRP, obtidas por dois examinadores, dos pacientes com glaucoma e dos indivíduos saudáveis, que participaram da análise de variabilidade interexaminador ..... | 94          |
| <b>Quadro 3</b> - Reprodutibilidade/variabilidade das medidas de espessura da CFNRP obtidas com diferentes tomógrafos de coerência óptica de domínio espectral .....   | 101         |



|   | PÁG. |
|---|------|
| <b>Figura 1</b> Divisões do disco óptico. <b>I:</b> Retina. <b>II:</b> Coróide. <b>III:</b> Esclera. <b>A:</b> Camada Superficial de Fibras Nervosas. <b>B:</b> Região Pré-laminar. <b>C:</b> Região Laminar. <b>D:</b> Região Retrolaminar .....   | 43   |
| <b>Figura 2</b> Distribuição das fibras nervosas retinianas .....   | 48   |
| <b>Figura 3</b> Defeito localizado na camada de fibras nervosas da retina .....   | 49   |
| <b>Figura 4</b> Princípio da Oftalmoscopia Confocal de Varredura a Laser .....  | 56   |
| <b>Figura 5</b> Princípio da Polarimetria de Varredura a Laser .....  | 62   |
| <b>Figura 6</b> Interferômetro de Michelson. $l_r$ e $l_s$ representam os comprimentos dos braços de referência e de amostra, respectivamente .....   | 68   |
| <b>Figura 7</b> Cirrus HD-OCT. <b>A:</b> Aparelho Cirrus HD-OCT. <b>B:</b> Paciente posicionado para realização do exame.....   | 79   |
| <b>Figura 8</b> Impresso de Cirrus HD-OCT. <b>A:</b> Informações sobre o paciente e o exame. <b>B:</b> Protocolo utilizado. <b>C:</b> Mapa topográfico da espessura CFNRP em esquema de cores. Ao centro, dados relacionados à espessura média e simetria da CFNRP e a dados topográficos do DO. <b>D:</b> Mapa de desvio da espessura CFNRP em relação ao banco de dados do aparelho. Ao centro Gráfico do perfil de espessura da rima neuroretiniana e sua classificação, em escala de cores, em relação ao percentil de distribuição do banco de dados do aparelho. <b>E:</b> Imagens de <i>B-scans</i> . Os limites da Membrana Limitante Interna e da Escavação do DO estão representados na linha vermelha. Os limites do Epitélio Pigmentar da Retina e do DO estão representados na linha preta. Ao centro encontram-se o Gráfico do perfil de espessura da CFNRP e sua classificação, em escala de cores, em relação ao percentil de distribuição do banco de dados do aparelho; Gráficos com valores de espessura médias nos quadrante e setorial nas horas de relógio, classificadas de acordo |      |



|  |    |
|--|----|
| com a escala de cores de distribuição dentro do percentil do<br>banco de dados ..... | 82 |
|--|----|



## RESUMO

---



Esta pesquisa teve por finalidade avaliar a variabilidade intrasessão, intersessão e interexaminador das medidas de espessura da camada de fibras nervosas da retina peripapilar (CFNRP) com a Tomografia de Coerência Óptica de Domínio Espectral (TCO-DE). Foi incluído no estudo apenas um olho de 32 indivíduos saudáveis e de 34 pacientes com glaucoma. As medidas da CFNRP foram obtidas com o Cirrus HD-OCT 4000 (Carl Zeiss Meditec, Dublin, Califórnia, EUA) cinco vezes no mesmo dia, por um único examinador, para avaliação da variabilidade intrasessão. O mesmo examinador realizou medidas de espessura da CFNRP nos mesmos sujeitos em cinco dias diferentes, para avaliação da variabilidade intersessão. Um segundo examinador realizou medidas da espessura da CFNRP nos mesmos pacientes para avaliação da variabilidade interexaminador. O coeficiente de variação (CDV) e o coeficiente de correlação intraclasse (CCI) foram obtidos para os seguintes parâmetros: espessura média, espessura nos quadrantes e espessuras setoriais. Em relação à variabilidade intrasessão, em pacientes com glaucoma, os CDVs variaram de 4,51% a 11,84% e os CCIs variaram de 0,74 a 0,99; em indivíduos saudáveis, os CDVs variaram de 2,92% a 6,99% e os CCIs variaram de 0,89 a 0,98. Na análise da variabilidade intersessão observou-se que, em pacientes com glaucoma, os CDVs variaram de 3,68% a 10,50% e os CCIs variaram de 0,82 a 0,99; em indivíduos saudáveis, os CDVs variaram de 3,13% a 6,92% e os CCIs variaram de 0,87 a 0,99. Em relação à variabilidade interexaminador, em pacientes com glaucoma, os CDVs variaram de 2,62% a 14,94% e os CCIs variaram de 0,55 a 0,98; em indivíduos saudáveis, os CDVs variaram de 2,04% a 7,31% e os CCIs variaram de 0,86 a 0,98. Estes resultados indicam que as medidas de espessura da CFNRP com a TCO-DE apresentam reprodutibilidade excelente, com baixa variabilidade intrasessão, intersessão e interexaminador.

**PALAVRAS-CHAVE:** Tomografia de Coerência Óptica; Domínio Espectral; Reprodutibilidade; Espessura da Camada de Fibras Nervosas da Retina.



## ABSTRACT



The purpose of this study was to evaluate the intrasession, intersession and interexaminer variabilities of peripapillary retinal nerve fiber layer (PRNFL) thickness measurements with Spectral Domain Optical Coherence Tomography. One eye of 32 healthy individuals and 34 patients with glaucoma were included in the study. The PRNFL measurements were obtained with the Cirrus HD-OCT Model 4000 (Carl Zeiss Meditec, Dublin, California, USA) five times during the same sitting by one examiner to assess intrasession variability. The same examiner performed PRNFL measurements in the same patients in five different days to assess intersession variability. A second examiner performed PRNFL measurements in the same patients to assess interexaminer variability. The coefficient of variation (COV) and the intraclass correlation coefficient (ICC) were obtained for the following parameters: average thickness, quadrant thickness and clock-hour thickness measurements. The analysis of the intrasession variability, in glaucoma patients, showed that COVs ranged from 4.51% to 11.84% and ICCs varied from 0.74 to 0.99, whereas in healthy individuals, COVs ranged from 2.92% to 6.99% and ICCs varied from 0.89 to 0.98. Regarding the intersession variability, in glaucoma patients COVs ranged from 3.68% to 10.50% and ICCs varied from 0.82 to 0.99; whereas in healthy individuals, COVs ranged from 3.13% to 6.92% and ICCs varied from 0.87 to 0.99. In interexaminer variability, between glaucoma patients, COVs ranged from 2.62% to 14.94% and ICCs varied from 0.55 to 0.98, whereas in healthy individuals, COVs ranged from 2.04% to 7.31% and ICCs varied from 0.86 to 0.98. These findings indicate that PRNFL measurements with Spectral Domain Optical Coherence Tomography display excellent reproducibility, with low intrasession, intersession and interexaminer variabilities.

**KEY WORDS:** Optical Coherence Tomography; Spectral Domain; Reproducibility; Retinal Nerve Fiber Layer Thickness.



## 1- INTRODUÇÃO

---



## **1.1- Conceito de Glaucoma**

Glaucoma refere-se a um grupo de desordens oculares que têm em comum uma neuropatia óptica crônica, progressiva e irreversível; caracterizada por alterações estruturais típicas no nervo óptico (NO) e na camada de fibras nervosas da retina peripapilar (CFNRP) e por defeitos de campo visual (CV) característicos (1, 2). O principal fator de risco associado ao glaucoma é a pressão intraocular (PIO) elevada (3, 4, 5, 6, 7, 8).

## **1.2- Epidemiologia do Glaucoma**

Segundo dados da Organização Mundial de Saúde, existem cerca de 285 milhões de pessoas com deficiência visual no mundo: 39 milhões estão cegas e 246 milhões têm baixa visão. O glaucoma representa a segunda maior causa de cegueira mundial, sendo a principal causa de cegueira irreversível (9). Estima-se que, em 2020, cerca de 79,6 milhões de indivíduos, o que corresponde a 2,65% da população mundial acima dos 40 anos, terão glaucoma e que, dentre esses, 5,9 milhões estarão cegos bilateralmente (10).

A prevalência de glaucoma aumenta com a idade e varia dependendo da raça e de características socioeconômicas da população estudada (10, 11, 12, 13). O glaucoma primário de ângulo aberto (GPAA), tipo mais comum e responsável por mais de 70% de todos os casos de glaucoma (10), é mais prevalente em negros, que apresentam prevalência cerca de três vezes maior que a de indivíduos da raça branca (OR: 2,82; 95% IC, 2,14-3,72) (11). A prevalência de GPAA, ajustada para idade e sexo, em latinos/hispânicos é comparável à prevalência em negros, sendo três a quatro vezes mais alta que a prevalência observada em indivíduos da raça branca (12). O glaucoma primário de ângulo fechado (GPAF) representa cerca de um terço de todos os casos de glaucoma primário do mundo e é mais prevalente em indivíduos do sexo feminino (10, 14, 15, 16, 17, 18). Existe grande variabilidade em relação à prevalência de GPAF em diferentes etnias, com relatos de prevalência em esquimós (19), em residentes no sudeste asiático (20, 21, 22), em japoneses (23) e em indianos (24, 25, 26, 27) maiores que em caucasianos (20).

A população brasileira, constituída de cerca de 190 milhões de habitantes (28), representa aproximadamente um terço dos 603 milhões de habitantes da América

Latina (29). Entretanto, há poucas informações sobre a prevalência de glaucoma no Brasil. Sakata et al. conduziram um estudo populacional para avaliar a prevalência de glaucoma em indivíduos com mais de 40 anos, em dois distritos no Paraná. Com base em critérios diagnósticos estabelecidos pela Sociedade Internacional de Oftalmologia Geográfica e Epidemiológica, encontrou-se uma prevalência de glaucoma de 3,4%, sendo 2,4% de GPAA e 0,7% de GPAF. Os autores também observaram que a prevalência de glaucoma aumentou com a idade e em indivíduos que se definiram como não pertencendo à raça branca (30).

### **1.3- Diagnóstico de Glaucoma**

O glaucoma é caracterizado pela perda de células ganglionares da retina (CGRs), que resulta em alterações estruturais na CFNRP e no NO (31). Associada às alterações estruturais, observa-se perda progressiva e irreversível do CV (32, 33), com impacto negativo na qualidade de vida dos pacientes (34, 35). O diagnóstico precoce e o início imediato do tratamento dos pacientes podem retardar e até prevenir a progressão da lesão no NO e a perda de CV (3, 4, 7, 36). Entretanto, diagnosticar precocemente o glaucoma é, muitas vezes, um desafio na prática clínica. Por ser uma doença assintomática, especialmente nos estágios iniciais; por existir baixa consciência pública sobre o glaucoma e seus fatores de risco; e pela inexistência de um teste de triagem efetivo; a maioria dos indivíduos com glaucoma permanece sem diagnóstico, até que ocorra perda de CV extensa e geralmente bilateral (12, 37, 38, 39, 40). No Brasil, Sakata et al. observaram que aproximadamente 90% dos sujeitos com glaucoma primário não tinham consciência de seu diagnóstico (30).

Quigley et al. analisaram olhos de indivíduos com diagnóstico de glaucoma, doados por bancos de olhos, e compararam as características histológicas das CGRs com parâmetros clínicos, como acuidade visual, aparência do NO e CV com o perímetro de Goldmann. Os autores observaram que a perda de axônios das CGRs ocorria previamente aos defeitos de CV (32, 41, 42, 43), com o maior acometimento sofrido pelas CGRs de maior diâmetro. As regiões com diminuição de 5dB e 10dB de sensibilidade no CV, dentro

dos 30° centrais, estavam associadas à redução de cerca de 20% e 40% da quantidade total das CGRs, respectivamente (41).

Em um estudo publicado posteriormente (33), o mesmo grupo de pesquisadores estudou, também em pacientes com glaucoma, a relação entre as alterações nas CGRs e no CV obtido com o perímetro automático Humphrey. Os autores observaram correlação significativa entre a intensidade da perda de CGRs e a alteração perimétrica, além do maior acometimento de células com maior diâmetro, achado previamente descrito (42, 44, 45, 46, 47, 48, 49). Observou-se associação da perda de 25% a 35% das CGRs com o surgimento de anormalidades estatisticamente significantes na perimetria automatizada.

Harwerth et al. (50) investigaram, em um modelo experimental de glaucoma com macacos *rhesus*, a relação entre a lesão nas CGRs e os defeitos de CV. O glaucoma foi induzido com aplicação de laser de argônio no trabeculado dos olhos direitos; os olhos esquerdos foram usados como controles. Os macacos foram treinados para realizar exames de CV com o perímetro Humphrey. Alguns dias após a realização do último exame de CV, os olhos dos animais foram enucleados para análise histológica. Os autores observaram que a perda de 30 a 50% das CGRs estava associada ao decréscimo de cerca de 6 dB de sensibilidade no CV.

As evidências encontradas nos diversos estudos suscitaram o interesse em métodos de diagnóstico precoce, baseados na detecção da lesão estrutural inicial do glaucoma. Nas últimas décadas, houve grande avanço no desenvolvimento e aprimoramento de instrumentos computadorizados com capacidade de fornecer avaliação quantitativa e objetiva do NO e da CFNRP (51, 52, 53, 54, 55, 56, 57). As diversas tecnologias empregadas se fundamentam em diferentes propriedades estruturais da retina. Os dados fornecidos por esses diferentes métodos são condensados subsequentemente em impressos, que incluem gráficos e índices numéricos, com o intuito de fornecer uma maior quantidade de informações descritivas e de facilitar a interpretação e a conduta clínica.

## 1.4- Anatomia do Disco Óptico

### 1.4.1- O Disco Óptico normal

O NO é formado a partir da convergência de 1,2 a 1,5 milhões de axônios das CGRs (58, 59, 60). Na porção visível do NO, chamada de disco óptico (DO), os axônios estão agrupados em aproximadamente 1000 fascículos ou feixes e são apoiados por astrócitos (61). Na superfície do DO, esses axônios inclinam-se para deixar o globo ocular através de um canal escleral fenestrado, chamado de lâmina cribrosa. No DO são identificadas duas estruturas: a escavação e a rima neuroretiniana (62, 63). A escavação é uma depressão central do DO que não apresenta axônios e promove a exposição parcial da lâmina cribrosa. A rima neuroretiniana, situada perifericamente, é composta de axônios, neuroglia, astrócitos e capilares (63).

O DO pode ser dividido em quatro camadas (Figura 1):

#### a. Camada superficial de fibras nervosas

A porção mais anterior do DO é constituída predominantemente de axônios das CGRs, que são contínuos com a camada de fibras nervosas da retina. Em macacos *rhesus*, essa camada é composta de 94% de axônios das CGRs e de 5% astrócitos. (64).

#### b. Região pré-laminar

Imediatamente posterior à camada de fibras nervosas está a região pré-laminar. Essa região também é conhecida como porção anterior da lâmina cribrosa. As estruturas predominantes neste nível são axônios das CGRs e astrócitos, com aumento significativo na quantidade de tecido astrogliar (65).

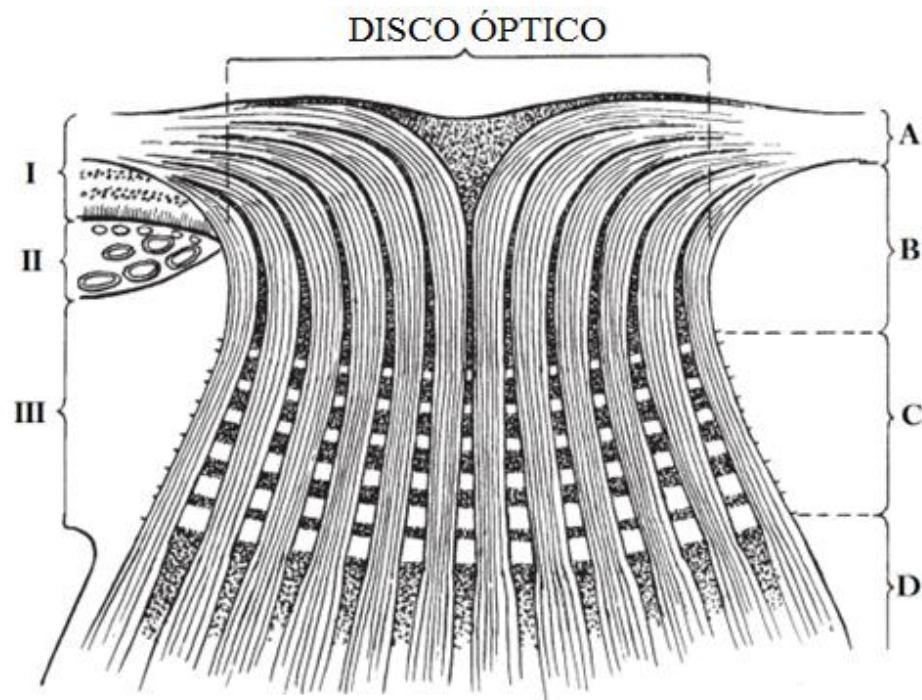
#### c. Região laminar

Essa camada proporciona o apoio principal para o NO, assim que este deixa o globo ocular, ao penetrar na camada escleral. A região laminar (ou lâmina cribrosa) consiste de lamelas de tecido conectivo fenestrado que permitem o trânsito de fibras neurais através da camada escleral. Os feixes de tecido conectivo são compostos primariamente por colágeno. Outros componentes da matriz extracelular incluem elastina, laminina e

fibronectina. As fenestrações da lâmina cribrosa podem ser frequentemente vistas na oftalmoscopia, na base da escavação do DO.

**d. Região retrolaminar**

A região retrolaminar se situa posterior à lâmina cribrosa. É caracterizada pela diminuição de astrócitos e pelo início da mielinização axonal. Está rodeada pela leptomeninge do sistema nervoso central.



**Figura 1:** Divisões do disco óptico. **I:** Retina. **II:** Coróide. **III:** Esclera. **A:** Camada Superficial de Fibras Nervosas. **B:** Região Pré-laminar. **C:** Região Laminar. **D:** Região Retrolaminar

Há variação considerável das características do DO nos diferentes estudos (61, 66, 98), principalmente em relação à avaliação clínica e medidas observadas em estudos *post-mortem*. Geralmente a estimativa clínica é menor, pois os fatores de magnificação utilizados para o cálculo do tamanho do DO podem subestimar as dimensões reais do NO (67).

Quigley et al. estudaram o tamanho e a configuração dos olhos de 60 adultos saudáveis, doados por banco de olhos. Os diâmetros médios verticais e horizontais encontrados foram 1,88 mm e 1,77 mm, respectivamente. Esses autores observaram que os DOs de negros eram maiores e mais ovais que os de caucasianos, entretanto essa diferença não foi estatisticamente significativa (67). A área do disco varia de 0,80 mm<sup>2</sup> a 6,00 mm<sup>2</sup> na população normal (12, 66, 67,68, 69, 70, 71, 72, 73, 74, 75, 76, 77); o valor médio se situa em torno de 2,94 mm<sup>2</sup> em negros e 2,63 mm<sup>2</sup> em caucasianos (76).

A rima neuroretiniana correlaciona-se com a área do DO (70, 71). A área média da rima neuroretiniana em indivíduos normais é  $1,97 \pm 0,50$  mm<sup>2</sup> (73), não apresenta diferenças significativas entre negros e brancos (12) e não é influenciada pelo sexo, idade, refração ou lateralidade (73). A rima é significativamente maior no pólo inferior do disco óptico, seguido pelo pólo superior, borda nasal e região temporal (73).

#### **1.4.2- O Disco Óptico glaucomatoso**

As alterações que ocorrem no NO podem ser consideradas como as principais características no processo do glaucoma. Desde as observações iniciais do NO em seres humanos por Helmholtz, há 150 anos, a aparência do DO tem sido usada para avaliação clínica do glaucoma (78). Avaliações histológicas em humanos demonstraram que o desenvolvimento da lesão glaucomatosa está relacionado com a perda progressiva de células ganglionares retinianas e seus axônios, vasos sanguíneos e células da glia (81, 82, 83). Estudos experimentais com olhos de primatas expostos à elevação crônica da PIO sugerem que a lesão glaucomatosa esteja associada ao deslocamento posterior e lateral da lâmina cribrosa, o que levaria à compressão de axônios, interrompendo o fluxo axoplasmático (79, 80).

Devido à grande variabilidade das características anatômicas em indivíduos normais (84), muitas vezes fica difícil diferenciar um DO normal de um glaucomatoso, principalmente em fases iniciais da doença. As alterações do DO são tipicamente progressivas e assimétricas, e se apresentam sob diversas formas clínicas. Numerosos sinais sugestivos da neuropatia óptica glaucomatosa foram descritos na literatura:

- Atrofia focal da rima neuroretiniana

Ocorre desrespeitando o padrão decrescente de espessura em discos ópticos normais: Inferior > Superior > Nasal > Temporal (84,85). Geralmente, nos estágios iniciais, ocorre primeiramente na região temporal inferior e, em menor escala, no setor temporal superior, levando ao aumento da escavação na direção vertical (86, 87, 88, 89, 90, 91). Com a continuação do processo, a rima temporal é tipicamente envolvida após os polos verticais, seguida por último do acometimento da rima nasal (85). Entretanto, em alguns pacientes esse padrão não é respeitado. O afilamento inicial da rima nasal, presente em alguns pacientes, é altamente sugestivo de glaucoma (92).

- Aumento na escavação do DO (90, 93)

Discos maiores geralmente apresentam escavações maiores, e escavações levemente aumentadas em discos ópticos pequenos podem ser consideradas como suspeitas de glaucoma (68, 91, 94, 95, 96). A presença de uma relação escavação/disco horizontal maior que 0,3 ocorre em 82% da população glaucomatosa e em 18% de indivíduos normais. Entretanto, uma relação escavação/disco de 0,7 ocorre em apenas 5% de olhos normais (97).

Devido à dificuldade na diferenciação de escavações fisiológicas aumentadas e glaucoma, é importante a avaliação e comparação com o olho contralateral, em busca de assimetrias. Em indivíduos normais, a assimetria de escavação geralmente é observada quando existe diferença no tamanho dos DOs. Armaly identificou que apenas 1% da população normal apresentava assimetria de escavação entre DOs maior que 0,2. Em contrapartida, esse sinal esteve presente em 25% dos olhos com glaucoma (93). Jonas et al.

observaram a presença de assimetria de escavação maior que 0,2 em 4% dos indivíduos normais, e maior que 0,3 em apenas 1% (84); valores semelhantes aos encontrados em outros estudos (12, 98).

- Aprofundamento da escavação do DO e presença de estrias na lâmina cribrosa

Descreve-se que 64% dos olhos com glaucoma apresentam estrias na lâmina cribrosa. Em contrapartida, sua presença estaria restrita a 12% dos olhos de indivíduos saudáveis. Entretanto, é importante ressaltar que DOs grandes e com escavação aumentada fisiologicamente também podem apresentar essa característica (99).

- Fosseta adquirida do DO

Ocorre mais frequentemente em pacientes com glaucoma de pressão normal (100). Pode ser considerada como uma ectasia posterior na lâmina cribrosa, com perda da arquitetura normal dessa região (100, 101, 102, 103).

- Atrofia coriorretiniana peripapilar

Ao redor do DO pode existir uma região de afinamento e degeneração do tecido coriorretiniano, chamada de atrofia coriorretiniana peripapilar. Esta área pode ser dividida em duas zonas: alfa e beta. A zona alfa apresenta-se como uma área de hipo e hiperpigmentação irregular, diferenciando-se da zona beta, de coloração esbranquiçada, vasos coroidais amplos e aparentes, e esclera visível. Quando estão presentes simultaneamente, a zona beta é sempre a mais próxima do DO. Ambas as zonas são maiores e mais frequentes no setor temporal, seguido pelas áreas temporal inferior e temporal superior (104). A zona alfa está presente na maioria dos olhos normais, enquanto a zona beta está presente em 15% a 20% dos indivíduos normais e em 70% dos pacientes com glaucoma. Além disso, a zona beta é mais extensa em olhos com glaucoma (58, 104, 105).

- Hemorragia de Disco Óptico

Estão frequentemente associadas ao surgimento ou à progressão do defeito de CV no glaucoma (106) e podem preceder os defeitos na CFNRP (107). Sua prevalência varia em diferentes estudos, ocorrendo com maior frequência na região temporal inferior, em indivíduos com glaucoma de pressão normal (108, 109). Raramente são encontradas em indivíduos normais, mas podem ocorrer associadas a outras doenças, como diabetes ou hipertensão arterial (109, 110).

- Alterações Vasculares

- Desnudamento do vaso circunferencial (111, 112, 113); ocorre devido à perda de tecido neural, que o deixa isolado da rima neural.

- Vaso em Baioneta; ocorre devido à deflexão do vaso sanguíneo na borda da escavação aumentada.

- Vaso em Passarela (106); ocorre quando há perda de tecido de sustentação na região central do DO, dando a impressão que o vaso está flutuando.

- Anasalamento dos Vasos (86); ocorre em olhos com escavação fisiologicamente aumentada ou devido ao glaucoma, não sendo, portanto, um sinal importante na diferenciação entre olhos normais e glaucomatosos.

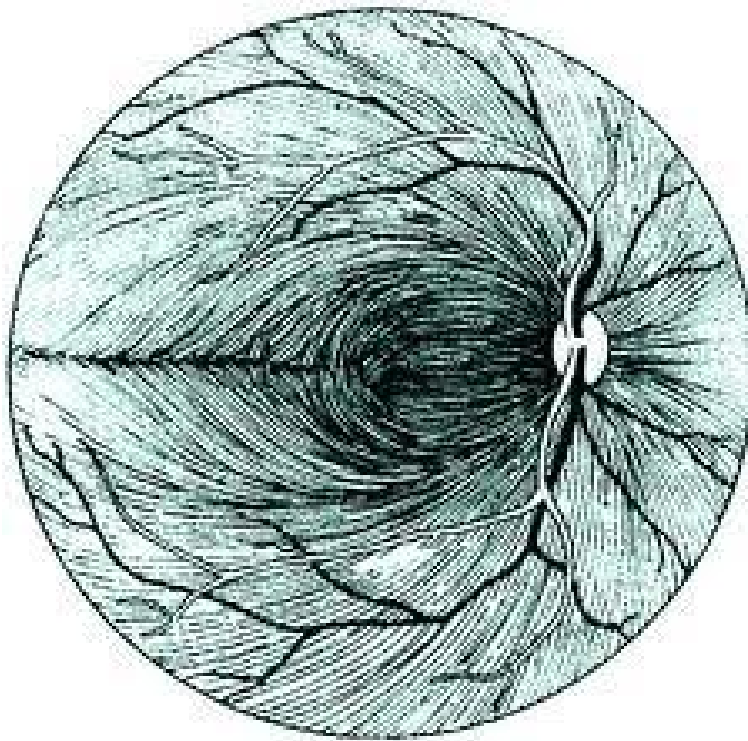
## **1.5- Anatomia da Camada de Fibras Nervosas da Retina Peripapilar (CFNRP)**

### **1.5.1- A CFNRP em olhos normais**

A CFNRP é composta pelos axônios das células ganglionares da retina, neuroglia e astrócitos (114). Os axônios das CGRs têm comprimento aproximado de 50 mm e se direcionam ao DO, assumindo um padrão de distribuição característico (Figura 2). As fibras periféricas temporais se originam de ambos os lados da linha divisória horizontal, conhecida como rafe mediana, e seguem um trajeto arqueado. As fibras originárias da mácula (feixe papilomacular) e da região nasal assumem um padrão mais radial em direção ao NO (115, 116). As fibras arqueadas estão mais susceptíveis à lesão glaucomatosa inicial,

por isso observamos a ocorrência frequente de escotomas arqueados no CV de indivíduos com glaucoma. (117, 118). Os feixes axonais são separados por células da glia e se tornam mielinizados pelos oligodendrócitos, atrás da lâmina cribrosa (117).

Os vasos sanguíneos situam-se na porção mais interna da CFNRP, são cobertos por feixes de fibras nervosas, o que os torna com aspecto ligeiramente obscurecido quando avaliados à oftalmoscopia (119). A espessura da CFNRP diminui com a idade (120), com taxa de perda de axônios estimada em 4000 fibras/ano (59, 121, 122).



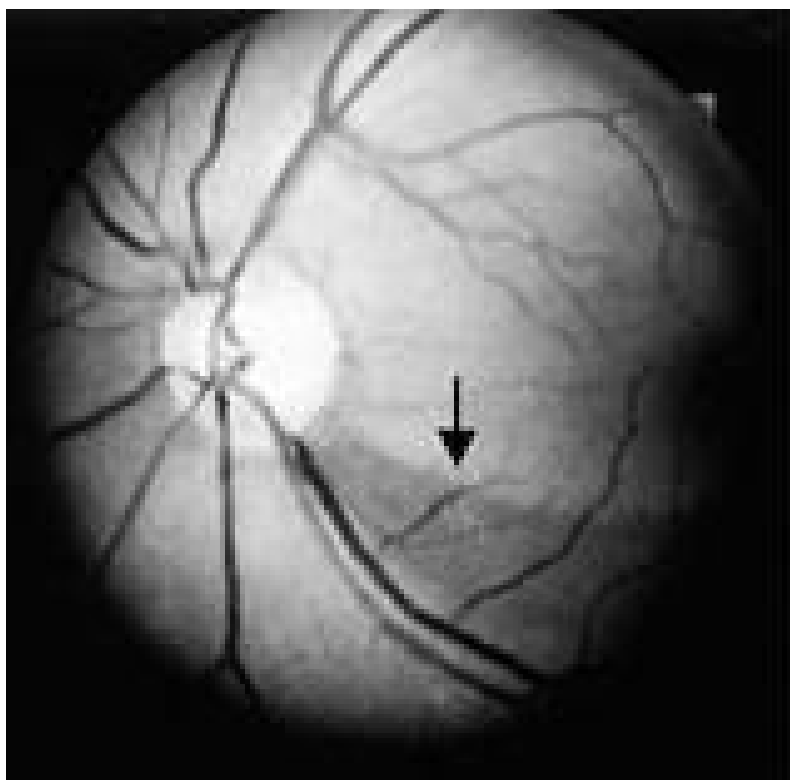
**Figura 2:** Distribuição das fibras nervosas retinianas

### **1.5.2- A CFNRP em olhos glaucomatosos**

Existem duas formas de defeito na CFNRP causados pelo glaucoma: localizado e/ou difuso. Os defeitos localizados foram inicialmente descritos por Hoyt (123, 124, 125), como áreas bem definidas, de aspecto triangular (em cunha), com ápice voltado

para o DO; que se irradiam do NO e se estendem periféricamente. Na maioria dos casos, são acompanhados de defeito correspondente no NO. Aparecem nas fotografias com filtro *red free* ou na oftalmoscopia como áreas escuras entre o brilho normal das estrias da CFNRP (Figura 3). O defeito localizado tem sido reportado em 20% dos pacientes com glaucoma (126).

A perda difusa da CFNRP ocasiona a diminuição da visibilidade desta camada, que pode ser difícil de detectar, especialmente em olhos com opacidade de meios. Outra indicação da perda de fibras nervosas é o aumento na visibilidade dos vasos sanguíneos (127). Desta forma, para um melhor diagnóstico da perda difusa da CFNRP, é importante avaliar o limite dos vasos (principalmente na segunda e terceira ramificações) e a ocorrência da perda do padrão estriado da CFNRP.



**Figura 3:** Defeito localizado na camada de fibras nervosas da retina.

## 1.6- Métodos de análise do Disco Óptico

### 1.6.1-Oftalmoscopia

As alterações glaucomatosas características do DO podem ser identificadas e acompanhadas por meio de exame clínico cuidadoso realizado com o oftalmoscópio direto ou através da biomicroscopia indireta em lâmpada de fenda com lentes auxiliares, preferencialmente sob midríase (128).

A oftalmoscopia direta apresenta a vantagem da alta magnificação (aumento de 15x), entretanto fornece pequeno campo de visão e não possibilita estereopsia. A avaliação estereoscópica via biomicroscopia em lâmpada de fenda, documentada por desenhos ou por descrição no prontuário do paciente, é realizada com o auxílio de lentes especiais de 66 D, 78 D ou 90 D, lente de Hruby ou com a lente de contato de Goldmann. Cada uma dessas lentes oferece uma magnificação diferente do fundo do olho (129), o que ocasiona uma pequena distorção na imagem: as lentes de 66 D, 78 D, 90 D e a lente de Goldmann levam a uma diminuição aparente na profundidade das estruturas, enquanto a lente de Hruby causa um pequeno aumento (130).

Desde 1969, tornou-se popular a classificação do DO por meio da avaliação da relação entre escavação/disco do NO (93). Essa escala de classificação avalia o diâmetro da escavação como porcentagem do diâmetro do disco. As vantagens desse método consistem na facilidade do uso e na ausência de artefatos de magnificação (131). Entretanto esse sistema não leva em consideração nem o tamanho do disco, nem afilamentos focais da rima neuroretiniana. Outro método eventualmente utilizado para avaliar o NO se baseia na regra ISNT. Esta regra sugere que, em nervos ópticos glaucomatosos, a distribuição da rima neuroretiniana não segue a ordem de espessura decrescente nos quadrantes, observada em indivíduos saudáveis: inferior > superior > nasal > temporal (73). Entretanto, evidências científicas mostram utilidade limitada dessa regra no diagnóstico de glaucoma (132).

Foram desenvolvidos alguns protocolos de descrição do NO, com o intuito de fornecer uma classificação diagnóstica, padronizada e reprodutível, da neuropatia glaucomatosa (84, 88, 133, 134, 135, 136, 137). Spaeth et al. (138) propuseram uma escala

de probabilidade de lesão do NO, considerando o diâmetro do DO e da rima neuroretiniana, chamada de escala de probabilidade de lesão de disco (DDL; *Disk Damage Likelihood Scale*), com relatos de boa reprodutibilidade e capacidade diagnóstica (131, 139, 140, 141, 142). Entretanto, a aplicação desses protocolos demanda tempo e aprendizado devido a sua complexidade (137).

#### **1.6.1.1- Reprodutibilidade da Oftalmoscopia**

Observa-se variabilidade considerável na classificação diagnóstica do glaucoma por meio da oftalmoscopia, principalmente entre examinadores diferentes (140, 143, 144, 145) e mesmo entre especialistas em glaucoma (146); além de grande dificuldade na identificação de progressão da doença.

Varma et al. avaliaram a concordância intra e interobservador de seis especialistas em glaucoma em 75 olhos, sob condição mono e estereoscópica, na classificação da relação vertical escavação/disco. A concordância intraobservador encontrada foi alta (*kappa*: 0,76 - 0,79), entretanto a interobservador foi moderada (*kappa*: 0,50 - 0,67). Individualmente, os examinadores hiperestimaram a relação vertical escavação/disco ao fazerem a avaliação sob condição estereoscópica. Entre as análises mono e estereoscópica, houve divergência dos examinadores em aproximadamente 0,2 e 0,16 diâmetros de disco, respectivamente (144). Henderer et al. avaliaram a concordância de três examinadores na avaliação do NO de 34 olhos de pacientes com glaucoma. As concordâncias interobservadores utilizando a escala DDL e a relação escavação/disco vertical de Armaly foram similares (70,1% e 67,6%, respectivamente) (140).

Arnalich-Montiel et al. determinaram, em 35 hipertensos oculares e em 56 pacientes com GPAA, a concordância entre três especialistas na avaliação da relação escavação/disco. O CCI (coeficiente de correlação intraclasses) para a relação vertical escavação/disco entre especialistas foi 0,87 e para relação horizontal foi 0,83 (147).

### **1.6.1.2- Acurácia diagnóstica da Oftalmoscopia**

Em uma revisão sistemática conduzida por Burr et al. observou-se, ao se adotar um valor de corte maior ou igual a 0,7 para a relação vertical escavação/disco, sensibilidade de 60% (95% intervalo de confiança (IC), 34% - 82%) e especificidade de 94% (95% IC, 76% - 99%) para diagnóstico de glaucoma. A razão de chances de diagnóstico foi de 25.7 (95% IC, 5,79 – 109,50) (148).

Em um estudo recente, Abdul Majid et al. avaliaram a acurácia diagnóstica da escala DDLS, do CV e de vários parâmetros da tomografia de coerência óptica (TCO) em 149 olhos de 149 pacientes categorizados em normais, suspeitos ou com diagnóstico de glaucoma. Os autores encontraram maior área sob a curva ROC (*Receiver Operator Characteristics*) para a escala DDLS (0,917) em relação ao índice CPSD do CV (0,895) e ao parâmetro espessura média da CFNRP da TCO (0,864) (149).

### **1.6.2- Fotografias do Disco Óptico**

As fotografias do DO são a técnica mais comumente utilizada para triagem e documentação de alterações estruturais no glaucoma (150, 151). Por evitarem a subjetividade de desenhos esquemáticos, as fotografias de DO permitem uma documentação mais objetiva, fornecendo a possibilidade de análise e comparação posteriores, o que facilita a detecção de modificações anatômicas que indiquem progressão da lesão glaucomatosa (54, 152, 153, 154, 155). Pode-se obter imagem colorida tridimensional (estereofotografia) ou bidimensional, esta última apresentando a vantagem da simplicidade e do baixo custo. Estereofotografias podem ser obtidas pelo reposicionamento manual horizontal ou pelo uso de um adaptador (Separador de Allen) (156). Entretanto, melhores imagens são obtidas com câmeras estereoscópicas de fundo de olho que utilizam o mesmo princípio do oftalmoscópio binocular indireto (câmara estereoscópica de Donaldson) (157).

Aspectos do DO, como tamanho do próprio disco e da escavação, forma, coloração e hemorragias peripapilares são relativamente bem caracterizados por esse método (158, 159). Entretanto, fotografias com alta qualidade nem sempre são fáceis de

serem obtidas, principalmente por dependerem da cooperação do paciente, de meios oculares transparentes, da midríase e de tempo para aquisição e revisão qualitativa das imagens.

### **1.6.2.1- Reprodutibilidade da análise de Fotografias do Disco Óptico**

A reprodutibilidade da análise de fotografias do DO foi avaliada em diversos estudos, com ampla variação de resultados referentes à concordância dos examinadores na detecção de alterações no DO: para concordância intraexaminador observam-se valores da estatística *kappa* de 0,50 a 1,00 (160, 161, 162, 163) e para concordância interexaminador de 0,34 a 0,83 (160, 162, 163, 164).

Henderer et al. avaliaram a reprodutibilidade da escala DDLS em relação à avaliação clínica e a relação escavação/disco de Armaly, em 48 pares de estereofotografias. As concordâncias inter e intraexaminador pelo método teste-reteste, para a medida vertical da escala DDLS, foram maiores que as obtidas pela impressão clínica e medida da relação vertical escavação/disco de Armaly (interexaminador: 85%, 68% e 74%, respectivamente; intraexaminador variou de: 97 a 99%, 89 a 95%, 80 a 89%, respectivamente) (140).

Breusegem et al. compararam a concordância entre especialistas e não especialistas em glaucoma na detecção de alterações glaucomatosas do DO, por meio de estereofotografias. Três especialistas independentes avaliaram um conjunto de estereofotografias seriadas coloridas, obtidas em um intervalo de dois a sete anos, de 40 pacientes. Cada paciente foi classificado em com doença em progressão ou estável, por pelo menos dois de três especialistas (considerado padrão de referência). Trinta e sete oftalmologistas não especialistas avaliaram independentemente o mesmo conjunto de fotografias duas vezes. A segunda avaliação foi feita no mesmo dia, após treinamento em um conjunto separado de fotografias. A concordância interobservador encontrada entre não especialistas foi significativamente menor (*kappa*: 0,20; 95% IC, 0,19 a 0,21) do que a encontrada entre especialistas (*kappa*: 0,51; 95% IC, 0,33 a 0,69) ( $p < 0,0001$ ). Após o treinamento, a concordância interobservador entre não especialistas mostrou uma melhora

pequena, mas estatisticamente significativa ( $kappa$  de 0,20 para 0,27 (95% IC, 0,26 a 0,28) ( $p < 0,0001$ )) (165).

### **1.6.2.2- Acurácia diagnóstica da análise das Fotografias do Disco Óptico**

Grande parte dos estudos na literatura reporta excelente acurácia para diagnóstico de glaucoma com a análise de fotografias do DO, com relatos de sensibilidade e especificidade variando entre 64 a 90,4% e 79,6 a 100%, respectivamente (164, 166, 167, 168).

Henderer et al. analisaram sequencialmente 83 pares de estereofotografias, separadas por um intervalo de cinco anos. As sensibilidades para detecção de alterações glaucomatosas foram 71,4%; 63,9%; 66,7% e 47,2% para escala DDLS, relação vertical escavação/disco, relação horizontal escavação/disco e relação escavação/disco máxima, respectivamente. As especificidades foram 70,9%; 51,1%; 40,4% e 48,9%, para os mesmos parâmetros, respectivamente. A maior área sob a curva ROC foi obtida com a escala DDLS (0,744) (169).

Danesh-Meyer et al. avaliaram o poder diagnóstico da escala DDLS, aplicada em fotografias do DO, em relação à avaliação da relação escavação/disco e à oftalmoscopia confocal de varredura a laser (OCVL) com o HRT (*Heidelberg Retina Tomograph*), em 110 olhos. A avaliação com a escala DDLS apresentou a maior área sob a curva ROC (0,95), seguida da avaliação da relação escavação/disco (0,84) e da análise MRA (*Moorfields Regression Analysis*) do HRT (0,68) (142). Deleón-Ortega et al. avaliaram a capacidade diagnóstica em 228 sujeitos da OCVL com o HRT II, da Polarimetria de Varredura a Laser (PVL) com o GDx-VCC, da TCO com o Stratus e da avaliação subjetiva de estereofotografias; por três examinadores independentes. A avaliação de estereofotografias obteve maior área sob a curva ROC e sensibilidade (0,903 e 77,22%, respectivamente) em relação ao melhor parâmetro de cada técnica: área global escavação/disco do HRT II (0,861 e 75,95%, respectivamente); NFI (*Nerve Fiber Indicator*) do GDx-VCC (0,836 e 68,35%, respectivamente); área vertical da rima do Stratus (0,854 e 73,42%, respectivamente) (170).

Andersson et al. compararam a acurácia diagnóstica das análises MRA e GPS (*Glaucoma Progression Score*) do HRT II com a classificação subjetiva de fotografias de DO, feita por oftalmologistas com experiência variável em glaucoma e por médicos residentes. A sensibilidade encontrada foi significativamente maior para ambas as análises MRA (87%) e GPS (79%) em relação à análise de todos os médicos (62%). As sensibilidades para especialistas em glaucoma, oftalmologistas gerais, oftalmologistas com outras especialidades e médicos residentes encontradas foram 72%, 59%, 53% e 66%, respectivamente. A especificidade variou de 86% (MRA) a 97% (classificação por todos os médicos), sem diferença estatisticamente significativa (168).

### **1.6.3- Oftalmoscopia Confocal de Varredura a Laser**

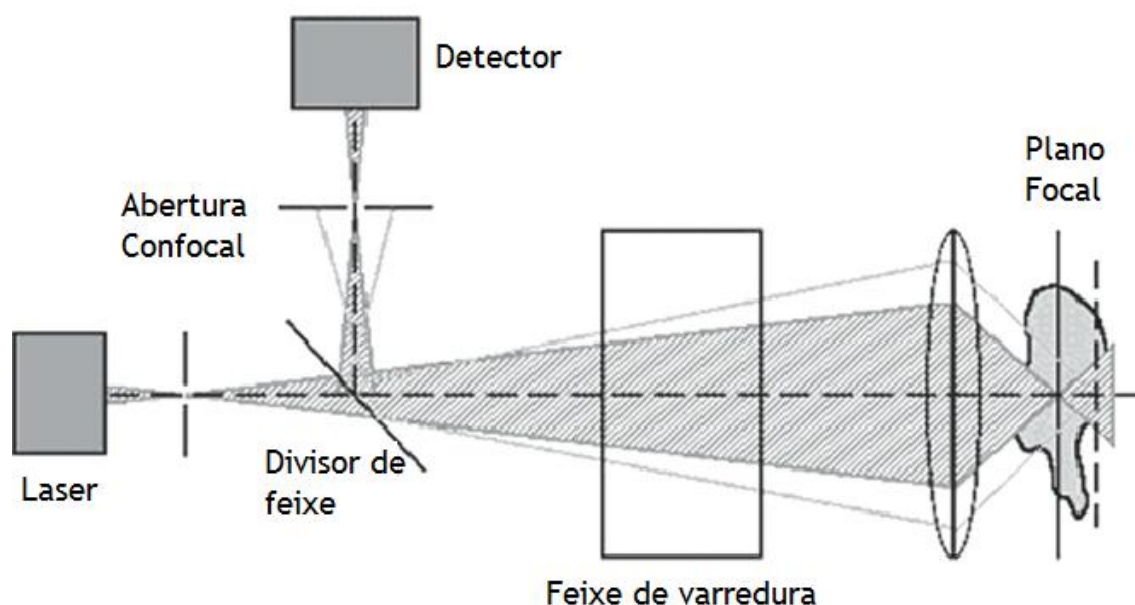
Os topógrafos de DO surgiram no mercado na década de 80 e, desde então, estão em constante aperfeiçoamento. O principal objetivo desta técnica é tornar a análise da morfologia do NO mais precisa e objetiva, detectando mudanças no DO sem a influência do examinador.

Na primeira linha de topógrafos desenvolvidos, estão o Analisador de Rodenstock (171), o Topcon Imagenet (PAR IS 2000) (172) e o Analisador Retiniano Humphrey (173). Esses dispositivos utilizavam métodos de fotografia convencional e programas de computação gráfica para criar imagens tridimensionais do DO. Com o Analisador de Rodenstock, imagens estereoscópicas eram obtidas por meio de processamento de dados referentes à profundidade relativa de diversos parâmetros do DO. (174, 175, 176). O Topcon Imagenet, denominado posteriormente de PAR IS 2000, utilizava uma câmera e um sistema de vídeo estereoscópico para obter imagens do DO. Os dados eram salvos em um disco rígido capaz de armazenar grandes quantidades de dados (4000 imagens monocromáticas por disco). Essas imagens eram analisadas por um programa que gerava parâmetros estereoscópicos, mapas de contorno, mapas de palidez e profundidade e imagens tridimensionais da retina (172).

Essas técnicas forneciam imagens de baixa qualidade, devido à dispersão, pouca refletividade e baixo contraste da retina (177). Desta forma, esses instrumentos,

apesar de terem sido extensivamente estudados e utilizados, foram sendo gradualmente substituídos na prática clínica por novos aparatos (178).

A segunda geração de topógrafos passou a utilizar o sistema confocal de varredura a laser, que se baseia em diferente princípio para a obtenção de imagens, em relação às câmeras de fundo (179, 180). A técnica da OCVL requer que um estreito feixe de luz seja direcionado para o pólo posterior do olho, através de uma abertura reduzida. Apenas um pequeno sítio é iluminado e um volume de luz, chamado de *voxel*, é refletido. O *voxel* é coletado por um divisor de feixe, sendo então direcionado, focado e decodificado em um detector. Uma segunda abertura confocal fica localizada na frente do detector. Essa abertura age como um filtro e permite que apenas a luz refletida de determinado plano focal seja detectada. Quanto menor a abertura, melhor a resolução da imagem. A imagem bidimensional resultante representa o reflexo luminoso detectado em cada ponto (ou *pixel*) da estrutura examinada. Séries de imagens confocais são obtidas a partir de sucessivos planos de profundidade no tecido, formando uma imagem tridimensional (180) (Figura 4). O primeiro plano da imagem é referente aos vasos retinianos e o último à porção mais profunda da escavação.



**Figura 4** – Princípio da Oftalmoscopia Confocal de Varredura a Laser.

O protótipo dessa segunda geração de topógrafos foi o Tomógrafo de Varredura a Laser, desenvolvido em 1991 e não mais disponível comercialmente. Em 1995, surgiu o TopSS (Laser Diagnostic Technologies Inc., San Diego, Califórnia, EUA) (181, 182, 183, 184) e em 1997, o Tomógrafo de Retina Heidelberg (HRT; Heidelberg Engineering GmbH, Heidelberg, Alemanha) (185, 186).

O primeiro modelo do HRT (HRT I ou clássico) foi desenvolvido como um topógrafo para exame oftalmoscópico geral. Já o HRT II foi aperfeiçoado especificamente para o exame do disco óptico. Duas décadas depois, o HRT II e o *software* 3,0 (HRT III) representam uma versão mais atualizada, compacta e fácil de manusear, com captação e análise de dados mais automatizada e melhora na database e nas equações classificatórias de análise de regressão linear (187).

O HRT utiliza um laser de diodo com comprimento de onda de 670 nm e dois espelhos que direcionam o feixe nos sentidos horizontal e vertical, em diversos planos ao longo do eixo óptico. Isso permite uma boa precisão no plano focal, cuja profundidade é ajustada pela posição do orifício confocal e que gera, no HRT II, 384 x 384 *pixels* espalhados em uma área de 15° X 15°. Dessa forma, é possível analisar o tecido em camadas, que podem variar de 16 a 64, dependendo da profundidade da estrutura tridimensional final (188). O HRT tem a vantagem de não necessitar de midríase para obtenção de imagens e de trabalhar com variáveis que são de conhecimento de todos os oftalmologistas, facilitando consideravelmente a compreensão do exame.

Devido à impossibilidade do HRT em reconhecer tecidos diferentes, a demarcação dos limites do DO é feita de forma manual pelo examinador, o que representa a principal limitação do aparelho. O *software* do aparelho cria um plano de referência abaixo da superfície retiniana, que corresponde a 50 µm abaixo do feixe papilomacular, a partir do qual vários dados de medidas do paciente são calculados e fornecidos no impresso do instrumento (189, 190, 191). Assim, estruturas localizadas anteriormente ao plano de referência são consideradas pertencentes à rima neural e as localizadas posteriormente são consideradas como escavação. Essas informações são comparadas com um banco de dados de indivíduos normais do próprio aparelho, com ajustes para o tamanho do disco óptico e

para a idade. Uma avaliação setorial é então feita por meio de uma análise de regressão linear ou MRA (186, 192). A partir dessa análise, o instrumento fornece em seu impresso uma classificação final do exame.

A novidade introduzida na última versão do HRT é o GPS, calculado por inteligência artificial (193, 194). O GPS utiliza cinco parâmetros: três referentes ao NO (largura da escavação, profundidade da escavação, inclinação da rima) e dois referentes à CFNRP (curvatura horizontal CFNRP e curvatura vertical CFNRP). Faz-se então o cálculo da probabilidade estatística de haver lesão glaucomatosa, comparando-se a topografia tridimensional do DO e da CFNRP do paciente com a do banco de dados específico para idade e raça. Essa análise elimina a necessidade do desenho manual do contorno do DO e da escavação; e compara automaticamente as imagens iniciais com as de retornos subsequentes, apontando áreas de progressão estatisticamente significantes. Esse índice varia de 0 a 100% e, quanto mais elevado seu valor, maior a probabilidade do nervo em questão ser glaucomatoso (187).

#### **1.6.3.1- Reprodutibilidade da Oftalmoscopia Confocal De Varredura a Laser**

A qualidade da imagem e a variação da altura do plano de referência são os principais fatores que influenciam a reprodutibilidade do HRT (195, 196, 197). A altura do plano de referência pode ser responsável por até 75% da variabilidade medida. Existem relatos indicando que as imagens do HRT podem ser influenciadas pelo tamanho da pupila (198), alterações da PIO (200, 201) e ciclo cardíaco (202). Acredita-se que idade, baixa acuidade visual, catarata e alto astigmatismo não interfiram diretamente na variabilidade das medidas, mas que estejam associados à má qualidade da imagem que, por sua vez, aumenta indiretamente a variabilidade das medidas (203, 204, 205).

Hatch et al. observaram excelente concordância de parâmetros do HRT obtidos em 50 pacientes com glaucoma por cinco examinadores, com valores do CCI de 0,73; 0,67; 0,94; 0,92 e 0,83 para volume da rima, área de disco, altura média da linha de contorno, forma da escavação e volume acima da superfície, respectivamente (206). Com o

HRT II, a variabilidade na maioria dos parâmetros obtidos em três exames do DO, em 20 sujeitos saudáveis, foi menor que 12% (207). Leung et al. avaliaram a variabilidade de medidas obtidas com o HRT III em 88 sujeitos, em três visitas separadas por um período de  $8,8 \pm 1,2$  meses. Os valores de CCI e do CDV para a área global da rima foram 0,97 e 6,22%, respectivamente (208).

Taibbi et al. avaliaram a reprodutibilidade intrasessão do GPS em 20 sujeitos saudáveis e em 20 indivíduos com glaucoma, submetidos a dez exames no mesmo dia, com o HRT III. Os altos valores globais de CCI observados (0,86 a 0,96, respectivamente) indicam que existe pouca variação nos resultados de exames repetidos em curto intervalo de tempo. É importante observar, no entanto, que, na análise por grupos, os pacientes com glaucoma apresentaram uma variabilidade um pouco maior (CCI: 0,71 a 0,92) do que os sujeitos saudáveis (CCI: 0,90 a 0,98) (197).

### **1.6.3.2- Acurácia diagnóstica da Oftalmoscopia Confocal de Varredura a Laser**

As evidências sugerem que o GPS pode discriminar entre olhos saudáveis e glaucomatosos tão bem quanto a MRA, sem apresentar a necessidade de determinação manual da linha de contorno (194, 209). Evidências científicas relatam valores de sensibilidade para o GPS de 61% a 80% e para MRA de 21% a 77%. Em relação à especificidade, encontramos valores de 57% a 90% para o GPS e de 67% a 100% para MRA (209, 210, 211, 212, 213). Alguns estudos sugerem que em pacientes com glaucoma inicial, o GPS tem uma sensibilidade maior e especificidade menor que a MRA, enquanto em pacientes com glaucoma avançado, a MRA tem um desempenho melhor que o GPS (186, 209, 214). Entretanto, semelhante ao que ocorre com a MRA, observou-se uma alta taxa de falso-positivos para GPS em discos grandes e baixa sensibilidade em discos pequenos (194).

## **1.7- Métodos de análise da CFNRP**

### **1.7.1- Fotografias da CFNRP**

Os defeitos CFNRP podem ser identificados antes que a lesão no DO e a perda de CV se tornem aparentes (215, 216, 217, 218). Há mais de 35 anos, foi reportado, por meio da avaliação de fotografias de fundo seriadas, que a lesão na CFNRP era detectável cerca de cinco anos antes do desenvolvimento de lesão no CV (215).

A CFNRP pode ser examinada e documentada por meio de fotografias preto e branco de alto contraste, obtidas utilizando luz com filtro *red free*. A luz com comprimento de onda mais curto, como a luz verde, é quase totalmente refletida pelas camadas superficiais da retina. A luz vermelha, com grande comprimento de onda, atravessa a retina praticamente sem reflexão. Desta forma, quanto maior a quantidade de luz verde penetrando no olho, maior o realce da CFNRP (219, 220).

As fotografias da CFNRP podem fornecer boas informações qualitativas sobre indicadores de lesão glaucomatosa. Entretanto, a imagem da CFNRP por essa técnica só fornece informações sobre a localização e a largura dos defeitos, mas não sobre dados quantitativos específicos da profundidade ou da extensão da perda de tecido. Além disso, há grande variabilidade na aparência inicial e na forma da progressão da lesão glaucomatosa em pacientes com PIO não controlada (217).

A visualização de defeitos da CFNRP pode ser dificultada em olhos com fundo hipopigmentado e com miopia, nos quais há maior reflexão da luz e menor contraste (130). As estereofotografias não são muito úteis na avaliação da CFNRP, principalmente por causa da pouca visibilidade deste tecido em fotografias coloridas.

#### **1.7.1.1- Reprodutibilidade da análise das Fotografias da CFNRP**

Existe grande variabilidade na avaliação das características da CFNRP, mesmo entre examinadores experientes (221), uma vez que essa avaliação é subjetiva e qualitativa.

Herrmann e Funk investigaram a concordância no julgamento de fotografias da CFNRP, por dois examinadores, em 91 pacientes com hipertensão ocular seguidos de 1991 a 2000. Os autores encontraram coeficiente de correlação de Kendall variando de 0,713 a 0,863 na análise intraexaminador, entretanto na análise interexaminador os valores para o coeficiente de Somer variaram de 0,541 a 0,581 (222).

### **1.7.1.2- Acurácia diagnóstica da análise das Fotografias da CFNRP**

Medeiros et al. compararam as medidas da CFNRP obtidas com a PVL e a avaliação da CFNRP por meio de fotografias com filtro *red free* em 42 pacientes com GPAA, 32 suspeitos de glaucoma e 40 indivíduos saudáveis. Os autores encontraram maior área abaixo da curva ROC para o melhor parâmetro da PVL em relação à análise das fotografias, com diferença estatisticamente significativa (0,91 e 0,84, respectivamente;  $p=0,03$ ) (223).

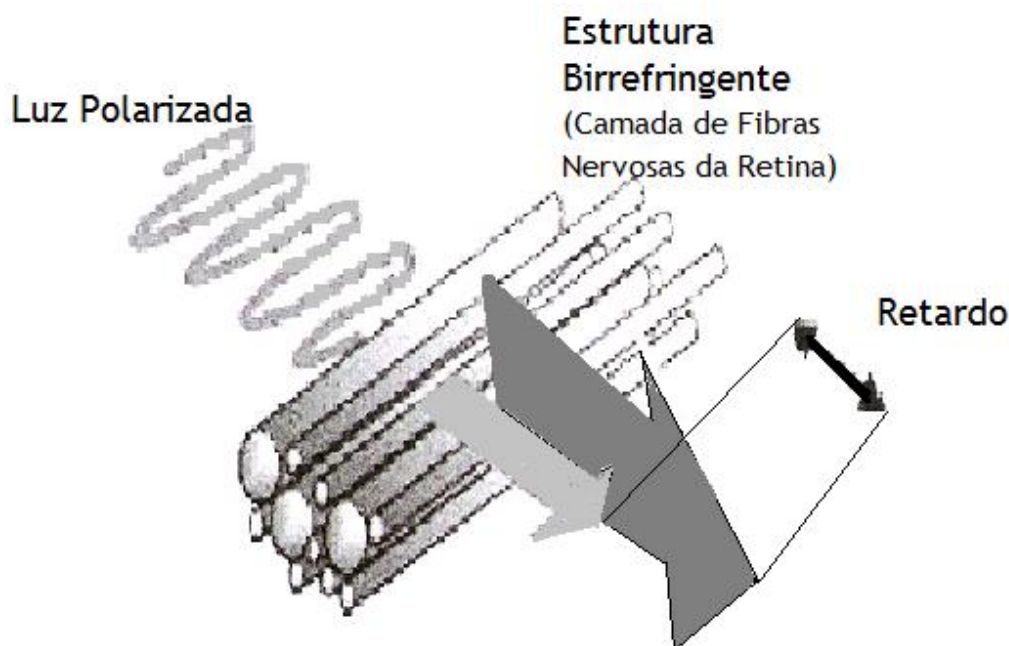
Hong et al. compararam a acurácia diagnóstica para o glaucoma com o perímetro Humphrey Matrix, com a PVL, com a TCO e com a análise de fotografias da CFNRP em 72 sujeitos com glaucoma e em 48 indivíduos saudáveis. Dois examinadores interpretaram as fotografias utilizando um sistema de escores, que levava em consideração a presença, intensidade, amplitude e localização do defeito na CFNRP. Os autores observaram menores áreas sob a curva ROC para as fotografias de CFNRP (0,75) em relação à perimetria computadorizada (0,99), à PVL (0,906) e à TCO (0,79). A sensibilidade e a especificidade encontradas com a avaliação das fotografias foram 58,3% e 95,8%, respectivamente (224).

Esses resultados sugerem que, devido à subjetividade e à análise basicamente qualitativa das fotografias da CFNRP, outros métodos de avaliação objetiva da CFNRP fossem desenvolvidos e aprimorados.

### **1.7.2- Polarimetria de Varredura a Laser**

A PVL (GDx®, Laser Diagnostic Technologies, San Diego, Califórnia, EUA) foi um dos primeiros métodos desenvolvidos com a proposta de fornecer medidas

quantitativas da espessura da CFNRP (225, 226, 227, 228, 229, 230). A estimativa das medidas da espessura da CFNRP com esse método baseia-se no princípio que a birrefringência das camadas da retina induz um retardo na velocidade da passagem da luz polarizada, proporcional à espessura do tecido avaliado (231, 232), devido à disposição paralela dos microtúbulos e neurofilamentos axonais (233) (Figura 5).



**Figura 5:** Princípio da Polarimetria de Varredura a Laser

A PVL é constituída de um oftalmoscópio com um polarímetro integrado e incorpora também um compensador corneano, que tem como objetivo evitar erros de interpretação devido às propriedades birrefringentes da córnea (234, 235) e, numa extensão menor, do cristalino (236). As primeiras versões foram compostas de um compensador fixo (GDx-FCC Nerve Fiber Analyzer), que apresentou resultados inadequados na avaliação de muitos olhos (237, 238). Em 2002, foi introduzido no mercado um dispositivo com um

compensador variável (GDx-VCC Nerve Fiber Analyzer), que permitiu a compensação específica para cada olho, fornecendo medidas mais acuradas da CFNRP (52, 223).

Em olhos com glaucoma, a perda de fibras nervosas retinianas é observada à PVL como uma diminuição difusa e/ou localizada na quantidade de retardo comparado com o padrão de retardo normal. Em alguns casos, observou-se um padrão de retardo atípico (PRA), caracterizado por elevados valores de retardo que não correspondiam à distribuição anatômica de CFNRP (239, 240). Esse fenômeno ocorria em aproximadamente 10 a 25% dos olhos saudáveis e em 15 a 51% de olhos com glaucoma (241, 242, 243). Sugeriu-se que o PRA resultaria da baixa relação sinal/ruído, como consequência da diminuição da refletividade do epitélio pigmentado da retina (242). Göttinger et al. atribuíram a ocorrência de imagens com PRA ao aumento da penetração do feixe de luz na esclera, que possui fortes propriedades birrefringentes (246). Vários autores mostraram associação do PRA com aumento da idade, miopia e menor pigmentação de retina (243, 244, 245).

Com o objetivo de melhorar a relação sinal/ruído, mantendo a adequada compensação corneana, e diminuir artefatos associados ao PRA, foi desenvolvido um novo *software* para a PVL, chamado de compensação ampliada da córnea (GDx-ECC Nerve Fiber Analyzer) (247). Esse método pode ser incorporado à PVL (GDx-VCC Nerve Fiber Analyzer) sem a necessidade de troca do equipamento (241, 248, 247, 250). Alguns estudos sugerem melhora na avaliação da CFNRP por este novo método (55, 248, 259, 251), tanto na precisão diagnóstica quanto na correlação entre medidas funcionais e estruturais.

#### **1.7.2.1- Reprodutibilidade da Polarimetria de Varredura a Laser**

Vários artigos científicos demonstram boa reprodutibilidade da PVL, tanto com o GDx-ECC quanto com o GDx-VCC (250, 252, 253, 254). Iacono et al. avaliaram a reprodutibilidade intersessão de medidas de espessura da CFNRP com o GDx-VCC em uma amostra de 29 sujeitos saudáveis e 29 pacientes com glaucoma, com uma semana de intervalo. O CDV foi menor que 6% em ambos os grupos. O CCI variou de 0,79 a 0,90 em sujeitos saudáveis e de 0,94 a 0,97 em pacientes com glaucoma (253). Garas et al. avaliaram a influência da dilatação pupilar na reprodutibilidade da PVL em diferentes

estágios de glaucoma. Um olho de cada um dos 37 participantes caucasianos (14 saudáveis e hipertensos oculares com índice MD maior que 2 dB; onze sujeitos com glaucoma moderado com MD entre -6 e -12 dB e doze sujeitos com glaucoma avançado com MD menor que -15 dB) foram submetidos a exame de imagem, cinco vezes com ambos GDx-VCC e GDx-ECC, antes e após dilatação pupilar. Nenhuma diferença estatisticamente significativa foi encontrada para qualquer parâmetro entre os dois polarímetros. Os autores concluíram que a reprodutibilidade do GDx-VCC e GDx-ECC foi semelhante e satisfatória para propósitos clínicos, sendo minimamente influenciada pela midríase farmacológica (254).

#### **1.7.2.2- Acurácia diagnóstica da Polarimetria de Varredura a Laser**

A sensibilidade para detecção de glaucoma com parâmetros do GDx-VCC varia, de acordo com a literatura, de 28,3% a 93,3%. A menor especificidade reportada, com o parâmetro NFI, foi 52,9% (224, 255, 256, 257, 258, 259, 260).

Medeiros et al. (286) encontraram área sob a curva ROC significativamente maior para a avaliação com o GDx-ECC comparado com GDx-VCC (0,89 e 0,65, respectivamente;  $P < 0,001$ ) (261). Este resultado está de acordo com o encontrado em outros estudos (243, 262). Grewal et al. demonstraram que o GDx-ECC identificou mais casos de progressão de glaucoma do que o GDx-VCC (11,8% e 8,8%, respectivamente) (263).

Costa et al. avaliaram a influência da idade, sexo, erro refracional e topografia do disco óptico na sensibilidade e especificidade da PVL, em 88 indivíduos saudáveis e em 95 pacientes com glaucoma. Os autores encontraram valores de sensibilidade e especificidade de 82% e 83%, respectivamente, e não observaram influência da idade, sexo, raça e média do diâmetro ou área do disco. Os valores de sensibilidade apresentaram uma tendência a serem maiores em míopes (93%) que em emétopes (80%) e hipermetropes (71%) ( $p = 0,08$ ). A sensibilidade foi maior em indivíduos com área de escavação maior que  $0,96 \text{ mm}^2$  (89%), área da rima menor ou igual a  $1,36 \text{ mm}^2$  (92%) e relação da área de escavação/disco maior que 0,45 (89%) ( $p < 0,05$ ) (229).

## **1.8- Tomografia de Coerência Óptica**

A TCO foi introduzida em 1991 como uma técnica de imagem não invasiva e *in vivo* que possibilitava a realização de imagens transversais dos tecidos, com alta resolução, por meio da medida da reflexão óptica (264). Muitos avanços foram incorporados a esta tecnologia desde então, melhorando as resoluções axial e transversal e diminuindo o tempo necessário para aquisição das imagens (265, 266, 267). A TCO encontrou ampla utilização na medicina, com aplicação em diferentes especialidades como gastroenterologia (268), dermatologia (269) e cardiologia (270). O impacto clínico mais significativo da TCO ocorreu na oftalmologia, apresentando grande valor no diagnóstico e seguimento de doenças retinianas e do glaucoma (271, 272, 273).

### **1.8.1- Histórico**

A TCO foi desenvolvida no Departamento de Engenharia Elétrica e Ciência da Computação do *Massachusetts Institute of Technology*. A primeira imagem da retina foi obtida em 1989 por David Huang e Joel S. Schuman. Em 1991, a revista *Science* publicou as primeiras imagens da retina e da artéria coronária *ex vivo*, que foram comparadas à análise histológica dos mesmos tecidos (264). Em 1993, Eric Swanson projetou o primeiro modelo de TCO de domínio temporal (TCO-DT) dedicado à oftalmologia, construído no laboratório de engenharia do *New England Eye Center, Tufts University School of Medicine* em Boston, Massachusetts, EUA. Nesse mesmo ano, as primeiras imagens *in vivo* foram apresentadas (274) e em 1994 a tecnologia foi patenteada e transferida a Carl Zeiss Meditec (Dublin, CA) (275). Entre 1994 e 1995, foram realizados vários estudos clínicos e publicadas as primeiras imagens de doenças retinianas (276).

A primeira versão, chamada de OCT 1000 (Carl Zeiss Meditec, Dublin, CA), foi comercializada em 1996. Essa tecnologia passou por dois aprimoramentos, resultando no OCT 2000, em 2000; e no OCT 3, conhecido como Stratus, que ficou disponível comercialmente em 2002. Em 2006, foi comercializado o primeiro dispositivo de TCO de alta velocidade e resolução, conhecido por TCO de domínio espectral (TCO-DE) ou de domínio Fourier.

Esse epônimo se refere ao cientista militar francês Jean-Baptiste-Joseph Fourier, que, no início de 1800, derivou uma equação para descrição da condução de calor em corpos sólidos (277). Após anos de pesquisa, Fourier desenvolveu esta poderosa ferramenta, nomeando-a de transformada de Fourier, que encontrou aplicação em diversas áreas: física e química quântica, teoria dos números, análise combinatória, processamento de sinal, processamento de imagem, teoria das probabilidades, estatística, criptografia, acústica, oceanografia, sísmica, óptica, geometria entre outras. Nos campos relacionados ao processamento de sinal, a transformada de Fourier é tipicamente utilizada para decompor um sinal em seus componentes de frequência e amplitude (278).

A aplicação desta fórmula proporcionou a medição simultânea pela TCO-DE de todos os ecos de luz refletidos da retina, tornando necessária a realização de apenas uma varredura transversal; diferentemente da medição sequencial, como faz a TCO-DT. Essa mudança aumentou significativamente a quantidade de dados adquiridos em cada sessão, o que resultou em uma redução significativa do tempo de aquisição das imagens e dos artefatos de movimento, e em um aumento da relação sinal/ruído quando comparada à TCO-DT (275). Devido ao fato do princípio básico da TCO-DE se basear mais na aplicação da fórmula de Fourier do que na tecnologia anteriormente patenteada, vários aparelhos de diferentes fabricantes com tecnologia de domínio espectral foram desenvolvidos e disponibilizados no mercado (Quadro 1) (279, 280). Embora cada dispositivo dependa da mesma tecnologia, as companhias responsáveis por cada aparelho têm se esforçado para tornar o seu produto diferenciado (279, 281).

**Quadro 1:** Descrição dos sistemas de TCO-DE disponíveis comercialmente.

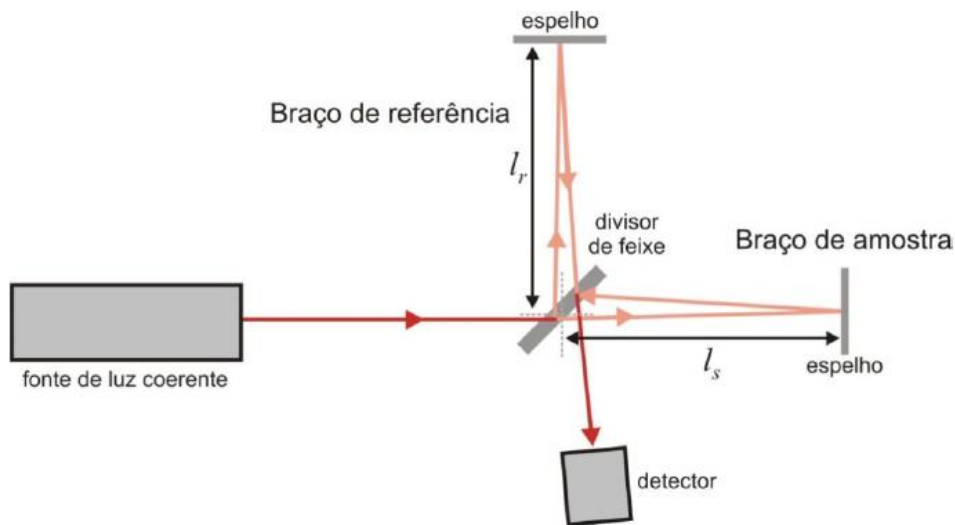
| Instrumento (Fabricante)   | Descrição   |
|--|---|
| 3D-OCT 2000 (Topcon, Tokyo, Japão)   | TCO-DE e câmera de fundo de alta resolução<br>Resolução axial: 5 $\mu$ m<br>Taxa de aquisição de <i>A-scans</i> : 27 kHz  |
| Bioptigen SD-OCT (Bioptigen, Research Triangle Park, NC)   | Desenhado para uso experimental e clínico<br>Sonda manual e montagem em microscópio<br>Resolução axial: 4 $\mu$ m<br>Taxa de aquisição da <i>A-scans</i> : 20kHz  |
| Cirrus HD-OCT (Carl Zeiss Meditec, Dublin, Califórnia)   | <i>Software</i> inclui uma análise de progressão guiada para detecção de progressão<br>Resolução axial: 5 $\mu$ m<br>Taxa aquisição <i>A-scans</i> : 27kHz  |
| RTVue-100 (Optovue, Fremont, CA)   | Oferece vários protocolos de aquisição de <i>scans</i> para detecção de glaucoma, incluindo análise do complexo de CGRs<br>Resolução axial: 5 $\mu$ m<br>Taxa aquisição <i>A-scans</i> : 26kHz              |
| SOCT Copernicus (Optopol, Zawiercie, Polônia)  | <i>Software</i> inclui análise de progressão que incorpora a escala DDLS, assimetria entre DOs e espessura CFNRP<br>Resolução axial: 6 $\mu$ m<br>Taxa aquisição de <i>A-scans</i> : 27kHz                  |
| Spectral OCT SLO (Opko, Miami, Flórida)  | Combina TCO-DE, OCVF e microperimetria<br>Resolução axial: 6 $\mu$ m<br>Taxa aquisição <i>A-scans</i> : 27kHz   |
| Spectralis OCT (Heidelberg Engineering, Heidelberg, Alemanha)  | TCO-DE de alta velocidade com <i>eye-tracking</i> , angiografia fluoresceínica, angiografia com Indocianina Verde e autofluorescente<br>Resolução axial: 4 $\mu$ m<br>Taxa aquisição <i>A-scans</i> : 40kHz |
| NIDEK RS-3000 (Nidek, Gamagori, Japão)   | Combina TCO-DE de alta velocidade e OCVL<br>Resolução axial: 4 $\mu$ m<br>Taxa aquisição <i>A-scans</i> : 53kHz   |
| TCO-DE: Tomografia de Coerência Óptica de Domínio Espectral. CGRs: Células Ganglionares de Retina; DDLS: <i>Disk Damage Likelihood Scale</i> . DOs: Discos Ópticos. CFNRP: Camada de Fibras Nervosas da Retina Peripapilar. OCVF: Oftalmoscopia Confocal de Varredura a Laser. |   |

## 1.8.2- Técnica

### 1.8.2.1- Tomografia de Coerência Óptica de Domínio Temporal

A TCO possui princípio básico análogo ao do ultrassom modo B, entretanto utiliza luz ao invés de ondas mecânicas sonoras (282). O uso da luz fornece algumas vantagens, dentre elas a de ser um método que não requer contato com o paciente.

A imagem é formada a partir da determinação do tempo de atraso e da intensidade da luz refletida pelas diversas interfaces que compõem os tecidos. Por ser a luz muito mais rápida que o som, o tempo de atraso da reflexão da luz que incide sobre as diferentes estruturas seria da ordem de fentosegundos, não podendo ser medido de forma direta. Desta forma, a TCO se baseia na interferometria de baixa coerência ou interferometria de luz branca, que foi inicialmente utilizada na oftalmologia para medidas *in vivo* do comprimento do eixo axial do globo ocular (283). Apesar da aplicação da interferometria de baixa coerência como ferramenta na área da saúde ser relativamente recente, sua teoria foi desenvolvida há aproximadamente um século, por Albert Abraham Michelson, através do interferômetro de Michelson (284). (Figura 6).



**Figura 6:** Interferômetro de Michelson.  $l_r$  e  $l_s$  representam os comprimentos dos braços de referência e de amostra, respectivamente.

O processo de geração de imagens se inicia com a incidência de uma fonte de luz de baixa coerência (830 nm de comprimento de onda). O feixe de luz formado se dirige a um divisor: metade da luz é direcionada a um espelho, a uma distância conhecida, em um braço de referência; a outra metade da luz é direcionada à retina, em um braço de amostra, onde é espalhada, absorvida e refletida por suas camadas. Após a reflexão nos diferentes braços de referência e de amostra, os feixes de luz retornam para o divisor e se combinam para formar um padrão de interferência, que representa a superposição das duas ondas num mesmo ponto. O sinal formado é direcionado a um fotodetector e só é detectado e analisado quando as reflexões do tecido e do espelho estiverem próximas de serem emparelhadas, ou seja, quando estiverem praticamente à mesma distância. Desta forma, para cada varredura axial, a posição do espelho de referência oscila para permitir aquisição da imagem de uma determinada profundidade no tecido. Cada *pixel* da imagem formada representará a intensidade da reflexão naquela posição. Um algoritmo automático baseado nas mudanças de refletividade entre as camadas da retina adjacente calcula a espessura da CFNRP (275).

A TCO-DT é assim chamada pois a resolução da imagem depende do tempo e da distância, ou seja, depende do tempo de atraso da luz refletida da retina em relação à luz refletida do espelho de referência, a uma distância conhecida. Os modelos iniciais desta tecnologia, OCT 1000 e OCT 2000 (Carl Zeiss Meditec, Humphrey Division, Dublin, Califórnia, EUA), apresentavam velocidade de aquisição de imagens de 100 *A-scans/s* e resolução óptica entre 12 e 15  $\mu\text{m}$ . O modelo Stratus mais avançado (Carl Zeiss Meditec, Humphrey Division, Dublin, CA) adquire 400 *A-scans/s* com resolução de 8 a 10  $\mu\text{m}$  (282).

### **1.8.2.2- Tomografia de Coerência Óptica de Domínio Espectral**

O maior avanço na tecnologia da TCO ocorreu pelo uso do comprimento de onda ao invés do tempo de atraso para localizar a luz refletida, o que só foi possível devido à aplicação da transformada de Fourier. Na TCO-DT, para cada varredura axial, a posição do espelho de referência é ajustada para permitir que imagens de profundidades conhecidas sejam comparadas com as do tecido. A TCO-DE tem princípio similar à TCO-DT, porém o

espelho de referência é estático e o padrão de interferência é dividido em seus componentes de frequência, sendo todos esses componentes simultaneamente detectados por um dispositivo de carga acoplada (DCA). O DCA possui uma variedade de fotodetectores, cada um sensível a uma faixa específica de frequência (265; 266, 267, 285). Cada frequência detectada corresponde a uma certa profundidade no tecido. Esses *A-scans* podem ser adquiridos ao longo de um plano transversal através do tecido e formar *B-scans*, como também ocorre na TCO-DT.

Devido a esse sistema de captação de imagem, a TCO-DE é 100 vezes mais rápida na aquisição dos dados, possibilitando a obtenção de 18000 a 40000 *A-scans/s*. Como consequência, a vulnerabilidade causada pelo movimento dos olhos é diminuída e uma amostra mais densa do tecido é captada, consistindo de várias centenas de varreduras de 200x200x1024 *pixels* em 2 segundos, com resolução de até 2  $\mu\text{m}$  (286).

### **1.9- Justificativa**

A utilidade clínica de novos instrumentos diagnósticos no glaucoma depende de sua capacidade de diferenciar entre olhos normais e glaucomatosos, e de monitorar a progressão da doença. Para correta análise dos resultados, é fundamental que as medidas obtidas por esses exames sejam reprodutíveis. Vários estudos investigaram a reprodutibilidade da TCO-DT (287, 288, 289, 290, 291, 292, 293, 294, 295, 296, 297, 298). Este estudo foi proposto devido à importância de se avaliar a reprodutibilidade de medidas da camada de fibras nervosas obtidas com o Cirrus HD-OCT em indivíduos normais e em indivíduos com glaucoma. No momento da realização deste trabalho, havia alguns estudos avaliando a reprodutibilidade de alguns tomógrafos com tecnologia espectral (298, 299, 300, 301, 302, 303), entretanto poucos trabalhos avaliando a reprodutibilidade do Cirrus HD-OCT (298, 301). Além disso, não havia na literatura estudos avaliando a reprodutibilidade de exames obtidos com o Cirrus HD-OCT realizados por diferentes examinadores.

## 1.10- Objetivos

Os objetivos do presente estudo são:

- Avaliar a reprodutibilidade de medidas de espessura da camada de fibras nervosas da retina obtidas com o Cirrus HD-OCT, em indivíduos normais e em indivíduos com glaucoma, obtidas no mesmo dia (variabilidade intrasessão).
- Avaliar a reprodutibilidade de medidas de espessura da camada de fibras nervosas de retina obtidas com o Cirrus HD-OCT, em indivíduos normais e em indivíduos com glaucoma, obtidas em dias diferentes (variabilidade intersessão).
- Avaliar a reprodutibilidade de medidas de espessura da camada de fibras nervosas da retina obtidas com o Cirrus HD-OCT, em indivíduos normais e em indivíduos com glaucoma, obtidas por examinadores diferentes (variabilidade interexaminador).



## 2- MATERIAL E MÉTODOS

---



Este foi um estudo transversal, prospectivo, que incluiu 34 pacientes com glaucoma e 32 indivíduos saudáveis, realizado no Setor de Glaucoma do Departamento de Oftalmologia da Universidade Estadual de Campinas (UNICAMP).

Este estudo seguiu os princípios da Declaração de Helsinque e foi aprovado pelo Comitê de Ética da UNICAMP (ANEXO 1). Foi obtido consentimento informado por escrito de todos os participantes (APÊNDICE 1).

## **2.1- Casuística**

Os pacientes incluídos no estudo foram recrutados do ambulatório do Setor de Glaucoma do Hospital das Clínicas da UNICAMP. Os indivíduos saudáveis foram selecionados entre os membros da Universidade, voluntários da equipe médica, familiares e amigos dos pacientes em seguimento em outros ambulatórios de Oftalmologia. Os sujeitos do estudo foram consecutivamente divididos em dois grupos: glaucoma e saudável. Todos os dados foram coletados entre maio de 2009 e julho de 2009.

### **2.1.1- Critérios de inclusão**

Foram incluídos no estudo sujeitos que preenchessem os seguintes critérios:

- Acuidade visual corrigida melhor igual a 20/40;
- Capacidade de se submeter aos testes;
- Desejo de participar do estudo.

#### **2.1.1.1- Grupo Glaucoma**

Os sujeitos que foram incluídos no grupo Glaucoma deveriam ter como diagnóstico qualquer forma de glaucoma crônico de ângulo aberto estável, definido como a presença de anormalidades de DO consistentes com neuropatia óptica glaucomatosa, com ou sem perda de CV. Pelo menos duas das seguintes anormalidades de DO deveriam estar presentes, em exame estereoscópico de fundo de olho sob midríase, para que este fosse considerado glaucomatoso:

- Relação escavação/disco maior que 0,6 (97);
- Perda localizada de rima neuroretiniana (92);
- Hemorragias de disco óptico (106);
- Assimetria escavação/disco maior que 0,3 entre os dois olhos (93).

Foram considerados com glaucoma estável os sujeitos que apresentassem os seguintes critérios:

- Ausência de piora da lesão do DO nos últimos doze meses;
- PIO menor ou igual a 21mmHg com medicações, aferida com tonômetro de Goldmann;
- Ausência de progressão do CV, em dois campos consecutivos, definida como pelo menos um dos seguintes critérios no gráfico *Pattern Deviation* (304):
  - Defeito novo em área antes normal
    - Aparecimento de três pontos adjacentes não periféricos, com diminuição de sensibilidade de 5 dB ou mais
  - Aprofundamento ou expansão de defeito existente
    - Diminuição da sensibilidade em 10 dB ou mais em três pontos adjacentes, não periféricos, em área anteriormente alterada
    - Diminuição de 10dB ou mais em um ponto previamente normal nos 15° centrais ou em dois pontos quando fora dos 15° centrais, adjacentes a defeito prévio
  - Depressão generalizada
    - Piora de 3 dB ou mais em todos os pontos

### **2.1.1.2- Grupo Saudável**

Os sujeitos incluídos neste grupo deveriam preencher os seguintes critérios:

- Ausência de história de doenças oculares;
- Ausência de história familiar de glaucoma;
- PIO menor que 21 mmHg, aferida com tonômetro de Goldmann;
- Ângulo aberto ao exame de gonioscopia;

- Aparência normal do DO em exame estereoscópico de fundo de olho sob midríase (ausência de palidez ou afilamento localizado da rima neuroretiniana, ausência de edema de papila, relação escavação/disco menor ou igual a 0,6 e ausência de qualquer outro sinal sugestivo de neuropatia);
- Resultado normal dos índices GHT (*Glaucoma Hemifield Test*) e PSD (*Pattern Standard Deviation*) no exame de CV.

### **2.1.2- Critérios de exclusão**

Sujeitos que apresentassem as seguintes características foram excluídos do estudo:

- Doenças sistêmicas ou oculares que pudessem interferir com as medidas de CFNRP (por exemplo, diabetes, doenças neurológicas, uveítes, neurites ópticas);
- Erro refracional maior que cinco dioptrias esféricas ou cinco dioptrias cilíndricas;
- Palidez de DO;
- Lesões coriorretinianas;
- Dificuldade persistente na realização do exame, caracterizada por perda de fixação, movimentação da cabeça ou dos olhos e intensidade do sinal da imagem menor que sete em dois exames consecutivos.

### **2.1.3- Dados Demográficos**

Não foi estabelecida idade mínima ou máxima para inclusão no estudo. A raça foi definida pelo próprio participante do estudo como branca, parda, negra ou amarela.

## **2.2- Métodos**

### **2.2.1- Exame Oftalmológico**

Todos os indivíduos foram submetidos a exame oftalmológico completo, incluindo:

- Avaliação da acuidade visual corrigida, medida com a tabela de optotipos de Snellen e convertida posteriormente para análise estatística em LogMAR;
- Biomicroscopia com lâmpada de fenda;
- Tonometria de aplanção com tonômetro de Goldmann;
- Gonioscopia;
- Oftalmoscopia indireta;
- Avaliação do DO com lente de 78 D sob midríase;
- Exame de perimetria automatizada com estratégia “*Full-Threshold*” ou “*Swedish Interactive Threshold Algorithm*” (SITA) 30-2 ou 24-2 (Humphrey Visual Field Analyzer; Carl Zeiss Meditec, Dublin, Califórnia, EUA).

### **2.2.2- Medidas de Espessura da CFNRP**

Um olho de cada sujeito do estudo foi selecionado, de forma aleatória, para se submeter a medidas de espessura da CFNRP com o Cirrus HD-OCT Model 4000 (Carl Zeiss Meditec, Dublin, Califórnia, EUA) (Figura 7A).

As medidas foram feitas sem que os sujeitos estivessem sob midríase. Os sujeitos foram sentados e posicionados confortavelmente; e o aparelho foi corretamente alinhado (Figura 7B). O sujeito foi então instruído a olhar para o ponto luminoso de fixação interna, com a finalidade de trazer a imagem do DO à visão do examinador na tela do aparelho. A operação do aparelho foi feita através de um visor de tela, que permite alinhamento sem a necessidade de movimento maior do *hardware*. A posição do círculo de medidas foi ajustada manualmente pelo examinador, de forma a se obter melhor foco e centralização. Se o sujeito se movesse, piscasse ou perdesse a fixação durante a medida, a imagem era excluída e retomada. O exame também era descartado e obtido novamente se a intensidade do sinal de captação da imagem fosse menor que sete ou se houvesse falha do algoritmo do aparelho. Se o erro ou o sinal menor que sete persistisse, o sujeito era então excluído. Não foi utilizada a função de repetição do *scan*, que consiste no registro reconstituído, a partir de exame prévio, da posição de centralização do DO de cada paciente.

O protocolo utilizado foi o Cubo do Disco Óptico 200 x 200. No primeiro dia de avaliação, um único examinador realizou cinco medidas, sem reposicionar o sujeito entre cada exame, para a análise da variabilidade intrasessão. O mesmo examinador realizou mais quatro medidas, em dias diferentes, durante um período de três meses, para avaliação da variabilidade intersessão. Um segundo examinador realizou uma medida adicional nos mesmos sujeitos durante o primeiro dia. Nesse caso, houve reposicionamento do sujeito após a conclusão dos cinco primeiros exames realizados pelo primeiro examinador. Este exame, juntamente com o primeiro exame realizado pelo primeiro examinador, foi utilizado para se avaliar a variabilidade interexaminador.



**Figura 7:** Cirrus HD-OCT. **A:** Aparelho Cirrus HD-OCT. **B:** Paciente posicionado para realização do exame.

- Cirrus HD-OCT

O Cirrus HD-OCT tem uma plataforma de domínio espectral que fornece escaneamento mais rápido, com velocidade de varredura de 27000 *A-scans* por segundo, e com melhor resolução axial (5  $\mu\text{m}$ ) que seu precursor, o Stratus. A fonte óptica utilizada é

um diodo supraluminescente de 840 nm de comprimento de onda. Por meio da tecnologia da TCO-DE, o Cirrus HD-OCT obtém um conjunto de dados significativamente mais denso (6 mm x 6 mm com profundidade de 2 mm, que equivale a um mapa de 200 x 200 pontos) comparado com o Stratus (círculo de 3,46 mm de diâmetro, que equivale a 768 pontos). O Stratus e o Cirrus HD-OCT realizam as medidas de espessura da CFNRP em localizações semelhantes, apesar de usarem tecnologias diferentes. O Stratus (protocolo FAST) mede a espessura da CFNRP ao longo de um círculo de 3,46 mm de diâmetro ao redor do DO, enquanto o Cirrus HD-OCT (protocolo Cubo do Disco Óptico 200x200) extrai uma mapa de espessura da CFNRP circular de 1,73 mm de raio, a partir de um conjunto de dados obtidos da área do cubo escaneado (305). No Quadro 2 encontram-se as principais diferenças entre o Cirrus HD-OCT e o Stratus.

**Quadro 2:** Principais diferenças entre o Cirrus HD-OCT e o Stratus.

|   | <b>Stratus</b>                              | <b>Cirrus HD-OCT</b>                    |
|---|---|---|
| Tecnologia  | TCO-DT                                      | TCO-DE                                  |
| Velocidade  | 400 <i>A-scans/s</i>                        | 27000 <i>A-scans/s</i>                  |
| Resolução axial   | 10 $\mu\text{m}$                            | 5 $\mu\text{m}$                         |
| Área escaneada  | Círculo de 3,4 mm de diâmetro<br>768 pontos | Cubo 6 mm x 6 mm x 2 mm<br>40000 pontos |
| TCO-DT: Tomógrafo de Coerência Óptica de Domínio Temporal. TCO-DE: Tomógrafo de Coerência Óptica de Domínio Espectral |   |   |

Com o objetivo de fornecer informações comparativas na avaliação dos pacientes, a Carl Zeiss Meditec coordenou um estudo prospectivo, multicêntrico, não randomizado para a construção do banco de dados de espessura da camada de fibras nervosas das regiões peripapilar e macular do Cirrus HD-OCT (306). Foram incluídos 284 indivíduos saudáveis, com idade média de 46,5 anos (18 a 84 anos). A partir dos exames desses indivíduos, foi criado o banco de dados para a análise dos protocolos macular e

Cubo do Disco Óptico 200 x 200. Foi feita uma análise de regressão para se estimar o limite normal de cada um dos parâmetros, ajustados pela idade. Os indivíduos foram agrupados em seis categorias, por idade:

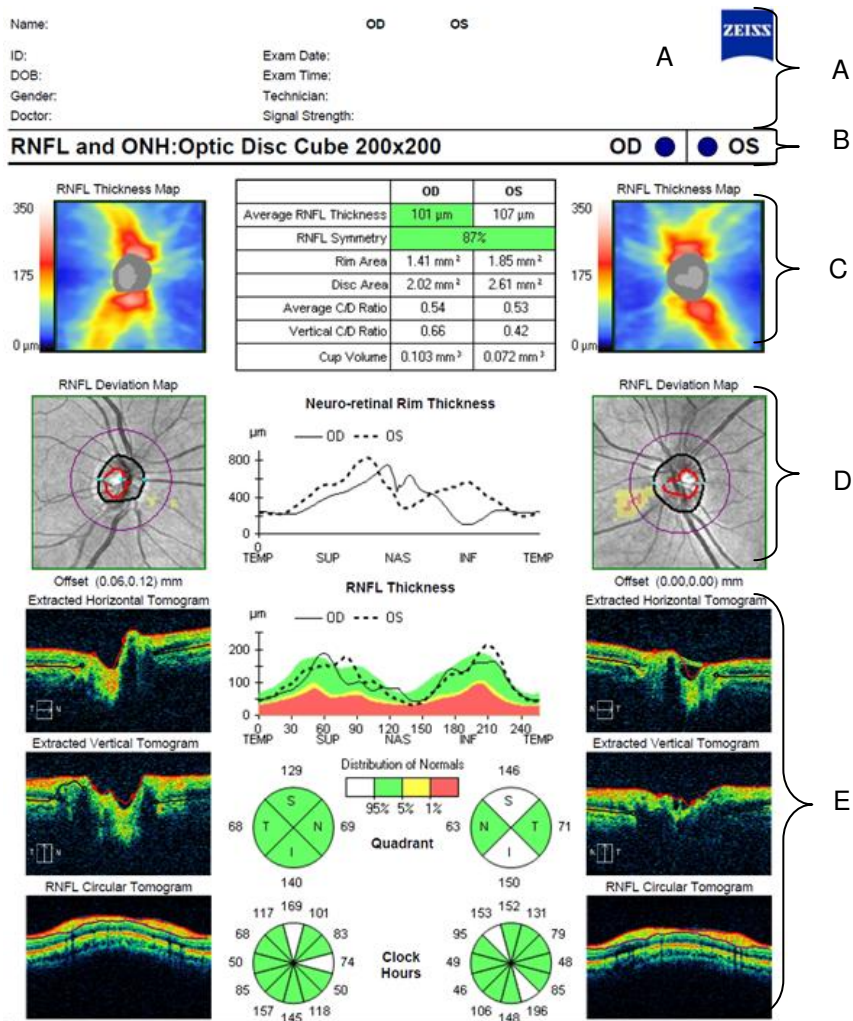
- 18 a 29 anos;
- 30 a 39 anos;
- 40 a 49 anos;
- 50 a 59 anos;
- 60 a 69 anos;
- 70 anos ou mais.

Houve uma distribuição similar entre os sexos. Em relação à etnia, o banco de dados foi constituído da seguinte forma:

- 43% caucasianos;
- 24% asiáticos;
- 18% africano-americanos;
- 12% hispânicos;
- 1% indianos;
- 6% etnia mista.

De forma semelhante ao Stratus, os resultados de exames com o Cirrus HD-OCT de pacientes com mais de 70 anos devem ser interpretados com cautela, uma vez que foram incluídos no banco de dados apenas três indivíduos com 80 anos ou mais, e apenas 28 indivíduos com idade entre 70 e 79 anos. Não foi incluído nenhum sujeito com menos de 19 anos, nem com erro refracional superior a - 12,00 e + 8,00 dioptrias esféricas (306).

O algoritmo de análise da CFNRP faz a estimativa da espessura de 17 parâmetros da CFNRP: espessura média da CFNRP em área circular peripapilar de 1,73 mm de raio, média de espessura nos quatro quadrantes (temporal, superior, nasal e inferior) e média de espessura por setores, em cada uma das doze horas de relógio da circunferência peripapilar; além de dados topográficos do DO (Figura 8).



### 2.3- Análise Estatística

Todos os dados foram analisados utilizando-se o pacote estatístico do “*Primer of Biostatistics Version 6.0*” (Glantz, SA®, McGraw-Hill, 2005). Foram incluídos tanto olhos esquerdos quanto direitos. Os olhos esquerdos foram considerados imagem em espelho dos olhos direitos. Desta forma, em todas as tabelas de horas de relógio, foram consideradas nasais as medidas das 12 h às 06 h, e temporais das 06 h às 12 h.

Foram calculados CDV e CCI, com 95% IC, para os seguintes parâmetros: espessura média, espessura nos quadrantes e espessura nas horas de relógio medidas. O CCI foi calculado com o modelo de análise de variância de dois fatores:

$$CCI = \frac{[\text{Variância dos sujeitos}]}{[\text{Variância total}]}$$

O CCI é um coeficiente estatístico que analisa a reprodutibilidade de medidas obtidas dentro de um mesmo grupo. O valor máximo do CCI é 1,0, enquanto o seu valor mínimo é, teoricamente, zero. Valores elevados de CCI sugerem pequenas flutuações entre as medidas repetidas dos indivíduos, indicando boa reprodutibilidade. Já valores baixos indicam grandes flutuações, caracterizando alta variabilidade. Valores acima de 0,75 são considerados excelentes, entre 0,4 e 0,75 satisfatórios e abaixo de 0,4 pobres (307).

O CDV, expresso em porcentagem, foi calculado como o desvio padrão dividido pela média de espessura da CFNRP das medidas repetidas. Os valores deste teste estatístico variam de 0 a 100%. Quanto menor for o seu valor, mais homogêneos são os dados (308).

$$CDV = \frac{[\text{Desvio Padrão}]}{[\text{Média da espessura da CFNRP}]} \times 100$$

Variáveis categóricas foram analisadas com o teste Qui-quadrado de *Pearson*. Variáveis contínuas foram comparadas com o teste t de *Student* ou teste de *Mann-Whitney*. Valores de p menores que 0,05 foram considerados estatisticamente significantes.

Considerando um poder estatístico de 80% e um erro alfa de 0,05; o tamanho da amostra necessário para se detectar uma diferença de 0,1 no CCI acima de 0,6 foi 20.

### 3- RESULTADOS

---



### **3.1- Dados Demográficos**

Foram incluídos 34 pacientes com glaucoma e 32 indivíduos saudáveis no estudo. Seis pacientes com glaucoma e dois indivíduos saudáveis foram excluídos da análise intersessão. Essas exclusões ocorreram devido ao não comparecimento a uma ou mais sessões. Quinze pacientes com glaucoma e doze sujeitos saudáveis foram excluídos da análise interexaminador, por não apresentarem exames realizados pelos dois examinadores. Todas as medidas obtidas para cada sujeito do estudo estão expostas no APÊNDICE 2.

Os pacientes do grupo glaucoma eram significativamente mais idosos ( $p < 0,001$ ) e, como esperado, apresentavam maiores valores de PIO ( $p = 0,015$ ) e PSD ( $p < 0,001$ ) e menores valores de MD ( $p = 0,001$ ) em relação ao grupo saudável. A porcentagem de negros foi significativamente maior no grupo glaucoma ( $p = 0,008$ ). Houve diferença estatisticamente significativa no equivalente esférico entre os dois grupos do estudo ( $p = 0,003$ ) e os sujeitos do grupo saudável apresentaram melhor acuidade visual em relação ao grupo glaucoma ( $p = 0,003$ ). As características demográficas de ambos os grupos estão listadas na Tabela 1.

**Tabela 1:** Características demográficas de pacientes com glaucoma e de indivíduos saudáveis incluídos na análise de variabilidade intrasessão

|                                       | GLAUCOMA<br>(n=34)                 | SAUDÁVEL<br>(n=32)                | p                    |
|---------------------------------------|------------------------------------|-----------------------------------|----------------------|
| Sexo, n (%) M:F                       | 11 (32,4): 23 (67,6)               | 13 (40,6): 19 (59,4)              | 0,487 *              |
| Raça, n (%) Brancos: Negros           | 25 (63,5): 9 (26,5)                | 31 (96,9): 1 (3,1)                | 0,008 *              |
| Idade, anos, média ± DP<br>(min; máx) | 58,15 ± 10,64<br>(28,0; 86,0)      | 39,96 ± 10,92<br>(24,0; 57,0)     | < 0,001 <sup>‡</sup> |
| AV (logMAR), n (%)                    |                                    |                                   |                      |
| 0,3                                   | 5 (14,70)                          | 0                                 |                      |
| 0,22                                  | 3 (8,82)                           | 2 (6,25)                          |                      |
| 0,14                                  | 3 (8,82)                           | 0                                 |                      |
| 0,1                                   | 2 (5,88)                           | 0                                 | 0,003*               |
| 0,04                                  | 4 (11,76)                          | 0                                 |                      |
| 0                                     | 17 (50)                            | 30 (93,75)                        |                      |
| EE, D, média ± DP<br>(min; máx)       | 0,61 ± 1,17<br>(- 2,25; + 2,75)    | - 0,15 ± 1,14<br>(- 2,87; + 2,62) | 0,003 †              |
| PIO, mmHg, média ± DP<br>(min; máx)   | 14,44 ± 2,99<br>(8,0; 21,0)        | 12,7 ± 1,97<br>(10,0; 18,0)       | 0,015 †              |
| MD, dB, média ± DP<br>(min; máx)      | - 6,08 ± 7,37<br>(- 25,78; + 1,41) | - 1,18 ± 1,01<br>(- 3,29; 0,92)   | 0,001 †              |
| PSD, dB, média ± DP<br>(min; máx)     | 4,79 ± 4,14<br>(0,97; 13,47)       | 1,50 ± 0,40<br>(0,98; 2,58)       | < 0,001†             |

\* Teste Qui-Quadrado de *Pearson*

<sup>‡</sup> Teste t de *Student*

† Teste U de *Mann-Whitney*

PIO = Pressão Intraocular; máx = máximo; DP = Desvio Padrão; min = mínimo; n = número absoluto; PSD = *Pattern Standard Deviation*; EE = Equivalente Esférico; AV = Acuidade Visual

## **3.2- Análise de Variabilidade de Medidas de Espessura da CFNRP**

### **3.2.1- Variabilidade Intrasessão**

Dentre os pacientes do grupo glaucoma, os CDVs variaram de 4,51% (às 10 h) a 11,84% (no quadrante nasal). Os CCIs variaram de 0,74 (no quadrante nasal) a 0,99 (às 10 h). Dentre os indivíduos saudáveis, os CDVs variaram de 2,92% (espessura média) a 6,99% (às 4 h). Os CCIs variaram de 0,89 (espessura média) a 0,98 (às 9 h e às 10 h) (Tabela 2).

**Tabela 2:** Média e desvio padrão, CCI e CDV das cinco medidas de espessura da CFNRP obtidas no primeiro dia, dos pacientes com glaucoma e dos indivíduos saudáveis, que participaram da análise de variabilidade intrasessão

|                    | GLAUCOMA (n = 34)               |      |            | SAUDÁVEL (n = 32)               |      |            |
|--------------------|---------------------------------|------|------------|---------------------------------|------|------------|
|                    | Média ± DP<br>( $\mu\text{m}$ ) | CCI  | CDV<br>(%) | Média ± DP<br>( $\mu\text{m}$ ) | CCI  | CDV<br>(%) |
| Espessura Média    | 76,78 ± 4,07                    | 0,92 | 5,31       | 95,74 ± 2,79                    | 0,89 | 2,92       |
| Quadrante Temporal | 57,84 ± 3,60                    | 0,94 | 6,23       | 65,41 ± 3,93                    | 0,95 | 6,01       |
| Quadrante Superior | 90,06 ± 5,76                    | 0,93 | 6,40       | 123,1 ± 4,64                    | 0,97 | 3,77       |
| Quadrante Nasal    | 66,14 ± 7,83                    | 0,74 | 11,84      | 73,14 ± 3,70                    | 0,95 | 5,07       |
| Quadrante Inferior | 92,37 ± 4,95                    | 0,97 | 5,36       | 123,26 ± 5,34                   | 0,95 | 4,34       |
| Setorial 1 hora    | 81,20 ± 6,21                    | 0,96 | 7,65       | 110,50 ± 6,55                   | 0,96 | 5,93       |
| Setorial 2 horas   | 75,97 ± 7,67                    | 0,79 | 10,10      | 88,02 ± 4,71                    | 0,97 | 5,36       |
| Setorial 3 horas   | 59,48 ± 4,91                    | 0,86 | 9,02       | 59,78 ± 3,23                    | 0,97 | 5,41       |
| Setorial 4 horas   | 63,36 ± 4,27                    | 0,88 | 6,74       | 70,39 ± 4,92                    | 0,95 | 6,99       |
| Setorial 5 horas   | 81,18 ± 5,00                    | 0,97 | 6,16       | 100,46 ± 6,88                   | 0,94 | 6,85       |
| Setorial 6 horas   | 104,54 ± 1,02                   | 0,97 | 6,85       | 131,30 ± 7,03                   | 0,96 | 5,38       |
| Setorial 7 horas   | 94,40 ± 7,31                    | 0,98 | 7,75       | 137,35 ± 6,89                   | 0,92 | 5,02       |
| Setorial 8 horas   | 56,96 ± 2,89                    | 0,98 | 5,08       | 68,29 ± 4,26                    | 0,95 | 6,25       |
| Setorial 9 horas   | 50,11 ± 2,37                    | 0,98 | 4,74       | 52,54 ± 2,57                    | 0,98 | 4,91       |
| Setorial 10 horas  | 64,25 ± 2,89                    | 0,99 | 4,51       | 75,80 ± 2,58                    | 0,98 | 3,41       |
| Setorial 11 horas  | 97,60 ± 5,77                    | 0,97 | 5,92       | 127,03 ± 6,19                   | 0,96 | 4,88       |
| Setorial 12 horas  | 93,44 ± 6,97                    | 0,96 | 7,46       | 131,26 ± 8,11                   | 0,97 | 6,18       |

CDV = Coeficiente de Variação; CCI = Coeficiente de Correlação Intraclasse; CFNRP = Camada de Fibras Nervosas da Retina Peripapilar

### **3.2.2- Variabilidade Intersessão**

Dentre os pacientes do grupo glaucoma, os CDVs variaram de 3,68% (às 10 h) a 10,50% (às 12 h). Os CCIIs variaram de 0,82 (no quadrante nasal) a 0,99 (às 7 h e às 10 h). Dentre os indivíduos saudáveis, os CDVs variaram de 3,13% (no quadrante nasal) a 6,92% (às 4 h). Os CCIIs variaram de 0,87 (espessura média) a 0,99 (às 9 h) (Tabela 3).

**Tabela 3:** Média e desvio padrão, CCI e CDV das medidas de espessura da CFNRP obtidas em cinco dias diferentes, dos pacientes com glaucoma e dos indivíduos saudáveis, que participaram da análise de variabilidade intersessão

|                    | GLAUCOMA (n = 28)  |      |         | SAUDÁVEL (n = 30)  |      |         |
|--------------------|--------------------|------|---------|--------------------|------|---------|
|                    | Média ± DP<br>(µm) | CCI  | CDV (%) | Média ± DP<br>(µm) | CCI  | CDV (%) |
| Espessura Média    | 76,43 ± 3,98       | 0,91 | 5,21    | 96,02 ± 3,09       | 0,87 | 3,22    |
| Quadrante Temporal | 56,81 ± 2,27       | 0,95 | 4,41    | 65,35 ± 3,04       | 0,95 | 4,66    |
| Quadrante Superior | 89,32 ± 3,93       | 0,91 | 7,58    | 123,98 ± 5,77      | 0,95 | 4,24    |
| Quadrante Nasal    | 66,34 ± 5,02       | 0,82 | 9,37    | 73,51 ± 3,11       | 0,98 | 3,13    |
| Quadrante Inferior | 94,76 ± 8,87       | 0,98 | 4,00    | 123,94 ± 3,87      | 0,97 | 4,01    |
| Setorial 1 hora    | 79,37 ± 7,98       | 0,92 | 10,06   | 109,83 ± 6,69      | 0,97 | 6,10    |
| Setorial 2 horas   | 76,02 ± 6,33       | 0,84 | 8,33    | 88,84 ± 4,20       | 0,98 | 4,73    |
| Setorial 3 horas   | 59,77 ± 5,79       | 0,85 | 9,70    | 60,78 ± 2,66       | 0,98 | 4,39    |
| Setorial 4 horas   | 64,17 ± 4,03       | 0,94 | 6,29    | 70,45 ± 4,87       | 0,96 | 6,92    |
| Setorial 5 horas   | 81,78 ± 4,64       | 0,98 | 5,68    | 100,59 ± 6,69      | 0,94 | 6,66    |
| Setorial 6 horas   | 106,69 ± 7,42      | 0,97 | 6,96    | 132,58 ± 7,30      | 0,96 | 5,51    |
| Setorial 7 horas   | 96,46 ± 5,32       | 0,99 | 5,52    | 137,91 ± 7,93      | 0,97 | 4,43    |
| Setorial 8 horas   | 56,41 ± 4,14       | 0,95 | 7,35    | 68,74 ± 4,09       | 0,96 | 5,95    |
| Setorial 9 horas   | 48,50 ± 2,15       | 0,98 | 4,44    | 52,22 ± 1,93       | 0,99 | 3,71    |
| Setorial 10 horas  | 64,11 ± 2,35       | 0,99 | 3,68    | 75,99 ± 3,03       | 0,97 | 4,19    |
| Setorial 11 horas  | 98,25 ± 6,87       | 0,96 | 7,00    | 128,46 ± 5,44      | 0,98 | 4,24    |
| Setorial 12 horas  | 91,57 ± 9,61       | 0,92 | 10,50   | 132,27 ± 7,63      | 0,98 | 5,77    |

CDV = Coeficiente de Variação; CCI = Coeficiente de Correlação Intraclasse; CFNRP = Camada de Fibras Nervosas da Retina Peripapilar

### **3.2.3- Variabilidade Interexaminador**

Dentre os pacientes do grupo glaucoma, os CDVs variaram de 2,62% (espessura média) a 14,94% (à 1 h). Os CCIs variaram de 0,55 (às 3 h) a 0,98 (às 6 h). Dentre os indivíduos saudáveis, os CDVs variaram de 2,04% (espessura média) a 7,31% (às 4 h). Os CCIs variaram de 0,86 (às 4 h) a 0,98 (às 9 h e no quadrante temporal) (Tabela 4).

**Tabela 4:** Média e desvio padrão, CCI e CDV das medidas de espessura da CFNRP, obtidas por dois examinadores, dos pacientes com glaucoma e dos indivíduos saudáveis, que participaram da análise de variabilidade interexaminador

|                    | GLAUCOMA (n = 19) |      |         | SAUDÁVEL (n = 20) |      |         |
|--------------------|-------------------|------|---------|-------------------|------|---------|
|                    | Média ± DP (µm)   | CCI  | CDV (%) | Média ± DP (µm)   | CCI  | CDV (%) |
| Espessura Média    | 77,92 ± 2,04      | 0,87 | 2,62    | 96,95 ± 1,97      | 0,96 | 2,04    |
| Quadrante Temporal | 58,21 ± 1,71      | 0,94 | 2,93    | 64,42 ± 1,66      | 0,98 | 2,57    |
| Quadrante Superior | 91,15 ± 4,01      | 0,65 | 4,40    | 124,13 ± 4,59     | 0,94 | 3,70    |
| Quadrante Nasal    | 65,33 ± 2,00      | 0,65 | 3,05    | 72,80 ± 2,61      | 0,96 | 3,59    |
| Quadrante Inferior | 96,23 ± 3,46      | 0,97 | 3,59    | 126,4 ± 4,24      | 0,94 | 3,35    |
| Setorial 1 hora    | 81,15 ± 12,13     | 0,63 | 14,94   | 118,72 ± 5,76     | 0,96 | 4,85    |
| Setorial 2 horas   | 77,44 ± 3,68      | 0,79 | 4,75    | 87,15 ± 4,24      | 0,94 | 4,86    |
| Setorial 3 horas   | 57,34 ± 4,50      | 0,55 | 7,85    | 59,52 ± 2,58      | 0,96 | 4,33    |
| Setorial 4 horas   | 61,44 ± 2,79      | 0,78 | 4,54    | 71,50 ± 5,23      | 0,86 | 7,31    |
| Setorial 5 horas   | 83,86 ± 5,54      | 0,92 | 6,61    | 104,72 ± 4,63     | 0,96 | 4,42    |
| Setorial 6 horas   | 107,39 ± 4,72     | 0,98 | 4,40    | 138,17 ± 7,10     | 0,93 | 5,14    |
| Setorial 7 horas   | 96,86 ± 4,80      | 0,97 | 4,95    | 136,47 ± 6,39     | 0,91 | 4,68    |
| Setorial 8 horas   | 58,26 ± 2,38      | 0,95 | 4,08    | 66,90 ± 3,60      | 0,94 | 5,39    |
| Setorial 9 horas   | 50,63 ± 1,71      | 0,96 | 3,37    | 52,92 ± 2,15      | 0,98 | 4,07    |
| Setorial 10 horas  | 66,73 ± 2,23      | 0,96 | 3,34    | 73,05 ± 2,82      | 0,88 | 3,87    |
| Setorial 11 horas  | 96,68 ± 4,76      | 0,88 | 4,92    | 120,90 ± 4,17     | 0,97 | 3,44    |
| Setorial 12 horas  | 92,76 ± 4,80      | 0,75 | 5,17    | 132,77 ± 7,81     | 0,95 | 5,88    |

CDV = Coeficiente de Variação; CCI = Coeficiente de Correlação Intraclassa; CFNRP = Camada de Fibras Nervosas da Retina Peripapilar

## 4- DISCUSSÃO

---



A TCO-DE teve um grande impacto na oftalmologia clínica e experimental. Diferentemente da tecnologia de domínio temporal, cuja propriedade comercial pertenceu a apenas uma única companhia, diversos aparelhos de TCO-DE foram desenvolvidos por diferentes empresas, com capacidade de fornecer imagens transversais de alta resolução. Entretanto, o uso de um novo instrumento quantitativo, sem sua adequada validação, pode levar a decisões clínicas equivocadas. Desta forma, a estimativa da reprodutibilidade de novos instrumentos diagnósticos é essencial para a correta interpretação das menores alterações detectáveis.

A reprodutibilidade ou a precisão de um teste diz respeito à característica que ele deve possuir de medir sem erros. O CCI e o CDV estão entre as ferramentas estatísticas mais comumente utilizadas para se mensurar a reprodutibilidade de medidas. O conceito do CCI foi inicialmente introduzido por Fisher (309). O CCI avalia a correlação existente entre observações obtidas em diferentes aferições, em uma mesma população (310). Coeficientes de correlação intraclasse de diferentes populações, não podem ser diretamente comparados, pois são influenciados pela variabilidade da população em estudo. Medidas obtidas de grupos homogêneos, com menor variância entre os sujeitos, resultarão em maiores valores de CCI e medidas de grupos mais heterogêneos poderão fornecer menores valores de CCI (295). O coeficiente de variação é uma medida relativa de dispersão, útil para comparação do grau de concentração dos valores obtidos em torno de sua média (308). Este coeficiente também sofre influência das características da população em estudo, uma vez que seu cálculo depende da média dos valores aferidos (295).

Há uma grande variedade de estimativas de reprodutibilidade na literatura para PVL, OCVL e TCO. Apesar de estudos comparativos entre instrumentos de diferentes tecnologias na mesma população de pacientes serem escassos, acredita-se que essas técnicas provavelmente forneçam dados de similar reprodutibilidade. Leung et al. investigaram a reprodutibilidade de medidas obtidas com o HRT III, com a TCO-DT e com o GDx-VCC em uma mesma população e encontraram níveis de variabilidade similar, com valores de CCI de 0,97 (para área global de rima com o HRT III), 0,98 (para NFI com o GDx-VCC) e 0,97 (para espessura média da CFNRP com o TCO-DT) (208).

A variabilidade das medidas de espessura da CFNRP com a TCO pode ser maior, dependendo de variáveis como movimento do paciente, piscar, fixação inadequada ou má centralização das estruturas oculares pelo operador. Acredita-se que o impacto desses fatores possa ser diminuído com o uso de *softwares* que interrompam o exame assim que os mesmos sejam detectados. Outros fatores como o maior tempo de aquisição das imagens, a colaboração do paciente, a experiência do examinador, as variações na intensidade do sinal das imagens (311), a densidade da amostra (312) e a opacidade de meios (295, 313) também podem influenciar a variabilidade das medidas. Wu et al. observaram que a baixa intensidade do sinal de captura da imagem pode levar a estimativas mais elevadas da CFNRP (311).

Vários estudos demonstraram a reprodutibilidade de medidas de diferentes gerações de TCO-DT (287, 288, 289, 290, 291, 292, 293, 294, 295, 296, 297, 298). Schuman et al. realizaram medidas da CFNRP com a primeira geração de TCO, um protótipo do aparelho, em onze sujeitos normais e em dez pacientes com glaucoma, em cinco ocasiões distintas, durante um mês. Os valores de CCI encontrados, para um diâmetro de varredura de 3,4 mm, foram 0,56 e 0,52 para o grupo de sujeitos saudáveis e de glaucomatosos, respectivamente. Os autores concluíram que medidas de espessura CFNRP obtidas com a TCO eram reprodutíveis, particularmente quando a fixação era mantida com o olho testado (fixação interna) (287).

Blumenthal et al. avaliaram a reprodutibilidade do primeiro TCO comercialmente disponível, em dez sujeitos normais e em dez pacientes com glaucoma. Os CDVs para medidas de espessura média da CFNRP foram 7% e 13%, nos grupos normal e glaucoma, respectivamente. Os quadrantes nasal e temporal apresentaram maiores variabilidades, com valores de CDV de 28% e 17%, respectivamente. Nesse estudo, as medidas foram feitas por dois examinadores diferentes, entretanto a variabilidade interexaminador foi responsável por apenas 2% da variabilidade total (288). Jones et al., utilizando o mesmo modelo de OCT, reportaram CDV de 5% para espessura média da CFNRP. A reprodutibilidade no quadrante nasal encontrada também foi pior (20%) em relação aos valores de CDV para os outros parâmetros (289). Em 2003, Carpineto et al.

também avaliaram a reprodutibilidade dessa geração da TCO, em 24 pacientes com glaucoma, em cinco ocasiões diferentes, em um intervalo de duas semanas, e encontraram CCI de 0,50 para espessura média da CFNRP (290).

Nos últimos anos, vários estudos foram publicados reportando a reprodutibilidade do Stratus (291, 292, 293, 294, 295, 296, 297, 298). Considerando o parâmetro espessura média da CFNRP, os valores de CDV variam entre as publicações de 3,6% (298) a 9,6%(294); enquanto os valores de CCI variam de 0,79 (292) a 0,98 (293).

Desde que os tomógrafos com tecnologia de domínio espectral se tornaram comercialmente disponíveis, vários estudos investigaram sua reprodutibilidade (Quadro 3), entretanto a maioria deles foi publicada após a coleta de dados e publicação do presente estudo.

Leung et al. compararam a variabilidade de medidas obtidas com o Cirrus HD-OCT e o Stratus e encontraram valores de CDV menores que 6,4% e 12,8%, respectivamente. Os autores observaram que a variabilidade de medidas de espessura da CFNRP foi significativamente menor das duas às cinco horas e das oito às dez horas com o Cirrus HD-OCT em relação ao Stratus (298).

Ho et al. avaliaram a reprodutibilidade de duas medidas feitas no mesmo dia com diferentes tomógrafos de tecnologia espectral (Cirrus HD-OCT, RTVue-100, Topcon 3D-OCT) usando protocolo de espessura macular. Todos os aparelhos apresentaram excelente reprodutibilidade para a região foveal central. Os CCIs obtidos com o Cirrus Mac Cube, RTVue (E)MM5, RTVue MM6, Topcon 3D e Topcon Radial variaram de 0,62 a 0,95; de 0,78 a 0,93; de 0,24 a 0,95; de 0,21 a 0,96 e de 0,49 a 0,99; respectivamente. No entanto, este estudo não avaliou a reprodutibilidade das medidas de espessura da CFNRP (301).

Pierro et al. avaliaram a reprodutibilidade de medidas de espessura da CFNRP com sete tomógrafos de diferentes fabricantes, em 38 olhos de indivíduos saudáveis, feitas por dois examinadores. Cada examinador realizou duas medidas e foi feita análise de reprodutibilidade intraexaminador e interexaminador dos diferentes aparelhos. Os autores observaram melhor reprodutibilidade intraexaminador com o Stratus (CCI

examinador 1: 0,97 e CCI examinador 2: 0,97; CDV examinador 1: 1,17% e CDV examinador 2: 1,16%). A pior reprodutibilidade intraexaminador foi obtida com o RTVue-100 (CCI examinador 1: 0,50 e CCI examinador 2: 0,42; CDV examinador 1: 7,35% e CDV examinador 2: 7,34%). O Spectralis apresentou a melhor reprodutibilidade interexaminador (CCI: 0,72 a 0,92 e CDV: 1,65% a 4,78%) (314).

**Quadro 3:** Reprodutibilidade/variabilidade das medidas de espessura da CFNRP obtidas com diferentes tomógrafos de coerência óptica de domínio espectral

| <b>Estudo</b>                             | <b>Sujeitos</b>                    | <b>TCO-DE</b>       | <b>Análise</b> | <b>CCI</b>  | <b>CDV</b>  |
|---|------------------------------------|---------------------|----------------|---|---|
| <b>Alasil et al., 2008 (299)</b>          | 39 saudáveis<br>22 NOIA NA         | RTVue -100          | Intrasessão    | S: 0,86 – 0,97<br>N: 0,95 – 0,99  | S: 2,16% - 8,0%<br>N: 2,87% - 7,58%   |
| <b>Menke et al., 2008 (300)</b>           | 38 saudáveis                       | Topcon 3D           | Intrasessão    | 0,80 – 0,96   | 1,9% - 6,7%   |
| <b>González-García et al., 2009 (302)</b> | 30 saudáveis<br>38 glaucoma        | RTVue-100           | Intrasessão    | S: 0,91 – 0,97<br>G: 0,86 – 0,97  | S: 1,54% - 3,88%<br>G: 1,9% - 4,72%   |
| <b>Leung et al., 2009 (298)</b>           | 16 saudáveis<br>31 saudáveis       | Cirrus              | Intrasessão    | 0,88 – 0,97   | 1,89 % – 5,57%  |
|   |                                    |                     | Intersessão    | 0,80 – 0,98   | 1,79% - 6,38%   |
| <b>Vizzeri et al., 2009 (315)</b>         | 32 saudáveis<br>78 glaucoma        | Cirrus              | Intrasessão    | S: 0,81 – 0,98<br>G: 0,84 – 0,98  | S: 1,5% - 6,6%<br>G: 1,6% - 5,2%  |
| <b>Garas et al., 2010 (313)</b>           | 14 saudáveis/<br>HO<br>23 glaucoma | RTVue-100           | Intrasessão    | 0,81 – 0,99   | S: 1,39% - 12,18%<br>Gm: 2,28% - 10,47%<br>Ga: 2,18% - 13,38%                     |
|   |                                    |                     | Intersessão    | 0,92 – 0,98   | 2,53% - 6,26%   |
| <b>Lee et al., 2010 (316)</b>             | 98 saudáveis<br>79 glaucoma        | Spectral<br>OCT/SLO | Intrasessão    | S: 0,96 – 0,98<br>G: 0,95 – 0,99  | S: 1,9% - 5,0%<br>G: 2,0% - 5,3%  |
| <b>Li et al., 2010 (317)</b>              | 89 saudáveis<br>63 glaucoma        | RTVue-100           | Intrasessão    | S: 0,94 – 1,00<br>Gl: 0,94 – 1,00<br>Gm: 0,87 – 1,00<br>Ga: 0,77 – 1,00 | S: 2,54% - 13,62%<br>Gl: 0,17% - 18,81%<br>Gm: 0,37% - 20,0%<br>Ga: 0,38% - 40,0% |
| <b>Mwanza et al., 2010 (305)</b>          | 55 glaucoma                        | Cirrus              | Intrasessão    | 0,83 - 0,98   | 1,9% - 10,0%  |
| <b>Mansoori et al., 2011 (318)</b>        | 61 saudáveis<br>41 glaucoma        | Spectral<br>OCT/SLO | Intrasessão    | S: 0,97 – 0,99<br>G: 0,98 – 0,99  | S: 1,2% - 3,8%<br>G: 1,3% - 5,1%  |
|   |                                    |                     | Intersessão    | S: 0,67 – 0,98<br>G: 0,83 – 0,98  | S: 3,96% - 9,56%<br>G: 3,28% - 13,39%   |
| <b>Langenegger et al., 2011 (319)</b>     | 56 saudáveis<br>47 glaucoma        | Spectralis          | Intrasessão    | S: 0,83 – 0,99<br>G: 0,84 – 0,99  | S: 1,0% - 7,4%<br>G: 1,3% - 10,5%   |
| <b>Wu et al., 2011 (320)</b>              | 45 saudáveis<br>33 glaucoma        | Spectralis          | Intrasessão    | S: 0,97 – 0,99<br>G: 0,98 – 0,99  | S: 1,45% - 2,59%<br>G: 1,74% - 3,22%  |

**Quadro 3:** Reprodutibilidade/variabilidade das medidas de espessura da CFNRP obtidas com diferentes tomógrafos de coerência óptica de domínio espectral

| Estudo                                   | Sujeitos                    | TCO-DE   | Análise       | CCI                        | CDV                               |             |               |
|--|-----------------------------|--|---------------|----------------------------|-----------------------------------|-------------|---------------|
| <b>Hong et al., 2012</b> (321)           | 75 saudáveis                | Spectral<br>OCT/SLO  | Intrasessão   | 0,81 – 0,97                | 1,75% - 5,72%                     |             |               |
|  |                             |  | Intersessão   | 0,80 – 0,96                | 1,89% - 5,58%                     |             |               |
| <b>Tan et al., 2012</b> (322)            | 50 saudáveis                | Cirrus<br>Spectralis   | Inter-OCT     | Cirrus:<br>0,87 – 0,97     | Cirrus:<br>4,05% - 15,0%          |             |               |
|  |                             |  |               | Spectralis:<br>0,95 – 0,98 | Spectralis:<br>4,82% - 9,11%      |             |               |
| <b>Töteberg-Harms et al., 2012</b> (323) | 50 saudáveis<br>22 glaucoma | Spectralis   | Intrasessão   | S: 0,96 – 0,99<br>G: 0,99  | S: 0,3% - 1,00%<br>G: 0,9% - 2,3% |             |               |
|  |                             |  |               | Intersessão                | S: 0,70 – 0,93<br>G: 0,87 – 0,97  | ND          |               |
| <b>Pierro et al., 2012</b> (314)         | 38 saudáveis                | Spectral<br>OCT/SLO<br>Topcon 3D<br>RS-3000<br>Cirrus<br>RT-Vue-100<br>Spectralis<br>Stratus OCT | Inter-OCTs    | RTVue- 100:<br>0,42        | Stratus:<br>1,16%                 |             |               |
|  |                             |  |               | a                          | a                                 |             |               |
|  |                             |  |               | Stratus:<br>0,97           | RTVue:<br>7,35%                   |             |               |
|  |                             |  |               | Spectral<br>OCT/SLO        | Interexaminador                   | 0,71 – 0,87 | 2,89% - 7,32% |
|  |                             |  |               | Topcon 3D                  | Interexaminador                   | 0,54 – 0,81 | 3,18% - 8,29% |
|  |                             |  |               | RS-3000                    | Interexaminador                   | 0,62 – 0,94 | 2,46% - 7,29% |
|  |                             |  |               | Cirrus                     | Interexaminador                   | 0,64 – 0,92 | 2,20% - 4,99% |
|  |                             |  |               | RT-Vue-100                 | Interexaminador                   | 0,46 – 0,86 | 3,35% - 7,95% |
| Spectralis                               | Interexaminador             | 0,72 – 0,92  | 1,65% - 4,78% |                            |                                   |             |               |
| <b>Roh et al., 2013</b> (145)            | 102 glaucoma                | Cirrus   | Intersessão   | 0,69 – 0,99                | 3,1% - 10,7%                      |             |               |

TCO-DE = Tomografia de Coerência Óptica de Domínio Espectral; CCI = Coeficiente de Correlação Intraclasse; CDV = Coeficiente de Variação; NOIA NA = Neuropatia Óptica Isquêmica Anterior Não-Arterítica; S = Grupo Saudável; N = Grupo com Neuropatia Óptica Isquêmica Anterior Não-Arterítica; G = Grupo com Glaucoma; HO = Hipertensão Ocular; Gl = Glaucoma leve; Gm = Glaucoma moderado; Ga = Glaucoma avançado; ND: não disponível

No presente estudo, encontramos excelente reprodutibilidade das medidas de espessura da CFNRP com o Cirrus HD-OCT. Na análise de variabilidade intrasessão, os CDVs variaram de 4,51% a 11,84% e os CCIs variaram de 0,74 a 0,99 no grupo glaucoma; enquanto no grupo saudável os CDVs variaram de 2,92% a 6,99% e os CCIs variaram 0,89 a 0,98. Na análise de variabilidade intersessão, no grupo glaucoma, os CDVs variaram de 3,68% a 10,50% e os CCIs variaram de 0,82 a 0,99; enquanto no grupo saudável, os CDVs variaram de 3,13% a 6,92% e os CCIs variaram 0,87 a 0,99. Em relação à análise de variabilidade interexaminador, no grupo glaucoma, os CDVs variaram de 2,62% a 14,94% e os CCIs variaram de 0,55 a 0,98 e no grupo saudável, os CDVs variaram de 2,04% a 7,31% e os CCIs variaram entre 0,86 a 0,98.

Os valores observados de CCI e CDV no presente estudo estão de acordo com os resultados descritos previamente para o Cirrus HD-OCT. Para análise intrasessão observamos na literatura CCIs variando de 0,81 (315) a 0,98 (305, 315) e CDVs variando de 1,5% (315) a 10% (305). Para análise intersessão observamos valores de CCI entre 0,69 (147) e 0,99 (145) e de CDV entre 1,79% (298) e 10,8% (305).

Os CCIs ( $\geq 0,82$ ) e CDVs ( $\leq 10,5\%$ ) para medidas intersessão foram excelentes e similares aos valores obtidos na análise intrasessão ( $CCI \geq 0,74$  e  $CDV \leq 11,84\%$ ), sugerindo que houve pouca variabilidade adicional com diferentes sessões ao longo do tempo. A baixa variabilidade demonstrada pela tomografia de domínio espectral pode ser um reflexo do menor tempo de aquisição de imagem, da melhora na resolução da imagem e do uso do oftalmoscópio de scan linear para detectar movimento sacádico do olho durante a aquisição das imagens.

A espessura média da CFNRP apresenta, em geral, melhor reprodutibilidade entre os parâmetros de espessura da CFNRP (293, 294, 295, 296). As evidências na literatura apontam valores de CCI para medidas de espessura média da CFNRP variando de 0,95 (300, 320) a 0,99 (305; 313, 316, 318, 319). Adicionalmente, o CDV para medidas de espessura média CFNRP variou de 1,6% (315) a 4,0% (318). No presente estudo também encontramos baixos valores de CDV para esse parâmetro nas análises intrasessão em indivíduos saudáveis (2,92%) e interexaminador em indivíduos saudáveis (2,04%) e

glaucomatosos (2,62%). Esse fato pode ser explicado porque com o aumento da área medida, mais informações individuais são adicionadas na média daquele parâmetro (295).

O quadrante nasal apresentou uma tendência a valores mais baixos de CCIs no grupo glaucoma (0,74, 0,82 e 0,65; para análise intrasessão, intersessão e interexaminador, respectivamente), o que é consistente com estudos prévios (288, 293, 294, 295). Alguns investigadores sugerem que isso possa ocorrer devido ao ângulo de incidência do feixe de iluminação, que torna a imagem da CFNRP mais escura no lado nasal. Desta forma, os limites da CFNRP são mais dificilmente identificados, o que leva ao aumento da variabilidade (295).

Os CDVs apresentaram uma tendência a maiores valores no grupo glaucoma em relação ao grupo saudável. Alguns autores também encontraram maior variabilidade de medidas de CFNRP em olhos glaucomatosos (293, 295, 300, 302, 305, 323). Como já discutido anteriormente, a menor espessura da CFNRP no grupo glaucoma pode influenciar os valores dos CDVs. Além disso, a fixação menos estável em sujeitos com glaucoma pode prejudicar as medições nas mesmas posições (323).

À época da realização deste estudo, a reprodutibilidade interexaminador da TCO-DE não havia sido testada. Os achados deste estudo demonstraram bons valores de CCI ( $\geq 0,55$ ) e CDV ( $\leq 14,4\%$ ), e indicam que medidas de espessura CFNRP obtidas por diferentes examinadores podem ser comparadas. Esse fato é especialmente importante no seguimento de pacientes com glaucoma, que necessitam de longo acompanhamento. Na maioria dos casos, não há possibilidade de todos os exames serem realizados pelo mesmo examinador.

## 5- CONCLUSÕES

---



Este estudo nos permite concluir que:

- A reprodutibilidade das medidas de espessura da CFNRP obtidas com o Cirrus HD-OCT, na análise intrasessão, em indivíduos normais e glaucomatosos, foi excelente, com valores de CDV entre 2,92% e 11,84% e de CCIIs entre 0,74 a 0,99.
- A reprodutibilidade das medidas de espessura da CFNRP obtidas com o Cirrus HD-OCT, na análise intersessão, em indivíduos normais e glaucomatosos, foi excelente, com CDVs variando de 3,13% a 10,50% e com os CCIIs variando de 0,82 a 0,99.
- A reprodutibilidade das medidas de espessura da CFNRP obtidas com o Cirrus HD-OCT, na análise interexaminador, em indivíduos normais e glaucomatosos, foi excelente, com CDVs variando de 2,04% a 14,94% e CCIIs variando de 0,55 a 0,98.



## 6- REFERÊNCIAS BIBLIOGRÁFICAS

---



1. Douglas GR, Drance SM, Schulzer M. A correlation of fields and discs in open angle glaucoma. *Can J Ophthalmol.* 1974 9(4):391-8.
2. Drance SM. Correlation between optic disc changes and visual Field defects in chronic open-angle glaucoma. *Trans Sect Ophthalmol Am Acad Ophthalmol Otolaryngol.* 1976; 81(2):224-6.
3. Collaborative Normal-Tension Glaucoma Study Group. Comparison of glaucomatous progression between untreated patients with normal-tension glaucoma and patients with therapeutically reduced intraocular pressures. *Am J Ophthalmol.* 1998; 126(4):487—97.
4. The AGIS Investigators. The Advanced Glaucoma Intervention Study (AGIS): 7. The relationship between control of intraocular pressure and visual field deterioration. *Am J Ophthalmol.* 2000; 130(4):429–40.
5. Lichter PR, Musch DC, Gillespie BW, Guire KE, Janz NK, Wren PA et al. CIGTS Study Group Interim clinical outcomes in the Collaborative Initial Glaucoma Treatment Study comparing initial treatment randomized to medications or surgery. *Ophthalmology.* 2001; 108(11):1943–53.
6. Kass MA, Heuer DK, Higginbotham EJ, Johnson CA, Keltner JL, Miller JP, et al. Ocular Hypertension Treatment Study Group The Ocular Hypertension Treatment Study: a randomized trial determines that topical ocular hypotensive medication delays or prevents the onset of primary open-angle glaucoma. *Arch Ophthalmol.* 2002; 120(6):701–13, discussion 829–30.
7. Leske MC, Heijl A, Hussein M, Bengtsson B, Hyman L, Komaroff E et al. Factors for glaucoma progression and the effect of treatment: the early glaucoma manifest trial. *Arch Ophthalmol.* 2003; 121(1):48-56.
8. Coleman AL, Caprioli J. The logic behind target intraocular pressure. *Am J Ophthalmol.* 2009; 147(3) :379-80.
9. World Health Organization. Global data on visual impairments 2010, p. 3. Disponível em: <http://www.who.int/blindness/GLOBALDATAFINALforweb.pdf>.

10. Quigley HA, Broman AT. The number of people with glaucoma worldwide in 2010 and 2020. *Br J Ophthalmol.* 2006; 90(3):262–7.
11. Friedman DS, Wolfs RC, O'Colmain BJ, Klein BE, Taylor HR et al., Prevalence of open-angle glaucoma among adults in the United States. *Arch Ophthalmol.* 2004; 122(4):532-8.
12. Varma R, Ying-Lai M, Francis BA, Nguyen BB, Deneen J, Wilson MR et al. Prevalence of open-angle glaucoma and ocular hypertension in Latinos: the Los Angeles Latino Eye Study. *Ophthalmology.* 2004; 111(8):1439– 48.
13. Friedman DS, Jampel HD, Muñoz B, West SK. The prevalence of open-angle glaucoma among blacks and whites 73 years and older: the Salisbury Eye Evaluation Glaucoma Study. *Arch Ophthalmol.* 2006; 124(11):1625–30.
14. Foster PJ. The epidemiology of primary angle closure and associated glaucomatous optic neuropathy. *Semin Ophthalmol.* 2002; 17(2):50-8.
15. Congdon N, O'Colmain B, Klaver CC, Klein R, Muñoz B, Friedman DS et al. Causes and prevalence of visual impairment among adults in the United States. *Arch Ophthalmol.* 2004; 122(4):477– 85.
16. He M, Foster PJ, Johnson GJ, Khaw PT. Angle-closure glaucoma in East Asian and European people. *Different diseases? Eye.* 2006; 20(1):3-12.
17. Yip JL, Foster PJ. Ethnic differences in primary angle-closure glaucoma. *Curr Opin Ophthalmol.* 2006; 17(2):175-80.
18. Stein JD, Kim DS, Niziol LM, Talwar N, Nan B, Musch DC et al. Differences in rates of glaucoma among Asian Americans and other racial groups, and among various Asian ethnic groups. *Ophthalmology.* 2011; 118(6):1031–7.
19. Arkill SM, Lightman DA, Sommer A, Taylor HR, Korshin OM, Tielsch JM. The prevalence of glaucoma among Eskimos of northwest Alaska. *Arch Ophthalmol.* 1987; 105(4):482–5.
20. Foster PJ, Baasanhu J, Alsbirk PH, Munkhbayar D, Uranchimeg D, Johnson GJ. Glaucoma in Mongolia: a population-based survey in Hövsgöl province, northern Mongolia. *Arch Ophthalmol* 1996; 114(10):1235– 41.

21. Foster PJ, Johnson GJ. Glaucoma in China: how big is the problem? *Br J Ophthalmol* 2001; 85(11):1277– 82.
22. Bourne RR, Sukudom P, Foster PJ, Tantisevi V, Jitapunkul S, Lee PS et al. Prevalence of glaucoma in Thailand: a population based survey in Rom Klao district, Bangkok. *Br J Ophthalmol* 2003; 87(9):1069 –74.
23. Yamamoto T, Iwase A, Araie M, Suzuki Y, Abe H, Shirato S et al. The Tajimi Study report 2: Prevalence of primary angle closure and secondary glaucoma in a Japanese population. *Ophthalmology*. 2005; 112(10):1661–9.
24. Jacob A, Thomas R, Koshi SP, Braganza A, Muliyl J. Prevalence of primary glaucoma in an urban south Indian population. *Indian J Ophthalmol*. 1998; 46(2):81– 6.
25. Dandona L, Dandona R, Mandal P, Srinivas M, John RK, McCarty CA et al. Angle-closure glaucoma in an urban population in southern India: the Andhra Pradesh Eye Disease Study. *Ophthalmology*. 2000; 107(9):1710–6.
26. Ramakrishnan R, Nirmalan PK, Krishnadas R, Thulasiraj RD, Tielsch JM, Katz J et al. Glaucoma in a rural population of southern India. The Aravind Comprehensive Eye Survey. *Ophthalmology*. 2003; 110(8):1484–90.
27. Vijaya L, George R, Arvind H, Baskaran M, Paul PG, Ramesh SV et al. Prevalence of angle-closure disease in a rural southern Indian population. *Arch Ophthalmol*. 2006; 124(3):403–9.
28. Instituto Brasileiro de Geografia e Estatística. Censo Demográfico. Disponível em: URL: <http://www.ibge.gov.br>.
29. Anuário Estatístico da América Latina e Caribe. Disponível em: <http://www.andi.org.br/infancia-e-juventude/documento/anuario-estatistico-da-america-latina-e-caribe-2011>
30. Sakata K, Sakata LM, Sakata VM, Santini C, Hopker LM, Bernardes R et al. Prevalence of glaucoma in a South Brazilian Population: Projeto Glaucoma. *Invest Ophthalmol Vis Sci*. 2007; 48(11):4974-79.
31. Weinreb RN, Khaw PT. Primary open-angle glaucoma. *Lancet*. 2004; 363(9422):1711-20.

32. Quigley HA, Addicks EM, Green WR. Optic nerve damage in human glaucoma, III: quantitative correlation of nerve fiber loss and visual field defect in glaucoma, ischemic neuropathy, disc edema, and toxic neuropathy. *Arch Ophthalmol*. 1982; 100(1):135–46.
33. Kerrigan-Baumrind LA, Quigley HA, Pease ME, Kerrigan DF, Mitchell RS. Number of ganglion cells in glaucoma eyes compared with threshold visual field tests in the same persons. *Invest Ophthalmol Vis Sci*. 2000 41(3):741-8.
34. Freeman EE, Muñoz B, West SK, Jampel HD, Friedman DS. Glaucoma and quality of life: the Salisbury Eye Evaluation. *Ophthalmology*. 2008; 115(2):233-8.
35. McKean-Cowdin R, Wang Y, Wu J, Azen SP, Varma R; Los Angeles Latino Eye Study Group. Impact of visual field loss on health-related quality of life in glaucoma: the Los Angeles Latino Eye Study. *Ophthalmology*. 2008; 115(6):941-8.
36. Collaborative Normal-Tension Glaucoma Study Group: The effectiveness of intraocular pressure reduction in the treatment of normal tension glaucoma. *Am J Ophthalmol* 1998; 126(4):498—505.
37. de Voogd S, Ikram MK, Wolfs RC, Jansonius NM, Hofman A, de Jong PT. Incidence of open-angle glaucoma in a general elderly population: the Rotterdam Study. *Ophthalmology*. 2005; 112(9): 1487–93.
38. Tielsch JM, Sommer A, Katz J, Royall RM, Quigley HA, Javitt J. Racial variations in the prevalence of primary open-angle glaucoma. The Baltimore Eye Survey. *JAMA*. 1991; 266(3):369– 74.
39. Quigley HA, West SK, Rodriguez J, Munoz B, Klein R, Snyder R. The prevalence of glaucoma in a population-based study of Hispanic subjects: Proyecto VER. *Arch Ophthalmol*. 2001; 119(12): 1819–26.
40. Mitchell P, Smith W, Attebo K, Healey PR. Prevalence of open-angle glaucoma in Australia. The Blue Mountains Eye Study. *Ophthalmology*. 1996; 103(1):1661–1669.
41. Quigley HA, Dunkelberger GR, Green WR. Retinal ganglion cell atrophy correlated with automated perimetry in human eyes with glaucoma. *Am J Ophthalmol*. 1989; 107:453–464.

42. Quigley HA, Dunkelberger GR, Baginski TA, Green WR. Chronic human glaucoma causing selectively greater loss of large optic nerve fibers. *Ophthalmology*. 1988; 95(3):357–63.
43. Quigley HA, Hohman RM, Addicks EM, Massof RW, Green WR. *Am J Ophthalmol*. 1983; 95(5):673-91.
44. Quigley HA, Sanchez RM, Dunkelberger GR, L'Hernault NL, Baginski TA. Chronic glaucoma selectively damages large optic nerve fibers. *Invest Ophthalmol Visual Sci*. 1987; 28:913–20.
45. Asai T, Katsumori N, Mizokami K. Retinal ganglion cell damage in human glaucoma, 2: studies on damage pattern (in Japanese). *Nippon Ganka Gakkai Zasshi*. 1987; 91(12):1204–13.
46. Glovinsky Y, Quigley HA, Pease ME. Foveal ganglion cell loss is size dependent in experimental glaucoma. *Invest Ophthalmol Vis Sci*. 1993; 34 (2):395–400.
47. Chaturvedi N, Hedley-Whyte ET, Dreyer EB. Lateral geniculate nucleus in glaucoma. *Am J Ophthalmol*. 1993; 116(2):182–188.
48. Vickers JC, Schumer R, Podos SM, Wang RF, Morrison JH. Differential vulnerability of neurochemically identified subpopulations of retinal neurons in a monkey model of glaucoma. *Brain Res*. 1995; 680(1-2):23–35.
49. Desatnick H, Quigley HA, Glovinsky Y. Study of central retinal ganglion cell loss in experimental glaucoma in monkey eyes. *J Glaucoma*. 1996; 5(1):46 –53.
50. Harwerth RS, Carter-Dawson L, Shen F, Smith EL 3rd, Crawford ML et al. Ganglion cell losses underlying visual field defects from experimental glaucoma. *Invest Ophthalmol Vis Sci*. 1999; 40(10):2242-50.
51. Mohammadi K, Bowd C, Weinreb RN, Medeiros FA, Sample PA, Zangwill LM et al. Retinal nerve fiber layer thickness measurements with scanning laser polarimetry predict glaucomatous visual field loss. *Am J Ophthalmol*. 2004; 138(4):592-601.
52. Reus NJ, Lemij HG. Diagnostic accuracy of the GDx VCC for glaucoma. *Ophthalmology*. 2004; 111(10):1860-5.

53. Lalezary M, Medeiros FA, Weinreb RN, Bowd C, Sample PA, Tavares IM et al. Baseline optical coherence tomography predicts the development of glaucomatous change in glaucoma suspects. *Am J Ophthalmol.* 2006; 142:576-82.
54. Shah NN, Bowd C, Medeiros FA, Weinreb RN, Sample PA, Hoffmann EM et al. Combining structural and functional testing for detection of glaucoma. *Ophthalmology.* 2006; 113(9):1593-602.
55. Lemij HG, Reus NJ. New developments in scanning laser polarimetry for glaucoma. *Curr Opin Ophthalmol.* 2008; 19(2):136-40.
56. Da Pozzo S, Marchesan R, Ravalico G. Scanning laser polarimetry e a review. *Clin Experiment Ophthalmol.* 2009; 37(1):68-80.
57. Zangwill L, Bowd C, Medeiros FA. Optic disc imaging. In: Shaaraway TM, Sherwood MB, Hitchings RA, et al, eds. *Glaucoma, Medical Diagnosis and Therapy.* Philadelphia: Saunders Elsevier, 2009.
58. Sanchez RM, Dunkelberger GR, Quigley HA. The number and diameter distribution of axons in the monkey optic nerve. *Invest Ophthalmol Vis Sci.* 1986; 27(9):1342-50.
59. Jonas JB, Muller-Bergh JA, Schlotzer-Schrehardt UM, Naumann GO. Histomorphometry of the human optic nerve. *Invest Ophthalmol Vis Sci.* 1990; 31(4): 736-44.
60. Jonas JB, Schmidt AM, Muller-Bergh JA, Schlotzer-Schrehardt UM, Naumann GO. Human optic nerve fiber count and optic disc size. *Invest Ophthalmol Vis Sci.* 1992; 33(6): 2012-8.
61. Kronfeld PC. Normal variations of the optic disc as observed by conventional ophthalmoscopy and their anatomic correlations. *Trans Am Acad Ophthalmol Otolaryngol.* 1976; 81(2): 214-6.
62. Gloster J. Examination of the optic disc in glaucoma. In *Glaucoma*, Cairns JE, editor. Orlando, Grune, Stratton. 1986; pp.1:17-36.

63. Bowd C, Weinreb RN, Zangwill LM. Evaluating the optic disc and retinal nerve fiber layer in glaucoma. I: clinical examination and photographic methods. *Semin Ophthalmol.* 2000; 15(4): 194–205.
64. Minckler DS, McLean IW, Tso MO. Distribution of axonal and glial elements in the rhesus optic nerve head studied by electron microscopy. *Am J Ophthalmol.* 1976; 82(2):179-87.
65. Anderson DR. Ultrastructure of human and monkey lamina cribrosa and optic nerve head. *Arch Ophthalmol.* 1969; 82(6):800-14.
66. Jonas JB, Gusek GC, Guggenmoos-Holzmann I, Naumann GO. Variability of the real dimensions of normal human optic discs. *Graefes Arch Clin Exp Ophthalmol.* 1988; 226(4): 332-6.
67. Quigley HA, Brown AE, Morrison JD, Drance SM. The size and shape of the optic disc in normal human eyes. *Arch Ophthalmol.* 1990; 108(1):51-57.
68. Bengtsson B. The variation and covariation of cup and disc diameters. *Acta Ophthalmol (Copenh).* 1976; 54(6): 804-18.
69. Beck RW, Messner DK, Musch DC, Martonyi CL, Lichter PR. Is there a racial difference in physiologic cup size? *Ophthalmology.* 1985 Jul; 92(7):873-6.
70. Britton RJ, Drance SM, Schulzer M, Douglas GR, Mawson DK. The area of the neuroretinal rim of the optic nerve in normal eyes. *Am J Ophthalmol.* 1987; 103(4): 497-504.
71. Caprioli J, Miller JM. Optic disc rim area is related to disc size in normal subjects. *Arch Ophthalmol.* 1987; 105(12): 1683-5.
72. Ogden TE, Duggan J, Danley K, Wilcox M, Minckler DS. Morphometry of nerve fiber bundle pores in the optic nerve head of the human. *Exp Eye Res.* 1988; 46(4): 559-68.
73. Jonas JB, Gusek GC, Naumann GO. Optic disc, cup and neuroretinal rim size, configuration and correlations in normal eyes. *Invest Ophthalmol Vis Sci.* 1988; 29(7):1151-8.
74. Chi T, Ritch R, Stickler D, Pitman B, Tsai C, Hsieh FY. Racial differences in optic nerve head parameters. *Arch Ophthalmol.* 1989 Jun; 107(6):836-9.

75. Tomita G, Takamoto T, Schwartz B. Glaucomalike disks without increased intraocular pressure or visual field loss. *Am J Ophthalmol*. 1989; 108(5):496-504.
76. Varma R, Tielsch JM, Quigley HA, Hilton SC, Katz J, Spaeth GL, Sommer A. Race-, age-, gender-, and refractive error-related differences in the normal optic disc. *Arch Ophthalmol*. 1994; 112(8):1068-76.
77. Ramrattan RS, Rolfs RCW, Hofman A. Are gender differences in disk and rim area due to differences in refractive error or height? The Rotterdam study. [ARVO Abstract]. *Invest Ophthalmol Vis Sci*, 1997; 38:S824.
78. Millington EC. History of the Young-Helmholtz theory of colour vision. *Ann Sci*. 1942; 5:167-176.
79. Quigley HA, Addicks EM. Chronic experimental glaucoma in primates. II. Effect of extended intraocular pressure elevation on optic nerve head and axonal transport. *Invest Ophthalmol Vis Sci*. 1980; 19(2):137-52.
80. Quigley HA, Flower RW, Addicks EM, McLeod DS. The mechanism of optic nerve damage in experimental acute intraocular pressure elevation. *Invest Ophthalmol Vis Sci*. 1980 19(5):505-17.
81. Vrabec F. Glaucomatous cupping of the human optic disk: a neuro-histologic study. *Allbrecht von Graefes Arch Klin Exp Ophthalmol*. 1976; 198(3): 223-234.
82. Quigley HA, Green WR. The histology of human glaucoma cupping and optic nerve damage: clinicopathologic correlation in 21 eyes. *Ophthalmology*. 1979; 86(10):1803-30.
83. Quigley HA, Addicks EM, Green WR, Maumenee AE. Optic nerve damage in human glaucoma. II. The site of injury and susceptibility to damage. *Arch Ophthalmol*. 1981; 99(4):635-649.
84. Jonas JB, Gusek GC, Naumann GO. Optic disc morphometry in chronic primary open-angle glaucoma. II. Correlation of the intrapapillary morphometric data to visual field indices. *Graefes Arch Clin Exp Ophthalmol*. 1988; 226(6):531-8.
85. Jonas JB, Fernandez MC, Sturmer J. Pattern of glaucomatous neuroretinal rim loss. *Ophthalmology*. 1993; 100(1):63-8.

86. Kirsch RE, Anderson DR. Clinical recognition of glaucomatous cupping. *Am J Ophthalmol.* 1973; 75(3):442-54.
87. Weisman RL, Asseff CF, Phelps CD, Podos SM, Becker B. Vertical elongation of the optic cup in glaucoma. *Trans Am Acad Ophthalmol Otolaryngol.* 1973; 77(2):OP157-61.
88. Read RM, Spaeth GL. The practical clinical appraisal of the optic disc in glaucoma: the natural history of cup progression and some specific disc-field correlations. *Trans Am Acad Ophthalmol Otolaryngol.* 1974; 78(2):OP255-74.
89. Hitchings RA, Spaeth GL. The optic disc in glaucoma. I. Classification. *Br J Ophthalmol.* 1976; 60(11):778-85.
90. Spaeth GL, Hitchings RA, Sivalingam E. The optic disc in glaucoma: pathogenetic correlation of five patterns of cupping in chronic open-angle glaucoma. *Trans Am Acad Ophthalmol Otolaryngol.* 1976; 81(2):217-23.
91. Garway-Heath DF, Ruben ST, Viswanathan A et al. Vertical cup/disc ratio in relation to optic disc size: its value in the assessment of the glaucoma suspect. *Br J Ophthalmol.* 1998; 82(10): 1118-24.
92. Susanna R Jr, Medeiros FA. *The Optic Nerve in Glaucoma.* Rio de Janeiro: Cultura Médica; 2003, p.24-5.
93. Armaly M, Sayegh R. The cup/disc ratio. *Arch Ophthalmol.* 1969; 82(2):191-6.
94. Jonas JB, Zach FM, Gusek GC, Naumann GO. Pseudoglaucomatous physiologic large cups. *Am J Ophthalmol.* 1989; 107(2): 137-44.
95. Healey PR, Mitchell P, Smith W, Wang JJ. Relationship between cup-disc ratio and optic disc diameter: the Blue Mountains Eye Study. *Aust N Z J Ophthalmol.* 1997; Suppl 1:S99-101.
96. Jonas JB, Fernandez MC, Naumann GO. Glaucomatous optic nerve atrophy in small discs with low cup-to-disc ratios. *Ophthalmology* 1990; 97(9): 1211-5.
97. Becker B. Cup-disk ratio and topical corticosteroid testing. *Am J Ophthalmol.* 1970; 70(5):681-5.

98. Ong LS, Mitchell P, Healey PR, Cumming RG. Asymmetry in optic disc parameters: the Blue Mountains Eye Study. *Invest Ophthalmol Vis Sci* 1999; 40(5): 849-57.
99. Susanna R Jr. The lamina cribrosa and visual field defects in open-angle glaucoma. *Can J Ophthalmol*. 1983; 18(3): 124-6.
100. Javitt JC, Spaeth GL, Katz LJ, Poryzees E, Addiego R. Acquired pits of the optic nerve. Increased prevalence in patients with low-tension glaucoma. *Ophthalmology*. 1990; 97(8): 1038-43; discussion 43-4.
101. Radius RL, Maumenee AE, Green WR. Pit-like changes of the optic nerve head in open-angle glaucoma. *Br J Ophthalmol*. 1978; 62(6): 389-93.
102. Nduaguba C, Ugurlu S, Caprioli, J. Acquired pits of the optic nerve in glaucoma: prevalence and associated visual field loss. *Acta Ophthalmol Scand*. 1998; 76(3): 273-7.
103. Ugurlu S, Weitzman M, Nduaguba C, Caprioli J. Acquired pit of the optic nerve: a risk factor for progression of glaucoma. *Am J Ophthalmol*. 1998; 125(4): 457-64.
104. Jonas JB, Nguyen XN, Gusek GC, Naumann GO. Parapapillary chorioretinal atrophy in normal and glaucoma eyes. I. Morphometric data. *Invest Ophthalmol Vis Sci*. 1989; 30(5): 908-18.
105. Jonas JB, Naumann GO. Parapapillary chorioretinal atrophy in normal and glaucoma eyes. II. Correlations. *Invest Ophthalmol Vis Sci* 1989; 30(5): 919-26.
106. Krönfeld PC. The Optic Nerve. *Symposium on Glaucoma*. St. Louis: Mosby, 1967, p.62.
107. Airaksinen PJ, Mustonen E, Alanko HI. Optic disc haemorrhages precede retinal nerve fibre layer defects in ocular hypertension. *Acta Ophthalmol (Copenh)*. 1981; 59(5):627-41.
108. Airalsinen PJ, Mustonen E, Alanko HI. Optic disc hemorrhages. Analysis of stereophotographs and clinical data of 112 patients. *Arch Ophthalmol*. 1981; 99(10): 1795-801.
109. Jonas JB, Xu L. Optic disk hemorrhages in glaucoma. *Am J Ophthalmol*. 1994; 118(1): 1-8.

110. Healey PR, Mitchell P, Smith W, Wang JJ. Optic disc hemorrhages in a population with and without signs of glaucoma. *Ophthalmology*. 1998; 105(2): 216-23.
111. Herschler J, Osher RH. Baring of the circumlinear vessel. An early sign of optic nerve damage. *Arch Ophthalmol*. 1980, 98(5): 865-9.
112. Osher RH, Herschler, J. The significance of baring of the circumlinear vessel. A prospective study. *Arch Ophthalmol*. 1981; 99(5): 817-8.
113. Kasner O, Balazsi AG. Glaucomatous optic nerve atrophy: the circumlinear vessel revisited. *Can J Ophthalmol*. 1991; 26(5): 264-9.
114. Mikelberg FS, Drance SM, Schulzer M, Yidegiligne HM, Weis MM. The normal human optic nerve. Axon count and axon diameter distribution. *Ophthalmology*. 1989; 96(9):1325-8.
115. Radius RL, Anderson DR. The course of axons through the retina and optic nerve head. *Arch Ophthalmol*. 1979; 97(6): 1154-8.
116. Minckler DS. The organization of nerve fiber bundles in the primate optic nerve head. *Arch Ophthalmol*. 1980; 98(9): 1630-6.
117. Hoyt WF, Luis O. Visual fiber anatomy in the infrageniculate pathway of the primate. *Arch Ophthalmol*. 1962 Jul; 68:94-106.
118. Mikelberg FS, Drance SM, Schulzer M, Yidegiligne HM, Weis MM. The normal human optic nerve. Axon count and axon diameter distribution. *Ophthalmology*. 1989; 96(9):1325-8.
119. Quigley HA, Addicks EM. Quantitative studies of retinal nerve fiber layer defects. *Arch Ophthalmol* 1982; 100(5):807-14.
120. Toprak AB, Yilmaz OF. Relation of optic disc topography and age to thickness of retinal nerve fibre layer as measured using scanning laser polarimetry, in normal subjects. *Br J Ophthalmol*. 2000; 84(5):473-8.
121. Balazsi AG, Rootman J, Drance SM, Schulzer M, Douglas GR. The effect of age on the nerve fiber population of the human optic nerve. *Am J Ophthalmol*. 1984; 97(6): 760-6.
122. Morrison JC, Cork LC, Dunkelberger GR, Brown A, Quigley HA. Aging changes of the rhesus monkey optic nerve. *Invest Ophthalmol Vis Sci*. 1990; 31(8):1623-7.

123. Hoyt WF, Newman NM. The earliest observable defect in glaucoma? *Lancet*. 1972; 1(7752): 692-3.
124. Hoyt WF, Schlicke B, Eckelhoff RJ. Fundoscopic appearance of a nerve-fibre-bundle defect. *Br J Ophthalmol*. 1972; 56(8): 577-83.
125. Hoyt WF, Frisen L, Newman NM. Fundoscopy of nerve fiber layer defects in glaucoma. *Invest Ophthalmol*. 1973; 12(11): 814-29
126. Jonas JB, Schiro D. Localised wedge shaped defects of the retinal nerve fiber layer in glaucoma. *Br J Ophthalmol*. 1994; 78(4):285–90.
127. Jonas JB, Dichtl A. Evaluation of the retinal nerve fiber layer. *Surv Ophthalmol*. 1996; 40(5):369-78.
128. Jonas JB, Budde WM, Panda-Jonas S. Ophthalmoscopic evaluation of the optic nerve head. *Surv Ophthalmol*. 1999; 43(4): 293-320.
129. Bagga H, Greenfield DS. Clinical Assessment of the Optic Nerve and Peripapillary Retinal Nerve Fiber Layer. *Techniques in Ophthalmology*. 2003; 1(2):98-105.
130. Spaeth GL (1993). Direct Ophthalmoscopy. In: Varmag L, Spaeth GL (Eds): *The Optic Nerve in Glaucoma*, J. B. Lippincott Company, Philadelphia. pp. 127-35.
131. Henderer JD. Disc damage likelihood scale. *Br J Ophthalmol*. 2006; 90:395–6.
132. Morgan JE, Bourtsoukli I, Rajkumar KN, Ansari E, Cunliffe IA, North RV et al. The accuracy of the inferior > superior > nasal > temporal neuroretinal rim area rule for diagnosing glaucomatous optic disc damage. *Ophthalmology*. 2012; 119(4):723-30.
133. Shiose Y. Quantitative analysis of “optic cup” and its clinical application. III. A new diagnostic criterion for glaucoma using “quantitative disc pattern” (Shiose) (author’s transl). *Nippon Ganka Gakkai Zasshi*. 1975; 79(5):445–461.
134. Richardson KT. Glaucoma and glaucoma suspects. In: Richardson KT, ed. *Glaucoma: Conceptions of a Disease, Pathogenesis, Diagnosis, Therapy*. Philadelphia: W.B. Saunders; 1978; pp.2–6.
135. Nesterov AP, Listopadova NA. Classification of physiological and glaucomatous extraction of the optic disk. *Vestn Oftalmol*. 1981; (2)17–22.

136. Spaeth GL, Lopes JF, Junk AK, Grigorian AP, Henderer J. Systems for staging the amount of optic nerve damage in glaucoma: a critical review and new material. *Surv Ophthalmol.* 2006; 51:293–315.
137. Brusini P, Zeppieri M, Tosoni C, Parisi L, Salvetat ML. Optic Disc Damage Staging System. *J Glaucoma.* 2010; 19(7):442-9.
138. Spaeth GL, Henderer J, Liu C, Kesen M, Altangerel U, Bayer A et al. The disc damage likelihood scale: reproducibility of a new method of estimating the amount of the optic nerve damage caused by glaucoma. *Trans Am Ophthalmol Soc.* 2002; 100:181–6.
139. Bayer A, Harasymowycz P, Henderer JD, Steinmann WG, Spaeth GL. Validity of a new disk grading scale for estimating glaucomatous damage: correlation with visual field damage. *Am J Ophthalmol.* 2002; 133(6):758–63.
140. Henderer JD, Liu C, Kesen M, Altangerel U, Bayer A, Steinmann WC. Reliability of the disk damage likelihood scale. *Am J Ophthalmol.* 2003; 135(1): 44–48.
141. Spaeth GL, Henderer J, Steinmann W. The disc damage likelihood scale: its use in the diagnosis and management of glaucoma. *Highlights Ophthalmol.* 2003; 31:4–16.
142. Danesh-Meyer HV, Gaskin BJ, Jayusundera T, Donaldson M, Gamble GD. Comparison of disc damage likelihood scale, cup to disc ratio, and Heidelberg retina tomography in the diagnosis of glaucoma. *Br J Ophthalmol.* 2006; 90(4):437–441.
143. Tielsch JM, Katz J, Quigley HA, Miller NR, Sommer A. Intraobserver and interobserver agreement in measurement of optic disc characteristics. *Ophthalmology.* 1988; 95(3):350–6.
144. Varma R, Steinmann WC, Scott IU. Expert agreement in evaluating the optic disc for glaucoma. *Ophthalmology.* 1992; 99(2):215–21.
145. Roh KH, Jeoung JW, Park KH, Yoo BW, Kim DM. Long-Term Reproducibility of Cirrus HD Optical Coherence Tomography Deviation Map in Clinically Stable Glaucomatous Eyes. *Ophthalmology.* 2013; 120(5):969-77.
146. Gaasterland DE, Blackwell B, Dally LG, Caprioli J, Katz LJ, Ederer F et al. The Advanced Glaucoma Intervention Study (AGIS): 10. Variability among academic

glaucoma subspecialists in assessing optic disc notching. *Trans Am Ophthalmol Soc.* 2001; 99:177–84.

147. Arnalich-Montiel F, Muñoz-Negrete FJ, Rebolleda G, Sales-Sanz M, Cabarga C. Cup-to-disc ratio: agreement between slit-lamp indirect ophthalmoscopic estimation and stratus optical coherence tomography measurement. *Eye (Lond).* 2007 Aug; 21(8):1041-9.

148. Burr JM, Mowatt G, Hernández R, Siddiqui MA, Cook J, Lourenco T et al. The clinical effectiveness and cost-effectiveness of screening for open angle glaucoma: a systematic review and economic evaluation. *Health Technol Assess.* 2007; 11(41): iii-iv, ix-x, 1-190.

149. Abdul Majid AS, Kwag JH, Jung SH, Yim HB, Kim YD, Kang KD. Correlation between disc damage likelihood scale and optical coherence tomography in the diagnosis of glaucoma. *Ophthalmologica.* 2010; 224(5):274-82.

150. Wang F, Quigley HA, Tielsch JM. Screening for glaucoma in a medical clinic with photographs of the nerve fiber layer. *Arch Ophthalmol.* 1994; 112:796-800.

151. Fingeret M, Medeiros FA, Susanna R Jr, Weinreb RN. Five rules to evaluate the optic disc and retinal nerve fiber layer for glaucoma. *Optometry.* 2005; 76(11):661–8.

152. Dichtl A, Jonas JB, Mardin CY. Comparison between tomographic scanning evaluation and photographic measurement of the neuroretinal rim. *Am J Ophthalmol.* 1996; 121(5):494-501.

153. Jayasundera T, Danesh-Meyer HV, Donaldson M, Gamble G. Agreement between stereoscopic photographs, clinical assessment, Heidelberg retina tomograph and digital stereoscopic optic disc camera in estimating vertical cup:disc ratio. *Clin Experiment Ophthalmol.* 2005; 33(3):259-63.

154. Arthur SN, Aldridge AJ, De León-Ortega J, McGwin G, Xie A, Girkin CA. Agreement in assessing cup-to-disc ratio measurement among stereoscopic optic nerve head photographs, HRT II, and Stratus OCT. *J Glaucoma.* 2006; 15(3):183-9.

155. Reus NJ, de Graaf M, Lemij HG. Accuracy of GDx VCC, HRT I, and clinical assessment of stereoscopic optic nerve head photographs for diagnosing glaucoma. *Br J Ophthalmol.* 2007; 91(3):313-8.

156. Allen L. Ocular fundus photography: Suggestion for achieving consistently good pictures and instruction for stereoscopic photography. *Am J Ophthalmol.* 1964; 57:13-28.
157. Donaldson DD. A new camera for stereoscopic fundus photography. *Arch Ophthalmol.* 1965; 73:253-67.
158. Gloster J, Parry DG. Use of photographs for measuring cupping in the optic disc. *Br J Ophthalmol.* 1974; 58(10): 850-62.
159. Hitchings RA, Genio C, Anderton S, Clark P. An optic disc grid: its evaluation in reproducibility studies on the cup/disc ratio. *Br J Ophthalmol.* 1983; 67(6): 356-61.
160. Tielsch JM, Katz J, Quigley HA, Miller NR, Sommer A. Intraobserver and interobserver agreement in measurements of optic disc characteristics. *Ophthalmology.* 1988; 95(3):350-6.
161. Burgoyne CF, Quigley HA, Varma R. Comparison of clinician judgment with digitized image analysis in the detection of induced optic disk change in monkey eyes. *Am J Ophthalmol.* 1995; 120(2):176-83.
162. Azuara-Blanco A, Katz LJ, Spaeth GL, Nicholl J, Lanzl IM. Detection of changes of the optic disc in glaucomatous eyes: clinical examination and image analysis with the Topcon Imagenet system. *Acta Ophthalmol Scand.* 2000; 78(6):647-50.
163. Zeyen T, Miglior S, Pfeiffer N, Cunha-Vaz J, Adamsons I, European Glaucoma Prevention Study Group. Reproducibility of evaluation of optic disc change for glaucoma with stereo optic disc photographs. *Ophthalmology.* 2003; 110(2):340-4.
164. Parrish RK 2nd, Schiffman JC, Feuer WJ, Anderson DR, Budenz DL, Wells-Albornoz MC. Test-retest reproducibility of optic disk deterioration detected from stereophotographs by masked graders. *Am J Ophthalmol.* 2005; 140(4):762-4.
165. Breusegem C, Fieuws S, Stalmans I, Zeyen T. Agreement and accuracy of non-expert ophthalmologists in assessing glaucomatous changes in serial stereo optic disc photographs. *Ophthalmology.* 2011; 118(4):742-6.
166. Deleon-Ortega JE, Arthur SN, McGwin G Jr, Xie A, Monheit BE, Girkin CA. Discrimination between glaucomatous and nonglaucomatous eyes using quantitative

imaging devices and subjective optic nerve head assessment. *Invest Ophthalmol Vis Sci.* 2006; 47(8):3374–80.

167. Morgan JE, Sheen NJ, North RV, Goyal R, Morgan S, Ansari E et al. Discrimination of glaucomatous optic neuropathy by digital stereoscopic analysis. *Ophthalmology.* 2005; 112(5):855–62.

168. Andersson S, Heijl A, Bengtsson B. Optic disc classification by the Heidelberg Retina Tomograph and by physicians with varying experience of glaucoma. *Eye (Lond).* 2011; 25(11):1401-7.

169. Henderer J, Wang Y, Bayer A, Altangerel U, Schwartz L, Schmidt C. Evaluating a new disc staging scale for glaucomatous damage: the ability to detect change over time. *Eur J Ophthalmol.* 2009; 19(3):404-10.

170. Deleón-Ortega JE, Arthur SN, McGwin G Jr, Xie A, Monheit BE, Girkin CA. Discrimination between glaucomatous and nonglaucomatous eyes using quantitative imaging devices and subjective optic nerve head assessment. *Invest Ophthalmol Vis Sci.* 2006; 47(8):3374-80.

171. Mikelberg FS, Douglas GR, Schulzer M, Cornsweet TN, Wijsman K. Reliability of optic disk topographic measurements recorded with a video-ophthalmograph. *Am J Ophthalmol.* 1984; 98(1): 98-102.

172. Varma R, Spaeth GL. The PAR IS 2000: a new system for retinal digital image analysis. *Ophthalmic Surg.* 1988; 19(3): 183-92.

173. Dandona L, Quigley HA, Jampel HD. Reliability of optic nerve head topographic measurements with computerized image analysis. *Am J Ophthalmol.* 1989; 108(4): 414-21, 1989.

174. Shields MB, Martone JF, Shelton AR, Ollie AR, Macmillan J. Reproducibility of topographic measurements with the optic nerve head analyzer. *Am J Ophthalmol.* 1987; 104(6): 581-6.

175. Shields MB, Tiedeman JS, Miller KN, Hickingbotham D, Ollie AR. Accuracy of topographic measurements with the Optic Nerve Head Analyzer. *Am J Ophthalmol.* 1989; 107(3): 273-9.

176. Miller E, Caprioli J. Regional and long-term variability of fundus measurements made with computer-image analysis. *Am J Ophthalmol.* 1991; 112(2): 171-6.
177. Webb R. Scanning laser ophthalmoscope, In: Master B, ed. *Noninvasive diagnostic techniques.* New York: Springer-Verlag. 1990; pp.438-50.
178. Stürmer J, Schaer-Stoller F, Gloor B. Measuring the optic papilla with planimetry and the optic nerve head analyzer in glaucoma and suspected glaucoma. II. Correlations of the results of both methods with changes in the visual field, studied with the Octopus automatic perimeter. *Klin Monbl Augenheilkd.* 1990; 196(3):132-42.
179. Plesch A, Klingbeil U, Bille J. Digital laser scanning fundus camera. *Appl Opt.* 1987; 26(8):1480-6.
180. Manivannan A, Sharp PF, Phillips RP, Forrester JV. Digital fundus imaging using a scanning laser ophthalmoscope. *Physiol Meas.* 1993; 14(1):43-56.
181. Geyer O, Michaeli-Cohen A, Silver DM, Versano D, Neudorfer M, Dzhanov R et al. Reproducibility of topographic measures of the glaucomatous optic nerve head. *Br J Ophthalmol.* 1998; 82(1): 14-7.
182. Ahn BS, Kee C. Ability of a confocal scanning laser ophthalmoscope (TopSS) to detect early glaucomatous visual field defect. *Br J Ophthalmol.* 2000; 84(8): 852-5.
183. Cullinane AB, Waldock A, Diamond JP, Sparrow JM. Optic disc cup slope and visual field indices in normal, ocular hypertensive and early glaucomatous eyes. *Br J Ophthalmol.* 2002; 86(5): 555-9.
184. Magacho L, Marcondes AM, Costa VP. Correlation between optic disc topography and retinal nerve fibre layer measurements in glaucoma. *Acta Ophthalmol Scand.* 2005; 83(3):322-7.
185. Mikelberg FS, Parfitt CM, Swindale NV, Graham SL, Drance SM, Gosine R. Ability of the Heidelberg Retina Tomograph to Detect Early Glaucomatous Visual Field Loss. *J Glaucoma.* 1995; 4(4): 242-7.
186. Wollstein G, Garway-Heath DF, Hitchings RA. Identification of early glaucoma cases with the scanning laser ophthalmoscope. *Ophthalmology.* 1998; 105(8):1557-63.

187. Strouthidis NG, Garway-Heath DF. New developments in Heidelberg retina tomograph for glaucoma. *Curr Opin Ophthalmol*. 2008;19:141– 8.
188. Rao HL, Babu GJ, Sekhar GC. Comparison of the diagnostic capability of the Heidelberg Retina Tomographs 2 and 3 for glaucoma in the Indian population. *Ophthalmology*. 2010; 117(2):275-81.
189. Bartz-Schmidt KU, Jonescu-Cuypers CP, Thumann G, Frucht J, Krieglstein GK. Effect of the contour line on cup surface using the Heidelberg Retina Tomograph. *Klin Monatsbl Augenheilkd*. 1996; 209(5):292-7.
190. Garway-Heath DF, Poinoosawmy D, Wollstein G, Viswanathan A, Kamal D, Fontana L, et al. Inter- and intraobserver variation in the analysis of optic disc images: comparison of the Heidelberg retina tomograph and computer assisted planimetry. *Br J Ophthalmol*. 1999; 83(6):664-9.
191. Burk RO, Vihanninjoki K, Bartke T, Tuulonen A, Airaksinen PJ, Völcker HE et al. Development of the standard reference plane for the Heidelberg retina tomography. *Graefes Arch Clin Exp Ophthalmol*. 2000; 238(5): 375-84.
192. Wollstein G, Garway-Heath DF, Fontana L, Hitchings RA. Identifying early glaucomatous changes. Comparison between expert clinical assessment of optic disc photographs and confocal scanning ophthalmoscopy. *Ophthalmology*. 2000; 107(12):2272-7.
193. Swindale NV, Stjepanovic G, Chin A, Mikelberg FS. Automated analysis of normal and glaucomatous optic nerve head topography images. *Invest Ophthalmol Vis Sci*. 2000; 41(7): 1730-42.
194. Coops A, Henson DB, Kwartz AJ, Artes PH. Automated analysis of Heidelberg retina tomography optic disc images by glaucoma probability score. *Invest Ophthalmol Vis Sci*. 2006; 47(12):5348-55.
195. Bathija R, Zangwill L, Berry CC, Sample PA, Weinreb RN. Detection of early glaucomatous structural damage with confocal scanning laser tomography. *J Glaucoma*. 1998; 7(2): 121-7.

196. Caprioli J, Park HJ, Ugurlu S, Hoffman D. Slope of the peripapillary nerve fiber layer surface in glaucoma. *Invest Ophthalmol Vis Sci*. 1998; 39(12): 2321-8.
197. Taibbi G, Fogagnolo P, Orzalesi N, Rossetti L. Reproducibility of the Heidelberg Retina Tomograph III Glaucoma Probability Score. *J Glaucoma*. 2009; 18(3):247-52.
198. Tomita G, Honbe K, Kitazawa Y. Reproducibility of measurements by laser scanning tomography in eyes before and after pilocarpine treatment. *Graefes Arch Clin Exp Ophthalmol*. 1994; 232(7):406-8.
199. Zangwill LM, Berry CC, Weinreb RN. Optic disc topographic measurements after pupil dilation. *Ophthalmology*. 1999; 106(9):1751-5.
200. Azuara-Blanco A, Harris A, Cantor LB. Reproducibility of optic disk topographic measurements with the Topcon ImageNet and the Heidelberg Retina Tomograph. *Ophthalmologica*. 1998; 212(2):95-8.
201. Bowd C, Weinreb RN, Lee B, Emdadi A, Zangwill LM. Optic disk topography after medical treatment to reduce intraocular pressure. *Am J Ophthalmol*. 2000; 130(3):280-6.
202. Chauhan BC, McCormick TA. Effect of the cardiac cycle on topographic measurements using confocal scanning laser tomography. *Graefes Arch Clin Exp Ophthalmol*. 1995; 233(9):568-72.
203. Owen VM, Strouthidis NG, Garway-Heath DF, Crabb DP. Measurement variability in Heidelberg Tomograph imaging of neuroretinal rim area. *Invest Ophthalmol Vis Sci*. 2006; 47(12):5322-30.
204. Strouthidis NG, White ET, Owen VM, Ho TA, Garway-Heath DF. Improving the repeatability of Heidelberg retina tomography and Heidelberg retina tomography II rim area measurements. *Br J Ophthalmol*. 2005; 89 (11): 1433-7.
205. Sihota R, Gulati V, Agarwal HC, Saxena R, Sharma A, Pandey RM. Variables affecting test-retest variability of Heidelberg Retina Tomograph II stereometric parameters. *J Glaucoma*. 2002; 11(4):321-8.
206. Hatch WV, Flanagan JG, Williams-Lyn DE, Buys YM, Farra T, Trope GE. Interobserver agreement of Heidelberg retina tomograph parameters. *J Glaucoma*. 1999; 8(4):232-7.

207. Verdonck N, Zeyen T, Van Malderen L, Spileers W. Short-term intra-individual variability in heidelberg retina tomograph II. *Bull Soc Belge Ophtalmol.* 2002;(286):51-7.
208. Leung CK, Cheung CY, Lin D, Pang CP, Lam DS, Weinreb RN. Longitudinal variability of optic disc and retinal nerve fiber layer measurements. *Invest Ophthalmol Vis Sci.* 2008 Nov;49(11):4886-92.
209. Zangwill LM, Jain S, Racette L, Ernstrom KB, Bowd C, Medeiros FA et al. The effect of disc size and severity of disease on the diagnostic accuracy of the Heidelberg Retina Tomograph Glaucoma Probability Score. *Invest Ophthalmol Vis Sci.* 2007; 48(6):2653-60.
210. Harizman N, Zelefsky JR, Ilitchev E, Tello C, Ritch R, Liebmann JM. Detection of glaucoma using operator-dependent versus operator-independent classification in the Heidelberg retinal tomograph-III. *Br J Ophthalmol.* 2006; 90(11):1390-2.
211. Moreno-Montañés J, Antón A, García N, Mendiluce L, Ayala E, Sebastián A. Glaucoma probability score VS Moorfields classification in normal, ocular hypertensive, and glaucomatous eyes. *Am J Ophthalmol.* 2008; 145(2):360-8.
212. Oddone F, Centofanti M, Rossetti L, Iester M, Fogagnolo P, Capris E et al. Exploring the Heidelberg Retinal Tomograph 3 diagnostic accuracy across disc sizes and glaucoma stages: a multicenter study. *Ophthalmology.* 2008; 115(8):1358-65, 65 e1-3.
213. Oddone F, Centofanti M, Iester M, Rossetti L, Fogagnolo P, Michelessi M et al. Sector-based analysis with the Heidelberg Retinal Tomograph 3 across disc sizes and glaucoma stages: a multicenter study. *Ophthalmology.* 2009; 116(6):1106-11, e1-3.
214. Ferreras A, Pablo LE, Pajarín AB, Larrosa JM, Polo V, Pueyo V. Diagnostic ability of the Heidelberg Retina Tomograph 3 for glaucoma. *Am J Ophthalmol.* 2008; 145(2): 354-9.
215. Sommer A, Miller NR, Pollack I, et al. The nerve fiber layer in the diagnosis of glaucoma. *Arch Ophthalmol.* 1977;95: 2149–2156.
216. Sommer A, Katz J, Quigley HA, et al. Clinically detectable nerve fiber atrophy precedes the onset of glaucomatous field loss. *Arch Ophthalmol.* 1991;109:77–83.

217. Tuulonen A, Airaksinen PJ. Initial glaucomatous optic disk and retinal nerve fiber layer abnormalities and their progression. *Am J Ophthalmol.* 1991;111:485–490.
218. Tuulonen A, Lehtola J, Airaksinen PJ. Nerve fiber layer defects with normal visual fields. Do normal optic disc and normal visual field indicate absence of glaucomatous abnormality? *Ophthalmology.* 1993;100:587–597.
219. Quigley HA, Reacher M, Katz J, et al. Quantitative grading of nerve fiber layer photographs. *Ophthalmology.* 1993; 100(12):1800–7.
220. Niessen AG, van den Berg TJ, Langerhorst CT, Bossuyt PM. Grading of retinal nerve fiber layer with a photographic reference set. *Am J Ophthalmol.* 1995; 120(5):577–86.
221. Varma R, Spaeth GL. The PAR IS 2000: a new system for retinal digital image analysis. *Ophthalmic Surg.* 1988; 19(3): 183-92.
222. Herrmann J, Funk J. Diagnostic value of nerve fibre layer photography in glaucoma. *Ophthalmologie.* 2005; 102(8):778-82.
223. Medeiros FA, Zangwill LM, Bowd C, Mohammadi K, Weinreb RN. Comparison of scanning laser polarimetry using variable corneal compensation and retinal nerve fiber layer photography for detection of glaucoma. *Arch Ophthalmol.* 2004; 122(5):698-704.
224. Hong S, Ahn H, Ha SJ, Yeom HY, Seong GJ, Hong YJ. Early glaucoma detection using the Humphrey Matrix Perimeter, GDx VCC, Stratus OCT, and retinal nerve fiber layer photography. *Ophthalmology.* 2007; 114(2):210-5.
225. Weinreb RN, Shakiba S, Zangwill L. Scanning laser polarimetry to measure the nerve fiber layer of normal and glaucomatous eyes. *Am J Ophthalmol.* 1995; 119(5):627-36.
226. Zangwill L, Berry CA, Garden VS, Weinreb RN. Reproducibility of retardation measurements with the nerve fiber analyzer II. *J Glaucoma.* 1997; 6(6):384-9.
227. Hoh ST, Ishikawa H, Greenfield DS, Liebmann JM, Chew SJ, Ritch R. Peripapillary nerve fiber layer thickness measurement reproducibility using scanning laser polarimetry. *J Glaucoma.* 1998; 7(1):12-5.

228. Lauande-Pimentel R, Carvalho RA, Oliveira HC, Gonçalves DC, Silva LM, Costa VP. Discrimination between normal and glaucomatous eyes with visual field and scanning laser polarimetry measurements. *Br J Ophthalmol*. 2001; 85(5):586-91.
229. Costa VP, Lauande-Pimentel R, Fonseca RA, Magacho L. The influence of age, sex, race, refractive error and optic disc parameters on the sensitivity and specificity of scanning laser polarimetry. *Acta Ophthalmol Scand*. 2004 82(4):419-25.
230. Garas A, Tóth M, Vargha P, Holló G. Comparison of repeatability of retinal nerve fiber layer thickness measurement made using the RTVue Fourier-domain optical coherence tomograph and the GDx scanning laser polarimeter with variable or enhanced corneal compensation. *J Glaucoma*. 2010; 19(6):412-7.
231. Weinreb RN, Dreher AW, Coleman A, Quigley H, Shaw B, Reiter K. Histopathologic validation of Fourier-ellipsometry measurements of retinal nerve fiber layer thickness. *Arch Ophthalmol*. 1990; 108:557–70.
232. Weinreb RN, Zangwill L, Berry CC, Bathija R, Sample PA. Detection of glaucoma with scanning laser polarimetry. *Arch Ophthalmol*. 1998; 116(12): 1583–9.
233. Zhou Q, Knighton RW. Light scattering and form birefringence of parallel cylindrical arrays that represent cellular organelles of the retinal nerve fiber layer. *Appl Opt*. 1997; 36(10):2273-85.
234. Greenfield DS, Knighton RW, Huang XR. Effect of corneal polarization axis on assessment of retinal nerve fiber layer thickness by scanning laser polarimetry. *Am J Ophthalmol*. 2000; 129(6):715–22.
235. Knighton RW, Huang XR. Linear birefringence of the central human cornea. *Invest Ophthalmol Vis Sci*. 2002; 43:82–6.
236. Kremmer S, Garway-Heath DF, De Cilla S, Steuhl KP, Selbach JM. Influence of cataract surgery with implantation of different intraocular lenses on scanning laser tomography and polarimetry. *Am J Ophthalmol*. 2003 136(6):1016-21.
237. Reus NJ, van Koolwijk LM, Lemij HG. Effects of inadequate anterior segment compensation on measurements with scanning laser polarimetry. *Ophthalmic Surg Lasers Imaging*. 2006; 37:54–57.

238. Vetrugno M, Sisata D, Trabucco T et al. Is there still a clinical use for scanning laser polarimetry with fixed corneal compensator? *Ophthalmologica*. 2006; 220:296–301.
239. Bowd C, Medeiros FA, Weinreb RN, Zangwill LM. The effect of atypical birefringence patterns on glaucoma detection using scanning laser polarimetry with variable corneal compensation. *Invest Ophthalmol Vis Sci*. 2007; 48(1): 223–227.
240. Medeiros FA, Alencar LM, Zangwill LM, Sample PA, Susanna Jr R, Weinreb RN. Impact of atypical retardation patterns on detection of glaucoma progression using the GDx with variable corneal compensation. *Am J Ophthalmol*. 2009; 148(1): 155–163, e151.
241. Tóth M, Holló G. Enhanced corneal compensation for scanning laser polarimetry on eyes with atypical polarisation pattern. *Br J Ophthalmol*. 2005; 89(9):1139-42.
242. Bagga H, Greenfield DS, Feuer WJ. Quantitative assessment of atypical birefringence images using scanning laser polarimetry with variable corneal compensation. *Am J Ophthalmol*. 2005; 139:437–446.
243. Mai TA, Reus NJ, Lemij HG. Diagnostic accuracy of scanning laser polarimetry with enhanced versus variable corneal compensation. *Ophthalmology*. 2007; 114:1988–93.
244. Orlev A, Horani A, Rapson Y, Cohen MJ, Blumenthal EZ. Clinical characteristics of eyes demonstrating atypical patterns in scanning laser polarimetry. *Eye*. 2008; 22(11):1378-83.
245. Qiu K, Leung CK, Weinreb RN, Liu S, Chueng CY, Li H et al. Predictors of atypical birefringence pattern in scanning laser polarimetry. *Br J Ophthalmol*. 2009; 93:1191-4.
246. Götzinger E, Pircher M, Baumann B, Hirn C, Vass C, Hitzenberger CK. Analysis of the Origin of Atypical Scanning Laser Polarimetry Patterns by Polarization-Sensitive Optical Coherence Tomography. *Invest Ophthalmol Vis Sci*. 2008; 49(12): 5366–72.
247. Reus NJ, Zhou Q, Lemij HG. Enhanced imaging algorithm for scanning laser polarimetry with variable corneal compensation. *Invest Ophthalmol Vis Sci*. 2006; 47(9):3870-7.

248. Medeiros FA, Bowd C, Zangwill LM, Patel C, Weinreb RN. Detection of glaucoma using scanning laser polarimetry with enhanced corneal compensation. *Invest Ophthalmol Vis Sci.* 2007; 48(7): 3146–53.
249. Tóth M, Holló G. Increased Long-term measurement variability with scanning laser polarimetry employing enhanced corneal compensation: an early sign of glaucoma progression. *J Glaucoma.* 2008; 17(7):571-7.
250. Mai TA, Reus NJ, Lemij HG. Retinal nerve fiber layer measurements repeatability in scanning laser polarimetry with enhanced corneal compensation. *J Glaucoma.* 2008; 17(4):269-274.
251. Bowd C, Tavares IM, Medeiros FA, Zangwill LM, Sample PA, Weinreb RN. Retinal nerve fiber layer thickness and visual sensitivity using scanning laser polarimetry with variable and enhanced corneal compensation. *Ophthalmology.* 2007; 114(7):1259-65.
252. Sehi M, Guaqueta DC, Greenfield DS. An enhancement module to improve the atypical birefringence pattern using scanning laser polarimetry with variable corneal compensation. *Br J Ophthalmol.* 2006; 90:749–53.
253. Iacono P, Da Pozzo S, Fuser M, Marchesan R, Ravalico G. Intersession reproducibility of retinal nerve fiber layer thickness measurements by GDx-VCC in healthy and glaucomatous eyes. *Ophthalmologica.* 2006; 220(4):266-71.
254. Garas A, Tóth M, Vargha P, Holló G. Influence of pupil dilation on repeatability of scanning laser polarimetry with variable and enhanced corneal compensation in different stages of glaucoma. *J Glaucoma.* 2010; 19(2):142-8.
255. Kanamori A, Nagai-Kusuhara A, Escaño MF, Maeda H, Nakamura M, Negi A. Comparison of confocal scanning laser ophthalmoscopy, scanning laser polarimetry and optical coherence tomography to discriminate ocular hypertension and glaucoma at an early stage. *Graefes Arch Clin Exp Ophthalmol.* 2006; 244(1):58-68.
256. Badalà F, Nouri-Mahdavi K, Raoof DA, Leeprechanon N, Law SK, Caprioli J. Optic disk and nerve fiber layer imaging to detect glaucoma. *Am J Ophthalmol.* 2007; 144(5):724-32.

257. Parikh RS, Parikh SR, Kumar RS, Prabakaran S, Babu JG, Thomas R. Diagnostic capability of scanning laser polarimetry with variable cornea compensator in Indian patients with early primary open-angle glaucoma. *Ophthalmology*. 2008; 115(7):1167-72.e1.
258. Pueyo V, Polo V, Larrosa JM, Pablo LE, Ferreras A, Honrubia FM. Ability of optical imaging devices to detect early structural damage in ocular hypertension. *Ann Ophthalmol*. 2009; 41(3-4):150-6.
259. Zeppieri M, Brusini P, Parisi L, Johnson CA, Sampaolesi R, Salvetat ML. Pulsar perimetry in the diagnosis of early glaucoma. *Am J Ophthalmol*. 2010; 149(1):102-12.
260. Pablo LE, Ferreras A, Schlottmann PG. Retinal nerve fibre layer evaluation in ocular hypertensive eyes using optical coherence tomography and scanning laser polarimetry in the diagnosis of early glaucomatous defects. *Br J Ophthalmol*. 2011 95(1):51-5.
261. Medeiros FA, Zangwill LM, Alencar LM, Sample PA, Weinreb RN. Rates of progressive retinal nerve fiber layer loss in glaucoma measured by scanning laser polarimetry. *Am J Ophthalmol*. 2010; 149(6):908-15.
262. Sehi M, Ume S, Greenfield DS. Scanning laser polarimetry with enhanced corneal compensation and optical coherence tomography in normal and glaucomatous eyes. *Invest Ophthalmol Vis Sci*. 2007; 48(5):2099-104.
263. Grewal DS, Sehi M, Greenfield DS. Detecting glaucomatous progression using GDx with variable and enhanced corneal compensation using Guided Progression Analysis. *Br J Ophthalmol*. 2011; 95(4):502-8.
264. Huang D, Swanson EA, Lin CP, Schuman JS, Stinson WG, Chang W et al. Optical coherence tomography. *Science*. 1991; 254(5035):1178-81.
265. Wojtkowski M, Srinivasan V, Ko T, Fujimoto JG, Kowalczyk A, Duker J. Ultrahigh-resolution, high-speed, Fourier domain optical coherence tomography and methods for dispersion compensation. *Optics Express*. 2004; 12(11):2404–22.

266. Wojtkowski M, Leitgeb R, Kowalczyk A, Bajraszewski T, Fercher AF. In vivo human retinal imaging by Fourier domain optical coherence tomography. *J Biomed Opt.* 2002; 7(3):457-63.
267. Drexler W. Ultrahigh-resolution optical coherence tomography. *J Biomed Opt.* 2004; 9(1):47-74.
268. Testoni PA, Mangiavillano B. Optical coherence tomography in detection of dysplasia and cancer of the gastrointestinal tract and bilio-pancreatic ductal system. *World J Gastroenterol.* 2008; 14(42):6444-52.
269. Gambichler T, Moussa G, Sand M, Sand D, Altmeyer P, Hoffmann K. Applications of optical coherence tomography in dermatology. *J Dermatol Sci.* 2005; 40(2):85-94.
270. Bezerra HG, Costa MA, Guacliumi G, Rollins AM, Simon DI. Intracoronary optical coherence tomography a comprehensive review: clinical and research applications. *JACC Cardiovasc Interv.* 2009; 2(11):1035-46.
271. Sayegh RR, Pineda R. Practical applications of anterior segment optical coherence tomography imaging following corneal surgery. 2nd. *Semin Ophthalmol.* 2012; 27(5-6):130-7.
272. Wong JJ, Chen TC, Shen LQ, Pasquale LR. Macular Imaging for Glaucoma Using Spectral-domain Optical Coherence Tomography: A Review. *Semin Ophthalmol.* 2012; 27(5-6):165-71.
273. Nukada M, Hangai M, Mori S, Takayama K, Nakano N, Morooka S et al. Imaging of Localized Retinal Nerve Fiber Layer Defects in Preperimetric Glaucoma Using Spectral-domain Optical Coherence Tomography. *J Glaucoma.* 2012 Oct 10.
274. Fercher AF, Hitzenberger CK, Drexler W, Kamp G, Sattmann H. In vivo optical coherence tomography. *Am J Ophthalmol.* 1993; 116(1):113-4.
275. Schuman JS. Spectral domain optical coherence tomography for glaucoma (an AOS thesis). *Trans Am Ophthalmol Soc.* 2008;106:426-58.
276. Puliafito CA, Hee MR, Lin CP, Reichel E, Schuman JS, Duker JS et al. Imaging of macular diseases with optical coherence tomography. *Ophthalmology.* 1995; 102(2):217-29.

277. Fourier J. Théorie analytique de la chaleur. In: Paris: Firmin Didot Père et Fils, 1822.
278. Bracewell, R. The Fourier Transform and its Applications, 3rd. ed. New York: McGraw-Hill, 2000; Cap. 2, pp. 5 e 6.
279. Gabriele ML, Wollstein G, Ishikawa H, Kagemann L, Xu J, Folio LS et al. Optical coherence tomography: history, current status, and laboratory work. Invest Ophthalmol Vis Sci. 2011; 52(5):2425-36.
280. Firat PG, Ozsoy E, Demirel S, Cumurcu T, Gunduz A. Evaluation of peripapillary retinal nerve fiber layer, macula and ganglion cell thickness in amblyopia using spectral optical coherence tomography. Int J Ophthalmol. 2013; 6(1):90-4.
281. Kiernan DF, Mieler WF, Hariprasad SM. Spectral-domain optical coherence tomography: a comparison of modern high-resolution retinal imaging systems. Am J Ophthalmol. 2010; 149(1):18-31.
282. Schuman JS, Hee MR, Arya AV, Pedut-Kloizman T, Puliafito CA, Fujimoto JG, et al. Optical coherence tomography: a new tool for glaucoma diagnosis. Curr Opin Ophthalmol. 1995; 6(2):89-95.
283. Fercher AF, Mengedoh K, Werner W. Eye-length measurement by interferometry with partially coherent light. Opt Lett. 1988; 13(3):186-188.
284. Michelson AA. Studies in Optics. Editora Dover, Mineola, NY, 1995.
285. Fujimoto JG. Optical coherence tomography for ultrahigh resolution in vivo imaging. Nat Biotechnol. 2003; 21(11):1361-7.
286. Drexler W, Morgner U, Ghanta RK, Kärtner FX, Schuman JS, Fujimoto JG. Ultrahigh-resolution ophthalmic optical coherence tomography. Nat Med 2001; 7(4):502-7.
287. Schuman JS, Pedut-Kloizman T, Hertzmark E, Hee MR, Wilkins JR, Coker JG et al. Reproducibility of nerve fiber layer thickness measurements using optical coherence tomography. Ophthalmology. 1996; 103(11):1889-98.
288. Blumenthal EZ, Williams JM, Weinreb RN, Girkin CA, Berry CC, Zangwill LM. Reproducibility of nerve fiber layer thickness measurements by use of optical coherence tomography. Ophthalmology. 2000; 107(12):2278-82.

289. Jones AL, Sheen NJ, North RV, Morgan JE. The Humphrey optical coherence tomography scanner: quantitative analysis and reproducibility study of the normal human retinal nerve fibre layer. *Br J Ophthalmol*. 2001; 85(6):673-7.
290. Carpineto P, Ciancaglini M, Zuppari E, Falconio G, Doronzo E, Mastropasqua L. Reliability of nerve fiber layer thickness measurements using optical coherence tomography in normal and glaucomatous eyes. *Ophthalmology*. 2003; 110(1):190-5.
291. Gürses-Ozden R, Teng C, Vessani R, Zafar S, Liebmann JM, Ritch R. Macular and retinal nerve fiber layer thickness measurement reproducibility using optical coherence tomography (OCT-3). *J Glaucoma*. 2004; 13(3):238-44.
292. Paunescu LA, Schuman JS, Price LL, Stark PC, Beaton S, Ishikawa H et al. Reproducibility of nerve fiber thickness, macular thickness, and optic nerve head measurements using Stratus OCT. *Invest Ophthalmol Vis Sci*. 2004; 45(6):1716-24.
293. Budenz DL, Chang RT, Huang X, Knighton RW, Tielsch JM. Reproducibility of retinal nerve fiber thickness measurements using the stratus OCT in normal and glaucomatous eyes. *Invest Ophthalmol Vis Sci*. 2005; 46(7):2440-3.
294. Pueyo V, Polo V, Larrosa JM, Mayoral F, Ferreras A, Honrubia FM. Reproducibility of optic nerve head and retinal nerve fiber layer thickness measurements using optical coherence tomography. *Arch Soc Esp Oftalmol*. 2006; 81(4):205-11.
295. Budenz DL, Fredette MJ, Feuer WJ, Anderson DR. Reproducibility of peripapillary retinal nerve fiber thickness measurements with stratus OCT in glaucomatous eyes. *Ophthalmology*. 2008; 115(4):661-6.e4.
296. Cettomai D, Pulicken M, Gordon-Lipkin E, Salter A, Frohman TC, Conger A et al. Reproducibility of optical coherence tomography in multiple sclerosis. *Arch Neurol*. 2008; 65(9):1218-22.
297. Antón A, Castany M, Pazos-Lopez M, Cuadrado R, Flores A, Castilla M. Reproducibility of measurements and variability of the classification algorithm of Stratus OCT in normal, hypertensive, and glaucomatous patients. *Clin Ophthalmol*. 2009; 3:139-45.

298. Leung CK, Cheung CY, Weinreb RN, Qiu Q, Liu S, Li H et al. Retinal nerve fiber layer imaging with spectral-domain optical coherence tomography: a variability and diagnostic performance study. *Ophthalmology*. 2009; 116(7): 1257-63.
299. Alasil T, Tan O, Lu AT, Huang D, Sadun AA. Correlation of Fourier domain optical coherence tomography retinal nerve fiber layer maps with visual fields in nonarteritic ischemic optic neuropathy. *Ophthalmic Surg Lasers Imaging*. 2008; 39(4 Suppl):S71-9.
300. Menke MN, Knecht P, Sturm V, Dabov S, Funk J. Reproducibility of nerve fiber layer thickness measurements using 3D fourier-domain OCT. *Invest Ophthalmol Vis Sci*. 2008; 49(12):5386-91.
301. Ho J, Sull AC, Vuong LN, Chen Y, Liu J, Fujimoto JG. Assessment of Artifacts and Reproducibility across Spectral- and Time-Domain Optical Coherence Tomography Devices. *Ophthalmology*. 2009; 116(10):1960-70.
302. González-Garcia AO, Vizzeri G, Bowd C, Medeiros FA, Zangwill LM, Weinreb RN. Reproducibility of RTVue Retinal Nerve Fiber Layer Thickness and Optic Disc Measurements and Agreement with Stratus Optical Coherence Tomography Measurements. *Am J Ophthalmol*. 2009; 147(6):1067-74.
303. Menke MN, Dabov S, Knecht P, Sturm V. Reproducibility of Retinal Thickness Measurements in Healthy Subjects Using Spectralis Optical Coherence Tomography. *Am J Ophthalmol*. 2009; 147(3):467-72.
304. Schimiti RB, Costa VP. Análise de Progressão dos Defeitos. *Perimetria Computadorizada. Um guia Básico de Interpretação*. 3ª Ed. Rio de Janeiro: Cultura Médica: Guanabara Koogan, 2009; p. 164.
305. Mwanza JC, Chang RT, Budenz DL, Durbin MK, Gendy MG, Shi W et al. Reproducibility of peripapillary retinal nerve fiber layer thickness and optic nerve head parameters measured with Cirrus HD-OCT in glaucomatous eyes. *Invest Ophthalmol Vis Sci*. 2010; 51(11):5724-30.
306. Kiernan DF, Hariprasad SM. Normative Databases in SD-OCT: A Status Report. *Retinal Physician*. 2010; 7(3): 16-8, 20-6, 28-9.

307. Menz HB, Latt MD, Tiedemann A, Mun San Kwan M, Lord SR. Reliability of the GAITRite walkway system for the quantification of temporo-spatial parameters of gait in young and older people. *Gait Posture*. 2004; 20(1):20-5.
308. Motta VT. Medidas de dispersão. In: Motta VT. *Bioestatística 2ª. Edição*. Caxias do Sul: Educs, 2006; p.40.
309. Fisher RA. *Statistical methods for research workers*. New York: Hafner Press; 1925.
310. Shrout PE, Fleiss JL. Intraclass correlations: Uses in assessing reliability. *Psychological Bulletin*. 1979; vol. 86, n°. 2; p. 420-8.
311. Wu Z, Vazeen M, Varma R, Chopra V, Walsh AC, LaBree LD et al . Factors associated with variability in retinal nerve fiber layer thickness measurements obtained by optical coherence tomography. *Ophthalmology*. 2007; 114(8):1505–12.
312. Gürses-Ozden R, Ishikawa H, Hoh ST, Liebmann JM, Mistlberger A, Greenfield DS et al. Increasing sampling density improves reproducibility of optical coherence tomography measurements. *J Glaucoma*. 1999; 8(4):238–41.
313. Garas A, Vargha P, Holló G. Reproducibility of retinal nerve fiber layer and macular thickness measurement with the RTVue-100 optical coherence tomograph. *Ophthalmology*. 2010; 117(4):738-46.
314. Pierro L, Gagliardi M, Iuliano L, Ambrosi A, Bandello F. Retinal nerve fiber layer thickness reproducibility using seven different OCT instruments. *Invest Ophthalmol Vis Sci*. 2012; 53(9):5912-20.
315. Vizzeri G, Weinreb RN, Gonzalez-Garcia AO, Bowd C, Medeiros FA, Sample PA et al. Agreement between spectral-domain and time-domain OCT for measuring RNFL thickness. *Br J Ophthalmol* 2009; 93(6):775-81.
316. Lee SH, Kim SH, Kim TW, Park KH, Kim DM. Reproducibility of retinal nerve fiber thickness measurements using the test-retest function of spectral OCT/SLO in normal and glaucomatous eyes. *J Glaucoma*. 2010; 19(9):637-42.

317. Li JP, Wang XZ, Fu J, Li SN, Wang NL. Reproducibility of RTVue retinal nerve fiber layer thickness and optic nerve head measurements in normal and glaucoma eyes. *Chin Med J (Engl)*. 2010 123(14):1898-903.
318. Mansoori T, Viswanath K, Balakrishna N. Reproducibility of peripapillary retinal nerve fibre layer thickness measurements with spectral domain optical coherence tomography in normal and glaucomatous eyes. *Br J Ophthalmol*. 2011; 95(5):685-8.
319. Langenegger SJ, Funk J, Töteberg-Harms M. Reproducibility of retinal nerve fiber layer thickness measurements using the eye tracker and the retest function of Spectralis SD-OCT in glaucomatous and healthy control eyes. *Invest Ophthalmol Vis Sci* 2011; 52(6):3338-44.
320. Wu H, de Boer JF, Chen TC. Reproducibility of retinal nerve fiber layer thickness measurements using spectral domain optical coherence tomography. *J Glaucoma*. 2011; 20(8):470-6.
321. Hong JT, Sung KR, Cho JW, Yun SC, Kang SY, Kook MS. Retinal nerve fiber layer measurement variability with spectral domain optical coherence tomography. *Korean J Ophthalmol*. 2012; 26(1):32-8.
322. Tan BB, Natividad M, Chua KC, Yip LW. Comparison of retinal nerve fiber layer measurement between 2 spectral domain OCT instruments. *J Glaucoma*. 2012; 21(4):266-73.
323. Töteberg-Harms M, Sturm V, Knecht PB, Funk J, Menke MN. Repeatability of nerve fiber layer thickness measurements in patients with glaucoma and without glaucoma using spectral-domain and time-domain OCT. *Graefes Arch Clin Exp Ophthalmol*. 2012; 250(2):279-87.



7- ANEXO



## ANEXO 1: PARECER DO COMITÊ ÉTICA



FACULDADE DE CIÊNCIAS MÉDICAS  
COMITÊ DE ÉTICA EM PESQUISA

[www.fcm.unicamp.br/pesquisa/etica/index.html](http://www.fcm.unicamp.br/pesquisa/etica/index.html)

CEP, 14/04/09.  
(Grupo III)

**PARECER CEP:** Nº 173/2009 (Este nº deve ser citado nas correspondências referente a este projeto)  
**CAAE:** 0127.0.146.000-09

### I - IDENTIFICAÇÃO:

**PROJETO:** “VARIABILIDADE DE MEDIDAS DE ESPESSURA DE CAMADA DE FIBRAS NERVOSAS PERIPAPILAR UTILIZANDO SPECTRAL-DOMAIN OCT”.

**PESQUISADOR RESPONSÁVEL:** Fernanda Cremasco.

**INSTITUIÇÃO:** Hospital das Clínicas/UNICAMP

**APRESENTAÇÃO AO CEP:** 10/03/2009

**APRESENTAR RELATÓRIO EM:** 14/04/10 (O formulário encontra-se no *site* acima)

### II - OBJETIVOS

Determinar a reprodutibilidade e variabilidade intrasessão e intersessão de medidas de espessura de camada de fibras nervosas peripapilares em pacientes glaucomatosos e em indivíduos saudáveis, utilizando o Cirrus OCT.

### III - SUMÁRIO

Projeto de Tese de mestrado que será realizado no HC - UNICAMP, onde serão incluídos no estudo dois grupos: o primeiro composto de 30 pacientes acompanhados no setor de glaucoma do Hospital das Clínicas da UNICAMP e o segundo de 30 indivíduos saudáveis voluntários. Todos serão submetidos a exame oftalmológico completo. Serão incluídos no grupo de glaucoma indivíduos com diagnóstico de qualquer forma de glaucoma crônico, definido como anormalidades de nervo óptico consistentes com dano glaucomatoso, com ou sem perda de campo visual. Apenas pacientes com pressão intraocular estável serão incluídos. Outros critérios de inclusão serão: acuidade visual corrigida melhor que 20/40, <5D esféricas e < 3D cilíndricas, ausência de história de doenças oculares ou sistêmicas que possam interferir nos resultados dos testes ou na acuidade visual que possam causar confusão no reconhecimento de alterações devidas somente ao glaucoma: capacidades de realizar o exame e vontade expressa de participar do estudo. Os sujeitos do grupo normal serão voluntários. Os critérios de inclusão serão: ausência de história de doenças oculares; ausência de história de glaucoma na família; pressão intraocular < 21mmHg medida por tonômetro Goldman; acuidade visual corrigida de 20/40, ou melhor; ângulo aberto à gonioscopia, aparência normal do nervo óptico, GHT e PSD dentro dos limites de normalidade à perimetria automatizada. Todos os sujeitos do estudo serão submetidos a medidas de espessura de camadas de fibras nervosas com o Cirrus HD-OCT 5 vezes durante o mesmo dia por um único examinador e em mais 4 dias diferentes. Os testes serão realizados sem necessidade de dilatação pupilar. Exame de campo visual e fotografia do fundo do olho também serão realizados. As fotografias serão realizadas utilizando o aparelho Cirrus OCT, cinco vezes no mesmo dia e em mais quatro dias adicionais. Estes procedimentos são normalmente realizados em qualquer exame oftalmológico.

### IV - COMENTÁRIOS DOS RELATORES

---

Comitê de Ética em Pesquisa - UNICAMP  
Rua: Tessália Vieira de Camargo, 126  
Caixa Postal 6111  
13083-887 Campinas - SP

FONE (019) 3521-8936  
FAX (019) 3521-7187  
cep@fcm.unicamp.br

- 1 -



Após respostas às pendências, o projeto encontra-se adequadamente redigido e de acordo com a Resolução CNS/MS 196/96 e suas complementares, bem como o Termo de Consentimento Livre e Esclarecido.

#### V - PARECER DO CEP

O Comitê de Ética em Pesquisa da Faculdade de Ciências Médicas da UNICAMP, após acatar os pareceres dos membros-relatores previamente designados para o presente caso e atendendo todos os dispositivos das Resoluções 196/96 e complementares, resolve aprovar sem restrições o Protocolo de Pesquisa, bem como ter aprovado o Termo do Consentimento Livre e Esclarecido, assim como todos os anexos incluídos na Pesquisa supracitada.

O conteúdo e as conclusões aqui apresentados são de responsabilidade exclusiva do CEP/FCM/UNICAMP e não representam a opinião da Universidade Estadual de Campinas nem a comprometem.

#### VI - INFORMAÇÕES COMPLEMENTARES

O sujeito da pesquisa tem a liberdade de recusar-se a participar ou de retirar seu consentimento em qualquer fase da pesquisa, sem penalização alguma e sem prejuízo ao seu cuidado (Res. CNS 196/96 – Item IV.1.f) e deve receber uma cópia do Termo de Consentimento Livre e Esclarecido, na íntegra, por ele assinado (Item IV.2.d).

Pesquisador deve desenvolver a pesquisa conforme delineada no protocolo aprovado e descontinuar o estudo somente após análise das razões da descontinuidade pelo CEP que o aprovou (Res. CNS Item III.1.z), exceto quando perceber risco ou dano não previsto ao sujeito participante ou quando constatar a superioridade do regime oferecido a um dos grupos de pesquisa (Item V.3.).

O CEP deve ser informado de todos os efeitos adversos ou fatos relevantes que alterem o curso normal do estudo (Res. CNS Item V.4.). É papel do pesquisador assegurar medidas imediatas adequadas frente a evento adverso grave ocorrido (mesmo que tenha sido em outro centro) e enviar notificação ao CEP e à Agência Nacional de Vigilância Sanitária – ANVISA – junto com seu posicionamento.

Eventuais modificações ou emendas ao protocolo devem ser apresentadas ao CEP de forma clara e sucinta, identificando a parte do protocolo a ser modificada e suas justificativas. Em caso de projeto do Grupo I ou II apresentados anteriormente à ANVISA, o pesquisador ou patrocinador deve enviá-las também à mesma junto com o parecer aprovatório do CEP, para serem juntadas ao protocolo inicial (Res. 251/97, Item III.2.e)

Relatórios parciais e final devem ser apresentados ao CEP, de acordo com os prazos estabelecidos na Resolução CNS-MS 196/96.

#### VII- DATA DA REUNIÃO

Homologado na III Reunião Ordinária do CEP/FCM, em 24 de março de 2009.

  
**Prof. Dr. Carmem Silvia Bertuzzo**  
PRESIDENTE DO COMITÊ DE ÉTICA EM PESQUISA  
FCM/UNICAMP

## 8- APÊNDICES



APÊNDICE 1: TERMO DE CONSENTIMENTO LIVRE E ESCLARECIDO

APÊNDICE 2: DISTRIBUIÇÃO DOS DADOS INDIVIDUAIS EM PACIENTES COM GLAUCOMA E EM INDIVÍDUOS SAUDÁVEIS

APÊNDICE 3: PUBLICAÇÃO DA TESE: “*Intrasession, Intersession and Interexaminer Variabilities of Retinal Nerve Fiber Layer Measurements with Spectral Domain OCT*”; European Journal of Ophthalmology. 2011; 21(3):264-70.



## APÊNDICE 1: TERMO DE CONSENTIMENTO LIVRE E ESCLARECIDO

Nome do projeto: **Variabilidade de medidas de espessura da camada de fibras nervosas peripapilar utilizando Spectral-domain OCT**

Responsável pela condução da pesquisa:

Dra. Fernanda Cremasco / Dr. Álvaro Pedroso Lupinacci / Dra. Graziela Massa Resende/ Dra. Vanessa Gonçalves Vidotti/ Dr. Vital Paulino Costa

Nome: \_\_\_\_\_

Idade: \_\_\_\_\_ RG \_\_\_\_\_

HC \_\_\_\_\_

Endereço \_\_\_\_\_

Eu, \_\_\_\_\_, autorizo minha participação na pesquisa: Variabilidade de medidas de espessura da camada de fibras nervosas peripapilar utilizando Spectral-domain OCT. O objetivo da pesquisa é determinar se os valores das medidas de espessura da camada de fibras nervosas obtidas com o Cirrus OCT são reprodutíveis em diferentes testes realizados no mesmo dia e em dias diferentes, tanto em indivíduos normais quanto em indivíduos com glaucoma. Sei que serei submetido (a) a consulta oftalmológica completa, exame de campo visual e a cinco testes com OCT no primeiro dia de consulta e em mais quatro dias não necessariamente consecutivos. Na consulta oftalmológica as pupilas serão dilatadas após instilação de colírio e, durante algumas horas, poderá haver embaçamento para perto e sensibilidade à luz. Não será divulgada a identificação dos participantes e não haverá despesas pessoais para o participante além do custo com o transporte para a consulta. Também não haverá compensação financeira com a participação no projeto. Aceito e concordo em participar da pesquisa. Sei que posso interromper a avaliação a qualquer tempo sem prejuízo e que minha participação não irá interferir no atendimento caso mantenha acompanhamento ambulatorial no serviço de oftalmologia do hospital das Clínicas da UNICAMP.

Posso esclarecer qualquer dúvida que venha a ter entrando em contato com o pesquisador, Fernanda Cremasco, pelos telefones: 19 81288616 ou 19 33428716

Em caso de queixa ligar para o Comitê de Ética em Pesquisa (19 35218936)

\_\_\_\_\_  
Assinatura do participante ou responsável

\_\_\_\_\_  
Assinatura do pesquisador

Local e data:  
\_\_\_\_\_



APÊNDICE 2: DISTRIBUIÇÃO DOS DADOS INDIVIDUAIS EM PACIENTES COM GLAUCOMA E EM INDIVÍDUOS SAUDÁVEIS

| DISTRIBUIÇÃO DE DADOS DEMOGRÁFICOS INDIVIDUAIS DA ANÁLISE<br>INTRASESSÃO NO GRUPO GLAUCOMA |          |       |      |      |      |                 |                 |
|--|----------|-------|------|------|------|-----------------|-----------------|
| No   | Iniciais | Idade | Sexo | Raça | Olho | Acuidade Visual | Refração        |
| 1  | HMV      | 86    | F    | B    | D    | 0,7             | -1,00-1,25 70   |
| 2  | ESP      | 62    | F    | B    | E    | 0,5             | 0,25-1,50 175   |
| 3  | RAF      | 58    | M    | B    | D    | 0,9             | +1,50 -0,25 145 |
| 4  | JPN      | 79    | M    | B    | E    | 0,5             | -1,00-2,25 90   |
| 5  | JFC      | 48    | F    | B    | D    | 1,0             | PL              |
| 6  | MJL      | 62    | F    | B    | D    | 1,0             | +2,75 -0,75 100 |
| 7  | MCL      | 60    | F    | B    | E    | 0,5             | +1,75           |
| 8  | FTJ      | 58    | F    | B    | D    | 0,9             | -0,50           |
| 9  | HSCV     | 62    | F    | N    | D    | 1,0             | +1,75           |
| 10   | AC       | 57    | M    | B    | D    | 1,0             | PL              |
| 11   | RFM      | 28    | M    | B    | D    | 1,0             | PL              |
| 12   | AJLC     | 62    | F    | N    | E    | 0,6             | PL              |
| 13   | JGS      | 55    | F    | N    | E    | 0,7             | +1,50-1,00 105  |
| 14   | MIMSP    | 66    | F    | B    | D    | 1,0             | PL              |
| 15   | MGS      | 59    | F    | N    | D    | 0,7             | +0,75           |
| 16   | MFV      | 58    | F    | N    | D    | 1,0             | +1,25           |
| 17   | MLRE     | 61    | F    | B    | D    | 1,0             | +0,75           |
| 18   | MCSP     | 51    | F    | B    | D    | 1,0             | +1,50-0,50 80   |
| 19   | GFC      | 64    | F    | N    | D    | 0,6             | +1,50           |
| 20   | RG       | 46    | F    | B    | D    | 1,0             | PL-0,50 10      |
| 21   | GM       | 68    | M    | B    | D    | 0,6             | +1,00           |
| 22   | VLMM     | 51    | F    | N    | D    | 0,8             | +2,50-3,00 20   |
| 23   | MPS      | 48    | F    | B    | D    | 1,0             | +1,50           |
| 24   | JDS      | 53    | F    | B    | D    | 1,0             | +1,75-0,50 90   |
| 25   | IAL      | 64    | M    | B    | D    | 1,0             | -1,00           |
| 26   | JN       | 55    | M    | B    | D    | 0,9             | +0,25           |
| 27   | JDS      | 55    | F    | B    | D    | 1,0             | PL              |
| 28   | ASF      | 62    | F    | B    | D    | 0,5             | -2,25-2,00 120  |
| 29   | JGT      | 58    | M    | N    | D    | 0,9             | 2,25 -1,25 180  |
| 30   | SAA      | 63    | M    | N    | E    | 1,0             | +0,75           |
| 31   | APS      | 39    | M    | B    | E    | 0,5             | 1,50 -3,50 18   |
| 32   | MG       | 74    | F    | B    | E    | 0,8             | 1,00 -1,25 95   |
| 33   | OR       | 59    | F    | B    | E    | 1,0             | +0,75 -0,50 170 |
| 34   | VR       | 46    | M    | B    | D    | 1,0             | -1,75-0,50 80   |

DISTRIBUIÇÃO DE DADOS DEMOGRÁFICOS INDIVIDUAIS DA ANÁLISE  
INTRASESSÃO NO GRUPO GLAUCOMA

| No | Beta<br>Bloqueador | Inibidor              |   | Alfa<br>Agonistas | Análogos de<br>Prostaglandinas | <i>Mean</i><br><i>Deviation</i> | <i>Pattern</i>                      |                        |
|----|--------------------|-----------------------|---|-------------------|--------------------------------|---------------------------------|-------------------------------------|------------------------|
|    |                    | Anidrase<br>Carbônica |   |                   |                                |                                 | <i>Standard</i><br><i>Deviation</i> | Pressão<br>Intraocular |
| 1  | X                  |                       |   |                   | X                              | -7,52                           | 6,59                                | 12                     |
| 2  |                    |                       |   |                   | X                              | -4,64                           | 1,45                                | 15                     |
| 3  | X                  | X                     |   |                   | X                              | -3,43                           | 3,73                                | 13                     |
| 4  | X                  | X                     | X |                   | X                              | -13,89                          | 10,86                               | 12                     |
| 5  | X                  |                       |   |                   |                                | -0,46                           | 1,13                                | 15                     |
| 6  | X                  | X                     | X |                   | X                              | -0,65                           | 1,67                                | 15                     |
| 7  |                    |                       |   |                   | X                              | -10,66                          | 10,77                               | 13                     |
| 8  | X                  |                       |   |                   | X                              | -1,55                           | 1,86                                | 18                     |
| 9  | X                  | X                     | X |                   | X                              | -4,06                           | 2,36                                | 18                     |
| 10 |                    |                       | X |                   | X                              | -3,17                           | 5,03                                | 19                     |
| 11 |                    | X                     |   |                   |                                | -4,99                           | 2,95                                | 12                     |
| 12 |                    | X                     |   |                   |                                | -25,78                          | 10,3                                | 9                      |
| 13 | X                  |                       |   |                   | X                              | -1,47                           | 1,64                                | 12                     |
| 14 | X                  |                       |   |                   |                                | 0,05                            | 1,54                                | 13                     |
| 15 | X                  | X                     | X |                   |                                | -22,98                          | 10,13                               | 16                     |
| 16 | X                  | X                     | X |                   | X                              | -9,25                           | 9,61                                | 12                     |
| 17 |                    | X                     |   |                   | X                              | -2,88                           | 2,49                                | 18                     |
| 18 | X                  |                       |   |                   | X                              | 0,11                            | 1,49                                | 16                     |
| 19 |                    |                       |   |                   | X                              | -22,22                          | 13,08                               | 8                      |
| 20 | X                  |                       | X |                   |                                | -4,4                            | 3,46                                | 16                     |
| 21 | X                  | X                     |   |                   |                                | -3,45                           | 2,45                                | 14                     |
| 22 | X                  |                       |   |                   |                                | -2,88                           | 1,49                                | 20                     |
| 23 |                    | X                     | X |                   | X                              | -5,49                           | 5,69                                | 18                     |
| 24 | X                  |                       |   |                   |                                | -3,64                           | 6,02                                | 16                     |
| 25 | X                  | X                     | X |                   | X                              | 1,41                            | 2,06                                | 12                     |
| 26 | X                  |                       |   |                   | X                              | 0,83                            | 1,59                                | 15                     |
| 27 | X                  |                       |   |                   |                                | -14,17                          | 13,47                               | 15                     |
| 28 | X                  | X                     | X |                   | X                              | -3,8                            | 2,27                                | 12                     |
| 29 |                    |                       |   |                   | X                              | -0,02                           | 1,44                                | 15                     |
| 30 | X                  |                       |   |                   |                                | -0,4                            | 1,59                                | 12                     |
| 31 |                    |                       | X |                   |                                | -20,2                           | 12,73                               | 12                     |
| 32 |                    |                       |   |                   | X                              | -2,38                           | 2,39                                | 12                     |
| 33 | X                  |                       |   |                   | X                              | -4,09                           | 5,17                                | 21                     |
| 34 | X                  | X                     |   |                   | X                              | -1,4                            | -0,97                               | 15                     |

DISTRIBUIÇÃO DOS DADOS INDIVIDUAIS DA ANÁLISE INTRASESSÃO DO GRUPO  
GLAUCOMA NA PRIMEIRA SESSÃO

| No | Sinal<br>T1 | Espessura Media<br>T1 | Superior<br>T1 | Nasal<br>T1 | Inferior<br>T1 | Temporal<br>T1 |
|----|-------------|-----------------------|----------------|-------------|----------------|----------------|
| 1  | 8           | 103                   | 124            | 76          | 142            | 69             |
| 2  | 8           | 77                    | 87             | 77          | 88             | 54             |
| 3  | 8           | 74                    | 86             | 66          | 86             | 58             |
| 4  | 7           | 50                    | 54             | 56          | 51             | 40             |
| 5  | 8           | 84                    | 101            | 65          | 99             | 70             |
| 6  | 8           | 90                    | 102            | 65          | 116            | 75             |
| 7  | 8           | 53                    | 58             | 50          | 69             | 35             |
| 8  | 9           | 54                    | 62             | 52          | 99             | 52             |
| 9  | 7           | 74                    | 74             | 65          | 99             | 56             |
| 10 | 9           | 93                    | 111            | 63          | 138            | 58             |
| 11 | 8           | 62                    | 76             | 65          | 57             | 52             |
| 12 | 8           | 63                    | 64             | 57          | 60             | 70             |
| 13 | 7           | 80                    | 98             | 63          | 110            | 51             |
| 14 | 7           | 80                    | 100            | 68          | 100            | 71             |
| 15 | 8           | 71                    | 73             | 69          | 73             | 71             |
| 16 | 8           | 70                    | 91             | 58          | 82             | 48             |
| 17 | 7           | 73                    | 77             | 70          | 86             | 61             |
| 18 | 8           | 69                    | 88             | 6           | 84             | 48             |
| 19 | 8           | 67                    | 77             | 67          | 88             | 37             |
| 20 | 8           | 79                    | 86             | 72          | 94             | 63             |
| 21 | 7           | 92                    | 112            | 73          | 121            | 62             |
| 22 | 8           | 94                    | 116            | 83          | 115            | 64             |
| 23 | 8           | 75                    | 82             | 67          | 89             | 63             |
| 24 | 9           | 89                    | 121            | 75          | 97             | 62             |
| 25 | 8           | 85                    | 101            | 77          | 114            | 50             |
| 26 | 8           | 81                    | 98             | 66          | 102            | 57             |
| 27 | 9           | 61                    | 86             | 68          | 58             | 34             |
| 28 | 7           | 81                    | 99             | 77          | 96             | 52             |
| 29 | 8           | 76                    | 95             | 59          | 95             | 56             |
| 30 | 8           | 83                    | 108            | 70          | 106            | 47             |
| 31 | 7           | 66                    | 70             | 64          | 66             | 65             |
| 32 | 8           | 78                    | 89             | 73          | 94             | 55             |
| 33 | 8           | 99                    | 108            | 79          | 126            | 82             |
| 34 | 7           | 59                    | 70             | 49          | 61             | 55             |

DISTRIBUIÇÃO DOS DADOS INDIVIDUAIS DA ANÁLISE INTRASESSÃO DO GRUPO  
GLAUCOMA NA PRIMEIRA SESSÃO

| No | H1<br>T1 | H2<br>T1 | H3<br>T1 | H4<br>T1 | H5<br>T1 | H6<br>T1 | H7<br>T1 | H8<br>T1 | H9<br>T1 | H10<br>T1 | H11<br>T1 | H12<br>T1 |
|----|----------|----------|----------|----------|----------|----------|----------|----------|----------|-----------|-----------|-----------|
| 1  | 117      | 97       | 58       | 73       | 124      | 165      | 136      | 68       | 59       | 79        | 137       | 118       |
| 2  | 77       | 87       | 78       | 67       | 55       | 96       | 112      | 46       | 53       | 63        | 107       | 77        |
| 3  | 68       | 74       | 64       | 61       | 75       | 84       | 97       | 74       | 46       | 55        | 93        | 98        |
| 4  | 58       | 59       | 56       | 54       | 54       | 41       | 59       | 47       | 34       | 39        | 50        | 53        |
| 5  | 86       | 83       | 56       | 56       | 69       | 86       | 140      | 71       | 46       | 94        | 129       | 88        |
| 6  | 76       | 82       | 53       | 61       | 82       | 139      | 127      | 76       | 65       | 85        | 130       | 100       |
| 7  | 55       | 55       | 44       | 51       | 50       | 82       | 76       | 33       | 36       | 37        | 67        | 53        |
| 8  | 80       | 36       | 54       | 66       | 104      | 97       | 97       | 50       | 43       | 62        | 29        | 30        |
| 9  | 57       | 75       | 61       | 59       | 85       | 119      | 91       | 55       | 48       | 65        | 76        | 90        |
| 10 | 96       | 78       | 50       | 55       | 122      | 169      | 124      | 45       | 49       | 80        | 138       | 99        |
| 11 | 47       | 78       | 61       | 55       | 39       | 65       | 97       | 48       | 59       | 49        | 117       | 63        |
| 12 | 68       | 60       | 59       | 52       | 52       | 81       | 48       | 64       | 77       | 68        | 58        | 66        |
| 13 | 97       | 79       | 57       | 54       | 95       | 108      | 126      | 54       | 43       | 56        | 92        | 103       |
| 14 | 74       | 72       | 56       | 75       | 72       | 10       | 123      | 80       | 46       | 85        | 131       | 94        |
| 15 | 72       | 84       | 57       | 65       | 77       | 85       | 56       | 77       | 85       | 51        | 59        | 89        |
| 16 | 100      | 68       | 51       | 57       | 90       | 99       | 56       | 57       | 39       | 49        | 78        | 94        |
| 17 | 50       | 67       | 74       | 68       | 75       | 95       | 87       | 63       | 51       | 70        | 89        | 92        |
| 18 | 83       | 69       | 44       | 57       | 70       | 106      | 76       | 43       | 49       | 50        | 84        | 98        |
| 19 | 71       | 71       | 63       | 66       | 92       | 99       | 73       | 44       | 28       | 40        | 87        | 71        |
| 20 | 69       | 79       | 65       | 73       | 101      | 110      | 73       | 62       | 54       | 74        | 83        | 105       |
| 21 | 111      | 83       | 64       | 72       | 117      | 148      | 99       | 60       | 51       | 74        | 96        | 130       |
| 22 | 95       | 115      | 68       | 65       | 74       | 137      | 133      | 62       | 56       | 74        | 143       | 110       |
| 23 | 74       | 74       | 64       | 62       | 63       | 92       | 111      | 56       | 55       | 79        | 113       | 60        |
| 24 | 119      | 91       | 59       | 74       | 89       | 87       | 115      | 65       | 47       | 74        | 116       | 129       |
| 25 | 88       | 89       | 71       | 71       | 87       | 142      | 114      | 45       | 44       | 60        | 105       | 109       |
| 26 | 87       | 76       | 65       | 56       | 91       | 117      | 100      | 52       | 48       | 69        | 122       | 84        |
| 27 | 55       | 80       | 58       | 67       | 69       | 62       | 43       | 28       | 33       | 42        | 86        | 116       |
| 28 | 81       | 82       | 76       | 73       | 82       | 115      | 91       | 53       | 48       | 55        | 86        | 130       |
| 29 | 89       | 61       | 52       | 63       | 68       | 110      | 106      | 66       | 49       | 53        | 69        | 126       |
| 30 | 118      | 85       | 59       | 66       | 84       | 142      | 91       | 38       | 48       | 56        | 97        | 110       |
| 31 | 63       | 63       | 69       | 60       | 62       | 74       | 63       | 59       | 64       | 72        | 64        | 83        |
| 32 | 79       | 75       | 62       | 82       | 86       | 107      | 88       | 41       | 55       | 68        | 103       | 86        |
| 33 | 122      | 100      | 69       | 69       | 93       | 120      | 167      | 100      | 55       | 90        | 127       | 76        |
| 34 | 58       | 58       | 38       | 50       | 52       | 57       | 75       | 63       | 47       | 56        | 70        | 82        |

DISTRIBUIÇÃO DOS DADOS INDIVIDUAIS DA ANÁLISE INTRASESSÃO DO GRUPO  
GLAUCOMA NA SEGUNDA SESSÃO

| No | Sinal<br>T2 | Espessura Media<br>T2 | Superior<br>T2 | Nasal<br>T2 | Inferior<br>T2 | Temporal<br>T2 |
|----|-------------|-----------------------|----------------|-------------|----------------|----------------|
| 1  | 9           | 103                   | 122            | 79          | 142            | 69             |
| 2  | 9           | 81                    | 80             | 80          | 91             | 74             |
| 3  | 8           | 74                    | 85             | 69          | 84             | 59             |
| 4  | 7           | 51                    | 50             | 57          | 58             | 38             |
| 5  | 8           | 86                    | 102            | 60          | 107            | 75             |
| 6  | 8           | 91                    | 103            | 68          | 119            | 75             |
| 7  | 8           | 54                    | 60             | 51          | 71             | 34             |
| 8  | 9           | 80                    | 94             | 68          | 106            | 52             |
| 9  | 8           | 74                    | 75             | 64          | 98             | 57             |
| 10 | 8           | 91                    | 102            | 64          | 138            | 59             |
| 11 | 8           | 61                    | 70             | 66          | 59             | 51             |
| 12 | 7           | 62                    | 63             | 58          | 56             | 72             |
| 13 | 7           | 80                    | 96             | 62          | 113            | 50             |
| 14 | 9           | 90                    | 111            | 72          | 108            | 68             |
| 15 | 8           | 59                    | 60             | 43          | 71             | 61             |
| 16 | 8           | 71                    | 95             | 60          | 80             | 48             |
| 17 | 8           | 73                    | 70             | 75          | 83             | 65             |
| 18 | 8           | 67                    | 86             | 57          | 82             | 43             |
| 19 | 7           | 66                    | 78             | 68          | 79             | 38             |
| 20 | 8           | 78                    | 85             | 72          | 93             | 63             |
| 21 | 7           | 94                    | 118            | 76          | 122            | 62             |
| 22 | 7           | 96                    | 116            | 81          | 124            | 64             |
| 23 | 7           | 75                    | 84             | 67          | 88             | 61             |
| 24 | 9           | 115                   | 73             | 112         | 62             | 107            |
| 25 | 8           | 86                    | 103            | 73          | 119            | 50             |
| 26 | 8           | 81                    | 100            | 67          | 102            | 57             |
| 27 | 8           | 60                    | 87             | 58          | 59             | 34             |
| 28 | 7           | 80                    | 93             | 81          | 95             | 52             |
| 29 | 7           | 78                    | 97             | 65          | 96             | 55             |
| 30 | 8           | 86                    | 111            | 74          | 110            | 50             |
| 31 | 8           | 68                    | 73             | 64          | 70             | 66             |
| 32 | 8           | 74                    | 83             | 75          | 84             | 54             |
| 33 | 8           | 92                    | 122            | 65          | 107            | 74             |
| 34 | 8           | 61                    | 75             | 50          | 62             | 55             |

DISTRIBUIÇÃO DOS DADOS INDIVIDUAIS DA ANÁLISE INTRASESSÃO DO GRUPO  
GLAUCOMA NA SEGUNDA SESSÃO

| No | H1<br>T2 | H2<br>T2 | H3<br>T2 | H4<br>T2 | H5<br>T2 | H6<br>T2 | H7<br>T2 | H8<br>T2 | H9<br>T2 | H10<br>T2 | H11<br>T2 | H12<br>T2 |
|----|----------|----------|----------|----------|----------|----------|----------|----------|----------|-----------|-----------|-----------|
| 1  | 112      | 105      | 59       | 75       | 126      | 165      | 135      | 68       | 59       | 79        | 128       | 127       |
| 2  | 76       | 84       | 75       | 80       | 68       | 87       | 119      | 78       | 70       | 75        | 112       | 52        |
| 3  | 70       | 73       | 69       | 66       | 73       | 86       | 93       | 72       | 46       | 58        | 90        | 94        |
| 4  | 65       | 60       | 58       | 53       | 62       | 45       | 66       | 46       | 31       | 37        | 44        | 42        |
| 5  | 85       | 75       | 53       | 51       | 74       | 90       | 157      | 78       | 48       | 100       | 136       | 86        |
| 6  | 79       | 88       | 56       | 59       | 87       | 145      | 126      | 75       | 65       | 86        | 129       | 99        |
| 7  | 56       | 80       | 46       | 49       | 52       | 83       | 79       | 32       | 34       | 36        | 69        | 54        |
| 8  | 90       | 71       | 61       | 73       | 117      | 100      | 101      | 49       | 42       | 64        | 103       | 91        |
| 9  | 65       | 78       | 54       | 60       | 86       | 118      | 90       | 56       | 50       | 66        | 75        | 85        |
| 10 | 90       | 78       | 56       | 58       | 129      | 179      | 108      | 42       | 49       | 86        | 129       | 89        |
| 11 | 40       | 71       | 65       | 61       | 40       | 68       | 69       | 46       | 52       | 55        | 122       | 48        |
| 12 | 68       | 60       | 59       | 56       | 51       | 64       | 54       | 62       | 85       | 68        | 58        | 64        |
| 13 | 96       | 77       | 56       | 53       | 102      | 112      | 125      | 55       | 42       | 54        | 84        | 108       |
| 14 | 83       | 82       | 60       | 75       | 82       | 112      | 131      | 82       | 47       | 75        | 136       | 115       |
| 15 | 42       | 34       | 43       | 53       | 68       | 96       | 51       | 67       | 75       | 40        | 55        | 84        |
| 16 | 113      | 74       | 51       | 56       | 89       | 99       | 53       | 55       | 40       | 49        | 72        | 101       |
| 17 | 44       | 65       | 76       | 82       | 70       | 92       | 87       | 60       | 50       | 86        | 98        | 68        |
| 18 | 75       | 72       | 48       | 51       | 63       | 101      | 81       | 41       | 39       | 49        | 86        | 98        |
| 19 | 74       | 72       | 62       | 69       | 83       | 96       | 58       | 35       | 29       | 51        | 91        | 67        |
| 20 | 70       | 78       | 70       | 67       | 90       | 113      | 76       | 60       | 54       | 76        | 82        | 104       |
| 21 | 120      | 93       | 67       | 68       | 124      | 147      | 94       | 61       | 52       | 74        | 102       | 131       |
| 22 | 98       | 107      | 68       | 68       | 89       | 153      | 130      | 60       | 58       | 73        | 139       | 111       |
| 23 | 73       | 76       | 62       | 62       | 62       | 94       | 107      | 56       | 52       | 75        | 114       | 63        |
| 24 | 107      | 92       | 59       | 69       | 109      | 103      | 125      | 60       | 49       | 77        | 113       | 125       |
| 25 | 95       | 86       | 62       | 71       | 96       | 150      | 112      | 45       | 44       | 60        | 106       | 109       |
| 26 | 99       | 78       | 65       | 57       | 94       | 118      | 94       | 51       | 48       | 71        | 122       | 80        |
| 27 | 54       | 72       | 45       | 58       | 60       | 71       | 45       | 32       | 30       | 40        | 89        | 118       |
| 28 | 73       | 82       | 79       | 82       | 81       | 111      | 94       | 52       | 47       | 56        | 85        | 122       |
| 29 | 96       | 68       | 57       | 72       | 75       | 115      | 99       | 63       | 48       | 53        | 69        | 126       |
| 30 | 115      | 80       | 74       | 69       | 88       | 151      | 92       | 41       | 49       | 59        | 104       | 114       |
| 31 | 62       | 62       | 68       | 62       | 66       | 79       | 65       | 60       | 61       | 77        | 70        | 88        |
| 32 | 70       | 81       | 62       | 81       | 86       | 94       | 73       | 40       | 54       | 68        | 105       | 74        |
| 33 | 122      | 79       | 56       | 61       | 83       | 106      | 130      | 86       | 51       | 86        | 150       | 94        |
| 34 | 65       | 59       | 40       | 52       | 54       | 56       | 76       | 63       | 46       | 55        | 76        | 86        |

DISTRIBUIÇÃO DOS DADOS INDIVIDUAIS DA ANÁLISE INTRASESSÃO DO GRUPO  
GLAUCOMA NA TERCEIRA SESSÃO

| No | Sinal<br>T3 | Espessura Media<br>T3 | Superior<br>T3 | Nasal<br>T3 | Inferior<br>T3 | Temporal<br>T3 |
|----|-------------|-----------------------|----------------|-------------|----------------|----------------|
| 1  | 9           | 105                   | 129            | 82          | 139            | 70             |
| 2  | 7           | 77                    | 83             | 77          | 86             | 63             |
| 3  | 8           | 74                    | 85             | 68          | 85             | 60             |
| 4  | 7           | 51                    | 54             | 58          | 53             | 40             |
| 5  | 8           | 86                    | 103            | 63          | 107            | 73             |
| 6  | 9           | 92                    | 107            | 68          | 120            | 75             |
| 7  | 8           | 57                    | 62             | 62          | 69             | 36             |
| 8  | 8           | 84                    | 102            | 69          | 112            | 54             |
| 9  | 7           | 71                    | 69             | 63          | 94             | 57             |
| 10 | 9           | 94                    | 112            | 64          | 138            | 60             |
| 11 | 8           | 63                    | 77             | 60          | 62             | 46             |
| 12 | 7           | 63                    | 65             | 59          | 56             | 74             |
| 13 | 7           | 82                    | 99             | 60          | 114            | 52             |
| 14 | 8           | 88                    | 103            | 68          | 101            | 78             |
| 15 | 8           | 69                    | 72             | 67          | 76             | 59             |
| 16 | 8           | 70                    | 95             | 60          | 77             | 48             |
| 17 | 8           | 72                    | 71             | 75          | 78             | 65             |
| 18 | 8           | 70                    | 92             | 57          | 84             | 48             |
| 19 | 7           | 65                    | 78             | 69          | 76             | 37             |
| 20 | 8           | 79                    | 86             | 69          | 95             | 64             |
| 21 | 7           | 94                    | 116            | 76          | 120            | 64             |
| 22 | 7           | 83                    | 114            | 39          | 119            | 61             |
| 23 | 8           | 76                    | 88             | 71          | 87             | 60             |
| 24 | 9           | 89                    | 112            | 77          | 105            | 64             |
| 25 | 8           | 99                    | 76             | 119         | 48             | 91             |
| 26 | 8           | 101                   | 66             | 103         | 58             | 94             |
| 27 | 8           | 58                    | 82             | 57          | 59             | 36             |
| 28 | 7           | 80                    | 92             | 81          | 95             | 53             |
| 29 | 8           | 80                    | 99             | 63          | 99             | 57             |
| 30 | 7           | 83                    | 107            | 74          | 105            | 48             |
| 31 | 8           | 69                    | 69             | 66          | 65             | 58             |
| 32 | 7           | 74                    | 86             | 72          | 86             | 52             |
| 33 | 9           | 91                    | 118            | 61          | 103            | 82             |
| 34 | 7           | 61                    | 74             | 49          | 58             | 63             |

DISTRIBUIÇÃO DOS DADOS INDIVIDUAIS DA ANÁLISE INTRASESSÃO DO GRUPO  
GLAUCOMA NA TERCEIRA SESSÃO

| No | H1<br>T3 | H2<br>T3 | H3<br>T3 | H4<br>T3 | H5<br>T3 | H6<br>T3 | H7<br>T3 | H8<br>T3 | H9<br>T3 | H10<br>T3 | H11<br>T3 | H12<br>T3 |
|----|----------|----------|----------|----------|----------|----------|----------|----------|----------|-----------|-----------|-----------|
| 1  | 122      | 107      | 66       | 74       | 109      | 166      | 141      | 71       | 59       | 80        | 141       | 124       |
| 2  | 84       | 83       | 70       | 77       | 66       | 68       | 125      | 57       | 63       | 70        | 104       | 62        |
| 3  | 69       | 71       | 67       | 68       | 77       | 84       | 93       | 75       | 48       | 58        | 94        | 90        |
| 4  | 58       | 61       | 58       | 54       | 58       | 42       | 61       | 47       | 33       | 39        | 52        | 53        |
| 5  | 86       | 80       | 55       | 55       | 75       | 95       | 150      | 74       | 48       | 97        | 134       | 87        |
| 6  | 81       | 84       | 58       | 61       | 85       | 148      | 126      | 75       | 66       | 83        | 136       | 104       |
| 7  | 64       | 70       | 60       | 57       | 52       | 83       | 74       | 32       | 37       | 37        | 67        | 56        |
| 8  | 97       | 70       | 61       | 76       | 121      | 106      | 108      | 51       | 43       | 66        | 111       | 99        |
| 9  | 52       | 80       | 54       | 56       | 82       | 114      | 87       | 58       | 51       | 61        | 69        | 85        |
| 10 | 102      | 81       | 53       | 60       | 212      | 168      | 126      | 44       | 49       | 88        | 135       | 99        |
| 11 | 42       | 75       | 62       | 57       | 42       | 75       | 70       | 43       | 45       | 48        | 122       | 68        |
| 12 | 69       | 61       | 59       | 57       | 48       | 69       | 51       | 68       | 78       | 75        | 61        | 65        |
| 13 | 95       | 80       | 61       | 54       | 103      | 111      | 128      | 56       | 43       | 57        | 97        | 106       |
| 14 | 70       | 71       | 59       | 76       | 78       | 98       | 127      | 97       | 48       | 90        | 144       | 95        |
| 15 | 69       | 83       | 55       | 63       | 70       | 102      | 56       | 64       | 66       | 45        | 53        | 95        |
| 16 | 110      | 76       | 52       | 52       | 87       | 92       | 51       | 58       | 38       | 47        | 70        | 104       |
| 17 | 47       | 74       | 76       | 74       | 64       | 88       | 83       | 59       | 53       | 82        | 101       | 67        |
| 18 | 84       | 73       | 44       | 55       | 67       | 107      | 79       | 42       | 52       | 50        | 83        | 107       |
| 19 | 71       | 72       | 64       | 70       | 88       | 89       | 51       | 38       | 28       | 45        | 90        | 73        |
| 20 | 67       | 74       | 66       | 66       | 98       | 109      | 77       | 62       | 55       | 76        | 87        | 105       |
| 21 | 118      | 89       | 67       | 72       | 111      | 148      | 101      | 62       | 54       | 77        | 101       | 130       |
| 22 | 84       | 26       | 29       | 63       | 86       | 163      | 110      | 55       | 57       | 71        | 138       | 120       |
| 23 | 87       | 79       | 69       | 63       | 62       | 92       | 105      | 57       | 51       | 73        | 114       | 63        |
| 24 | 114      | 104      | 91       | 59       | 80       | 96       | 122      | 61       | 52       | 78        | 116       | 114       |
| 25 | 91       | 86       | 69       | 72       | 97       | 148      | 111      | 45       | 42       | 59        | 96        | 109       |
| 26 | 94       | 75       | 67       | 56       | 92       | 117      | 101      | 53       | 49       | 71        | 124       | 84        |
| 27 | 49       | 69       | 45       | 58       | 60       | 71       | 45       | 34       | 36       | 38        | 93        | 103       |
| 28 | 77       | 80       | 84       | 78       | 76       | 113      | 94       | 52       | 49       | 57        | 82        | 116       |
| 29 | 94       | 67       | 54       | 67       | 80       | 115      | 103      | 67       | 50       | 54        | 71        | 134       |
| 30 | 109      | 83       | 69       | 70       | 95       | 147      | 71       | 38       | 49       | 58        | 99        | 113       |
| 31 | 58       | 66       | 74       | 69       | 66       | 70       | 61       | 60       | 58       | 76        | 66        | 83        |
| 32 | 74       | 76       | 59       | 83       | 91       | 95       | 73       | 38       | 51       | 66        | 93        | 91        |
| 33 | 121      | 77       | 51       | 54       | 58       | 104      | 148      | 102      | 54       | 90        | 141       | 91        |
| 34 | 58       | 54       | 39       | 53       | 52       | 52       | 71       | 63       | 65       | 62        | 79        | 85        |

DISTRIBUIÇÃO DOS DADOS INDIVIDUAIS DA ANÁLISE INTRASESSÃO DO GRUPO  
GLAUCOMA NA QUARTA SESSÃO

| No | Sinal<br>T4 | Espessura Media<br>T4 | Superior<br>T4 | Nasal<br>T4 | Inferior<br>T4 | Temporal<br>T4 |
|----|-------------|-----------------------|----------------|-------------|----------------|----------------|
| 1  | 9           | 105                   | 125            | 80          | 145            | 69             |
| 2  | 7           | 78                    | 85             | 71          | 88             | 67             |
| 3  | 8           | 74                    | 84             | 71          | 84             | 57             |
| 4  | 7           | 54                    | 58             | 58          | 59             | 41             |
| 5  | 8           | 84                    | 100            | 63          | 100            | 72             |
| 6  | 9           | 91                    | 101            | 66          | 120            | 76             |
| 7  | 8           | 57                    | 63             | 63          | 70             | 33             |
| 8  | 8           | 82                    | 99             | 69          | 107            | 53             |
| 9  | 7           | 73                    | 72             | 62          | 96             | 59             |
| 10 | 9           | 91                    | 104            | 66          | 134            | 60             |
| 11 | 7           | 61                    | 72             | 63          | 59             | 52             |
| 12 | 7           | 59                    | 63             | 57          | 54             | 62             |
| 13 | 7           | 80                    | 99             | 60          | 111            | 52             |
| 14 | 8           | 88                    | 109            | 69          | 107            | 66             |
| 15 | 8           | 70                    | 72             | 67          | 77             | 64             |
| 16 | 8           | 71                    | 94             | 63          | 80             | 47             |
| 17 | 8           | 74                    | 79             | 72          | 85             | 62             |
| 18 | 9           | 68                    | 86             | 57          | 83             | 46             |
| 19 | 8           | 65                    | 81             | 68          | 76             | 34             |
| 20 | 8           | 77                    | 82             | 72          | 91             | 61             |
| 21 | 7           | 91                    | 112            | 66          | 123            | 62             |
| 22 | 7           | 94                    | 116            | 78          | 116            | 64             |
| 23 | 7           | 74                    | 87             | 68          | 82             | 59             |
| 24 | 9           | 87                    | 111            | 74          | 102            | 61             |
| 25 | 8           | 86                    | 103            | 77          | 115            | 49             |
| 26 | 8           | 82                    | 99             | 67          | 105            | 58             |
| 27 | 9           | 49                    | 85             | 20          | 60             | 32             |
| 28 | 7           | 79                    | 87             | 81          | 95             | 52             |
| 29 | 8           | 78                    | 94             | 65          | 98             | 57             |
| 30 | 7           | 82                    | 111            | 72          | 99             | 48             |
| 31 | 8           | 66                    | 69             | 66          | 69             | 60             |
| 32 | 7           | 76                    | 85             | 74          | 90             | 53             |
| 33 | 8           | 97                    | 121            | 73          | 117            | 77             |
| 34 | 7           | 60                    | 74             | 48          | 59             | 57             |

DISTRIBUIÇÃO DOS DADOS INDIVIDUAIS DA ANÁLISE INTRASESSÃO DO GRUPO  
GLAUCOMA NA QUARTA SESSÃO

| No | H1<br>T4 | H2<br>T4 | H3<br>T4 | H4<br>T4 | H5<br>T4 | H6<br>T4 | H7<br>T4 | H8<br>T4 | H9<br>T4 | H10<br>T4 | H11<br>T4 | H12<br>T4 |
|----|----------|----------|----------|----------|----------|----------|----------|----------|----------|-----------|-----------|-----------|
| 1  | 123      | 103      | 59       | 78       | 128      | 169      | 139      | 70       | 57       | 79        | 130       | 122       |
| 2  | 83       | 75       | 71       | 67       | 60       | 68       | 135      | 62       | 66       | 72        | 105       | 68        |
| 3  | 70       | 77       | 69       | 68       | 74       | 84       | 93       | 70       | 48       | 54        | 89        | 92        |
| 4  | 59       | 60       | 57       | 55       | 55       | 62       | 60       | 49       | 33       | 41        | 60        | 53        |
| 5  | 83       | 81       | 56       | 53       | 76       | 85       | 140      | 80       | 46       | 90        | 129       | 88        |
| 6  | 80       | 85       | 55       | 59       | 87       | 146      | 126      | 76       | 66       | 84        | 127       | 95        |
| 7  | 67       | 76       | 58       | 56       | 52       | 84       | 75       | 32       | 35       | 34        | 67        | 55        |
| 8  | 99       | 72       | 58       | 77       | 116      | 100      | 104      | 52       | 43       | 65        | 107       | 92        |
| 9  | 59       | 80       | 49       | 58       | 82       | 117      | 88       | 57       | 60       | 61        | 74        | 84        |
| 10 | 95       | 84       | 56       | 57       | 126      | 167      | 109      | 42       | 51       | 87        | 127       | 89        |
| 11 | 42       | 76       | 62       | 50       | 39       | 71       | 68       | 48       | 57       | 50        | 113       | 60        |
| 12 | 68       | 58       | 59       | 55       | 46       | 68       | 47       | 55       | 71       | 59        | 59        | 62        |
| 13 | 88       | 68       | 59       | 53       | 106      | 107      | 119      | 56       | 42       | 56        | 97        | 112       |
| 14 | 82       | 78       | 58       | 71       | 82       | 116      | 123      | 77       | 46       | 74        | 130       | 116       |
| 15 | 74       | 82       | 54       | 67       | 75       | 99       | 56       | 74       | 71       | 49        | 58        | 83        |
| 16 | 113      | 82       | 52       | 55       | 87       | 99       | 55       | 56       | 38       | 46        | 70        | 99        |
| 17 | 50       | 76       | 70       | 70       | 69       | 96       | 89       | 61       | 51       | 74        | 100       | 88        |
| 18 | 82       | 75       | 47       | 50       | 63       | 102      | 85       | 45       | 45       | 48        | 81        | 95        |
| 19 | 74       | 73       | 63       | 69       | 83       | 86       | 60       | 33       | 26       | 45        | 89        | 81        |
| 20 | 69       | 81       | 69       | 68       | 96       | 105      | 73       | 58       | 54       | 71        | 80        | 96        |
| 21 | 122      | 76       | 57       | 65       | 115      | 156      | 98       | 59       | 52       | 74        | 85        | 130       |
| 22 | 93       | 102      | 66       | 65       | 79       | 138      | 132      | 61       | 57       | 74        | 145       | 111       |
| 23 | 80       | 77       | 67       | 61       | 57       | 86       | 102      | 52       | 51       | 73        | 117       | 64        |
| 24 | 99       | 95       | 57       | 71       | 100      | 94       | 113      | 60       | 48       | 75        | 115       | 118       |
| 25 | 92       | 94       | 67       | 69       | 90       | 144      | 112      | 45       | 42       | 60        | 107       | 111       |
| 26 | 86       | 75       | 66       | 58       | 93       | 122      | 99       | 53       | 50       | 71        | 125       | 86        |
| 27 | 52       | 50       | 40       | 31       | 65       | 67       | 47       | 29       | 30       | 36        | 79        | 124       |
| 28 | 67       | 79       | 82       | 83       | 79       | 111      | 94       | 51       | 48       | 56        | 86        | 109       |
| 29 | 91       | 70       | 57       | 67       | 76       | 108      | 109      | 69       | 50       | 53        | 65        | 124       |
| 30 | 121      | 80       | 65       | 70       | 86       | 136      | 76       | 40       | 48       | 56        | 94        | 117       |
| 31 | 63       | 66       | 69       | 64       | 67       | 77       | 62       | 57       | 58       | 65        | 63        | 81        |
| 32 | 71       | 82       | 62       | 76       | 91       | 106      | 74       | 41       | 54       | 66        | 93        | 91        |
| 33 | 131      | 93       | 61       | 66       | 94       | 110      | 146      | 88       | 56       | 86        | 143       | 88        |
| 34 | 59       | 55       | 37       | 52       | 52       | 52       | 75       | 61       | 49       | 61        | 78        | 86        |

DISTRIBUIÇÃO DOS DADOS INDIVIDUAIS DA ANÁLISE INTRASESSÃO DO GRUPO  
GLAUCOMA NA QUINTA SESSÃO

| No | Sinal<br>T5 | Espessura Media<br>T5 | Superior<br>T5 | Nasal<br>T5 | Inferior<br>T5 | Temporal<br>T5 |
|----|-------------|-----------------------|----------------|-------------|----------------|----------------|
| 1  | 8           | 101                   | 123            | 73          | 139            | 69             |
| 2  | 9           | 81                    | 80             | 80          | 91             | 74             |
| 3  | 8           | 70                    | 84             | 56          | 85             | 54             |
| 4  | 7           | 51                    | 55             | 57          | 54             | 38             |
| 5  | 9           | 87                    | 107            | 64          | 103            | 74             |
| 6  | 8           | 95                    | 109            | 74          | 124            | 73             |
| 7  | 7           | 55                    | 59             | 58          | 69             | 34             |
| 8  | 8           | 83                    | 103            | 72          | 104            | 53             |
| 9  | 8           | 101                   | 123            | 73          | 139            | 69             |
| 10 | 8           | 91                    | 102            | 64          | 139            | 59             |
| 11 | 8           | 61                    | 73             | 63          | 60             | 47             |
| 12 | 7           | 62                    | 64             | 59          | 58             | 65             |
| 13 | 7           | 80                    | 100            | 60          | 108            | 52             |
| 14 | 8           | 89                    | 108            | 72          | 107            | 68             |
| 15 | 7           | 66                    | 67             | 66          | 72             | 58             |
| 16 | 8           | 70                    | 93             | 62          | 77             | 47             |
| 17 | 8           | 74                    | 79             | 71          | 81             | 63             |
| 18 | 9           | 69                    | 89             | 57          | 83             | 48             |
| 19 | 8           | 66                    | 76             | 70          | 85             | 31             |
| 20 | 8           | 79                    | 90             | 73          | 91             | 63             |
| 21 | 7           | 94                    | 117            | 71          | 126            | 61             |
| 22 | 7           | 96                    | 119            | 78          | 123            | 63             |
| 23 | 8           | 76                    | 87             | 68          | 86             | 63             |
| 24 | 8           | 95                    | 128            | 76          | 115            | 62             |
| 25 | 7           | 85                    | 104            | 71          | 117            | 48             |
| 26 | 8           | 81                    | 100            | 64          | 104            | 56             |
| 27 | 9           | 61                    | 89             | 58          | 58             | 38             |
| 28 | 7           | 78                    | 95             | 73          | 95             | 51             |
| 29 | 7           | 77                    | 92             | 62          | 96             | 56             |
| 30 | 8           | 84                    | 111            | 73          | 103            | 49             |
| 31 | 8           | 67                    | 73             | 68          | 69             | 59             |
| 32 | 7           | 74                    | 83             | 70          | 91             | 53             |
| 33 | 8           | 92                    | 118            | 65          | 107            | 81             |
| 34 | 7           | 59                    | 70             | 49          | 61             | 55             |

DISTRIBUIÇÃO DOS DADOS INDIVIDUAIS DA ANÁLISE INTRASESSÃO DO GRUPO  
GLAUCOMA NA QUINTA SESSÃO

| No | H1<br>T5 | H2<br>T5 | H3<br>T5 | H4<br>T5 | H5<br>T5 | H6<br>T5 | H7<br>T5 | H8<br>T5 | H9<br>T5 | H10<br>T5 | H11<br>T5 | H12<br>T5 |
|----|----------|----------|----------|----------|----------|----------|----------|----------|----------|-----------|-----------|-----------|
| 1  | 106      | 100      | 54       | 66       | 113      | 163      | 140      | 73       | 58       | 76        | 130       | 134       |
| 2  | 76       | 84       | 75       | 80       | 68       | 87       | 119      | 78       | 70       | 75        | 112       | 52        |
| 3  | 62       | 61       | 49       | 70       | 78       | 89       | 88       | 65       | 46       | 52        | 92        | 97        |
| 4  | 62       | 59       | 57       | 55       | 55       | 44       | 64       | 45       | 32       | 37        | 50        | 52        |
| 5  | 88       | 80       | 57       | 54       | 75       | 90       | 144      | 78       | 48       | 95        | 140       | 94        |
| 6  | 94       | 109      | 55       | 59       | 93       | 154      | 125      | 73       | 71       | 74        | 116       | 117       |
| 7  | 59       | 60       | 54       | 59       | 53       | 82       | 73       | 31       | 35       | 36        | 64        | 53        |
| 8  | 99       | 80       | 63       | 75       | 113      | 93       | 107      | 49       | 43       | 66        | 106       | 103       |
| 9  | 106      | 100      | 54       | 66       | 113      | 163      | 140      | 73       | 58       | 76        | 130       | 134       |
| 10 | 90       | 78       | 56       | 58       | 129      | 179      | 108      | 42       | 49       | 86        | 129       | 89        |
| 11 | 42       | 71       | 59       | 59       | 41       | 72       | 68       | 43       | 48       | 49        | 119       | 58        |
| 12 | 69       | 61       | 61       | 58       | 48       | 72       | 54       | 60       | 72       | 62        | 60        | 64        |
| 13 | 86       | 71       | 53       | 57       | 101      | 107      | 117      | 55       | 42       | 58        | 97        | 116       |
| 14 | 82       | 83       | 57       | 74       | 82       | 112      | 125      | 83       | 48       | 75        | 130       | 112       |
| 15 | 64       | 77       | 58       | 64       | 65       | 103      | 50       | 60       | 66       | 48        | 52        | 84        |
| 16 | 109      | 79       | 51       | 56       | 86       | 94       | 52       | 55       | 41       | 46        | 72        | 97        |
| 17 | 48       | 67       | 73       | 74       | 71       | 92       | 81       | 62       | 52       | 75        | 101       | 89        |
| 18 | 87       | 74       | 45       | 52       | 64       | 101      | 84       | 44       | 49       | 51        | 85        | 95        |
| 19 | 72       | 75       | 68       | 66       | 89       | 103      | 63       | 29       | 27       | 39        | 88        | 67        |
| 20 | 70       | 83       | 68       | 70       | 100      | 103      | 71       | 61       | 51       | 76        | 90        | 109       |
| 21 | 126      | 85       | 59       | 70       | 118      | 157      | 102      | 59       | 51       | 75        | 94        | 129       |
| 22 | 97       | 104      | 66       | 63       | 88       | 152      | 127      | 60       | 58       | 73        | 141       | 119       |
| 23 | 82       | 80       | 61       | 64       | 64       | 86       | 108      | 61       | 51       | 75        | 111       | 68        |
| 24 | 118      | 92       | 63       | 73       | 107      | 109      | 130      | 59       | 50       | 77        | 117       | 148       |
| 25 | 97       | 76       | 61       | 76       | 96       | 140      | 115      | 45       | 40       | 58        | 106       | 110       |
| 26 | 95       | 68       | 66       | 58       | 95       | 121      | 96       | 52       | 45       | 71        | 119       | 85        |
| 27 | 56       | 71       | 45       | 62       | 61       | 66       | 46       | 33       | 40       | 42        | 85        | 127       |
| 28 | 75       | 83       | 65       | 70       | 79       | 116      | 90       | 49       | 47       | 58        | 85        | 125       |
| 29 | 86       | 65       | 57       | 65       | 76       | 107      | 103      | 66       | 49       | 54        | 68        | 123       |
| 30 | 120      | 82       | 70       | 67       | 85       | 144      | 79       | 37       | 50       | 59        | 96        | 116       |
| 31 | 61       | 72       | 69       | 63       | 63       | 75       | 68       | 59       | 58       | 62        | 68        | 90        |
| 32 | 75       | 76       | 60       | 74       | 85       | 109      | 78       | 41       | 51       | 66        | 95        | 79        |
| 33 | 123      | 83       | 64       | 61       | 83       | 102      | 130      | 90       | 51       | 90        | 150       | 90        |
| 34 | 58       | 58       | 38       | 50       | 52       | 57       | 75       | 63       | 47       | 56        | 70        | 82        |

DISTRIBUIÇÃO DE DADOS DEMOGRÁFICOS INDIVIDUAIS DA ANÁLISE  
INTRASESSÃO NO GRUPO SAUDÁVEL

| No | Iniciais | Idade | Sexo | Raça | Olho | Acuidade Visual | Refração       |
|----|----------|-------|------|------|------|-----------------|----------------|
| 35 | MIGA     | 44    | F    | B    | D    | 1,0             | +2,75-0,25 100 |
| 36 | LM       | 26    | M    | B    | D    | 1,0             | -1,25          |
| 37 | CRS      | 52    | F    | B    | D    | 1,0             | +0,25-1,75 180 |
| 38 | TFM      | 49    | F    | B    | D    | 1,0             | +1,25-1,00 90  |
| 39 | AMS      | 49    | F    | B    | D    | 1,0             | PL             |
| 40 | AEOF     | 54    | F    | B    | D    | 1,0             | PL             |
| 41 | MSS      | 42    | F    | B    | D    | 1,0             | PL             |
| 42 | SARS     | 44    | F    | B    | D    | 1,0             | -0,50          |
| 43 | RRA      | 34    | M    | B    | D    | 1,0             | PL             |
| 44 | GM       | 28    | F    | B    | D    | 1,0             | -2,75          |
| 45 | FR       | 30    | M    | B    | D    | 1,0             | -0,50-1,25 125 |
| 46 | EA       | 35    | M    | B    | D    | 1,0             | PL             |
| 47 | VPC      | 43    | M    | B    | D    | 1,0             | PL             |
| 48 | IC       | 29    | F    | B    | D    | 1,0             | -0,50          |
| 49 | MG       | 28    | F    | B    | D    | 1,0             | PL             |
| 50 | MS       | 52    | F    | B    | D    | 1,0             | +0,50          |
| 51 | CS       | 40    | M    | B    | D    | 1,0             | PL             |
| 52 | GGL      | 24    | M    | B    | D    | 1,0             | PL             |
| 53 | RBS      | 25    | M    | B    | D    | 1,0             | -2,75          |
| 54 | ERC      | 52    | M    | B    | D    | 0,6             | -2,75-0,25 180 |
| 55 | VGW      | 27    | F    | B    | D    | 1,0             | -0,50 180      |
| 56 | MFSA     | 47    | F    | B    | D    | 1,0             | -0,25 85       |
| 57 | CC       | 57    | F    | B    | D    | 1,0             | +1,25          |
| 58 | EES      | 51    | F    | B    | E    | 0,6             | +1,00          |
| 59 | ASM      | 45    | F    | N    | D    | 1,0             | PL             |
| 60 | CRSM     | 36    | F    | B    | D    | 1,0             | +0,25-0,50 80  |
| 61 | EF       | 25    | M    | B    | D    | 1,0             | PL             |
| 62 | JJM      | 50    | M    | B    | D    | 1,0             | +0,50-0,50 15  |
| 63 | MF       | 26    | F    | B    | D    | 1,0             | PL             |
| 64 | APF      | 44    | M    | B    | D    | 1,0             | -0,25-1,00 5   |
| 65 | JPV      | 46    | M    | B    | D    | 1,0             | PL             |
| 66 | AAP      | 51    | M    | B    | D    | 1,0             | +4,0 -0,25 90  |
| 67 | ALH      | 34    | F    | B    | D    | 1,0             | PL             |

DISTRIBUIÇÃO DE DADOS DEMOGRÁFICOS INDIVIDUAIS DA ANÁLISE  
INTRASESSÃO NO GRUPO SAUDÁVEL

| No | Beta<br>Bloqueador | Inibidor<br>Anidrase<br>Carbônica | Alfa<br>Agonistas | Análogos de<br>Prostaglandinas | <i>Mean<br/>Deviation</i> | <i>Pattern<br/>Standard<br/>Deviation</i> | Pressão<br>Intraocular |
|----|--------------------|-----------------------------------|-------------------|--------------------------------|---------------------------|---|------------------------|
| 35 |                    |                                   |                   |                                | -2,34                     | 1,41                                      | 13                     |
| 36 |                    |                                   |                   |                                | -1,35                     | 1,35                                      | 14                     |
| 37 |                    |                                   |                   |                                | -2,04                     | 2,21                                      | 12                     |
| 38 |                    |                                   |                   |                                | -3,29                     | 2,49                                      | 12                     |
| 39 |                    |                                   |                   |                                | -0,79                     | 1,38                                      | 12                     |
| 40 |                    |                                   |                   |                                | -2,97                     | 2,58                                      | 10                     |
| 41 |                    |                                   |                   |                                | 0,92                      | 0,98                                      | 12                     |
| 42 |                    |                                   |                   |                                | -1,51                     | 1,61                                      | 13                     |
| 43 |                    |                                   |                   |                                | -1,38                     | 1,21                                      | 12                     |
| 44 |                    |                                   |                   |                                | -0,44                     | 1,61                                      | 14                     |
| 45 |                    |                                   |                   |                                | -1,45                     | 1,41                                      | 15                     |
| 46 |                    |                                   |                   |                                | -0,34                     | 1,46                                      | 17                     |
| 47 |                    |                                   |                   |                                | -0,74                     | 1,15                                      | 13                     |
| 48 |                    |                                   |                   |                                | -1,36                     | 1,44                                      | 13                     |
| 49 |                    |                                   |                   |                                | -0,29                     | 1,5                                       | 14                     |
| 50 |                    |                                   |                   |                                | 0,86                      | 1,06                                      | 16                     |
| 51 |                    |                                   |                   |                                | -1,08                     | 1,19                                      | 12                     |
| 52 |                    |                                   |                   |                                | -1,75                     | 1,58                                      | 12                     |
| 53 |                    |                                   |                   |                                | 0,37                      | 1,2                                       | 14                     |
| 54 |                    |                                   |                   |                                | -2,93                     | 1,29                                      | 18                     |
| 55 |                    |                                   |                   |                                | -0,91                     | 1,37                                      | 15                     |
| 56 |                    |                                   |                   |                                | -1,98                     | 1,79                                      | 12                     |
| 57 |                    |                                   |                   |                                | -0,95                     | 2   | 13                     |
| 58 |                    |                                   |                   |                                | 0,02                      | 1,05                                      | 12                     |
| 59 |                    |                                   |                   |                                | -0,56                     | 1,66                                      | 12                     |
| 60 |                    |                                   |                   |                                | -0,93                     | 1,24                                      | 13                     |
| 61 |                    |                                   |                   |                                | -2,01                     | 1,48                                      | 14                     |
| 62 |                    |                                   |                   |                                | 0,38                      | 1,22                                      | 18                     |
| 63 |                    |                                   |                   |                                | -1,12                     | 1,19                                      | 12                     |
| 64 |                    |                                   |                   |                                | -0,97                     | 1,38                                      | 11                     |
| 65 |                    |                                   |                   |                                | -0,34                     | 2,01                                      | 15                     |
| 66 |                    |                                   |                   |                                | -1,58                     | 2,02                                      | 12                     |
| 67 |                    |                                   |                   |                                | -1,54                     | 1,2                                       | 12                     |

DISTRIBUIÇÃO DOS DADOS INDIVIDUAIS DA ANÁLISE INTRASESSÃO DO GRUPO  
SAUDÁVEL NA PRIMEIRA SESSÃO

| No | Sinal<br>T1 | Espessura Media<br>T1 | Superior<br>T1 | Nasal<br>T1 | Inferior<br>T1 | Temporal<br>T1 |
|----|-------------|-----------------------|----------------|-------------|----------------|----------------|
| 35 | 9           | 92                    | 115            | 69          | 116            | 67             |
| 36 | 8           | 90                    | 125            | 69          | 115            | 60             |
| 37 | 8           | 93                    | 114            | 82          | 116            | 63             |
| 38 | 8           | 104                   | 121            | 99          | 134            | 61             |
| 39 | 9           | 77                    | 87             | 62          | 106            | 52             |
| 40 | 9           | 84                    | 99             | 75          | 110            | 54             |
| 41 | 9           | 95                    | 123            | 87          | 117            | 54             |
| 42 | 9           | 80                    | 102            | 58          | 102            | 59             |
| 43 | 8           | 107                   | 163            | 77          | 119            | 67             |
| 44 | 8           | 102                   | 130            | 60          | 123            | 95             |
| 45 | 8           | 90                    | 118            | 67          | 116            | 58             |
| 46 | 8           | 93                    | 120            | 65          | 113            | 73             |
| 47 | 8           | 75                    | 99             | 53          | 97             | 52             |
| 48 | 9           | 91                    | 131            | 65          | 108            | 61             |
| 49 | 9           | 104                   | 140            | 83          | 128            | 65             |
| 50 | 9           | 101                   | 123            | 86          | 125            | 72             |
| 51 | 8           | 106                   | 117            | 74          | 136            | 95             |
| 52 | 9           | 111                   | 170            | 58          | 143            | 72             |
| 53 | 7           | 101                   | 141            | 79          | 117            | 66             |
| 54 | 7           | 91                    | 123            | 78          | 100            | 63             |
| 55 | 8           | 110                   | 110            | 81          | 156            | 94             |
| 56 | 8           | 95                    | 120            | 65          | 131            | 65             |
| 57 | 7           | 107                   | 140            | 99          | 134            | 56             |
| 58 | 9           | 91                    | 119            | 54          | 126            | 67             |
| 59 | 8           | 111                   | 131            | 77          | 165            | 70             |
| 60 | 9           | 85                    | 109            | 63          | 115            | 53             |
| 61 | 9           | 116                   | 168            | 96          | 131            | 66             |
| 62 | 8           | 10                    | 121            | 73          | 159            | 67             |
| 63 | 8           | 104                   | 124            | 83          | 144            | 66             |
| 64 | 7           | 89                    | 103            | 86          | 109            | 57             |
| 65 | 8           | 101                   | 124            | 74          | 144            | 61             |
| 66 | 9           | 85                    | 101            | 72          | 107            | 58             |
| 67 | 9           | 98                    | 147            | 63          | 117            | 64             |

DISTRIBUIÇÃO DOS DADOS INDIVIDUAIS DA ANÁLISE INTRASESSÃO DO GRUPO  
SAUDÁVEL NA PRIMEIRA SESSÃO

| No | H1<br>T1 | H2<br>T1 | H3<br>T1 | H4<br>T1 | H5<br>T1 | H6<br>T1 | H7<br>T1 | H8<br>T1 | H9<br>T1 | H10<br>T1 | H11<br>T1 | H12<br>T1 |
|----|----------|----------|----------|----------|----------|----------|----------|----------|----------|-----------|-----------|-----------|
| 35 | 107      | 68       | 61       | 76       | 93       | 121      | 135      | 62       | 56       | 83        | 128       | 111       |
| 36 | 112      | 73       | 75       | 60       | 98       | 126      | 121      | 55       | 37       | 60        | 122       | 141       |
| 37 | 93       | 97       | 71       | 76       | 87       | 131      | 130      | 61       | 46       | 61        | 138       | 109       |
| 38 | 86       | 130      | 79       | 87       | 117      | 136      | 149      | 64       | 45       | 75        | 135       | 142       |
| 39 | 71       | 81       | 48       | 59       | 85       | 124      | 109      | 49       | 45       | 61        | 97        | 91        |
| 40 | 72       | 70       | 75       | 80       | 92       | 125      | 113      | 51       | 45       | 66        | 130       | 95        |
| 41 | 98       | 101      | 77       | 83       | 93       | 140      | 120      | 53       | 37       | 74        | 156       | 114       |
| 42 | 94       | 82       | 43       | 48       | 82       | 109      | 115      | 58       | 47       | 73        | 133       | 78        |
| 43 | 173      | 81       | 60       | 89       | 109      | 103      | 146      | 84       | 46       | 72        | 125       | 193       |
| 44 | 107      | 75       | 49       | 54       | 82       | 113      | 174      | 95       | 68       | 122       | 176       | 106       |
| 45 | 106      | 75       | 46       | 79       | 110      | 140      | 99       | 53       | 51       | 69        | 113       | 134       |
| 46 | 101      | 79       | 48       | 67       | 79       | 107      | 153      | 71       | 57       | 92        | 163       | 96        |
| 47 | 93       | 65       | 38       | 55       | 80       | 100      | 111      | 54       | 41       | 62        | 102       | 103       |
| 48 | 106      | 72       | 55       | 69       | 84       | 94       | 145      | 72       | 44       | 68        | 142       | 145       |
| 49 | 126      | 110      | 64       | 73       | 111      | 133      | 140      | 69       | 54       | 72        | 125       | 168       |
| 50 | 104      | 105      | 75       | 77       | 99       | 135      | 141      | 77       | 55       | 85        | 140       | 124       |
| 51 | 127      | 96       | 60       | 67       | 111      | 141      | 157      | 90       | 125      | 72        | 77        | 146       |
| 52 | 174      | 72       | 42       | 61       | 119      | 152      | 158      | 81       | 60       | 76        | 104       | 233       |
| 53 | 117      | 113      | 64       | 59       | 75       | 128      | 147      | 83       | 43       | 72        | 153       | 152       |
| 54 | 103      | 94       | 61       | 79       | 81       | 101      | 117      | 62       | 51       | 76        | 122       | 145       |
| 55 | 98       | 120      | 64       | 59       | 125      | 173      | 169      | 97       | 75       | 109       | 145       | 88        |
| 56 | 107      | 77       | 52       | 64       | 105      | 135      | 152      | 74       | 46       | 75        | 111       | 141       |
| 57 | 142      | 108      | 92       | 96       | 121      | 148      | 133      | 59       | 38       | 70        | 11        | 163       |
| 58 | 107      | 73       | 43       | 4        | 100      | 135      | 142      | 59       | 60       | 82        | 162       | 90        |
| 59 | 123      | 103      | 63       | 66       | 138      | 206      | 150      | 70       | 56       | 84        | 110       | 161       |
| 60 | 85       | 71       | 48       | 69       | 89       | 135      | 122      | 53       | 43       | 64        | 119       | 123       |
| 61 | 149      | 98       | 73       | 119      | 127      | 141      | 127      | 67       | 49       | 83        | 162       | 193       |
| 62 | 116      | 75       | 69       | 76       | 157      | 200      | 121      | 64       | 62       | 76        | 121       | 127       |
| 63 | 87       | 94       | 63       | 91       | 127      | 156      | 149      | 80       | 45       | 74        | 143       | 142       |
| 64 | 94       | 98       | 64       | 95       | 76       | 104      | 146      | 64       | 39       | 67        | 112       | 102       |
| 65 | 115      | 93       | 68       | 60       | 107      | 167      | 159      | 70       | 46       | 65        | 123       | 133       |
| 66 | 104      | 90       | 58       | 68       | 96       | 84       | 140      | 65       | 48       | 66        | 108       | 91        |
| 67 | 128      | 81       | 46       | 63       | 106      | 107      | 139      | 61       | 52       | 80        | 129       | 186       |

DISTRIBUIÇÃO DOS DADOS INDIVIDUAIS DA ANÁLISE INTRASESSÃO DO GRUPO  
SAUDÁVEL NA SEGUNDA SESSÃO

| No | Sinal<br>T2 | Espessura Media<br>T2 | Superior<br>T2 | Nasal<br>T2 | Inferior<br>T2 | Temporal<br>T2 |
|----|-------------|-----------------------|----------------|-------------|----------------|----------------|
| 35 | 8           | 88                    | 109            | 68          | 113            | 63             |
| 36 | 8           | 89                    | 125            | 70          | 113            | 50             |
| 37 | 8           | 94                    | 115            | 85          | 117            | 60             |
| 38 | 8           | 105                   | 127            | 93          | 139            | 60             |
| 39 | 8           | 79                    | 88             | 64          | 111            | 53             |
| 40 | 9           | 79                    | 93             | 67          | 105            | 53             |
| 41 | 9           | 96                    | 122            | 87          | 120            | 56             |
| 42 | 9           | 79                    | 99             | 55          | 101            | 60             |
| 43 | 9           | 113                   | 169            | 81          | 135            | 69             |
| 44 | 8           | 102                   | 146            | 58          | 107            | 95             |
| 45 | 7           | 88                    | 118            | 64          | 113            | 58             |
| 46 | 8           | 92                    | 118            | 64          | 112            | 73             |
| 47 | 9           | 76                    | 99             | 53          | 95             | 55             |
| 48 | 9           | 92                    | 132            | 66          | 107            | 61             |
| 49 | 9           | 101                   | 134            | 75          | 130            | 66             |
| 50 | 9           | 102                   | 127            | 84          | 125            | 73             |
| 51 | 8           | 106                   | 115            | 78          | 135            | 96             |
| 52 | 9           | 110                   | 164            | 58          | 146            | 72             |
| 53 | 7           | 100                   | 138            | 76          | 123            | 64             |
| 54 | 7           | 89                    | 120            | 78          | 97             | 62             |
| 55 | 8           | 110                   | 130            | 78          | 143            | 87             |
| 56 | 8           | 93                    | 119            | 62          | 125            | 65             |
| 57 | 7           | 107                   | 144            | 103         | 125            | 55             |
| 58 | 8           | 89                    | 113            | 54          | 124            | 67             |
| 59 | 9           | 110                   | 128            | 81          | 161            | 70             |
| 60 | 9           | 90                    | 111            | 68          | 124            | 55             |
| 61 | 9           | 115                   | 155            | 83          | 146            | 76             |
| 62 | 8           | 104                   | 118            | 74          | 157            | 67             |
| 63 | 10          | 105                   | 124            | 91          | 143            | 64             |
| 64 | 7           | 89                    | 106            | 84          | 108            | 60             |
| 65 | 9           | 101                   | 132            | 73          | 135            | 64             |
| 66 | 9           | 86                    | 110            | 73          | 101            | 61             |
| 67 | 8           | 99                    | 151            | 61          | 117            | 65             |

DISTRIBUIÇÃO DOS DADOS INDIVIDUAIS DA ANÁLISE INTRASESSÃO DO GRUPO  
SAUDÁVEL NA SEGUNDA SESSÃO

| No | H1<br>T2 | H2<br>T2 | H3<br>T2 | H4<br>T2 | H5<br>T2 | H6<br>T2 | H7<br>T2 | H8<br>T2 | H9<br>T2 | H10<br>T2 | H11<br>T2 | H12<br>T2 |
|----|----------|----------|----------|----------|----------|----------|----------|----------|----------|-----------|-----------|-----------|
| 35 | 106      | 69       | 61       | 75       | 90       | 120      | 128      | 60       | 56       | 74        | 113       | 108       |
| 36 | 108      | 74       | 72       | 63       | 95       | 122      | 121      | 54       | 37       | 58        | 126       | 141       |
| 37 | 97       | 105      | 73       | 77       | 91       | 133      | 127      | 57       | 48       | 77        | 135       | 112       |
| 38 | 87       | 126      | 77       | 77       | 119      | 141      | 157      | 64       | 43       | 74        | 139       | 155       |
| 39 | 76       | 82       | 53       | 55       | 83       | 132      | 120      | 50       | 46       | 62        | 100       | 89        |
| 40 | 62       | 61       | 64       | 75       | 98       | 113      | 103      | 45       | 46       | 67        | 121       | 98        |
| 41 | 99       | 97       | 77       | 87       | 94       | 136      | 130      | 54       | 38       | 76        | 150       | 115       |
| 42 | 88       | 78       | 41       | 46       | 79       | 105      | 120      | 57       | 48       | 74        | 120       | 89        |
| 43 | 179      | 87       | 65       | 92       | 129      | 119      | 157      | 82       | 51       | 72        | 130       | 196       |
| 44 | 127      | 74       | 46       | 54       | 78       | 86       | 158      | 107      | 64       | 115       | 179       | 132       |
| 45 | 106      | 68       | 47       | 77       | 105      | 138      | 96       | 52       | 51       | 70        | 114       | 134       |
| 46 | 98       | 76       | 47       | 68       | 80       | 108      | 148      | 69       | 58       | 92        | 163       | 95        |
| 47 | 91       | 62       | 41       | 56       | 77       | 98       | 110      | 55       | 43       | 67        | 103       | 104       |
| 48 | 109      | 73       | 56       | 70       | 86       | 94       | 142      | 72       | 46       | 66        | 141       | 144       |
| 49 | 132      | 108      | 56       | 62       | 105      | 133      | 153      | 72       | 55       | 70        | 117       | 154       |
| 50 | 107      | 101      | 74       | 78       | 98       | 133      | 142      | 76       | 54       | 88        | 142       | 134       |
| 51 | 124      | 102      | 59       | 73       | 110      | 142      | 151      | 96       | 124      | 69        | 76        | 145       |
| 52 | 172      | 70       | 44       | 59       | 121      | 156      | 159      | 79       | 60       | 75        | 102       | 219       |
| 53 | 118      | 108      | 60       | 58       | 81       | 136      | 153      | 77       | 43       | 72        | 146       | 151       |
| 54 | 106      | 96       | 64       | 74       | 81       | 95       | 114      | 63       | 48       | 75        | 115       | 138       |
| 55 | 119      | 103      | 63       | 68       | 107      | 139      | 183      | 107      | 61       | 93        | 153       | 119       |
| 56 | 107      | 72       | 51       | 63       | 103      | 128      | 144      | 73       | 46       | 77        | 111       | 138       |
| 57 | 163      | 125      | 91       | 92       | 113      | 135      | 127      | 59       | 39       | 67        | 110       | 157       |
| 58 | 102      | 72       | 46       | 43       | 100      | 134      | 138      | 61       | 61       | 79        | 148       | 88        |
| 59 | 126      | 112      | 65       | 65       | 141      | 200      | 143      | 70       | 56       | 85        | 112       | 147       |
| 60 | 83       | 79       | 51       | 74       | 93       | 145      | 134      | 57       | 44       | 65        | 124       | 127       |
| 61 | 127      | 88       | 69       | 92       | 132      | 149      | 18       | 78       | 62       | 88        | 165       | 173       |
| 62 | 111      | 76       | 71       | 74       | 156      | 192      | 124      | 65       | 60       | 77        | 122       | 123       |
| 63 | 90       | 105      | 61       | 106      | 137      | 152      | 140      | 80       | 43       | 68        | 130       | 151       |
| 64 | 99       | 99       | 59       | 95       | 71       | 104      | 148      | 72       | 40       | 69        | 113       | 104       |
| 65 | 125      | 90       | 69       | 59       | 83       | 161      | 161      | 77       | 46       | 69        | 127       | 143       |
| 66 | 119      | 91       | 59       | 69       | 79       | 80       | 142      | 68       | 46       | 69        | 104       | 105       |
| 67 | 127      | 75       | 48       | 61       | 106      | 106      | 141      | 63       | 54       | 79        | 138       | 186       |

DISTRIBUIÇÃO DOS DADOS INDIVIDUAIS DA ANÁLISE INTRASESSÃO DO GRUPO  
SAUDÁVEL NA TERCEIRA SESSÃO

| No | Sinal<br>T3 | Espessura Media<br>T3 | Superior<br>T3 | Nasal<br>T3 | Inferior<br>T3 | Temporal<br>T3 |
|----|-------------|-----------------------|----------------|-------------|----------------|----------------|
| 35 | 8           | 88                    | 106            | 67          | 115            | 64             |
| 36 | 8           | 88                    | 120            | 68          | 113            | 50             |
| 37 | 8           | 92                    | 113            | 79          | 114            | 63             |
| 38 | 9           | 108                   | 124            | 101         | 146            | 62             |
| 39 | 8           | 79                    | 90             | 61          | 113            | 54             |
| 40 | 9           | 82                    | 94             | 73          | 106            | 56             |
| 41 | 9           | 97                    | 125            | 86          | 121            | 57             |
| 42 | 9           | 79                    | 98             | 56          | 102            | 59             |
| 43 | 9           | 110                   | 141            | 72          | 159            | 69             |
| 44 | 9           | 101                   | 125            | 61          | 125            | 94             |
| 45 | 7           | 89                    | 119            | 65          | 114            | 57             |
| 46 | 8           | 91                    | 118            | 64          | 112            | 71             |
| 47 | 9           | 76                    | 101            | 53          | 96             | 54             |
| 48 | 9           | 91                    | 129            | 67          | 104            | 62             |
| 49 | 9           | 102                   | 125            | 74          | 141            | 68             |
| 50 | 10          | 102                   | 129            | 83          | 124            | 72             |
| 51 | 8           | 104                   | 111            | 75          | 131            | 98             |
| 52 | 9           | 109                   | 162            | 60          | 143            | 71             |
| 53 | 7           | 99                    | 138            | 74          | 119            | 67             |
| 54 | 7           | 89                    | 119            | 79          | 96             | 64             |
| 55 | 9           | 110                   | 110            | 82          | 155            | 92             |
| 56 | 8           | 94                    | 120            | 63          | 127            | 66             |
| 57 | 9           | 109                   | 139            | 101         | 141            | 56             |
| 58 | 8           | 90                    | 115            | 54          | 123            | 67             |
| 59 | 9           | 112                   | 140            | 78          | 161            | 71             |
| 60 | 9           | 88                    | 110            | 67          | 120            | 56             |
| 61 | 9           | 108                   | 156            | 79          | 120            | 78             |
| 62 | 9           | 103                   | 116            | 66          | 158            | 73             |
| 63 | 9           | 103                   | 151            | 81          | 104            | 75             |
| 64 | 7           | 85                    | 94             | 79          | 106            | 61             |
| 65 | 9           | 101                   | 128            | 75          | 137            | 63             |
| 66 | 9           | 88                    | 108            | 78          | 106            | 61             |
| 67 | 8           | 100                   | 141            | 65          | 126            | 67             |

DISTRIBUIÇÃO DOS DADOS INDIVIDUAIS DA ANÁLISE INTRASESSÃO DO GRUPO  
SAUDÁVEL NA TERCEIRA SESSÃO

| No | H1<br>T3 | H2<br>T3 | H3<br>T3 | H4<br>T3 | H5<br>T3 | H6<br>T3 | H7<br>T3 | H8<br>T3 | H9<br>T3 | H10<br>T3 | H11<br>T3 | H12<br>T3 |
|----|----------|----------|----------|----------|----------|----------|----------|----------|----------|-----------|-----------|-----------|
| 35 | 96       | 66       | 62       | 75       | 91       | 125      | 128      | 59       | 55       | 77        | 113       | 108       |
| 36 | 101      | 68       | 74       | 62       | 96       | 121      | 123      | 54       | 37       | 59        | 121       | 139       |
| 37 | 97       | 95       | 67       | 76       | 85       | 131      | 125      | 60       | 47       | 83        | 136       | 105       |
| 38 | 84       | 130      | 82       | 91       | 129      | 147      | 161      | 63       | 46       | 78        | 142       | 147       |
| 39 | 80       | 76       | 52       | 54       | 84       | 131      | 123      | 51       | 47       | 63        | 104       | 86        |
| 40 | 81       | 73       | 73       | 73       | 89       | 123      | 105      | 52       | 47       | 70        | 123       | 79        |
| 41 | 101      | 95       | 79       | 84       | 93       | 137      | 132      | 55       | 38       | 79        | 159       | 114       |
| 42 | 85       | 82       | 41       | 46       | 82       | 110      | 114      | 55       | 48       | 74        | 122       | 86        |
| 43 | 143      | 98       | 48       | 69       | 143      | 168      | 166      | 69       | 60       | 79        | 139       | 141       |
| 44 | 104      | 77       | 50       | 57       | 88       | 115      | 172      | 96       | 68       | 118       | 169       | 101       |
| 45 | 107      | 73       | 45       | 78       | 106      | 141      | 96       | 52       | 51       | 69        | 111       | 137       |
| 46 | 103      | 77       | 49       | 65       | 77       | 112      | 146      | 67       | 55       | 91        | 156       | 97        |
| 47 | 95       | 65       | 38       | 56       | 77       | 99       | 112      | 55       | 43       | 66        | 100       | 108       |
| 48 | 102      | 78       | 57       | 66       | 85       | 96       | 132      | 73       | 45       | 67        | 141       | 143       |
| 49 | 103      | 100      | 55       | 67       | 120      | 149      | 153      | 66       | 64       | 74        | 134       | 136       |
| 50 | 109      | 101      | 77       | 71       | 95       | 132      | 145      | 78       | 54       | 83        | 145       | 132       |
| 51 | 116      | 95       | 61       | 68       | 108      | 135      | 151      | 92       | 134      | 68        | 80        | 136       |
| 52 | 175      | 75       | 44       | 61       | 116      | 149      | 163      | 79       | 58       | 75        | 103       | 210       |
| 53 | 115      | 107      | 56       | 60       | 76       | 132      | 148      | 81       | 44       | 75        | 152       | 147       |
| 54 | 104      | 99       | 60       | 78       | 75       | 96       | 116      | 66       | 54       | 72        | 115       | 137       |
| 55 | 97       | 109      | 74       | 62       | 127      | 174      | 164      | 93       | 72       | 109       | 143       | 92        |
| 56 | 107      | 75       | 50       | 63       | 106      | 128      | 146      | 74       | 46       | 77        | 110       | 143       |
| 57 | 155      | 123      | 86       | 93       | 125      | 162      | 136      | 60       | 41       | 67        | 109       | 152       |
| 58 | 102      | 71       | 47       | 43       | 96       | 129      | 145      | 63       | 59       | 79        | 153       | 88        |
| 59 | 135      | 106      | 63       | 65       | 139      | 196      | 148      | 72       | 56       | 85        | 122       | 162       |
| 60 | 85       | 79       | 50       | 71       | 89       | 134      | 137      | 60       | 42       | 67        | 121       | 125       |
| 61 | 139      | 88       | 66       | 84       | 103      | 121      | 136      | 93       | 58       | 84        | 154       | 174       |
| 62 | 108      | 72       | 70       | 56       | 121      | 203      | 150      | 72       | 64       | 84        | 128       | 112       |
| 63 | 132      | 98       | 54       | 91       | 72       | 102      | 138      | 108      | 54       | 64        | 150       | 169       |
| 64 | 83       | 89       | 62       | 86       | 77       | 100      | 140      | 66       | 45       | 72        | 108       | 91        |
| 65 | 125      | 92       | 69       | 65       | 92       | 160      | 158      | 75       | 46       | 69        | 123       | 136       |
| 66 | 118      | 81       | 70       | 83       | 89       | 86       | 143      | 67       | 47       | 70        | 112       | 94        |
| 67 | 118      | 78       | 52       | 63       | 118      | 119      | 141      | 61       | 56       | 84        | 147       | 157       |

DISTRIBUIÇÃO DOS DADOS INDIVIDUAIS DA ANÁLISE INTRASESSÃO DO GRUPO  
SAUDÁVEL NA QUARTA SESSÃO

| No | Sinal<br>T4 | Espessura Media<br>T4 | Superior<br>T4 | Nasal<br>T4 | Inferior<br>T4 | Temporal<br>T4 |
|----|-------------|-----------------------|----------------|-------------|----------------|----------------|
| 35 | 8           | 91                    | 110            | 72          | 117            | 64             |
| 36 | 8           | 90                    | 126            | 69          | 112            | 40             |
| 37 | 8           | 90                    | 106            | 82          | 112            | 60             |
| 38 | 8           | 108                   | 130            | 92          | 148            | 61             |
| 39 | 9           | 78                    | 91             | 60          | 109            | 53             |
| 40 | 8           | 80                    | 82             | 74          | 111            | 53             |
| 41 | 9           | 99                    | 123            | 90          | 128            | 57             |
| 42 | 9           | 79                    | 100            | 56          | 102            | 60             |
| 43 | 9           | 110                   | 144            | 72          | 156            | 69             |
| 44 | 9           | 102                   | 127            | 61          | 127            | 94             |
| 45 | 8           | 88                    | 115            | 67          | 115            | 57             |
| 46 | 8           | 91                    | 115            | 63          | 114            | 72             |
| 47 | 8           | 77                    | 103            | 103         | 55             | 95             |
| 48 | 10          | 90                    | 125            | 69          | 106            | 60             |
| 49 | 8           | 101                   | 134            | 75          | 133            | 63             |
| 50 | 9           | 102                   | 127            | 83          | 124            | 72             |
| 51 | 8           | 106                   | 117            | 69          | 131            | 106            |
| 52 | 8           | 111                   | 166            | 60          | 149            | 69             |
| 53 | 9           | 102                   | 142            | 80          | 120            | 66             |
| 54 | 7           | 89                    | 116            | 78          | 96             | 64             |
| 55 | 9           | 109                   | 124            | 79          | 142            | 90             |
| 56 | 8           | 92                    | 117            | 63          | 123            | 65             |
| 57 | 9           | 109                   | 139            | 103         | 133            | 61             |
| 58 | 9           | 89                    | 108            | 57          | 124            | 68             |
| 59 | 9           | 110                   | 131            | 75          | 162            | 73             |
| 60 | 9           | 89                    | 107            | 67          | 125            | 56             |
| 61 | 9           | 111                   | 171            | 77          | 119            | 77             |
| 62 | 9           | 109                   | 120            | 82          | 169            | 64             |
| 63 | 10          | 103                   | 117            | 89          | 135            | 70             |
| 64 | 7           | 89                    | 103            | 86          | 109            | 59             |
| 65 | 9           | 102                   | 135            | 75          | 134            | 62             |
| 66 | 9           | 90                    | 109            | 78          | 111            | 62             |
| 67 | 7           | 98                    | 143            | 63          | 121            | 65             |

DISTRIBUIÇÃO DOS DADOS INDIVIDUAIS DA ANÁLISE INTRASESSÃO DO GRUPO  
SAUDÁVEL NA QUARTA SESSÃO

| No | H1<br>T4 | H2<br>T4 | H3<br>T4 | H4<br>T4 | H5<br>T4 | H6<br>T4 | H7<br>T4 | H8<br>T4 | H9<br>T4 | H10<br>T4 | H11<br>T4 | H12<br>T4 |
|----|----------|----------|----------|----------|----------|----------|----------|----------|----------|-----------|-----------|-----------|
| 35 | 123      | 70       | 62       | 84       | 94       | 129      | 128      | 59       | 58       | 75        | 101       | 105       |
| 36 | 108      | 73       | 71       | 65       | 97       | 120      | 117      | 53       | 37       | 65        | 125       | 144       |
| 37 | 93       | 95       | 74       | 75       | 88       | 129      | 118      | 55       | 47       | 78        | 124       | 101       |
| 38 | 84       | 124      | 76       | 77       | 130      | 151      | 163      | 61       | 45       | 76        | 144       | 162       |
| 39 | 79       | 79       | 47       | 55       | 84       | 125      | 117      | 52       | 45       | 61        | 98        | 95        |
| 40 | 68       | 68       | 74       | 81       | 102      | 128      | 103      | 46       | 45       | 68        | 117       | 61        |
| 41 | 99       | 104      | 75       | 90       | 95       | 147      | 141      | 55       | 38       | 77        | 152       | 117       |
| 42 | 89       | 80       | 42       | 46       | 83       | 108      | 116      | 58       | 48       | 73        | 124       | 86        |
| 43 | 149      | 92       | 54       | 71       | 139      | 162      | 168      | 72       | 57       | 77        | 138       | 145       |
| 44 | 108      | 77       | 47       | 58       | 80       | 116      | 180      | 95       | 69       | 117       | 174       | 99        |
| 45 | 103      | 76       | 47       | 78       | 110      | 142      | 93       | 52       | 51       | 68        | 108       | 134       |
| 46 | 98       | 78       | 48       | 64       | 79       | 111      | 151      | 70       | 55       | 92        | 154       | 94        |
| 47 | 92       | 66       | 40       | 58       | 77       | 98       | 109      | 55       | 43       | 68        | 105       | 113       |
| 48 | 96       | 75       | 60       | 71       | 87       | 100      | 132      | 69       | 45       | 66        | 140       | 139       |
| 49 | 119      | 100      | 58       | 67       | 113      | 140      | 146      | 63       | 53       | 73        | 131       | 150       |
| 50 | 106      | 102      | 76       | 73       | 97       | 134      | 142      | 75       | 55       | 86        | 143       | 130       |
| 51 | 122      | 91       | 57       | 60       | 108      | 132      | 151      | 97       | 141      | 80        | 82        | 148       |
| 52 | 177      | 74       | 44       | 62       | 126      | 167      | 154      | 73       | 61       | 74        | 102       | 218       |
| 53 | 120      | 112      | 61       | 67       | 80       | 131      | 150      | 79       | 44       | 74        | 154       | 151       |
| 54 | 103      | 95       | 61       | 78       | 75       | 95       | 117      | 65       | 50       | 75        | 117       | 137       |
| 55 | 111      | 117      | 59       | 62       | 106      | 143      | 177      | 102      | 67       | 101       | 151       | 110       |
| 56 | 105      | 74       | 52       | 64       | 104      | 128      | 138      | 72       | 46       | 77        | 109       | 138       |
| 57 | 142      | 119      | 96       | 93       | 114      | 141      | 144      | 69       | 43       | 69        | 121       | 155       |
| 58 | 94       | 80       | 50       | 42       | 97       | 131      | 146      | 66       | 59       | 78        | 142       | 87        |
| 59 | 123      | 101      | 61       | 62       | 137      | 200      | 149      | 72       | 59       | 87        | 118       | 152       |
| 60 | 79       | 80       | 54       | 68       | 93       | 146      | 135      | 56       | 43       | 69        | 125       | 116       |
| 61 | 152      | 89       | 55       | 86       | 101      | 121      | 134      | 89       | 58       | 85        | 161       | 200       |
| 62 | 113      | 86       | 73       | 88       | 189      | 206      | 112      | 58       | 59       | 75        | 121       | 127       |
| 63 | 83       | 97       | 65       | 104      | 116      | 140      | 150      | 86       | 47       | 76        | 139       | 130       |
| 64 | 94       | 96       | 61       | 101      | 72       | 104      | 150      | 70       | 40       | 67        | 109       | 107       |
| 65 | 137      | 97       | 66       | 62       | 92       | 160      | 151      | 74       | 46       | 65        | 120       | 148       |
| 66 | 124      | 83       | 69       | 82       | 96       | 90       | 146      | 64       | 49       | 72        | 107       | 96        |
| 67 | 128      | 79       | 47       | 62       | 113      | 113      | 139      | 61       | 53       | 81        | 138       | 164       |

DISTRIBUIÇÃO DOS DADOS INDIVIDUAIS DA ANÁLISE INTRASESSÃO DO GRUPO  
SAUDÁVEL NA QUINTA SESSÃO

| No | Sinal<br>T5 | Espessura Media<br>T5 | Superior<br>T5 | Nasal<br>T5 | Inferior<br>T5 | Temporal<br>T5 |
|----|-------------|-----------------------|----------------|-------------|----------------|----------------|
| 35 | 7           | 88                    | 106            | 68          | 114            | 64             |
| 36 | 8           | 90                    | 126            | 70          | 114            | 51             |
| 37 | 9           | 94                    | 116            | 84          | 118            | 61             |
| 38 | 8           | 105                   | 123            | 95          | 143            | 60             |
| 39 | 9           | 77                    | 85             | 61          | 109            | 52             |
| 40 | 9           | 74                    | 93             | 39          | 110            | 54             |
| 41 | 9           | 100                   | 129            | 92          | 122            | 55             |
| 42 | 9           | 80                    | 97             | 56          | 106            | 59             |
| 43 | 9           | 111                   | 147            | 69          | 156            | 70             |
| 44 | 9           | 104                   | 137            | 62          | 124            | 93             |
| 45 | 8           | 88                    | 116            | 67          | 114            | 57             |
| 46 | 8           | 91                    | 116            | 62          | 113            | 72             |
| 47 | 9           | 78                    | 102            | 58          | 94             | 56             |
| 48 | 9           | 91                    | 124            | 70          | 107            | 64             |
| 49 | 10          | 104                   | 138            | 82          | 136            | 61             |
| 50 | 9           | 103                   | 129            | 83          | 128            | 73             |
| 51 | 8           | 106                   | 114            | 73          | 138            | 99             |
| 52 | 8           | 111                   | 166            | 58          | 149            | 69             |
| 53 | 9           | 102                   | 138            | 81          | 122            | 66             |
| 54 | 7           | 90                    | 119            | 76          | 100            | 64             |
| 55 | 9           | 111                   | 176            | 67          | 94             | 106            |
| 56 | 7           | 92                    | 118            | 61          | 123            | 65             |
| 57 | 9           | 110                   | 141            | 104         | 137            | 57             |
| 58 | 9           | 91                    | 111            | 60          | 128            | 67             |
| 59 | 8           | 109                   | 131            | 76          | 157            | 71             |
| 60 | 8           | 89                    | 109            | 69          | 122            | 55             |
| 61 | 9           | 111                   | 169            | 77          | 124            | 75             |
| 62 | 9           | 105                   | 122            | 68          | 161            | 71             |
| 63 | 10          | 100                   | 127            | 86          | 120            | 69             |
| 64 | 7           | 88                    | 100            | 86          | 109            | 58             |
| 65 | 8           | 101                   | 135            | 75          | 132            | 61             |
| 66 | 9           | 88                    | 107            | 76          | 110            | 59             |
| 67 | 8           | 98                    | 141            | 62          | 122            | 65             |

DISTRIBUIÇÃO DOS DADOS INDIVIDUAIS DA ANÁLISE INTRASESSÃO DO GRUPO  
SAUDÁVEL NA QUINTA SESSÃO

| No | H1<br>T5 | H2<br>T5 | H3<br>T5 | H4<br>T5 | H5<br>T5 | H6<br>T5 | H7<br>T5 | H8<br>T5 | H9<br>T5 | H10<br>T5 | H11<br>T5 | H12<br>T5 |
|----|----------|----------|----------|----------|----------|----------|----------|----------|----------|-----------|-----------|-----------|
| 35 | 104      | 66       | 59       | 78       | 86       | 125      | 130      | 60       | 55       | 76        | 109       | 104       |
| 36 | 108      | 74       | 71       | 64       | 98       | 117      | 127      | 55       | 37       | 59        | 124       | 145       |
| 37 | 101      | 98       | 73       | 79       | 91       | 137      | 126      | 58       | 46       | 78        | 133       | 113       |
| 38 | 80       | 127      | 77       | 82       | 129      | 145      | 155      | 60       | 45       | 74        | 133       | 156       |
| 39 | 72       | 83       | 49       | 52       | 86       | 127      | 113      | 51       | 46       | 58        | 96        | 87        |
| 40 | 67       | 25       | 33       | 58       | 93       | 130      | 106      | 48       | 45       | 68        | 124       | 86        |
| 41 | 111      | 111      | 77       | 87       | 94       | 143      | 130      | 56       | 37       | 73        | 148       | 128       |
| 42 | 84       | 81       | 41       | 47       | 89       | 115      | 115      | 55       | 47       | 73        | 124       | 84        |
| 43 | 148      | 86       | 54       | 67       | 134      | 163      | 172      | 72       | 59       | 80        | 143       | 152       |
| 44 | 120      | 79       | 48       | 60       | 90       | 114      | 169      | 93       | 68       | 117       | 178       | 113       |
| 45 | 105      | 75       | 46       | 80       | 106      | 136      | 99       | 52       | 50       | 69        | 107       | 136       |
| 46 | 96       | 76       | 51       | 61       | 77       | 110      | 152      | 70       | 56       | 90        | 158       | 93        |
| 47 | 92       | 66       | 47       | 61       | 75       | 97       | 110      | 58       | 43       | 69        | 108       | 107       |
| 48 | 104      | 80       | 60       | 69       | 87       | 94       | 142      | 78       | 46       | 69        | 135       | 134       |
| 49 | 120      | 111      | 59       | 75       | 125      | 144      | 139      | 61       | 50       | 72        | 125       | 170       |
| 50 | 108      | 103      | 72       | 74       | 99       | 134      | 149      | 78       | 60       | 86        | 148       | 131       |
| 51 | 127      | 92       | 57       | 69       | 118      | 145      | 151      | 99       | 123      | 76        | 75        | 140       |
| 52 | 171      | 71       | 44       | 60       | 125      | 164      | 159      | 75       | 60       | 72        | 100       | 227       |
| 53 | 115      | 115      | 62       | 67       | 79       | 134      | 152      | 80       | 44       | 75        | 152       | 147       |
| 54 | 105      | 89       | 62       | 77       | 80       | 97       | 123      | 60       | 51       | 75        | 113       | 140       |
| 55 | 171      | 77       | 53       | 69       | 78       | 72       | 132      | 147      | 85       | 87        | 159       | 199       |
| 56 | 107      | 72       | 49       | 61       | 100      | 126      | 143      | 74       | 46       | 76        | 109       | 137       |
| 57 | 155      | 131      | 93       | 89       | 119      | 151      | 141      | 62       | 42       | 68        | 111       | 156       |
| 58 | 93       | 85       | 49       | 45       | 101      | 134      | 148      | 65       | 60       | 76        | 150       | 89        |
| 59 | 124      | 105      | 59       | 64       | 137      | 191      | 144      | 72       | 57       | 83        | 114       | 154       |
| 60 | 84       | 79       | 55       | 72       | 97       | 142      | 126      | 53       | 45       | 68        | 121       | 123       |
| 61 | 161      | 93       | 61       | 78       | 103      | 129      | 139      | 87       | 57       | 82        | 150       | 197       |
| 62 | 109      | 72       | 64       | 68       | 158      | 196      | 128      | 68       | 64       | 83        | 135       | 122       |
| 63 | 91       | 96       | 62       | 101      | 96       | 120      | 145      | 86       | 46       | 74        | 137       | 152       |
| 64 | 91       | 96       | 64       | 97       | 75       | 104      | 146      | 68       | 40       | 67        | 105       | 102       |
| 65 | 137      | 99       | 66       | 60       | 87       | 159      | 151      | 75       | 45       | 64        | 117       | 152       |
| 66 | 113      | 90       | 62       | 77       | 93       | 93       | 144      | 62       | 47       | 67        | 110       | 98        |
| 67 | 118      | 77       | 46       | 64       | 118      | 111      | 136      | 57       | 55       | 83        | 145       | 161       |

DISTRIBUIÇÃO DOS DADOS INDIVIDUAIS DA ANÁLISE INTERSESSÃO DO GRUPO  
GLAUCOMA NA PRIMEIRA SESSÃO

| No | Sinal<br>T1 | Espessura Media<br>T1 | Superior<br>T1 | Nasal<br>T1 | Inferior<br>T1 | Temporal<br>T1 |
|----|-------------|-----------------------|----------------|-------------|----------------|----------------|
| 1  | 8           | 103                   | 124            | 76          | 142            | 69             |
| 2  | 8           | 77                    | 87             | 77          | 88             | 54             |
| 3  | 8           | 74                    | 86             | 66          | 86             | 58             |
| 4  | 7           | 50                    | 54             | 56          | 51             | 40             |
| 5  | 8           | 84                    | 101            | 65          | 99             | 70             |
| 6  | 8           | 90                    | 102            | 65          | 116            | 75             |
| 7  | 8           | 53                    | 58             | 50          | 69             | 35             |
| 8  | 9           | 54                    | 12             | 52          | 99             | 52             |
| 9  | 7           | 74                    | 74             | 65          | 99             | 56             |
| 10 | 9           | 93                    | 111            | 63          | 138            | 58             |
| 11 | 8           | 62                    | 76             | 65          | 57             | 52             |
| 12 | 8           | 63                    | 64             | 57          | 60             | 70             |
| 13 | 7           | 80                    | 98             | 63          | 110            | 51             |
| 14 | 7           | 80                    | 100            | 68          | 100            | 71             |
| 15 |             |                       | EXCLUÍDO       |             |                |                |
| 16 | 8           | 70                    | 91             | 58          | 82             | 48             |
| 17 | 7           | 73                    | 77             | 70          | 86             | 61             |
| 18 | 8           | 69                    | 88             | 6           | 84             | 48             |
| 19 | 8           | 67                    | 77             | 67          | 88             | 37             |
| 20 | 8           | 79                    | 86             | 72          | 94             | 63             |
| 21 | 7           | 92                    | 112            | 73          | 121            | 62             |
| 22 | 8           | 94                    | 116            | 83          | 115            | 64             |
| 23 | 8           | 75                    | 82             | 67          | 89             | 63             |
| 24 |             |                       | EXCLUÍDO       |             |                |                |
| 25 | 8           | 85                    | 101            | 77          | 114            | 50             |
| 26 | 8           | 81                    | 98             | 66          | 102            | 57             |
| 27 |             |                       | EXCLUÍDO       |             |                |                |
| 28 | 7           | 81                    | 99             | 77          | 96             | 52             |
| 29 | 8           | 76                    | 95             | 59          | 95             | 56             |
| 30 | 8           | 83                    | 108            | 70          | 106            | 47             |
| 31 |             |                       | EXCLUÍDO       |             |                |                |
| 32 |             |                       | EXCLUÍDO       |             |                |                |
| 33 |             |                       | EXCLUÍDO       |             |                |                |
| 34 | 7           | 59                    | 70             | 49          | 61             | 55             |



DISTRIBUIÇÃO DOS DADOS INDIVIDUAIS DA ANÁLISE INTERSESSÃO DO GRUPO  
GLAUCOMA NA SEGUNDA SESSÃO

| No | Sinal<br>T2 | Espessura Media<br>T2 | Superior<br>T2 | Nasal<br>T2 | Inferior<br>T2 | Temporal<br>T2 |
|----|-------------|-----------------------|----------------|-------------|----------------|----------------|
| 1  | 7           | 101                   | 119            | 78          | 137            | 70             |
| 2  | 8           | 77                    | 80             | 77          | 90             | 59             |
| 3  | 9           | 77                    | 85             | 74          | 90             | 58             |
| 4  | 7           | 52                    | 55             | 55          | 57             | 43             |
| 5  | 8           | 85                    | 106            | 63          | 99             | 72             |
| 6  | 8           | 87                    | 95             | 68          | 109            | 76             |
| 7  | 8           | 55                    | 61             | 57          | 67             | 33             |
| 8  | 8           | 82                    | 69             | 107         | 55             | 102            |
| 9  | 8           | 72                    | 70             | 61          | 96             | 59             |
| 10 | 8           | 93                    | 107            | 65          | 141            | 59             |
| 11 | 8           | 64                    | 79             | 70          | 63             | 46             |
| 12 | 8           | 62                    | 64             | 58          | 59             | 69             |
| 13 | 8           | 84                    | 97             | 62          | 124            | 51             |
| 14 | 8           | 88                    | 108            | 68          | 107            | 68             |
| 15 |             |                       | EXCLUÍDO       |             |                |                |
| 16 | 8           | 70                    | 95             | 62          | 76             | 45             |
| 17 | 8           | 73                    | 76             | 71          | 81             | 62             |
| 18 | 8           | 67                    | 90             | 52          | 82             | 45             |
| 19 | 8           | 67                    | 76             | 69          | 91             | 34             |
| 20 | 8           | 79                    | 94             | 74          | 89             | 60             |
| 21 | 8           | 91                    | 115            | 69          | 116            | 64             |
| 22 | 8           | 97                    | 120            | 86          | 120            | 62             |
| 23 | 8           | 77                    | 89             | 69          | 89             | 63             |
| 24 |             |                       | EXCLUÍDO       |             |                |                |
| 25 | 8           | 84                    | 106            | 73          | 109            | 49             |
| 26 | 9           | 82                    | 99             | 68          | 102            | 57             |
| 27 |             |                       | EXCLUÍDO       |             |                |                |
| 28 | 7           | 78                    | 91             | 80          | 92             | 51             |
| 29 | 8           | 79                    | 97             | 65          | 96             | 58             |
| 30 | 7           | 87                    | 112            | 76          | 110            | 50             |
| 31 |             |                       | EXCLUÍDO       |             |                |                |
| 32 |             |                       | EXCLUÍDO       |             |                |                |
| 33 |             |                       | EXCLUÍDO       |             |                |                |
| 34 | 8           | 61                    | 76             | 49          | 60             | 57             |



DISTRIBUIÇÃO DOS DADOS INDIVIDUAIS DA ANÁLISE INTERSESSÃO DO GRUPO  
GLAUCOMA NA TERCEIRA SESSÃO

| No | Sinal<br>T3 | Espessura Media<br>T3 | Superior<br>T3 | Nasal<br>T3 | Inferior<br>T3 | Temporal<br>T3 |
|----|-------------|-----------------------|----------------|-------------|----------------|----------------|
| 1  | 8           | 106                   | 132            | 78          | 142            | 72             |
| 2  | 7           | 68                    | 73             | 45          | 84             | 70             |
| 3  | 9           | 75                    | 87             | 63          | 92             | 58             |
| 4  | 7           | 50                    | 53             | 55          | 51             | 41             |
| 5  | 9           | 87                    | 102            | 64          | 107            | 75             |
| 6  | 8           | 72                    | 31             | 64          | 116            | 75             |
| 7  | 7           | 57                    | 66             | 61          | 68             | 33             |
| 8  | 8           | 85                    | 102            | 73          | 111            | 54             |
| 9  | 8           | 75                    | 79             | 69          | 95             | 58             |
| 10 | 9           | 97                    | 114            | 67          | 149            | 58             |
| 11 | 8           | 62                    | 73             | 70          | 59             | 46             |
| 12 | 7           | 59                    | 65             | 8           | 54             | 61             |
| 13 | 8           | 81                    | 90             | 64          | 116            | 52             |
| 14 | 8           | 89                    | 106            | 74          | 111            | 67             |
| 15 |             |                       | EXCLUÍDO       |             |                |                |
| 16 | 8           | 70                    | 95             | 60          | 79             | 47             |
| 17 | 8           | 76                    | 82             | 74          | 83             | 63             |
| 18 | 9           | 69                    | 87             | 58          | 81             | 50             |
| 19 | 8           | 70                    | 72             | 69          | 98             | 42             |
| 20 | 8           | 80                    | 98             | 72          | 91             | 59             |
| 21 | 7           | 90                    | 108            | 70          | 119            | 63             |
| 22 | 7           | 93                    | 115            | 79          | 118            | 61             |
| 23 | 8           | 75                    | 85             | 70          | 83             | 63             |
| 24 |             |                       | EXCLUÍDO       |             |                |                |
| 25 | 8           | 89                    | 109            | 79          | 117            | 50             |
| 26 | 9           | 78                    | 97             | 61          | 99             | 56             |
| 27 |             |                       | EXCLUÍDO       |             |                |                |
| 28 | 7           | 76                    | 94             | 74          | 86             | 50             |
| 29 | 8           | 76                    | 95             | 59          | 95             | 56             |
| 30 | 7           | 89                    | 109            | 88          | 109            | 49             |
| 31 |             |                       | EXCLUÍDO       |             |                |                |
| 32 |             |                       | EXCLUÍDO       |             |                |                |
| 33 |             |                       | EXCLUÍDO       |             |                |                |
| 34 | 7           | 60                    | 75             | 49          | 62             | 55             |



DISTRIBUIÇÃO DOS DADOS INDIVIDUAIS DA ANÁLISE INTERSESSÃO DO GRUPO  
GLAUCOMA NA QUARTA SESSÃO

| No | Sinal<br>T4 | Espessura Media<br>T4 | Superior<br>T4 | Nasal<br>T4 | Inferior<br>T4 | Temporal<br>T4 |
|----|-------------|-----------------------|----------------|-------------|----------------|----------------|
| 1  | 8           | 104                   | 122            | 85          | 136            | 73             |
| 2  | 9           | 82                    | 92             | 83          | 92             | 63             |
| 3  | 8           | 68                    | 80             | 58          | 78             | 56             |
| 4  | 7           | 54                    | 59             | 58          | 58             | 41             |
| 5  | 9           | 88                    | 105            | 63          | 108            | 74             |
| 6  | 8           | 88                    | 95             | 68          | 116            | 72             |
| 7  | 8           | 54                    | 57             | 58          | 66             | 33             |
| 8  | 8           | 84                    | 102            | 69          | 111            | 52             |
| 9  | 7           | 73                    | 74             | 67          | 96             | 56             |
| 10 | 9           | 93                    | 106            | 64          | 142            | 61             |
| 11 | 8           | 64                    | 77             | 68          | 65             | 46             |
| 12 | 7           | 63                    | 61             | 58          | 58             | 74             |
| 13 | 9           | 85                    | 107            | 64          | 117            | 51             |
| 14 | 9           | 93                    | 115            | 76          | 110            | 72             |
| 15 |             |                       | EXCLUÍDO       |             |                |                |
| 16 | 8           | 69                    | 88             | 59          | 80             | 48             |
| 17 | 8           | 76                    | 77             | 80          | 83             | 64             |
| 18 | 9           | 68                    | 89             | 57          | 82             | 45             |
| 19 | 7           | 68                    | 76             | 66          | 90             | 39             |
| 20 | 8           | 80                    | 90             | 73          | 90             | 65             |
| 21 | 8           | 91                    | 114            | 74          | 115            | 61             |
| 22 | 7           | 91                    | 109            | 78          | 118            | 60             |
| 23 | 7           | 77                    | 91             | 70          | 85             | 60             |
| 24 |             |                       | EXCLUÍDO       |             |                |                |
| 25 | 8           | 86                    | 102            | 75          | 118            | 50             |
| 26 | 8           | 81                    | 93             | 70          | 102            | 59             |
| 27 |             |                       | EXCLUÍDO       |             |                |                |
| 28 | 7           | 77                    | 88             | 73          | 96             | 50             |
| 29 | 7           | 77                    | 92             | 66          | 95             | 56             |
| 30 | 8           | 84                    | 110            | 69          | 109            | 50             |
| 31 |             |                       | EXCLUÍDO       |             |                |                |
| 32 |             |                       | EXCLUÍDO       |             |                |                |
| 33 |             |                       | EXCLUÍDO       |             |                |                |
| 34 | 7           | 59                    | 75             | 48          | 59             | 54             |



DISTRIBUIÇÃO DOS DADOS INDIVIDUAIS DA ANÁLISE INTERSESSÃO DO GRUPO  
GLAUCOMA NA QUINTA SESSÃO

| No | Sinal<br>T5 | Espessura Media<br>T5 | Superior<br>T5 | Nasal<br>T5 | Inferior<br>T5 | Temporal<br>T5 |
|----|-------------|-----------------------|----------------|-------------|----------------|----------------|
| 1  | 8           | 104                   | 126            | 77          | 141            | 71             |
| 2  | 8           | 79                    | 80             | 77          | 90             | 67             |
| 3  | 9           | 76                    | 86             | 70          | 88             | 61             |
| 4  | 7           | 54                    | 61             | 57          | 57             | 41             |
| 5  | 8           | 88                    | 105            | 63          | 109            | 75             |
| 6  | 8           | 92                    | 103            | 75          | 118            | 74             |
| 7  | 8           | 55                    | 61             | 56          | 69             | 34             |
| 8  | 8           | 84                    | 102            | 74          | 108            | 54             |
| 9  | 8           | 76                    | 77             | 71          | 98             | 57             |
| 10 | 9           | 94                    | 108            | 64          | 145            | 60             |
| 11 | 7           | 63                    | 81             | 66          | 61             | 46             |
| 12 | 7           | 62                    | 65             | 58          | 58             | 68             |
| 13 | 7           | 81                    | 98             | 62          | 115            | 51             |
| 14 | 8           | 88                    | 103            | 72          | 108            | 68             |
| 15 |             |                       | EXCLUÍDO       |             |                |                |
| 16 | 8           | 67                    | 88             | 58          | 74             | 46             |
| 17 | 8           | 75                    | 76             | 77          | 84             | 62             |
| 18 | 9           | 69                    | 88             | 58          | 82             | 47             |
| 19 | 7           | 66                    | 72             | 63          | 89             | 42             |
| 20 | 8           | 80                    | 90             | 73          | 90             | 65             |
| 21 | 7           | 88                    | 107            | 70          | 113            | 61             |
| 22 | 8           | 86                    | 102            | 75          | 118            | 50             |
| 23 | 8           | 76                    | 87             | 68          | 86             | 63             |
| 24 |             |                       | EXCLUÍDO       |             |                |                |
| 25 | 8           | 87                    | 104            | 78          | 115            | 49             |
| 26 | 8           | 80                    | 97             | 67          | 102            | 56             |
| 27 |             |                       | EXCLUÍDO       |             |                |                |
| 28 | 7           | 79                    | 92             | 77          | 95             | 53             |
| 29 | 9           | 60                    | 47             | 34          | 101            | 57             |
| 30 | 7           | 92                    | 120            | 86          | 113            | 50             |
| 31 |             |                       | EXCLUÍDO       |             |                |                |
| 32 |             |                       | EXCLUÍDO       |             |                |                |
| 33 |             |                       | EXCLUÍDO       |             |                |                |
| 34 | 7           | 59                    | 74             | 49          | 60             | 54             |

DISTRIBUIÇÃO DOS DADOS INDIVIDUAIS DA ANÁLISE INTERSESSÃO DO GRUPO  
GLAUCOMA NA QUINTA SESSÃO

| No | H1<br>T5 | H2<br>T5 | H3<br>T5 | H4<br>T5 | H5<br>T5 | H6<br>T5 | H7<br>T5 | H8<br>T5 | H9<br>T5 | H10<br>T5 | H11<br>T5 | H12<br>T5 |
|----|----------|----------|----------|----------|----------|----------|----------|----------|----------|-----------|-----------|-----------|
| 1  | 117      | 98       | 58       | 73       | 125      | 162      | 136      | 71       | 59       | 83        | 133       | 129       |
| 2  | 70       | 89       | 68       | 75       | 61       | 104      | 105      | 67       | 60       | 73        | 121       | 51        |
| 3  | 72       | 73       | 69       | 67       | 79       | 87       | 98       | 74       | 50       | 58        | 93        | 94        |
| 4  | 68       | 60       | 57       | 55       | 63       | 40       | 70       | 48       | 31       | 43        | 54        | 59        |
| 5  | 92       | 80       | 53       | 54       | 84       | 93       | 149      | 77       | 49       | 100       | 137       | 87        |
| 6  | 80       | 99       | 63       | 61       | 84       | 142      | 127      | 76       | 65       | 83        | 128       | 101       |
| 7  | 67       | 67       | 53       | 49       | 52       | 80       | 76       | 33       | 34       | 35        | 65        | 52        |
| 8  | 100      | 78       | 61       | 81       | 116      | 107      | 102      | 53       | 44       | 64        | 106       | 99        |
| 9  | 57       | 86       | 66       | 61       | 85       | 115      | 92       | 59       | 48       | 64        | 73        | 102       |
| 10 | 94       | 77       | 55       | 59       | 134      | 185      | 117      | 43       | 49       | 88        | 136       | 94        |
| 11 | 41       | 72       | 61       | 64       | 42       | 72       | 69       | 45       | 43       | 49        | 132       | 69        |
| 12 | 70       | 60       | 60       | 53       | 49       | 76       | 49       | 64       | 77       | 63        | 59        | 65        |
| 13 | 88       | 74       | 53       | 59       | 116      | 116      | 111      | 52       | 43       | 56        | 98        | 109       |
| 14 | 78       | 82       | 58       | 76       | 84       | 113      | 128      | 81       | 47       | 77        | 127       | 104       |
| 15 |          |          |          |          |          |          |          |          |          |           |           |           |
|    |          |          |          |          |          |          |          |          |          |           |           |           |
| 16 | 100      | 70       | 48       | 56       | 84       | 87       | 50       | 51       | 40       | 48        | 70        | 95        |
| 17 | 49       | 76       | 72       | 83       | 71       | 98       | 83       | 56       | 55       | 76        | 97        | 81        |
| 18 | 83       | 67       | 49       | 57       | 64       | 102      | 81       | 47       | 45       | 49        | 83        | 97        |
| 19 | 63       | 65       | 59       | 65       | 95       | 104      | 66       | 46       | 34       | 45        | 87        | 66        |
| 20 | 69       | 86       | 61       | 73       | 93       | 107      | 70       | 64       | 53       | 79        | 92        | 109       |
| 21 | 94       | 78       | 56       | 76       | 111      | 134      | 94       | 58       | 53       | 73        | 96        | 131       |
| 22 | 95       | 86       | 68       | 73       | 94       | 144      | 115      | 46       | 43       | 60        | 103       | 108       |
| 23 | 82       | 80       | 61       | 64       | 64       | 86       | 108      | 61       | 51       | 75        | 111       | 68        |
| 24 |          |          |          |          |          |          |          |          |          |           |           |           |
|    |          |          |          |          |          |          |          |          |          |           |           |           |
| 25 | 92       | 90       | 68       | 75       | 94       | 139      | 113      | 46       | 43       | 59        | 108       | 110       |
| 26 | 95       | 74       | 66       | 60       | 97       | 115      | 95       | 49       | 46       | 72        | 115       | 81        |
| 27 |          |          |          |          |          |          |          |          |          |           |           |           |
|    |          |          |          |          |          |          |          |          |          |           |           |           |
| 28 | 72       | 72       | 80       | 80       | 78       | 113      | 93       | 53       | 46       | 59        | 89        | 116       |
| 29 | 36       | 41       | 5        | 56       | 72       | 125      | 107      | 66       | 50       | 54        | 66        | 39        |
| 30 | 135      | 98       | 75       | 84       | 107      | 150      | 82       | 43       | 48       | 60        | 97        | 128       |
| 31 |          |          |          |          |          |          |          |          |          |           |           |           |
|    |          |          |          |          |          |          |          |          |          |           |           |           |
| 32 |          |          |          |          |          |          |          |          |          |           |           |           |
|    |          |          |          |          |          |          |          |          |          |           |           |           |
| 33 |          |          |          |          |          |          |          |          |          |           |           |           |
|    |          |          |          |          |          |          |          |          |          |           |           |           |
| 34 | 60       | 59       | 37       | 51       | 52       | 55       | 75       | 60       | 44       | 58        | 76        | 87        |

DISTRIBUIÇÃO DOS DADOS INDIVIDUAIS DA ANÁLISE INTERSESSÃO DO GRUPO  
SAUDÁVEL NA PRIMEIRA SESSÃO

| No | Sinal<br>T1 | Espessura Media<br>T1 | Superior<br>T1 | Nasal<br>T1 | Inferior<br>T1 | Temporal<br>T1 |
|----|-------------|-----------------------|----------------|-------------|----------------|----------------|
| 35 | 9           | 92                    | 115            | 69          | 116            | 67             |
| 36 | 8           | 90                    | 125            | 69          | 115            | 60             |
| 37 | 8           | 93                    | 114            | 82          | 116            | 63             |
| 38 | 8           | 104                   | 121            | 99          | 134            | 61             |
| 39 | 9           | 77                    | 87             | 62          | 106            | 52             |
| 40 | 9           | 84                    | 99             | 75          | 110            | 54             |
| 41 | 9           | 95                    | 123            | 87          | 117            | 54             |
| 42 | 9           | 80                    | 102            | 58          | 102            | 59             |
| 43 | 8           | 107                   | 163            | 77          | 119            | 67             |
| 44 | 8           | 102                   | 130            | 60          | 123            | 95             |
| 45 | 8           | 90                    | 118            | 67          | 116            | 58             |
| 46 | 8           | 93                    | 120            | 65          | 113            | 73             |
| 47 | 8           | 75                    | 99             | 53          | 97             | 52             |
| 48 | 9           | 91                    | 131            | 65          | 108            | 61             |
| 49 | 9           | 104                   | 140            | 83          | 128            | 65             |
| 50 | 9           | 101                   | 123            | 86          | 125            | 72             |
| 51 | 8           | 106                   | 117            | 74          | 136            | 95             |
| 52 | 9           | 111                   | 170            | 58          | 143            | 72             |
| 53 | 7           | 101                   | 141            | 79          | 117            | 66             |
| 54 | 7           | 91                    | 123            | 78          | 100            | 63             |
| 55 | 8           | 110                   | 110            | 81          | 156            | 94             |
| 56 | 8           | 95                    | 120            | 65          | 131            | 65             |
| 57 | 7           | 107                   | 140            | 99          | 134            | 56             |
| 58 | 9           | 91                    | 119            | 54          | 126            | 67             |
| 59 | 8           | 111                   | 131            | 77          | 165            | 70             |
| 60 | 9           | 85                    | 109            | 63          | 115            | 53             |
| 61 | 9           | 116                   | 168            | 96          | 131            | 66             |
| 62 | 8           | 10                    | 121            | 73          | 159            | 67             |
| 63 | 8           | 104                   | 124            | 83          | 144            | 66             |
| 64 | 7           | 89                    | 103            | 86          | 109            | 57             |
| 65 | 8           | 101                   | 124            | 74          | 144            | 61             |
| 66 |             |                       | EXCLUÍDO       |             |                |                |
| 67 | 9           | 98                    | 147            | 63          | 117            | 64             |

DISTRIBUIÇÃO DOS DADOS INDIVIDUAIS DA ANÁLISE INTERSESSÃO DO GRUPO  
SAUDÁVEL NA PRIMEIRA SESSÃO

| No | H1<br>T1 | H2<br>T1 | H3<br>T1 | H4<br>T1 | H5<br>T1 | H6<br>T1 | H7<br>T1 | H8<br>T1 | H9<br>T1 | H10<br>T1 | H11<br>T1 | H12<br>T1 |
|----|----------|----------|----------|----------|----------|----------|----------|----------|----------|-----------|-----------|-----------|
| 35 | 107      | 68       | 61       | 76       | 93       | 121      | 135      | 62       | 56       | 83        | 128       | 111       |
| 36 | 112      | 73       | 75       | 60       | 98       | 126      | 121      | 55       | 37       | 60        | 122       | 141       |
| 37 | 93       | 97       | 71       | 76       | 87       | 131      | 130      | 61       | 46       | 61        | 138       | 109       |
| 38 | 86       | 130      | 79       | 87       | 117      | 136      | 149      | 64       | 45       | 75        | 135       | 142       |
| 39 | 71       | 81       | 48       | 59       | 85       | 124      | 109      | 49       | 45       | 61        | 97        | 91        |
| 40 | 72       | 70       | 75       | 80       | 92       | 125      | 113      | 51       | 45       | 66        | 130       | 95        |
| 41 | 98       | 101      | 77       | 83       | 93       | 140      | 120      | 53       | 37       | 74        | 156       | 114       |
| 42 | 94       | 82       | 43       | 48       | 82       | 109      | 115      | 58       | 47       | 73        | 133       | 78        |
| 43 | 173      | 81       | 60       | 89       | 109      | 103      | 146      | 84       | 46       | 72        | 125       | 193       |
| 44 | 107      | 75       | 49       | 54       | 82       | 113      | 174      | 95       | 68       | 122       | 176       | 106       |
| 45 | 106      | 75       | 46       | 79       | 110      | 140      | 99       | 53       | 51       | 69        | 113       | 134       |
| 46 | 101      | 79       | 48       | 67       | 79       | 107      | 153      | 71       | 57       | 92        | 163       | 96        |
| 47 | 93       | 65       | 38       | 55       | 80       | 100      | 111      | 54       | 41       | 62        | 102       | 103       |
| 48 | 106      | 72       | 55       | 69       | 84       | 94       | 145      | 72       | 44       | 68        | 142       | 145       |
| 49 | 126      | 110      | 64       | 73       | 111      | 133      | 140      | 69       | 54       | 72        | 125       | 168       |
| 50 | 104      | 105      | 75       | 77       | 99       | 135      | 141      | 77       | 55       | 85        | 140       | 124       |
| 51 | 127      | 96       | 60       | 67       | 111      | 141      | 157      | 90       | 125      | 72        | 77        | 146       |
| 52 | 174      | 72       | 42       | 61       | 119      | 152      | 158      | 81       | 60       | 76        | 104       | 233       |
| 53 | 117      | 113      | 64       | 59       | 75       | 128      | 147      | 83       | 43       | 72        | 153       | 152       |
| 54 | 103      | 94       | 61       | 79       | 81       | 101      | 117      | 62       | 51       | 76        | 122       | 145       |
| 55 | 98       | 120      | 64       | 59       | 125      | 173      | 169      | 97       | 75       | 109       | 145       | 88        |
| 56 | 107      | 77       | 52       | 64       | 105      | 135      | 152      | 74       | 46       | 75        | 111       | 141       |
| 57 | 142      | 108      | 92       | 96       | 121      | 148      | 133      | 59       | 38       | 70        | 115       | 163       |
| 58 | 107      | 73       | 43       | 4        | 100      | 135      | 142      | 59       | 60       | 82        | 162       | 90        |
| 59 | 123      | 103      | 63       | 66       | 138      | 206      | 150      | 70       | 56       | 84        | 110       | 161       |
| 60 | 85       | 71       | 48       | 69       | 89       | 135      | 122      | 53       | 43       | 64        | 119       | 123       |
| 61 | 149      | 98       | 73       | 119      | 127      | 141      | 127      | 67       | 49       | 83        | 162       | 193       |
| 62 | 116      | 75       | 69       | 76       | 157      | 200      | 121      | 64       | 62       | 76        | 121       | 127       |
| 63 | 87       | 94       | 63       | 91       | 127      | 156      | 149      | 80       | 45       | 74        | 143       | 142       |
| 64 | 94       | 98       | 64       | 95       | 76       | 104      | 146      | 64       | 39       | 67        | 112       | 102       |
| 65 | 115      | 93       | 68       | 60       | 107      | 167      | 159      | 70       | 46       | 65        | 123       | 133       |
| 66 |          |          |          |          |          |          | EXCLUÍDO |          |          |           |           |           |
| 67 | 128      | 81       | 46       | 63       | 106      | 107      | 139      | 61       | 52       | 80        | 129       | 186       |

DISTRIBUIÇÃO DOS DADOS INDIVIDUAIS DA ANÁLISE INTERSESSÃO DO GRUPO  
SAUDÁVEL NA SEGUNDA SESSÃO

| No | Sinal<br>T2 | Espessura Media<br>T2 | Superior<br>T2 | Nasal<br>T2 | Inferior<br>T2 | Temporal<br>T2 |  |
|----|-------------|-----------------------|----------------|-------------|----------------|----------------|--|
| 35 | 9           | 89                    | 110            | 72          | 112            | 62             |  |
| 36 | 8           | 90                    | 111            | 66          | 123            | 61             |  |
| 37 | 8           | 92                    | 110            | 82          | 105            | 70             |  |
| 38 | 9           | 110                   | 127            | 100         | 152            | 62             |  |
| 39 | 9           | 79                    | 84             | 64          | 116            | 52             |  |
| 40 | 9           | 84                    | 96             | 77          | 112            | 51             |  |
| 41 | 9           | 96                    | 124            | 87          | 117            | 56             |  |
| 42 | 9           | 82                    | 103            | 59          | 107            | 60             |  |
| 43 | 8           | 110                   | 156            | 77          | 138            | 70             |  |
| 44 | 8           | 102                   | 132            | 58          | 125            | 92             |  |
| 45 | 8           | 87                    | 116            | 66          | 111            | 56             |  |
| 46 | 9           | 93                    | 117            | 65          | 116            | 75             |  |
| 47 | 9           | 76                    | 102            | 57          | 93             | 53             |  |
| 48 | 8           | 91                    | 133            | 65          | 104            | 62             |  |
| 49 | 8           | 103                   | 139            | 75          | 133            | 64             |  |
| 50 | 9           | 102                   | 126            | 85          | 125            | 74             |  |
| 51 | 7           | 95                    | 110            | 70          | 119            | 81             |  |
| 52 | 8           | 104                   | 154            | 58          | 135            | 69             |  |
| 53 | 8           | 102                   | 141            | 77          | 125            | 66             |  |
| 54 | 8           | 93                    | 125            | 80          | 100            | 67             |  |
| 55 | 9           | 110                   | 105            | 86          | 162            | 87             |  |
| 56 | 10          | 98                    | 123            | 67          | 133            | 68             |  |
| 57 | 9           | 108                   | 139            | 99          | 137            | 58             |  |
| 58 | 8           | 91                    | 111            | 58          | 124            | 68             |  |
| 59 | 8           | 110                   | 136            | 76          | 158            | 70             |  |
| 60 | 9           | 89                    | 115            | 64          | 122            | 54             |  |
| 61 | 9           | 111                   | 169            | 77          | 124            | 75             |  |
| 62 | 9           | 108                   | 121            | 77          | 165            | 67             |  |
| 63 | 9           | 104                   | 146            | 82          | 117            | 71             |  |
| 64 | 8           | 89                    | 97             | 84          | 111            | 62             |  |
| 65 | 9           | 102                   | 134            | 77          | 136            | 61             |  |
| 66 |             |                       | EXCLUÍDO       |             |                |                |  |
| 67 | 8           | 91                    | 111            | 58          | 124            | 68             |  |

DISTRIBUIÇÃO DOS DADOS INDIVIDUAIS DA ANÁLISE INTERSESSÃO DO GRUPO  
SAUDÁVEL NA SEGUNDA SESSÃO

| No | H1<br>T2 | H2<br>T2 | H3<br>T2 | H4<br>T2 | H5<br>T2 | H6<br>T2 | H7<br>T2 | H8<br>T2 | H9<br>T2 | H10<br>T2 | H11<br>T2 | H12<br>T2 |
|----|----------|----------|----------|----------|----------|----------|----------|----------|----------|-----------|-----------|-----------|
| 35 | 109      | 70       | 62       | 84       | 90       | 126      | 120      | 55       | 55       | 75        | 115       | 104       |
| 36 | 76       | 67       | 69       | 63       | 98       | 138      | 133      | 58       | 45       | 80        | 138       | 117       |
| 37 | 97       | 100      | 73       | 74       | 73       | 113      | 129      | 75       | 50       | 84        | 133       | 100       |
| 38 | 75       | 127      | 87       | 86       | 36       | 160      | 161      | 55       | 49       | 80        | 153       | 153       |
| 39 | 74       | 85       | 58       | 48       | 88       | 136      | 123      | 51       | 46       | 59        | 92        | 87        |
| 40 | 72       | 70       | 80       | 81       | 100      | 125      | 110      | 50       | 42       | 62        | 117       | 99        |
| 41 | 105      | 105      | 73       | 84       | 88       | 133      | 132      | 54       | 39       | 76        | 149       | 119       |
| 42 | 82       | 87       | 43       | 47       | 83       | 114      | 123      | 60       | 46       | 72        | 126       | 100       |
| 43 | 161      | 88       | 64       | 81       | 127      | 126      | 161      | 83       | 53       | 75        | 138       | 169       |
| 44 | 109      | 71       | 48       | 55       | 85       | 118      | 174      | 91       | 69       | 117       | 181       | 105       |
| 45 | 104      | 74       | 47       | 78       | 105      | 132      | 95       | 50       | 47       | 70        | 108       | 136       |
| 46 | 94       | 73       | 49       | 72       | 82       | 120      | 145      | 68       | 60       | 96        | 165       | 91        |
| 47 | 95       | 74       | 41       | 58       | 80       | 94       | 105      | 53       | 42       | 63        | 97        | 114       |
| 48 | 107      | 75       | 54       | 67       | 83       | 94       | 136      | 73       | 44       | 68        | 146       | 145       |
| 49 | 137      | 101      | 59       | 67       | 113      | 144      | 143      | 66       | 56       | 69        | 129       | 153       |
| 50 | 107      | 105      | 75       | 75       | 94       | 132      | 150      | 80       | 55       | 86        | 139       | 132       |
| 51 | 101      | 84       | 58       | 68       | 109      | 127      | 121      | 81       | 100      | 62        | 88        | 141       |
| 52 | 172      | 74       | 46       | 54       | 115      | 142      | 147      | 78       | 59       | 70        | 92        | 199       |
| 53 | 117      | 104      | 58       | 68       | 83       | 136      | 155      | 73       | 44       | 81        | 165       | 140       |
| 54 | 107      | 99       | 61       | 80       | 75       | 97       | 127      | 67       | 54       | 78        | 122       | 148       |
| 55 | 90       | 118      | 74       | 66       | 140      | 184      | 163      | 84       | 71       | 107       | 137       | 87        |
| 56 | 114      | 82       | 55       | 63       | 108      | 134      | 157      | 83       | 47       | 75        | 112       | 144       |
| 57 | 139      | 113      | 90       | 94       | 121      | 148      | 143      | 62       | 42       | 71        | 119       | 160       |
| 58 | 97       | 80       | 54       | 42       | 94       | 132      | 147      | 68       | 58       | 78        | 148       | 89        |
| 59 | 132      | 98       | 64       | 66       | 133      | 195      | 145      | 70       | 56       | 84        | 115       | 160       |
| 60 | 79       | 70       | 50       | 71       | 94       | 148      | 123      | 52       | 43       | 67        | 133       | 133       |
| 61 | 161      | 93       | 61       | 78       | 103      | 129      | 139      | 87       | 57       | 82        | 150       | 197       |
| 62 | 118      | 81       | 69       | 81       | 172      | 202      | 121      | 63       | 60       | 79        | 119       | 127       |
| 63 | 118      | 89       | 58       | 98       | 84       | 124      | 144      | 97       | 46       | 71        | 146       | 172       |
| 64 | 83       | 91       | 63       | 97       | 80       | 103      | 151      | 70       | 41       | 75        | 113       | 94        |
| 65 | 130      | 98       | 68       | 65       | 100      | 159      | 151      | 68       | 47       | 68        | 128       | 144       |
| 66 |          |          |          |          |          |          |          |          |          |           |           |           |
|    |          |          |          |          |          |          |          |          |          |           |           |           |
| 67 | 107      | 99       | 61       | 80       | 75       | 97       | 127      | 67       | 54       | 78        | 122       | 148       |

DISTRIBUIÇÃO DOS DADOS INDIVIDUAIS DA ANÁLISE INTERSESSÃO DO GRUPO  
SAUDÁVEL NA TERCEIRA SESSÃO

| No | Sinal<br>T3 | Espessura Media<br>T3 | Superior<br>T3 | Nasal<br>T3 | Inferior<br>T3 | Temporal<br>T3 |  |
|----|-------------|-----------------------|----------------|-------------|----------------|----------------|--|
| 35 | 10          | 90                    | 111            | 70          | 117            | 63             |  |
| 36 | 8           | 88                    | 118            | 68          | 113            | 53             |  |
| 37 | 9           | 93                    | 114            | 84          | 111            | 62             |  |
| 38 | 9           | 107                   | 129            | 96          | 143            | 62             |  |
| 39 | 10          | 80                    | 92             | 66          | 109            | 54             |  |
| 40 | 8           | 83                    | 97             | 73          | 111            | 53             |  |
| 41 | 8           | 96                    | 120            | 89          | 121            | 56             |  |
| 42 | 8           | 79                    | 100            | 57          | 101            | 58             |  |
| 43 | 8           | 109                   | 157            | 74          | 136            | 68             |  |
| 44 | 8           | 100                   | 128            | 54          | 120            | 99             |  |
| 45 | 9           | 87                    | 116            | 67          | 110            | 57             |  |
| 46 | 9           | 92                    | 117            | 65          | 113            | 73             |  |
| 47 | 9           | 74                    | 99             | 55          | 88             | 53             |  |
| 48 | 9           | 93                    | 126            | 66          | 112            | 69             |  |
| 49 | 8           | 97                    | 126            | 72          | 129            | 63             |  |
| 50 | 8           | 103                   | 124            | 90          | 123            | 73             |  |
| 51 | 8           | 98                    | 112            | 74          | 124            | 82             |  |
| 52 | 8           | 103                   | 157            | 57          | 128            | 69             |  |
| 53 | 8           | 101                   | 136            | 77          | 126            | 63             |  |
| 54 | 8           | 93                    | 126            | 82          | 100            | 65             |  |
| 55 | 9           | 111                   | 157            | 81          | 117            | 88             |  |
| 56 | 9           | 96                    | 120            | 66          | 129            | 68             |  |
| 57 | 8           | 110                   | 139            | 101         | 143            | 55             |  |
| 58 | 7           | 88                    | 106            | 56          | 126            | 64             |  |
| 59 | 9           | 111                   | 133            | 75          | 166            | 71             |  |
| 60 | 10          | 92                    | 118            | 67          | 126            | 58             |  |
| 61 | 9           | 115                   | 159            | 78          | 141            | 81             |  |
| 62 | 9           | 112                   | 124            | 88          | 170            | 64             |  |
| 63 | 10          | 105                   | 125            | 87          | 145            | 64             |  |
| 64 | 7           | 86                    | 96             | 82          | 107            | 59             |  |
| 65 | 10          | 102                   | 130            | 77          | 126            | 61             |  |
| 66 |             |                       | EXCLUÍDO       |             |                |                |  |
| 67 | 9           | 91                    | 101            | 58          | 120            | 69             |  |

DISTRIBUIÇÃO DOS DADOS INDIVIDUAIS DA ANÁLISE INTERSESSÃO DO GRUPO  
SAUDÁVEL NA TERCEIRA SESSÃO

| No | H1<br>T3 | H2<br>T3 | H3<br>T3 | H4<br>T3 | H5<br>T3 | H6<br>T3 | H7<br>T3 | H8<br>T3 | H9<br>T3 | H10<br>T3 | H11<br>T3 | H12<br>T3 |
|----|----------|----------|----------|----------|----------|----------|----------|----------|----------|-----------|-----------|-----------|
| 35 | 110      | 71       | 60       | 78       | 89       | 131      | 131      | 57       | 54       | 78        | 111       | 110       |
| 36 | 98       | 68       | 74       | 62       | 98       | 126      | 115      | 54       | 40       | 66        | 129       | 128       |
| 37 | 98       | 96       | 73       | 82       | 86       | 127      | 120      | 56       | 48       | 81        | 136       | 109       |
| 38 | 85       | 125      | 80       | 84       | 125      | 145      | 158      | 60       | 47       | 79        | 151       | 151       |
| 39 | 80       | 87       | 57       | 53       | 81       | 123      | 122      | 55       | 46       | 61        | 104       | 92        |
| 40 | 73       | 68       | 75       | 75       | 92       | 126      | 115      | 52       | 44       | 62        | 119       | 100       |
| 41 | 107      | 108      | 72       | 86       | 93       | 142      | 128      | 54       | 38       | 74        | 141       | 113       |
| 42 | 84       | 77       | 45       | 48       | 81       | 106      | 117      | 57       | 47       | 71        | 123       | 91        |
| 43 | 162      | 86       | 57       | 78       | 122      | 122      | 163      | 81       | 50       | 73        | 136       | 171       |
| 44 | 106      | 63       | 44       | 56       | 82       | 108      | 172      | 96       | 74       | 127       | 174       | 102       |
| 45 | 102      | 76       | 49       | 75       | 101      | 132      | 96       | 52       | 48       | 69        | 109       | 136       |
| 46 | 95       | 77       | 51       | 68       | 81       | 105      | 153      | 72       | 57       | 90        | 163       | 94        |
| 47 | 82       | 63       | 44       | 59       | 72       | 89       | 104      | 56       | 42       | 62        | 103       | 112       |
| 48 | 95       | 79       | 58       | 62       | 88       | 97       | 152      | 87       | 47       | 73        | 153       | 131       |
| 49 | 123      | 95       | 57       | 63       | 98       | 138      | 150      | 65       | 54       | 70        | 122       | 135       |
| 50 | 108      | 111      | 81       | 77       | 93       | 130      | 145      | 81       | 57       | 82        | 134       | 131       |
| 51 | 107      | 94       | 60       | 68       | 114      | 129      | 131      | 81       | 100      | 65        | 85        | 146       |
| 52 | 170      | 71       | 45       | 54       | 107      | 136      | 142      | 79       | 59       | 70        | 96        | 207       |
| 53 | 115      | 107      | 58       | 66       | 88       | 137      | 152      | 70       | 43       | 77        | 157       | 136       |
| 54 | 110      | 102      | 62       | 81       | 80       | 102      | 119      | 63       | 55       | 79        | 125       | 144       |
| 55 | 166      | 110      | 62       | 72       | 89       | 97       | 164      | 122      | 61       | 80        | 145       | 159       |
| 56 | 110      | 79       | 59       | 60       | 102      | 130      | 157      | 87       | 44       | 72        | 106       | 145       |
| 57 | 158      | 128      | 88       | 88       | 122      | 154      | 152      | 58       | 39       | 69        | 112       | 147       |
| 58 | 94       | 85       | 45       | 40       | 96       | 133      | 149      | 65       | 56       | 72        | 134       | 90        |
| 59 | 129      | 100      | 64       | 62       | 135      | 199      | 162      | 70       | 56       | 87        | 118       | 153       |
| 60 | 87       | 78       | 52       | 70       | 96       | 144      | 138      | 56       | 45       | 73        | 140       | 128       |
| 61 | 142      | 87       | 64       | 81       | 120      | 147      | 157      | 92       | 63       | 88        | 163       | 173       |
| 62 | 117      | 82       | 74       | 107      | 208      | 199      | 103      | 53       | 62       | 79        | 123       | 134       |
| 63 | 88       | 98       | 66       | 97       | 128      | 154      | 152      | 77       | 43       | 73        | 134       | 151       |
| 64 | 88       | 94       | 60       | 92       | 73       | 106      | 143      | 63       | 41       | 72        | 108       | 92        |
| 65 | 120      | 98       | 68       | 70       | 100      | 159      | 151      | 68       | 47       | 68        | 128       | 145       |
| 66 |          |          |          |          |          |          |          |          |          |           |           |           |
|    |          |          |          |          |          |          |          |          |          |           |           |           |
| 67 | 109      | 99       | 70       | 80       | 75       | 97       | 127      | 67       | 54       | 78        | 122       | 150       |

DISTRIBUIÇÃO DOS DADOS INDIVIDUAIS DA ANÁLISE INTERSESSÃO DO GRUPO  
SAUDÁVEL NA QUARTA SESSÃO

| No | Sinal<br>T4 | Espessura Media<br>T4 | Superior<br>T4 | Nasal<br>T4 | Inferior<br>T4 | Temporal<br>T4 |  |
|----|-------------|-----------------------|----------------|-------------|----------------|----------------|--|
| 35 | 8           | 90                    | 111            | 70          | 112            | 66             |  |
| 36 | 8           | 91                    | 125            | 68          | 115            | 54             |  |
| 37 | 8           | 91                    | 107            | 83          | 113            | 62             |  |
| 38 | 9           | 106                   | 122            | 95          | 146            | 60             |  |
| 39 | 9           | 78                    | 88             | 63          | 106            | 53             |  |
| 40 | 8           | 81                    | 95             | 74          | 104            | 52             |  |
| 41 | 7           | 98                    | 123            | 86          | 127            | 56             |  |
| 42 | 8           | 80                    | 101            | 54          | 107            | 59             |  |
| 43 | 9           | 107                   | 173            | 73          | 110            | 72             |  |
| 44 | 9           | 102                   | 131            | 62          | 125            | 92             |  |
| 45 | 9           | 88                    | 125            | 64          | 106            | 57             |  |
| 46 | 7           | 93                    | 119            | 63          | 118            | 73             |  |
| 47 | 8           | 73                    | 99             | 54          | 85             | 53             |  |
| 48 | 9           | 90                    | 131            | 63          | 107            | 60             |  |
| 49 | 9           | 101                   | 126            | 81          | 135            | 63             |  |
| 50 | 8           | 100                   | 124            | 81          | 123            | 70             |  |
| 51 | 7           | 97                    | 107            | 71          | 124            | 88             |  |
| 52 | 9           | 105                   | 160            | 56          | 134            | 72             |  |
| 53 | 9           | 102                   | 140            | 81          | 121            | 65             |  |
| 54 | 8           | 92                    | 122            | 81          | 102            | 65             |  |
| 55 | 9           | 111                   | 136            | 84          | 135            | 89             |  |
| 56 | 9           | 94                    | 116            | 64          | 126            | 69             |  |
| 57 | 8           | 110                   | 143            | 98          | 141            | 57             |  |
| 58 | 7           | 91                    | 110            | 60          | 126            | 67             |  |
| 59 | 9           | 112                   | 137            | 77          | 164            | 71             |  |
| 60 | 9           | 84                    | 103            | 62          | 116            | 54             |  |
| 61 | 9           | 113                   | 169            | 82          | 126            | 76             |  |
| 62 | 9           | 105                   | 125            | 75          | 156            | 65             |  |
| 63 | 8           | 104                   | 116            | 89          | 146            | 65             |  |
| 64 | 9           | 86                    | 99             | 82          | 109            | 65             |  |
| 65 | 10          | 105                   | 133            | 77          | 130            | 61             |  |
| 66 |             |                       | EXCLUÍDO       |             |                |                |  |
| 67 | 8           | 91                    | 101            | 59          | 123            | 72             |  |

DISTRIBUIÇÃO DOS DADOS INDIVIDUAIS DA ANÁLISE INTERSESSÃO DO GRUPO  
SAUDÁVEL NA QUARTA SESSÃO

| No | H1<br>T4 | H2<br>T4 | H3<br>T4 | H4<br>T4 | H5<br>T4 | H6<br>T4 | H7<br>T4 | H8<br>T4 | H9<br>T4 | H10<br>T4 | H11<br>T4 | H12<br>T4 |
|----|----------|----------|----------|----------|----------|----------|----------|----------|----------|-----------|-----------|-----------|
| 35 | 108      | 71       | 62       | 77       | 90       | 123      | 124      | 57       | 59       | 82        | 109       | 115       |
| 36 | 103      | 72       | 71       | 62       | 98       | 126      | 120      | 55       | 38       | 69        | 135       | 138       |
| 37 | 93       | 98       | 72       | 79       | 87       | 129      | 123      | 59       | 46       | 81        | 130       | 98        |
| 38 | 76       | 121      | 90       | 75       | 120      | 151      | 167      | 63       | 44       | 73        | 133       | 156       |
| 39 | 71       | 88       | 52       | 49       | 81       | 117      | 121      | 55       | 46       | 60        | 94        | 98        |
| 40 | 78       | 78       | 70       | 72       | 85       | 118      | 107      | 47       | 46       | 64        | 115       | 91        |
| 41 | 101      | 107      | 72       | 80       | 92       | 153      | 136      | 54       | 40       | 73        | 147       | 120       |
| 42 | 80       | 76       | 39       | 46       | 87       | 115      | 118      | 57       | 47       | 72        | 128       | 96        |
| 43 | 186      | 82       | 56       | 82       | 98       | 94       | 138      | 96       | 48       | 72        | 124       | 209       |
| 44 | 111      | 77       | 52       | 55       | 86       | 114      | 174      | 94       | 68       | 113       | 177       | 104       |
| 45 | 108      | 72       | 47       | 72       | 96       | 122      | 101      | 54       | 46       | 72        | 120       | 147       |
| 46 | 97       | 74       | 48       | 67       | 79       | 129      | 145      | 67       | 59       | 94        | 166       | 94        |
| 47 | 85       | 62       | 41       | 57       | 69       | 85       | 100      | 55       | 41       | 62        | 99        | 113       |
| 48 | 102      | 68       | 55       | 66       | 86       | 94       | 142      | 72       | 43       | 66        | 145       | 144       |
| 49 | 135      | 110      | 66       | 68       | 108      | 149      | 147      | 64       | 55       | 70        | 113       | 132       |
| 50 | 107      | 101      | 74       | 69       | 92       | 134      | 143      | 72       | 53       | 84        | 137       | 129       |
| 51 | 110      | 88       | 58       | 66       | 109      | 123      | 138      | 81       | 113      | 68        | 76        | 134       |
| 52 | 165      | 67       | 44       | 58       | 111      | 140      | 150      | 83       | 59       | 73        | 100       | 216       |
| 53 | 117      | 113      | 62       | 68       | 82       | 131      | 151      | 76       | 43       | 77        | 157       | 146       |
| 54 | 104      | 100      | 61       | 81       | 80       | 97       | 128      | 68       | 52       | 75        | 122       | 139       |
| 55 | 125      | 124      | 64       | 66       | 106      | 124      | 174      | 110      | 63       | 94        | 159       | 124       |
| 56 | 110      | 78       | 54       | 59       | 103      | 124      | 151      | 87       | 49       | 70        | 102       | 137       |
| 57 | 156      | 124      | 80       | 89       | 119      | 159      | 144      | 61       | 41       | 70        | 113       | 161       |
| 58 | 102      | 86       | 52       | 41       | 92       | 130      | 155      | 69       | 58       | 74        | 134       | 95        |
| 59 | 141      | 107      | 62       | 61       | 136      | 199      | 155      | 74       | 56       | 82        | 112       | 159       |
| 60 | 76       | 69       | 49       | 68       | 91       | 135      | 123      | 56       | 43       | 63        | 115       | 118       |
| 61 | 165      | 95       | 61       | 91       | 109      | 127      | 142      | 91       | 56       | 81        | 145       | 197       |
| 62 | 117      | 82       | 67       | 76       | 148      | 188      | 131      | 68       | 55       | 73        | 119       | 139       |
| 63 | 78       | 100      | 66       | 101      | 130      | 156      | 151      | 75       | 44       | 77        | 142       | 129       |
| 64 | 88       | 97       | 60       | 92       | 73       | 106      | 143      | 63       | 41       | 72        | 108       | 92        |
| 65 | 129      | 98       | 68       | 70       | 100      | 159      | 150      | 68       | 47       | 68        | 105       | 147       |
| 66 |          |          |          |          |          |          |          |          |          |           |           |           |
|    |          |          |          |          |          |          |          |          |          |           |           |           |
| 67 | 106      | 89       | 70       | 80       | 75       | 97       | 125      | 67       | 54       | 78        | 119       | 145       |

DISTRIBUIÇÃO DOS DADOS INDIVIDUAIS DA ANÁLISE INTERSESSÃO DO GRUPO  
SAUDÁVEL NA QUINTA SESSÃO

| No | Sinal<br>T5 | Espessura Media<br>T5 | Superior<br>T5 | Nasal<br>T5 | Inferior<br>T5 | Temporal<br>T5 |  |
|----|-------------|-----------------------|----------------|-------------|----------------|----------------|--|
| 35 | 8           | 90                    | 116            | 71          | 111            | 64             |  |
| 36 | 8           | 89                    | 123            | 69          | 114            | 52             |  |
| 37 | 8           | 94                    | 115            | 85          | 117            | 60             |  |
| 38 | 9           | 107                   | 129            | 92          | 145            | 61             |  |
| 39 | 9           | 77                    | 87             | 62          | 104            | 56             |  |
| 40 | 9           | 83                    | 100            | 73          | 108            | 52             |  |
| 41 | 7           | 94                    | 121            | 86          | 115            | 54             |  |
| 42 | 9           | 80                    | 102            | 57          | 104            | 59             |  |
| 43 | 8           | 108                   | 156            | 71          | 137            | 69             |  |
| 44 | 8           | 100                   | 130            | 59          | 122            | 89             |  |
| 45 | 8           | 88                    | 188            | 66          | 114            | 56             |  |
| 46 | 8           | 93                    | 120            | 66          | 112            | 73             |  |
| 47 | 8           | 72                    | 95             | 52          | 88             | 55             |  |
| 48 | 8           | 95                    | 132            | 70          | 112            | 64             |  |
| 49 | 8           | 99                    | 127            | 77          | 128            | 62             |  |
| 50 | 9           | 104                   | 129            | 86          | 129            | 71             |  |
| 51 | 8           | 103                   | 113            | 69          | 135            | 95             |  |
| 52 | 9           | 110                   | 167            | 56          | 144            | 71             |  |
| 53 | 8           | 101                   | 137            | 79          | 123            | 64             |  |
| 54 | 7           | 91                    | 120            | 83          | 97             | 66             |  |
| 55 | 8           | 111                   | 129            | 84          | 142            | 88             |  |
| 56 | 10          | 96                    | 122            | 66          | 128            | 67             |  |
| 57 | 8           | 110                   | 145            | 99          | 138            | 57             |  |
| 58 | 7           | 88                    | 104            | 58          | 121            | 69             |  |
| 59 | 9           | 114                   | 139            | 79          | 165            | 72             |  |
| 60 | 9           | 91                    | 115            | 67          | 125            | 55             |  |
| 61 | 9           | 113                   | 165            | 81          | 125            | 80             |  |
| 62 | 9           | 108                   | 124            | 77          | 165            | 67             |  |
| 63 | 8           | 106                   | 117            | 83          | 157            | 69             |  |
| 64 | 7           | 83                    | 99             | 82          | 110            | 64             |  |
| 65 | 9           | 103                   | 133            | 77          | 129            | 67             |  |
| 66 |             |                       | EXCLUÍDO       |             |                |                |  |
| 67 | 8           | 92                    | 101            | 59          | 125            | 70             |  |

DISTRIBUIÇÃO DOS DADOS INDIVIDUAIS DA ANÁLISE INTERSESSÃO DO GRUPO  
SAUDÁVEL NA QUINTA SESSÃO

| No | H1<br>T5 | H2<br>T5 | H3<br>T5 | H4<br>T5 | H5<br>T5 | H6<br>T5 | H7<br>T5 | H8<br>T5 | H9<br>T5 | H10<br>T5 | H11<br>T5 | H12<br>T5 |
|----|----------|----------|----------|----------|----------|----------|----------|----------|----------|-----------|-----------|-----------|
| 35 | 112      | 66       | 62       | 83       | 84       | 122      | 128      | 59       | 54       | 78        | 124       | 110       |
| 36 | 108      | 73       | 72       | 60       | 102      | 123      | 116      | 52       | 38       | 65        | 129       | 133       |
| 37 | 97       | 105      | 73       | 77       | 91       | 133      | 127      | 57       | 48       | 77        | 135       | 112       |
| 38 | 89       | 128      | 78       | 68       | 119      | 153      | 164      | 60       | 46       | 76        | 143       | 154       |
| 39 | 71       | 85       | 54       | 46       | 84       | 111      | 117      | 59       | 47       | 61        | 93        | 98        |
| 40 | 75       | 65       | 75       | 78       | 92       | 126      | 106      | 49       | 43       | 64        | 118       | 106       |
| 41 | 100      | 97       | 74       | 86       | 93       | 136      | 115      | 51       | 38       | 73        | 146       | 116       |
| 42 | 82       | 78       | 42       | 50       | 87       | 109      | 117      | 58       | 48       | 71        | 127       | 98        |
| 43 | 164      | 89       | 51       | 73       | 122      | 126      | 162      | 83       | 52       | 74        | 134       | 169       |
| 44 | 113      | 72       | 47       | 58       | 85       | 117      | 163      | 83       | 69       | 113       | 172       | 104       |
| 45 | 104      | 75       | 47       | 77       | 106      | 137      | 98       | 51       | 49       | 69        | 112       | 136       |
| 46 | 96       | 75       | 50       | 72       | 78       | 106      | 152      | 70       | 56       | 93        | 165       | 97        |
| 47 | 80       | 59       | 40       | 56       | 69       | 92       | 103      | 54       | 43       | 67        | 106       | 98        |
| 48 | 112      | 80       | 57       | 73       | 89       | 101      | 146      | 75       | 45       | 72        | 145       | 140       |
| 49 | 127      | 107      | 57       | 66       | 102      | 138      | 144      | 62       | 55       | 69        | 119       | 136       |
| 50 | 111      | 111      | 74       | 72       | 102      | 137      | 148      | 77       | 52       | 84        | 143       | 134       |
| 51 | 111      | 84       | 57       | 66       | 113      | 137      | 154      | 96       | 117      | 71        | 84        | 146       |
| 52 | 176      | 68       | 44       | 57       | 116      | 159      | 156      | 78       | 59       | 76        | 104       | 220       |
| 53 | 113      | 106      | 61       | 70       | 85       | 136      | 149      | 74       | 43       | 75        | 154       | 144       |
| 54 | 97       | 103      | 63       | 82       | 80       | 95       | 118      | 67       | 52       | 78        | 119       | 143       |
| 55 | 123      | 120      | 65       | 66       | 109      | 141      | 176      | 106      | 65       | 92        | 150       | 115       |
| 56 | 107      | 76       | 54       | 68       | 105      | 130      | 149      | 73       | 46       | 81        | 118       | 142       |
| 57 | 155      | 115      | 91       | 91       | 119      | 152      | 142      | 61       | 40       | 70        | 112       | 168       |
| 58 | 97       | 85       | 49       | 41       | 84       | 125      | 153      | 77       | 56       | 76        | 131       | 84        |
| 59 | 137      | 108      | 62       | 67       | 146      | 207      | 141      | 70       | 58       | 88        | 118       | 161       |
| 60 | 84       | 81       | 50       | 72       | 101      | 143      | 132      | 57       | 43       | 65        | 131       | 130       |
| 61 | 159      | 97       | 61       | 86       | 102      | 126      | 146      | 100      | 59       | 81        | 139       | 197       |
| 62 | 127      | 82       | 69       | 79       | 174      | 201      | 119      | 61       | 61       | 78        | 126       | 120       |
| 63 | 79       | 94       | 70       | 83       | 140      | 170      | 160      | 82       | 46       | 80        | 133       | 139       |
| 64 | 88       | 97       | 60       | 94       | 73       | 105      | 143      | 63       | 50       | 70        | 108       | 94        |
| 65 | 125      | 98       | 68       | 70       | 100      | 159      | 150      | 68       | 48       | 68        | 105       | 148       |
| 66 |          |          |          |          |          |          | EXCLUÍDO |          |          |           |           |           |
| 67 | 104      | 89       | 70       | 83       | 75       | 99       | 125      | 67       | 55       | 78        | 119       | 150       |

DISTRIBUIÇÃO DOS DADOS INDIVIDUAIS NA ANÁLISE INTEREXAMINADOR NO  
GRUPO GLAUCOMA DO EXAMINADOR 1

| No | Sinal<br>T1 | Espessura Media<br>T1 | Superior<br>T1 | Nasal<br>T1 | Inferior<br>T1 | Temporal<br>T1 |
|----|-------------|-----------------------|----------------|-------------|----------------|----------------|
| 1  |             |                       | EXCLUÍDO       |             |                |                |
| 2  |             |                       | EXCLUÍDO       |             |                |                |
| 3  |             |                       | EXCLUÍDO       |             |                |                |
| 4  | 7           | 50                    | 54             | 56          | 51             | 40             |
| 5  |             |                       | EXCLUÍDO       |             |                |                |
| 6  | 8           | 90                    | 102            | 65          | 116            | 75             |
| 7  |             |                       | EXCLUÍDO       |             |                |                |
| 8  | 9           | 54                    | 62             | 52          | 99             | 52             |
| 9  | 7           | 74                    | 74             | 65          | 99             | 56             |
| 10 | 9           | 93                    | 111            | 63          | 138            | 58             |
| 11 |             |                       | EXCLUÍDO       |             |                |                |
| 12 | 8           | 63                    | 64             | 57          | 60             | 70             |
| 13 | 7           | 80                    | 98             | 63          | 110            | 51             |
| 14 |             |                       | EXCLUÍDO       |             |                |                |
| 15 |             |                       | EXCLUÍDO       |             |                |                |
| 16 | 8           | 70                    | 91             | 58          | 82             | 48             |
| 17 |             |                       | EXCLUÍDO       |             |                |                |
| 18 | 8           | 69                    | 88             | 6           | 84             | 48             |
| 19 |             |                       | EXCLUÍDO       |             |                |                |
| 20 | 8           | 79                    | 86             | 72          | 94             | 63             |
| 21 | 7           | 92                    | 112            | 73          | 121            | 62             |
| 22 | 8           | 94                    | 116            | 83          | 115            | 64             |
| 23 | 8           | 75                    | 82             | 67          | 89             | 63             |
| 24 | 9           | 89                    | 121            | 75          | 97             | 62             |
| 25 | 8           | 85                    | 101            | 77          | 114            | 50             |
| 26 | 8           | 81                    | 98             | 66          | 102            | 57             |
| 27 |             |                       | EXCLUÍDO       |             |                |                |
| 28 |             |                       | EXCLUÍDO       |             |                |                |
| 29 |             |                       | EXCLUÍDO       |             |                |                |
| 30 |             |                       | EXCLUÍDO       |             |                |                |
| 31 | 7           | 66                    | 70             | 64          | 66             | 65             |
| 32 |             |                       | EXCLUÍDO       |             |                |                |
| 33 | 8           | 99                    | 108            | 79          | 126            | 82             |
| 34 | 7           | 59                    | 70             | 49          | 61             | 55             |

DISTRIBUIÇÃO DOS DADOS INDIVIDUAIS NA ANÁLISE INTEREXAMINADOR NO  
GRUPO GLAUCOMA DO EXAMINADOR 1

| No | H1<br>T1 | H2<br>T1 | H3<br>T1 | H4<br>T1 | H5<br>T1 | H6<br>T1 | H7<br>T1 | H8<br>T1 | H9<br>T1 | H10<br>T1 | H11<br>T1 | H12<br>T1 |
|----|----------|----------|----------|----------|----------|----------|----------|----------|----------|-----------|-----------|-----------|
| 1  |          |          |          |          |          |          |          |          |          |           |           |           |
| 2  |          |          |          |          |          |          |          |          |          |           |           |           |
| 3  |          |          |          |          |          |          |          |          |          |           |           |           |
| 4  | 58       | 59       | 56       | 54       | 54       | 41       | 59       | 47       | 34       | 39        | 50        | 53        |
| 5  |          |          |          |          |          |          |          |          |          |           |           |           |
| 6  | 76       | 82       | 53       | 61       | 82       | 139      | 127      | 76       | 65       | 85        | 130       | 100       |
| 7  |          |          |          |          |          |          |          |          |          |           |           |           |
| 8  | 80       | 36       | 54       | 66       | 104      | 97       | 97       | 50       | 43       | 62        | 29        | 30        |
| 9  | 57       | 75       | 61       | 59       | 85       | 119      | 91       | 55       | 48       | 65        | 76        | 90        |
| 10 | 96       | 78       | 50       | 55       | 122      | 169      | 124      | 45       | 49       | 80        | 138       | 99        |
| 11 |          |          |          |          |          |          |          |          |          |           |           |           |
| 12 | 68       | 60       | 59       | 52       | 52       | 81       | 48       | 64       | 77       | 68        | 58        | 66        |
| 13 | 97       | 79       | 57       | 54       | 95       | 108      | 126      | 54       | 43       | 56        | 92        | 103       |
| 14 |          |          |          |          |          |          |          |          |          |           |           |           |
| 15 |          |          |          |          |          |          |          |          |          |           |           |           |
| 16 | 100      | 68       | 51       | 57       | 90       | 99       | 56       | 57       | 39       | 49        | 78        | 94        |
| 17 |          |          |          |          |          |          |          |          |          |           |           |           |
| 18 | 83       | 69       | 44       | 57       | 70       | 106      | 76       | 43       | 49       | 50        | 84        | 98        |
| 19 |          |          |          |          |          |          |          |          |          |           |           |           |
| 20 | 69       | 79       | 65       | 73       | 101      | 110      | 73       | 62       | 54       | 74        | 83        | 105       |
| 21 | 111      | 83       | 64       | 72       | 117      | 148      | 99       | 60       | 51       | 74        | 96        | 130       |
| 22 | 95       | 115      | 68       | 65       | 74       | 137      | 133      | 62       | 56       | 74        | 143       | 110       |
| 23 | 74       | 74       | 64       | 62       | 63       | 92       | 111      | 56       | 55       | 79        | 113       | 60        |
| 24 | 119      | 91       | 59       | 74       | 89       | 87       | 115      | 65       | 47       | 74        | 116       | 129       |
| 25 | 88       | 89       | 71       | 71       | 87       | 142      | 114      | 45       | 44       | 60        | 105       | 109       |
| 26 | 87       | 76       | 65       | 56       | 91       | 117      | 100      | 52       | 48       | 69        | 122       | 84        |
| 27 |          |          |          |          |          |          |          |          |          |           |           |           |
| 28 |          |          |          |          |          |          |          |          |          |           |           |           |
| 29 |          |          |          |          |          |          |          |          |          |           |           |           |
| 30 |          |          |          |          |          |          |          |          |          |           |           |           |
| 31 | 63       | 63       | 69       | 60       | 62       | 74       | 63       | 59       | 64       | 72        | 64        | 83        |
| 32 |          |          |          |          |          |          |          |          |          |           |           |           |
| 33 | 122      | 100      | 69       | 69       | 93       | 120      | 167      | 100      | 55       | 90        | 127       | 76        |
| 34 | 58       | 58       | 38       | 50       | 52       | 57       | 75       | 63       | 47       | 56        | 70        | 82        |

DISTRIBUIÇÃO DOS DADOS INDIVIDUAIS NA ANÁLISE INTEREXAMINADOR NO  
GRUPO GLAUCOMA DO EXAMINADOR 2

| No | Sinal<br>T2 | Espessura Media<br>T2 | Superior<br>T2 | Nasal<br>T2 | Inferior<br>T2 | Temporal<br>T2 |
|----|-------------|-----------------------|----------------|-------------|----------------|----------------|
| 1  |             |                       | EXCLUÍDO       |             |                |                |
| 2  |             |                       | EXCLUÍDO       |             |                |                |
| 3  |             |                       | EXCLUÍDO       |             |                |                |
| 4  | 6           | 49                    | 52             | 51          | 49             | 42             |
| 5  |             |                       | EXCLUÍDO       |             |                |                |
| 6  | 7           | 87                    | 96             | 64          | 114            | 75             |
| 7  |             |                       | EXCLUÍDO       |             |                |                |
| 8  | 8           | 86                    | 105            | 73          | 114            | 52             |
| 9  | 7           | 75                    | 74             | 65          | 99             | 60             |
| 10 | 8           | 95                    | 113            | 66          | 142            | 57             |
| 11 |             |                       | EXCLUÍDO       |             |                |                |
| 12 | 7           | 61                    | 65             | 57          | 60             | 61             |
| 13 | 7           | 82                    | 102            | 60          | 113            | 52             |
| 14 |             |                       | EXCLUÍDO       |             |                |                |
| 15 |             |                       | EXCLUÍDO       |             |                |                |
| 16 | 7           | 72                    | 93             | 66          | 81             | 48             |
| 17 |             |                       | EXCLUÍDO       |             |                |                |
| 18 | 9           | 67                    | 87             | 55          | 80             | 45             |
| 19 |             |                       | EXCLUÍDO       |             |                |                |
| 20 | 9           | 59                    | 29             | 67          | 80             | 62             |
| 21 | 7           | 93                    | 113            | 72          | 120            | 67             |
| 22 | 8           | 94                    | 111            | 83          | 121            | 62             |
| 23 | 7           | 77                    | 89             | 70          | 84             | 62             |
| 24 | 9           | 93                    | 123            | 76          | 111            | 63             |
| 25 | 7           | 85                    | 106            | 73          | 113            | 49             |
| 26 | 9           | 78                    | 97             | 61          | 99             | 56             |
| 27 |             |                       | EXCLUÍDO       |             |                |                |
| 28 |             |                       | EXCLUÍDO       |             |                |                |
| 29 |             |                       | EXCLUÍDO       |             |                |                |
| 30 |             |                       | EXCLUÍDO       |             |                |                |
| 31 | 7           | 66                    | 70             | 65          | 70             | 60             |
| 32 |             |                       | EXCLUÍDO       |             |                |                |
| 33 | 8           | 91                    | 118            | 63          | 108            | 76             |
| 34 | 8           | 59                    | 69             | 50          | 62             | 56             |

DISTRIBUIÇÃO DOS DADOS INDIVIDUAIS NA ANÁLISE INTEREXAMINADOR NO  
GRUPO GLAUCOMA DO EXAMINADOR 2

| No | H1<br>T2 | H2<br>T2 | H3<br>T2 | H4<br>T2 | H5<br>T2 | H6<br>T2 | H7<br>T2 | H8<br>T2 | H9<br>T2 | H10<br>T2 | H11<br>T2 | H12<br>T2 |
|----|----------|----------|----------|----------|----------|----------|----------|----------|----------|-----------|-----------|-----------|
| 1  |          |          |          |          |          |          |          |          |          |           |           |           |
| 2  |          |          |          |          |          |          |          |          |          |           |           |           |
| 3  |          |          |          |          |          |          |          |          |          |           |           |           |
| 4  | 56       | 49       | 50       | 54       | 56       | 38       | 54       | 49       | 35       | 42        | 51        | 49        |
| 5  |          |          |          |          |          |          |          |          |          |           |           |           |
| 6  | 70       | 81       | 51       | 60       | 86       | 139      | 117      | 71       | 66       | 86        | 125       | 92        |
| 7  |          |          |          |          |          |          |          |          |          |           |           |           |
| 8  | 112      | 76       | 62       | 80       | 128      | 112      | 102      | 47       | 44       | 66        | 103       | 101       |
| 9  | 57       | 80       | 58       | 56       | 87       | 112      | 98       | 63       | 54       | 64        | 69        | 97        |
| 10 | 102      | 81       | 56       | 62       | 134      | 181      | 110      | 40       | 49       | 83        | 141       | 97        |
| 11 |          |          |          |          |          |          |          |          |          |           |           |           |
| 12 | 74       | 58       | 56       | 57       | 52       | 73       | 54       | 63       | 68       | 53        | 54        | 67        |
| 13 | 97       | 71       | 56       | 53       | 104      | 109      | 125      | 57       | 43       | 55        | 95        | 113       |
| 14 |          |          |          |          |          |          |          |          |          |           |           |           |
| 15 |          |          |          |          |          |          |          |          |          |           |           |           |
| 16 | 115      | 83       | 57       | 57       | 85       | 102      | 56       | 58       | 38       | 48        | 70        | 94        |
| 17 |          |          |          |          |          |          |          |          |          |           |           |           |
| 18 | 75       | 63       | 48       | 53       | 61       | 96       | 82       | 42       | 41       | 53        | 91        | 96        |
| 19 |          |          |          |          |          |          |          |          |          |           |           |           |
| 20 | 38       | 80       | 65       | 55       | 67       | 104      | 70       | 59       | 55       | 71        | 49        | 50        |
| 21 | 104      | 80       | 63       | 73       | 108      | 151      | 102      | 63       | 55       | 81        | 106       | 129       |
| 22 | 88       | 112      | 69       | 68       | 90       | 145      | 129      | 62       | 54       | 71        | 132       | 112       |
| 23 | 84       | 88       | 65       | 58       | 58       | 89       | 105      | 52       | 59       | 77        | 119       | 65        |
| 24 | 112      | 94       | 65       | 68       | 99       | 99       | 133      | 69       | 47       | 73        | 116       | 139       |
| 25 | 95       | 87       | 63       | 70       | 90       | 140      | 109      | 46       | 42       | 59        | 112       | 111       |
| 26 | 87       | 75       | 54       | 53       | 89       | 111      | 96       | 52       | 46       | 69        | 120       | 84        |
| 27 |          |          |          |          |          |          |          |          |          |           |           |           |
| 28 |          |          |          |          |          |          |          |          |          |           |           |           |
| 29 |          |          |          |          |          |          |          |          |          |           |           |           |
| 30 |          |          |          |          |          |          |          |          |          |           |           |           |
| 31 | 67       | 65       | 68       | 62       | 67       | 81       | 62       | 59       | 60       | 61        | 60        | 83        |
| 32 |          |          |          |          |          |          |          |          |          |           |           |           |
| 33 | 119      | 71       | 53       | 66       | 84       | 104      | 138      | 83       | 54       | 92        | 148       | 87        |
| 34 | 58       | 57       | 38       | 56       | 53       | 56       | 76       | 66       | 47       | 55        | 70        | 80        |

DISTRIBUIÇÃO DOS DADOS INDIVIDUAIS NA ANÁLISE INTEREXAMINADOR NO  
GRUPO SAUDÁVEL DO EXAMINADOR 1

| No | Sinal<br>T1 | Espessura Media<br>T1 | Superior<br>T1 | Nasal<br>T1 | Inferior<br>T1 | Temporal<br>T1 |
|----|-------------|-----------------------|----------------|-------------|----------------|----------------|
| 35 | 9           | 92                    | 115            | 69          | 116            | 67             |
| 36 |             |                       | EXCLUÍDO       |             |                |                |
| 37 | 8           | 93                    | 114            | 82          | 116            | 63             |
| 38 |             |                       | EXCLUÍDO       |             |                |                |
| 39 |             |                       | EXCLUÍDO       |             |                |                |
| 40 | 9           | 84                    | 99             | 75          | 110            | 54             |
| 41 |             |                       | EXCLUÍDO       |             |                |                |
| 42 | 9           | 80                    | 102            | 58          | 102            | 59             |
| 43 | 8           | 107                   | 163            | 77          | 119            | 67             |
| 44 | 8           | 102                   | 130            | 60          | 123            | 95             |
| 45 |             |                       | EXCLUÍDO       |             |                |                |
| 46 | 8           | 93                    | 120            | 65          | 113            | 73             |
| 47 | 8           | 75                    | 99             | 53          | 97             | 52             |
| 48 |             |                       | EXCLUÍDO       |             |                |                |
| 49 |             |                       | EXCLUÍDO       |             |                |                |
| 50 | 9           | 101                   | 123            | 86          | 125            | 72             |
| 51 |             |                       | EXCLUÍDO       |             |                |                |
| 52 | 9           | 111                   | 170            | 58          | 143            | 72             |
| 53 |             |                       | EXCLUÍDO       |             |                |                |
| 54 | 7           | 91                    | 123            | 78          | 100            | 63             |
| 55 | 8           | 110                   | 110            | 81          | 156            | 94             |
| 56 | 8           | 95                    | 120            | 65          | 131            | 65             |
| 57 | 7           | 107                   | 140            | 99          | 134            | 56             |
| 58 | 9           | 91                    | 119            | 54          | 126            | 67             |
| 59 | 8           | 111                   | 131            | 77          | 165            | 70             |
| 60 | 9           | 85                    | 109            | 63          | 115            | 53             |
| 61 |             |                       | EXCLUÍDO       |             |                |                |
| 62 |             |                       | EXCLUÍDO       |             |                |                |
| 63 |             |                       | EXCLUÍDO       |             |                |                |
| 64 |             |                       | EXCLUÍDO       |             |                |                |
| 65 | 8           | 101                   | 124            | 74          | 144            | 61             |
| 66 | 9           | 85                    | 101            | 72          | 107            | 58             |
| 67 | 9           | 98                    | 147            | 63          | 117            | 64             |

DISTRIBUIÇÃO DOS DADOS INDIVIDUAIS NA ANÁLISE INTEREXAMINADOR NO  
GRUPO SAUDÁVEL DO EXAMINADOR 1

| No | H1<br>T1 | H2<br>T1 | H3<br>T1 | H4<br>T1 | H5<br>T1 | H6<br>T1 | H7<br>T1 | H8<br>T1 | H9<br>T1 | H10<br>T1 | H11<br>T1 | H12<br>T1 |  |
|----|----------|----------|----------|----------|----------|----------|----------|----------|----------|-----------|-----------|-----------|--|
| 35 | 107      | 68       | 61       | 76       | 93       | 121      | 135      | 62       | 56       | 83        | 128       | 111       |  |
| 36 |          |          |          |          |          | EXCLUÍDO |          |          |          |           |           |           |  |
| 37 | 93       | 97       | 71       | 76       | 87       | 131      | 130      | 61       | 46       | 61        | 138       | 109       |  |
| 38 |          |          |          |          |          | EXCLUÍDO |          |          |          |           |           |           |  |
| 39 |          |          |          |          |          | EXCLUÍDO |          |          |          |           |           |           |  |
| 40 | 72       | 70       | 75       | 80       | 92       | 125      | 113      | 51       | 45       | 66        | 130       | 95        |  |
| 41 |          |          |          |          |          | EXCLUÍDO |          |          |          |           |           |           |  |
| 42 | 94       | 82       | 43       | 48       | 82       | 109      | 115      | 58       | 47       | 73        | 133       | 78        |  |
| 43 | 173      | 81       | 60       | 89       | 109      | 103      | 146      | 84       | 46       | 72        | 125       | 193       |  |
| 44 | 107      | 75       | 49       | 54       | 82       | 113      | 174      | 95       | 68       | 122       | 176       | 106       |  |
| 45 |          |          |          |          |          | EXCLUÍDO |          |          |          |           |           |           |  |
| 46 | 101      | 79       | 48       | 67       | 79       | 107      | 153      | 71       | 57       | 92        | 163       | 96        |  |
| 47 | 93       | 65       | 38       | 55       | 80       | 100      | 111      | 54       | 41       | 62        | 102       | 103       |  |
| 48 |          |          |          |          |          | EXCLUÍDO |          |          |          |           |           |           |  |
| 49 |          |          |          |          |          | EXCLUÍDO |          |          |          |           |           |           |  |
| 50 | 104      | 105      | 75       | 77       | 99       | 135      | 141      | 77       | 55       | 85        | 140       | 124       |  |
| 51 |          |          |          |          |          | EXCLUÍDO |          |          |          |           |           |           |  |
| 52 | 174      | 72       | 42       | 61       | 119      | 152      | 158      | 81       | 60       | 76        | 104       | 233       |  |
| 53 |          |          |          |          |          | EXCLUÍDO |          |          |          |           |           |           |  |
| 54 | 103      | 94       | 61       | 79       | 81       | 101      | 117      | 62       | 51       | 76        | 122       | 145       |  |
| 55 | 98       | 120      | 64       | 59       | 125      | 173      | 169      | 97       | 75       | 109       | 145       | 88        |  |
| 56 | 107      | 77       | 52       | 64       | 105      | 135      | 152      | 74       | 46       | 75        | 111       | 141       |  |
| 57 | 142      | 108      | 92       | 96       | 121      | 148      | 133      | 59       | 38       | 70        | 11        | 163       |  |
| 58 | 107      | 73       | 43       | 4        | 100      | 135      | 142      | 59       | 60       | 82        | 162       | 90        |  |
| 59 | 123      | 103      | 63       | 66       | 138      | 206      | 150      | 70       | 56       | 84        | 110       | 161       |  |
| 60 | 85       | 71       | 48       | 69       | 89       | 135      | 122      | 53       | 43       | 64        | 119       | 123       |  |
| 61 |          |          |          |          |          | EXCLUÍDO |          |          |          |           |           |           |  |
| 62 |          |          |          |          |          | EXCLUÍDO |          |          |          |           |           |           |  |
| 63 |          |          |          |          |          | EXCLUÍDO |          |          |          |           |           |           |  |
| 64 |          |          |          |          |          | EXCLUÍDO |          |          |          |           |           |           |  |
| 65 | 115      | 93       | 68       | 60       | 107      | 167      | 159      | 70       | 46       | 65        | 123       | 133       |  |
| 66 | 104      | 90       | 58       | 68       | 96       | 84       | 140      | 65       | 48       | 66        | 108       | 91        |  |
| 67 | 128      | 81       | 46       | 63       | 106      | 107      | 139      | 61       | 52       | 80        | 129       | 186       |  |

DISTRIBUIÇÃO DOS DADOS INDIVIDUAIS NA ANÁLISE INTEREXAMINADOR NO  
GRUPO SAUDÁVEL DO EXAMINADOR 2

| No | Sinal<br>T2 | Espessura Media<br>T2 | Superior<br>T2 | Nasal<br>T2 | Inferior<br>T2 | Temporal<br>T2 |
|----|-------------|-----------------------|----------------|-------------|----------------|----------------|
| 35 | 9           | 92                    | 116            | 71          | 116            | 64             |
| 36 |             |                       | EXCLUÍDO       |             |                |                |
| 37 | 9           | 98                    | 123            | 89          | 117            | 65             |
| 38 |             |                       | EXCLUÍDO       |             |                |                |
| 39 |             |                       | EXCLUÍDO       |             |                |                |
| 40 | 9           | 101                   | 127            | 90          | 130            | 57             |
| 41 |             |                       | EXCLUÍDO       |             |                |                |
| 42 | 8           | 80                    | 101            | 55          | 104            | 60             |
| 43 | 8           | 108                   | 155            | 70          | 139            | 69             |
| 44 | 8           | 90                    | 116            | 67          | 121            | 57             |
| 45 |             |                       | EXCLUÍDO       |             |                |                |
| 46 | 10          | 77                    | 103            | 55          | 97             | 54             |
| 47 | 8           | 101                   | 112            | 70          | 128            | 94             |
| 48 |             |                       | EXCLUÍDO       |             |                |                |
| 49 |             |                       | EXCLUÍDO       |             |                |                |
| 50 | 8           | 104                   | 154            | 58          | 135            | 69             |
| 51 |             |                       | EXCLUÍDO       |             |                |                |
| 52 | 9           | 113                   | 139            | 80          | 142            | 91             |
| 53 |             |                       | EXCLUÍDO       |             |                |                |
| 54 | 8           | 96                    | 122            | 66          | 128            | 68             |
| 55 | 8           | 112                   | 144            | 102         | 144            | 57             |
| 56 | 7           | 88                    | 108            | 55          | 123            | 66             |
| 57 | 9           | 87                    | 110            | 66          | 116            | 55             |
| 58 | 8           | 116                   | 170            | 86          | 128            | 78             |
| 59 | 9           | 109                   | 126            | 77          | 170            | 65             |
| 60 | 8           | 87                    | 98             | 84          | 107            | 59             |
| 61 |             |                       | EXCLUÍDO       |             |                |                |
| 62 |             |                       | EXCLUÍDO       |             |                |                |
| 63 |             |                       | EXCLUÍDO       |             |                |                |
| 64 |             |                       | EXCLUÍDO       |             |                |                |
| 65 | 9           | 103                   | 132            | 76          | 141            | 62             |
| 66 | 7           | 89                    | 97             | 86          | 115            | 58             |
| 67 | 7           | 95                    | 133            | 58          | 139            | 49             |

DISTRIBUIÇÃO DOS DADOS INDIVIDUAIS NA ANÁLISE INTEREXAMINADOR NO  
GRUPO SAUDÁVEL DO EXAMINADOR 2

| No | H1<br>T2 | H2<br>T2 | H3<br>T2 | H4<br>T2 | H5<br>T2 | H6<br>T2 | H7<br>T2 | H8<br>T2 | H9<br>T2 | H10<br>T2 | H11<br>T2 | H12<br>T2 |  |
|----|----------|----------|----------|----------|----------|----------|----------|----------|----------|-----------|-----------|-----------|--|
| 35 | 112      | 65       | 63       | 85       | 94       | 128      | 127      | 57       | 57       | 78        | 121       | 114       |  |
| 36 |          |          |          |          |          | EXCLUÍDO |          |          |          |           |           |           |  |
| 37 | 103      | 104      | 77       | 85       | 91       | 132      | 128      | 64       | 49       | 80        | 136       | 130       |  |
| 38 |          |          |          |          |          | EXCLUÍDO |          |          |          |           |           |           |  |
| 39 |          |          |          |          |          | EXCLUÍDO |          |          |          |           |           |           |  |
| 40 | 111      | 104      | 78       | 90       | 98       | 154      | 138      | 54       | 40       | 75        | 150       | 118       |  |
| 41 |          |          |          |          |          | EXCLUÍDO |          |          |          |           |           |           |  |
| 42 | 91       | 77       | 43       | 45       | 86       | 105      | 121      | 59       | 48       | 73        | 127       | 87        |  |
| 43 | 164      | 89       | 53       | 70       | 125      | 124      | 167      | 85       | 49       | 73        | 130       | 170       |  |
| 44 | 103      | 80       | 47       | 73       | 109      | 146      | 108      | 55       | 47       | 69        | 105       | 140       |  |
| 45 |          |          |          |          |          | EXCLUÍDO |          |          |          |           |           |           |  |
| 46 | 100      | 64       | 40       | 61       | 77       | 103      | 110      | 53       | 43       | 66        | 106       | 103       |  |
| 47 | 115      | 86       | 56       | 67       | 111      | 136      | 136      | 96       | 119      | 68        | 78        | 142       |  |
| 48 |          |          |          |          |          | EXCLUÍDO |          |          |          |           |           |           |  |
| 49 |          |          |          |          |          | EXCLUÍDO |          |          |          |           |           |           |  |
| 50 | 172      | 74       | 46       | 54       | 115      | 142      | 147      | 78       | 59       | 70        | 92        | 199       |  |
| 51 |          |          |          |          |          | EXCLUÍDO |          |          |          |           |           |           |  |
| 52 | 132      | 118      | 58       | 63       | 110      | 132      | 184      | 114      | 63       | 97        | 154       | 130       |  |
| 53 |          |          |          |          |          | EXCLUÍDO |          |          |          |           |           |           |  |
| 54 | 113      | 81       | 57       | 60       | 103      | 127      | 154      | 86       | 44       | 75        | 106       | 148       |  |
| 55 | 155      | 120      | 90       | 97       | 128      | 166      | 136      | 55       | 40       | 75        | 118       | 159       |  |
| 56 | 95       | 72       | 48       | 44       | 91       | 132      | 146      | 65       | 59       | 76        | 145       | 84        |  |
| 57 | 85       | 81       | 56       | 62       | 78       | 136      | 133      | 59       | 43       | 62        | 121       | 125       |  |
| 58 | 155      | 97       | 70       | 92       | 111      | 131      | 143      | 90       | 59       | 85        | 157       | 199       |  |
| 59 | 124      | 87       | 72       | 71       | 167      | 210      | 133      | 64       | 58       | 73        | 117       | 138       |  |
| 60 | 90       | 95       | 62       | 95       | 72       | 106      | 143      | 64       | 42       | 71        | 107       | 98        |  |
| 61 |          |          |          |          |          | EXCLUÍDO |          |          |          |           |           |           |  |
| 62 |          |          |          |          |          | EXCLUÍDO |          |          |          |           |           |           |  |
| 63 |          |          |          |          |          | EXCLUÍDO |          |          |          |           |           |           |  |
| 64 |          |          |          |          |          | EXCLUÍDO |          |          |          |           |           |           |  |
| 65 | 128      | 98       | 68       | 62       | 103      | 160      | 159      | 71       | 47       | 68        | 128       | 141       |  |
| 66 | 106      | 110      | 70       | 79       | 86       | 113      | 145      | 56       | 48       | 69        | 106       | 81        |  |
| 67 | 157      | 75       | 49       | 50       | 121      | 193      | 103      | 42       | 45       | 60        | 84        | 158       |  |

## Intrasession, intersession, and interexaminer variabilities of retinal nerve fiber layer measurements with spectral-domain OCT

Fernanda Cremasco, Graziela Massa, Vanessa Gonçalves Vidotti, Álvaro Pedroso De Carvalho Lupinacci, Vital Paulino Costa

Glaucoma Service, Department of Ophthalmology, University of Campinas, Campinas - Brazil

---

**PURPOSE.** To evaluate the intrasession, intersession, and interexaminer variabilities of retinal nerve fiber layer measurements (RNFL) with spectral-domain optical coherence tomography (OCT).

**METHODS.** A total of 32 healthy individuals and 34 patients with chronic glaucoma underwent RNFL measurements with the Cirrus HD-OCT Model 4000 (Carl Zeiss Meditec, Dublin, CA, USA) 5 times during the same sitting by one examiner to assess intrasession variability. The same examiner performed RNFL measurements in the same patients on 5 different days to assess intersession variability. A second examiner performed RNFL measurements in the same patients to assess interexaminer variability. The coefficients of variation and intraclass correlation coefficients were obtained for the following parameters: average thickness, quadrant thickness, and Clock hour thickness measurements.

**RESULTS.** Intrasession variability: In patients with glaucoma, coefficients of variation ranged from 4.51% to 11.84%. Intraclass correlation coefficients ranged from 0.74 to 0.99. In healthy individuals, coefficients of variation ranged from 2.92% to 6.99%. Intraclass correlation coefficients ranged from 0.89 to 0.98. Intersession variability: In patients with glaucoma, coefficients of variation ranged from 3.68% to 10.50%. Intraclass correlation coefficients ranged from 0.82 to 0.99. In healthy individuals, coefficients of variation ranged from 3.13% to 6.92%. Intraclass correlation coefficients ranged from 0.87 to 0.99. Interexaminer variability: In patients with glaucoma, coefficients of variation ranged from 2.62% to 14.94%. Intraclass correlation coefficients ranged from 0.55 to 0.98. In healthy individuals, coefficients of variation ranged from 2.04% to 7.31%. Intraclass correlation coefficients ranged from 0.86 to 0.98.

**CONCLUSIONS.** These findings indicate that RNFL measurements with spectral-domain OCT display excellent reproducibility, with low intrasession, intersession, and interexaminer variabilities.

**KEY WORDS.** Optical coherence tomography, Reproducibility, Retinal nerve fiber layer thickness, Spectral-domain OCT

Accepted: July 15, 2010

### INTRODUCTION

Identification of optic nerve and retinal nerve fiber layer (RNFL) damage is important in the diagnosis and monitoring of glaucoma. Until recently, assessment of the optic nerve and RNFL has been largely subjective (1). New technologies have become available that provide quantitative,

reproducible, and objective measurements of the optic nerve head and RNFL thickness, such as scanning laser polarimetry, confocal scanning laser ophthalmoscopy, and optical coherence tomography (OCT) (2-7).

Optical coherence tomography was introduced in 1991 as a noninvasive, cross-sectional imaging technique of the optic nerve and retina (8). In 1995, time-domain OCT

(TD-OCT) was first used for imaging the retina in eyes with macular diseases (9, 10). Subsequently, OCT has been widely employed for RNFL thickness measurements in eyes with glaucoma (3, 4, 11).

Recently, spectral-domain OCT (SD-OCT) has entered clinical practice. Spectral-domain OCT uses light wavelengths instead of echo time delay, reducing the time spent for the acquisition of images. The result is a large increase in the amount of data that can be obtained during a given scan with better resolution and improved visualization of retinal structures (12-17). Cirrus HD-OCT (Carl Zeiss Meditec, Dublin, CA, USA) is a SD-OCT able to acquire data about 70 times faster (27,000 vs 400 A-scans per second) and with better resolution (5  $\mu\text{m}$  vs 8-10  $\mu\text{m}$  axial resolution in tissue) compared to time-domain technology (Stratus OCT, Carl Zeiss Meditec). Preliminary studies suggest some advantages of SD-OCT over TD-OCT, especially in eyes with poor media clarity (18), and in macular holes, improving the ability to visualize smaller structures such as the external limiting membrane and the photoreceptor inner segment (19).

One important prerequisite for meaningful interpretation of imaging results, both for the diagnosis and assessment of change over time, is a low variability between measurements obtained by the same observer, by different observers, and when repeated on different days (20). Although there has been considerable evidence favoring SD-OCT, the reproducibility and variability of the measurements should be determined before using this device for diagnosis and follow-up of patients.

The purpose of the current study is to determine the reproducibility of RNFL thickness measurements obtained with SD-OCT in patients with glaucoma and normal individuals.

## MATERIALS AND METHODS

One randomly selected eye from 34 patients with glaucoma and from 32 healthy individuals were included in the study. All recruited subjects were examined in the Glaucoma Service, Department of Ophthalmology, University of Campinas, Brazil. Informed consent was obtained from all participants, and the study was approved by the Ethics Committee of the University of Campinas. This research followed the tenets of the Declaration of Helsinki.

All subjects underwent a complete ophthalmic examination including best-corrected visual acuity, slit-lamp examination, Goldmann applanation tonometry, gonioscopy, indi-

rect ophthalmoscopy, optic disc evaluation with a 78-diopter lens, and standard full-threshold or SITA automated perimetry (30-2 or 24-2 mode, Humphrey Visual Field Analyzer; Carl Zeiss Meditec).

Subjects in the glaucoma group included those with any form of chronic glaucoma, defined as the presence of optic disc abnormalities consistent with glaucomatous optic neuropathy with or without visual field loss. Two of the following optic disc abnormalities had to be present for the disc to be characterized as glaucomatous: c/d ratio  $>0.6$ , localized rim loss, optic disc hemorrhage, or c/d asymmetry  $>0.3$ . Optic discs with excessive paleness or accompanied by retinal lesions were excluded. Other inclusion criteria were best-corrected visual acuity  $\geq 20/40$ , refractive error  $<5$  spherical diopters and  $<3$  cylindrical diopters, no history of ocular or systemic diseases or surgery that might interfere with RNFL measurements, ability to perform the tests, and willingness to participate as a subject in the study.

Healthy individuals were selected among the staff and relatives of patients followed at other services. Inclusion criteria for healthy individuals were no history of eye disease, no family history of glaucoma, intraocular pressure  $<21$  mm Hg by Goldmann applanation tonometry, best-corrected visual acuity of 20/40 or better, refractive error  $<5$  spherical diopters and  $<3$  cylindrical diopters, open angle at gonioscopy, and normal optic disc appearance based on clinical stereoscopic examination. A normal result on the glaucoma hemifield test and pattern standard deviation within normal limits was required on visual field examinations.

### *OCT measurements*

One eye per subject was randomly chosen to undergo RNFL measurements with the Cirrus HD-OCT Model 400 (Carl Zeiss Meditec) 5 times during the same sitting by one examiner to assess intrasession variability. In the first day when one examiner obtained 5 scans, the subject was not repositioned between the scans, except when it was necessary. The same examiner performed RNFL measurements using the optic disc cube  $200 \times 200$  scan in the same patients on 5 different days within 3 months to assess intersession variability. A second examiner performed one additional examination in the same patients during the first day to determine interexaminer variability.

Subjects were tested undilated for this study. Subject was seated with the chin comfortably positioned in a chin rest and the machine was properly aligned. The subject

was then instructed to look at the internal fixation target to bring the optic nerve head within view of the examiner. The position of the aiming circle was adjusted manually by the operator to match the optic nerve head best focus and centralization. If the subject moved, blinked, or lost fixation during the scan, the image was excluded and reacquired. Scans were discarded and retaken if the signal strength was less than 7 or if there were algorithm failures as well. If the error or the signal strength <7 persisted, the subject was excluded. The repeated scan function was not used. The RNFL analyses algorithm reports 17 RNFL thickness values: average RNFL thickness around the entire circumference, average thickness within the 4 quadrants (temporal, superior, nasal, and inferior), and average thickness in each of the 12 Clock hour sectors.

### Statistical analysis

All data were analyzed using the statistical package of Primer of Biostatistics Version 6.0 (Glantz, SA<sup>®</sup>, McGraw-Hill, 2005).

Left and right eyes were included in the study. Left eyes were considered to be mirror images of the right eyes. Therefore, in all the tables of clock hours, we treated the hours from 12:00 to 6:00 as nasal, and those from 6:00 to 12:00 as temporal.

The coefficients of variation (COVs) and intraclass correlation coefficients (ICCs) with 95% confidence intervals were obtained for the following parameters: average thickness, quadrant thickness, and Clock hour thickness measurements.

Intraclass correlation coefficients were calculated with the 2-way random effects model and with the consistency definition. The COV, expressed as a percentage, was calculated as the square root of the variance divided by the mean RNFL thickness of the repeated measures. The lower its value, the more homogeneous the data. The sample size necessary to obtain an ICC of 0.6 with a statistical power of 80% and an alpha error of 0.05 was 20. p Values less than 0.05 were considered statistically significant.

## RESULTS

Thirty-four patients with glaucoma and 32 healthy individuals were included in the study. Six patients with glaucoma and 2 healthy individuals were excluded from the intersession analysis; 15 patients with glaucoma and 12 healthy individuals were excluded from the interexaminer analysis. All were excluded because they missed one or more sessions. The demographic characteristics of both groups are shown in Table I. Patients in the glaucoma group were significantly older, and, as expected, had significantly higher

**TABLE I - DEMOGRAPHIC CHARACTERISTICS OF PATIENTS WITH GLAUCOMA AND HEALTHY INDIVIDUALS INCLUDED IN THE INTRASESSION ANALYSES**

|                                 | Glaucoma (n=34)           | Controls (n=32)           | p       |
|---------------------------------|---------------------------|---------------------------|---------|
| Gender, n (%) M:F               | 11 (32.4):23 (67.6)       | 13 (40.6):19 (59.4)       | 0.487*  |
| Race, n (%) white:AA            | 25 (63.5):9 (26.5)        | 31 (96.9):1 (3.1)         | 0.008*  |
| Age, y, mean ± SD (min; max)    | 58.15±10.64 (28.0; 86.0)  | 39.96±10.92 (24.0; 57.0)  | <0.001† |
| VA (logMAR), n (%)              |                           |                           |         |
| 0.3                             | 5 (14.70)                 | 0                         |         |
| 0.22                            | 3 (8.82)                  | 2 (6.25)                  |         |
| 0.14                            | 3 (8.82)                  | 0                         |         |
| 0.1                             | 2 (5.88)                  | 0                         | 0.003*  |
| 0.04                            | 4 (11.76)                 | 0                         |         |
| 0                               | 17 (50)                   | 30 (93.75)                |         |
| SE, D, mean ± SD (min; max)     | 0.61±1.17 (-2.25; +2.75)  | -0.15±1.14 (-2.87; +2.62) | 0.003‡  |
| IOP, mmHg, mean ± SD (min; max) | 14.44±2.99 (8.0; 21.0)    | 12.7±1.97 (10.0; 18.0)    | 0.015‡  |
| MD, dB, mean ± SD (min; max)    | -6.08±7.37 (-25.78; 1.41) | -1.18±1.01 (-3.29; 0.92)  | 0.001‡  |
| PSD, dB, mean ± SD (min; max)   | 4.79±4.14 (0.97; 13.47)   | 1.50±0.40 (0.98; 2.58)    | <0.001‡ |

\*Pearson chi-square.

†Student t test.

‡Mann-Whitney U test.

AA = African American; IOP = intraocular pressure; max = maximum; MD = mean deviation; min = minimum; n = absolute number; PSD = pattern standard deviation; SE = spherical equivalent; VA = visual acuity.

IOPs, lower mean deviation values, and higher pattern standard deviation values. Furthermore, the percentage of African Americans was significantly higher in the glaucoma group.

*Intrasession variability*

Among patients with glaucoma, COVs ranged from 4.51% (at 10 o'clock) to 11.84% (in the nasal quadrant). Intraclass correlation coefficients varied from 0.74 (in the nasal quadrant) to 0.99 (at 10 o'clock). Among healthy individuals, COVs ranged from 2.92% (average thickness) to 6.99% (at 4 o'clock). Intraclass correlation coefficients varied from 0.89 (average thickness) to 0.98 (at 10 and 11 o'clock) (Tab. II).

*Intersession variability*

Among patients with glaucoma, COVs ranged from 3.68% (at 10 o'clock) to 10.50% (at 12 o'clock). Intraclass correlation coefficients varied from 0.82 (in the nasal quadrant) to 0.99 (at 7 and 10 o'clock). Among healthy individuals, COVs ranged from 3.13% (in the nasal quadrant) to 6.92% (at 4 o'clock). Intraclass correlation coefficients varied from 0.87 (average thickness) to 0.99 (at 9 o'clock) (Tab. III).

*Interexaminer variability*

Among patients with glaucoma, COVs ranged from 2.62% (average thickness) to 14.94% (at 1 o'clock). Intraclass correlation coefficients varied from 0.55 (at 3 o'clock) to 0.98 (at 6 o'clock). Among healthy individuals, COVs ranged from 2.04% (average thickness) to 7.31% (at 4 o'clock). Intraclass correlation coefficients varied from 0.86 (at 4 o'clock) to 0.98 (at 9 o'clock and temporal quadrant) (Tab. IV).

DISCUSSION

A variety of studies have been published demonstrating the reproducibility of different TD-OCT generations (21-27). In a recent article, Budenz et al (27) reported low variabilities with the Stratus OCT 3, with ICCs ranging from 0.98 to 0.54 (intrasession variability), and from 0.98 to 0.76 (intersession variability).

Since SD-OCT has become recently available, there are some reports in the literature evaluating its reproducibility (28-33). There are some reports investigating the RTVue-100 (Optovue, Inc., Fremont, CA, USA) (28, 31, 32), the Topcon 3D-OCT 1000 (Topcon Medical Systems,

**TABLE II - MEAN RNFL THICKNESS AND STANDARD DEVIATION: ICC AND COV OF PATIENTS WITH GLAUCOMA AND HEALTHY INDIVIDUALS WHO PARTICIPATED IN THE INTRASESSION ANALYSIS**

|                   | Glaucoma (n=34) |      |         | Controls (n=32) |      |         |
|-------------------|-----------------|------|---------|-----------------|------|---------|
|                   | Mean ± SD (µm)  | ICC  | COV (%) | Mean ± SD (µm)  | ICC  | COV (%) |
| Average thickness | 76.78±4.07      | 0.92 | 5.31    | 95.74±2.79      | 0.89 | 2.92    |
| Temporal quadrant | 57.84±3.60      | 0.94 | 6.23    | 65.41±3.93      | 0.95 | 6.01    |
| Superior quadrant | 90.06±5.76      | 0.93 | 6.40    | 123.1±4.64      | 0.97 | 3.77    |
| Nasal quadrant    | 66.14±7.83      | 0.74 | 11.84   | 73.14±3.70      | 0.95 | 5.07    |
| Inferior quadrant | 92.37±4.95      | 0.97 | 5.36    | 123.26±5.34     | 0.95 | 4.34    |
| Clock hour 1      | 81.20±6.21      | 0.96 | 7.65    | 110.50±6.55     | 0.96 | 5.93    |
| Clock hour 2      | 75.97±7.67      | 0.79 | 10.10   | 88.02±4.71      | 0.97 | 5.36    |
| Clock hour 3      | 59.48±4.91      | 0.86 | 9.02    | 59.78±3.23      | 0.97 | 5.41    |
| Clock hour 4      | 63.36±4.27      | 0.88 | 6.74    | 70.39±4.92      | 0.95 | 6.99    |
| Clock hour 5      | 81.18±5.00      | 0.97 | 6.16    | 100.46±6.88     | 0.94 | 6.85    |
| Clock hour 6      | 104.54±1.02     | 0.97 | 6.85    | 131.30±7.03     | 0.96 | 5.38    |
| Clock hour 7      | 94.40±7.31      | 0.98 | 7.75    | 137.35±6.89     | 0.92 | 5.02    |
| Clock hour 8      | 56.96±2.89      | 0.98 | 5.08    | 68.29±4.26      | 0.95 | 6.25    |
| Clock hour 9      | 50.11±2.37      | 0.98 | 4.74    | 52.54±2.57      | 0.98 | 4.91    |
| Clock hour 10     | 64.25±2.89      | 0.99 | 4.51    | 75.80±2.58      | 0.98 | 3.41    |
| Clock hour 11     | 97.60±5.77      | 0.97 | 5.92    | 127.03±6.19     | 0.96 | 4.88    |
| Clock hour 12     | 93.44±6.97      | 0.96 | 7.46    | 131.26±8.11     | 0.97 | 6.18    |

COV = coefficient of variation; ICC = intraclass correlation coefficient; RNFL = retinal nerve fiber layer.

**TABLE III - MEAN RNFL THICKNESS AND STANDARD DEVIATION: ICC AND COV OF PATIENTS WITH GLAUCOMA AND HEALTHY INDIVIDUALS WHO PARTICIPATED IN THE INTERSESSION ANALYSIS**

|                   | Glaucoma (n=28) |      |         | Controls (n=30) |      |         |
|-------------------|-----------------|------|---------|-----------------|------|---------|
|                   | Mean ± SD (µm)  | ICC  | COV (%) | Mean ± SD (µm)  | ICC  | COV (%) |
| Average thickness | 76.43±3.98      | 0.91 | 5.21    | 96.02±3.09      | 0.87 | 3.22    |
| Temporal quadrant | 56.81±2.27      | 0.95 | 4.41    | 65.35±3.04      | 0.95 | 4.66    |
| Superior quadrant | 89.32±3.93      | 0.91 | 7.58    | 123.98±5.77     | 0.95 | 4.24    |
| Nasal quadrant    | 66.34±5.02      | 0.82 | 9.37    | 73.51±3.11      | 0.98 | 3.13    |
| Inferior quadrant | 94.76±8.87      | 0.98 | 4.00    | 123.94±3.87     | 0.97 | 4.01    |
| Clock hour 1      | 79.37±7.98      | 0.92 | 10.06   | 109.83±6.69     | 0.97 | 6.10    |
| Clock hour 2      | 76.02±6.33      | 0.84 | 8.33    | 88.84±4.20      | 0.98 | 4.73    |
| Clock hour 3      | 59.77±5.79      | 0.85 | 9.70    | 60.78±2.66      | 0.98 | 4.39    |
| Clock hour 4      | 64.17±4.03      | 0.94 | 6.29    | 70.45±4.87      | 0.96 | 6.92    |
| Clock hour 5      | 81.78±4.64      | 0.98 | 5.68    | 100.59±6.69     | 0.94 | 6.66    |
| Clock hour 6      | 106.69±7.42     | 0.97 | 6.96    | 132.58±7.30     | 0.96 | 5.51    |
| Clock hour 7      | 96.46±5.32      | 0.99 | 5.52    | 137.91±7.93     | 0.97 | 4.43    |
| Clock hour 8      | 56.41±4.14      | 0.95 | 7.35    | 68.74±4.09      | 0.96 | 5.95    |
| Clock hour 9      | 48.50±2.15      | 0.98 | 4.44    | 52.22±1.93      | 0.99 | 3.71    |
| Clock hour 10     | 64.11±2.35      | 0.99 | 3.68    | 75.99±3.03      | 0.97 | 4.19    |
| Clock hour 11     | 98.25±6.87      | 0.96 | 7.00    | 128.46±5.44     | 0.98 | 4.24    |
| Clock hour 12     | 91.57±9.61      | 0.92 | 10.50   | 132.27±7.63     | 0.98 | 5.77    |

COV = coefficient of variation; ICC = intraclass correlation coefficient; RNFL = retinal nerve fiber layer.

**TABLE IV - MEAN RNFL THICKNESS AND STANDARD DEVIATION: ICC AND COV OF PATIENTS WITH GLAUCOMA AND HEALTHY INDIVIDUALS WHO PARTICIPATED IN THE INTEREXAMINER ANALYSIS**

|                   | Glaucoma (n=19) |      |         | Controls (n=20) |      |         |
|-------------------|-----------------|------|---------|-----------------|------|---------|
|                   | Mean ± SD (µm)  | ICC  | COV (%) | Mean ± SD (µm)  | ICC  | COV (%) |
| Average thickness | 77.92±2.04      | 0.87 | 2.62    | 96.95±1.97      | 0.96 | 2.04    |
| Temporal quadrant | 58.21±1.71      | 0.94 | 2.93    | 64.42±1.66      | 0.98 | 2.57    |
| Superior quadrant | 91.15±4.01      | 0.65 | 4.40    | 124.13±4.59     | 0.94 | 3.70    |
| Nasal quadrant    | 65.33±2.00      | 0.65 | 3.05    | 72.80±2.61      | 0.96 | 3.59    |
| Inferior quadrant | 96.23±3.46      | 0.97 | 3.59    | 126.45±4.24     | 0.94 | 3.35    |
| Clock hour 1      | 81.15±12.13     | 0.63 | 14.94   | 118.72±5.76     | 0.96 | 4.85    |
| Clock hour 2      | 77.44±3.68      | 0.79 | 4.75    | 87.15±4.24      | 0.94 | 4.86    |
| Clock hour 3      | 57.34±4.50      | 0.55 | 7.85    | 59.52±2.58      | 0.96 | 4.33    |
| Clock hour 4      | 61.44±2.79      | 0.78 | 4.54    | 71.50±5.23      | 0.86 | 7.31    |
| Clock hour 5      | 83.86±5.54      | 0.92 | 6.61    | 104.72±4.63     | 0.96 | 4.42    |
| Clock hour 6      | 107.39±4.72     | 0.98 | 4.40    | 138.17±7.10     | 0.93 | 5.14    |
| Clock hour 7      | 96.86±4.80      | 0.97 | 4.95    | 136.47±6.39     | 0.91 | 4.68    |
| Clock hour 8      | 58.26±2.38      | 0.95 | 4.08    | 66.90±3.60      | 0.94 | 5.39    |
| Clock hour 9      | 50.63±1.71      | 0.96 | 3.37    | 52.92±2.15      | 0.98 | 4.07    |
| Clock hour 10     | 66.73±2.23      | 0.96 | 3.34    | 73.05±2.82      | 0.88 | 3.87    |
| Clock hour 11     | 96.68±4.76      | 0.88 | 4.92    | 120.90±4.17     | 0.97 | 3.44    |
| Clock hour 12     | 92.76±4.80      | 0.75 | 5.17    | 132.77±7.81     | 0.95 | 5.88    |

COV = coefficient of variation; ICC = intraclass correlation coefficient; RNFL = retinal nerve fiber layer.

Inc., Paramus, NJ, USA) (29, 32), and the Spectralis OCT (Heidelberg Engineering, Heidelberg, Germany) (29), but few reports measuring the reproducibility of the Cirrus

HD-OCT (32, 33).

In a recent study, Ho et al (32) evaluated the reproducibility of 2 scans performed within the same day with different

SD-OCT devices (Cirrus HD-OCT; RTVue-100; Topcon 3D-OCT-1000) using the macular thickness protocol. All devices demonstrated excellent reproducibility for the central foveal region. Intraclass correlation coefficients obtained with the Cirrus Mac Cube, RTVue (E)MM5, RTVue MM6, Topcon 3D, and Topcon Radial varied from 0.62 to 0.95, from 0.78 to 0.93, from 0.24 to 0.95, from 0.21 to 0.96, and from 0.49 to 0.99, respectively.

Leung et al (33) compared the Cirrus and Stratus OCTs and found COVs lower than 6.4% and 12.8%, respectively. The Morgan test revealed that the between-subject RNFL thickness variances were significantly lower in the Cirrus HD-OCT at 2 through 5 o'clock and at 8 through 10 o'clock compared with those of Stratus OCT. These results suggest that the new algorithm for 3-dimensional imaging of RNFL may provide a higher precision for longitudinal measurements.

In the present study, we found high ICC and low COV values for intrasession, intersession, and interexaminer analyses, which suggests an excellent reproducibility with the Cirrus OCT. Intraclass correlation coefficients ( $>0.82$ ) and COVs ( $<10.5\%$ ) for intersession measurements were excellent and similar to intrasession values, suggesting that there was little variability added by having different sessions over time. The low variability shown by SD-OCT may be due to the shorter acquisition time, to improved image resolution, and to the use of a line-scanning ophthalmoscope to detect saccadic eye movements during OCT imaging.

The nasal quadrant tended to show lower ICCs in the intrasession and intersession analyses, which is consistent with some previous studies (26, 27, 33). Some investigators suggest that this may be due to the fact that the incidence angle of the illuminating beam makes RNFL image dimmer on the nasal side, so that the boundaries of the RNFL are less reliably identified (34).

The COVs tended to be higher in the glaucoma group compared to the control group. Measurements in a group of homogeneous normal controls, with a small between-subject variance, would be expected to be less variable than those derived from a group of patients with a wide range of disease, as in a glaucoma group. Although there was a significant difference between mean ages of both groups, we do not believe that this finding had an effect in any of our results.

Although our sample size was small, the statistical power to detect an ICC of 0.6 with an alpha error of 0.05 was higher than 80% for the intrasession and intersession analyses

and approximately 80% for the interexaminer analysis. To our knowledge, the interexaminer reproducibility of SD-OCT was not tested in previous studies. Our findings demonstrated good ICC ( $>0.55$ ) and COV ( $<14.4\%$ ) results, indicating that RNFL measurements obtained by different examiners can be compared. Again, greater variabilities were found in the glaucoma group compared to the controls.

In conclusion, this study suggests an excellent reproducibility of RNFL measurements with the Cirrus OCT. The excellent ICC and COV results represent preliminary evidence that SD-OCT has the potential to improve RNFL evaluation. However, longitudinal studies with SD-OCT are needed to test the diagnostic accuracy and the ability to detect progression in patients with glaucoma.

## ACKNOWLEDGEMENTS

*Vital P. Costa was supported by grant 07/51281-9 by FAPESP (Fundação de Amparo a Pesquisa do Estado de São Paulo).*

*This study was presented in part as a poster at the American Academy of Ophthalmology meeting; San Francisco, California, USA; October 2009.*

*The authors report no proprietary interest.*

Address for correspondence:  
Vital Paulino Costa, MD  
Director, Glaucoma Service  
University of Campinas  
Rua Bahia 1087 apto 21  
São Paulo-SP  
Brazil  
vp.costa@uol.com.br

---

## REFERENCES

1. Jonas JB, Buddle WM, Panda-Jonas S. Ophthalmoscopic evaluation of the optic nerve head. *Surv Ophthalmol* 1999; 43: 293-320.
2. Jaffe GJ, Caprioli J. Optical coherence tomography to detect and manage retinal disease and glaucoma. *Am J Ophthalmol* 2004; 137: 156-69.
3. Badala F, Nouri-Mahdavi K, Raoof DA, et al. Optic disk and nerve fiber layer imaging to detect glaucoma. *Am J Ophthalmol* 2007; 144: 724-32.
4. Greenfield DS, Weinreb RN. Role of optic nerve imaging in

- glaucoma clinical practice and clinical trials. *Am J Ophthalmol* 2008; 145: 598-603.
5. Sanchez-Galeana C, Bowd C, Blumenthal E, et al. Using optical imaging summary data to detect glaucoma. *Ophthalmology* 2001; 108: 1812-8.
  6. Shah NN, Bowd C, Medeiros FA, et al. Combining structural and functional testing for detection of glaucoma. *Ophthalmology* 2006; 113: 1593-602.
  7. Schuman JS, Hee MR, Arya AV, et al. Optical coherence tomography: a new tool for glaucoma diagnosis. *Curr Opin Ophthalmol* 1995; 6: 89-95.
  8. Huang D, Swanson EA, Lin CP, et al. Optical coherence tomography. *Science* 1991; 254: 1178-81.
  9. Hee MR, Izatt JA, Swanson EA, et al. Optical coherence tomography of the human retina. *Arch Ophthalmol* 1995; 113: 325-32.
  10. Puliafito CA, Hee MR, Lin CP, et al. Imaging of macular diseases with optical coherence tomography. *Ophthalmology* 1995; 102: 217-29.
  11. Schuman JS. Spectral domain optical coherence tomography for glaucoma (an AOS thesis). *Trans Am Ophthalmol Soc* 2008; 106: 426-58.
  12. Drexler W, Morgner U, Kärtner FX, et al. In vivo ultra-high resolution optical coherence tomography. *Opt Lett* 1999; 24: 1221-3.
  13. Drexler W, Morgner U, Ghanta RK, Kärtner FX, Schuman JS, Fujimoto JG. Ultra-high resolution ophthalmic optical coherence tomography. *Nat Med* 2001; 7: 502-7.
  14. Drexler W. Ultrahigh-resolution optical coherence tomography. *J Biomed Opt* 2004; 9: 47-74.
  15. Fujimoto JG. Optical coherence tomography for ultrahigh resolution in vivo imaging. *Nat Biotechnol* 2003; 21: 1361-7.
  16. Wojtkowski M, Srinivasan V, Ko T, Fujimoto JG, Kowalczyk A, Duker J. Ultrahigh-resolution, high-speed, Fourier domain optical coherence tomography and methods for dispersion compensation. *Opt Express* 2004; 12: 2404-22.
  17. Wojtkowski M, Leitgeb R, Kowalczyk A, Bajraszewski T, Fercher AF. In vivo human retinal imaging by Fourier domain optical coherence tomography. *J Biomed Opt* 2002; 7: 457-63.
  18. Gupta V, Gupta P, Singh R, Dogra MR, Gupta A. Spectral-domain Cirrus high-definition optical coherence tomography is better than time-domain Stratus optical coherence tomography for evaluation of macular pathologic features in uveitis. *Am J Ophthalmol* 2008; 145: 1018-22.
  19. Ko TH, Fujimoto JG, Duker JS, et al. Comparison of ultrahigh and standard-resolution optical coherence tomography for imaging macular hole pathology and repair. *Ophthalmology* 2004; 111: 2033-43.
  20. Barkana Y, Burgansky-Eliash Z, Gerber Y, et al. Inter-device variability of the Stratus optical coherence tomography. *Am J Ophthalmol* 2009; 147: 260-6.
  21. Schuman JS, Pedut-Kloizman T, Hertzmark E, et al. Reproducibility of nerve fiber layer thickness measurements using optical coherence tomography. *Ophthalmology* 1996; 103: 1889-98.
  22. Blumenthal EZ, Williams JM, Wainreb RN, et al. Reproducibility of nerve fiber layer thickness measurements by use of optical coherence tomography. *Ophthalmology* 2000; 107: 2278-82.
  23. Jones AL, Sheen NJ, North RV, Morgan JE. The Humphrey optical coherence tomography scanner: quantitative analysis and reproducibility study of the normal human retinal nerve fiber layer. *Br J Ophthalmol* 2001; 85: 673-7.
  24. Carpineto P, Ciancaglini M, Zuppari E, et al. Reliability of nerve fiber layer thickness measurements using optical coherence tomography in normal and glaucomatous eyes. *Ophthalmology* 2003; 110: 190-5.
  25. Paunescu LA, Schuman JS, Price LL, et al. Reproducibility of nerve fiber thickness, macular thickness, and optic nerve head measurements using Stratus OCT. *Invest Ophthalmol Vis Sci* 2004; 45: 1716-24.
  26. Budenz DL, Chang RT, Huang X, et al. Reproducibility of retinal nerve fiber thickness measurements using the Stratus OCT in normal and glaucomatous eyes. *Invest Ophthalmol Vis Sci* 2005; 46: 2440-3.
  27. Budenz DL, Fredette MJ, Feuer WJ, Anderson DR. Reproducibility of peripapillary retinal nerve fiber thickness measurements with Stratus OCT in glaucomatous eyes. *Ophthalmology* 2008; 115: 661-6.
  28. Alasil T, Tan O, Lu AT, et al. Correlation of Fourier domain optical coherence tomography retinal nerve fiber layer maps with visual fields in nonarteritic ischemic optic neuropathy. *Ophthalmic Surg Lasers Imaging* 2008; 39: S71-9.
  29. Menke MN, Knecht P, Sturm V, et al. Reproducibility of nerve fiber layer thickness measurements using 3D Fourier-domain OCT. *Invest Ophthalmol Vis Sci* 2008; 49: 5386-91.
  30. Menke MN, Dabov S, Knecht P, Sturm V. Reproducibility of retinal thickness measurements in healthy subjects using Spectralis optical coherence tomography. *Am J Ophthalmol* 2009; 147: 467-72.
  31. González-García AO, Vizzeri G, Bowd C, Medeiros FA, Zangwill LM, Weinreb RN. Reproducibility of RTVue retinal nerve fiber layer thickness and optic disc measurements and agreement with Stratus optical coherence tomography measurements. *Am J Ophthalmol* 2009; 147: 1067-74.
  32. Ho J, Sull AC, Vuong LN, et al. Assessment of artifacts and reproducibility across spectral- and time-domain optical coherence tomography devices. *Ophthalmology* 2009; 116: 1960-70.
  33. Leung CK, Cheung CY, Weinreb RN, et al. Retinal nerve fiber layer imaging with spectral-domain optical coherence tomography: a variability and diagnostic performance study. *Ophthalmology* 2009; 116: 1257-63.
  34. Knighton RW, Qian C. An optical model of the human retinal nerve fiber layer: implications of directional reflectance for variability of clinical measurements. *J Glaucoma* 2000; 9: 56-62.
-